

Amt für Umwelt

Hochwasserschutz •





Hochwasserschutz und Revitalisierung Emme Wehr Biberist bis Aare

Erfolgskontrolle

Erhebung 1. Projektzustand







10.12.2024









Änderungsnachweis

| Version | Datum | Bezeichnung der Änderungen | Verteiler |
|---------|------------|----------------------------|-----------|
| 1 | 12.07.2024 | 1. Entwurf | AfU |
| 2 | 10.12.2024 | Definitiver Bericht | AfU |

Genehmigt / geprüft

Adresse Auftraggeber Adresse Auftragnehmer

INGE ME

Amt für Umwelt des Kantons Solothurn c/o IC Infraconsult AG Werkhofstrasse 5 Kasernenstrasse 27 4509 Solothurn

3013 Bern

Kontaktperson: Gabriel Zenklusen Kontaktperson: Denise Lang

Telefon: +41 (0)32 627 24 58 Telefon: +41 (0)31 359 24 35

Mail: gabriel.zenklusen@bd.so.ch Mail: denise.lang@infraconsult.ch

Autor*innen:

IC Infraconsult AG: Denise Lang, Daniela Zumstein

Fischwerk GmbH: Lena Ninck, Nicolas Achermann, Silvan Rossbacher, Werner Dönni

Hunziker, Zarn und Partner AG: Katrin Gambal, Roni Hunziker, Marco Lang

Impuls AG: Daniela Schmocker, Nadja Nyffenegger, Michèle Grindat, Sandra Heller

Inhaltsverzeichnis

| 1 | ZUSAMMENFASSUNG | 5 |
|----|---------------------------------------|-------|
| 2 | EINLEITUNG | 11 |
| 3 | ÜBERFLUTUNGSDYNAMIK | 19 |
| 4 | UFERLINIE | 25 |
| 5 | GESCHIEBEHAUSHALT | 30 |
| 6 | WASSERTEMPERATUR | 38 |
| 7 | WASSERTIEFE UND FLIESSGESCHWINDIGKEIT | 43 |
| 8 | SOHLENSTRUKTUR | 57 |
| 9 | DYNAMIK DER SOHLENSTRUKTUR | 78 |
| 10 | UFERSTRUKTUR | 84 |
| 11 | DYNAMIK DER UFERSTRUKTUR | 99 |
| 12 | LAICHHABITAT BACHFORELLE/ÄSCHE | . 106 |
| 13 | MOSAIK AUENFORMATIONEN | . 119 |
| 14 | LANDSCHAFTSSTRUKTURMASSE | . 130 |
| 15 | FOTOGRAFISCHE DOKUMENTATION | . 146 |
| 16 | AUENTYPISCHE PFLANZENARTEN | . 148 |
| 17 | BESTANDSERHEBUNG FISCHE | . 155 |
| 18 | VORKOMMEN AMPHIBIEN | . 171 |
| 19 | GESAMTDISKUSSION | . 181 |
| 20 | LITERATURVERZEICHNIS | . 189 |

Anhang

Anhang A Bestimmungstabelle Mesohabitate

Anhang B Laichhabitate Bachforelle/Äsche

Anhang C Fotografische Dokumentation

Anhang D Auentypische Pflanzenarten

Anhang E Bestandeserhebung Fische

Anhang F Amphibienerfassung

1 Zusammenfassung

Konzept

Durch das «Hochwasserschutz- und Revitalisierungsprojekt Emme» wurden Massnahmen in und an der Emme realisiert.

Das Erfolgskontrollenkonzept (Infraconsult, Impuls und Fischwerk, 2014) definiert, wie die Zielerfüllung der Entwicklungsziele auf Ebene Prozesse, Lebensräume und Arten dokumentiert werden. Die Erfolgskontrolle basiert auf einem «Vorhernachher-Vergleich« durch 13 Indikatoren.

Entlang des Projektperimeters wurden 5 Untersuchungsgebiete von je ca. 300 m Länge ausgeschieden. Die Breite der Untersuchungsstrecken umfasst neben der Gerinnesohle das potenzielle Auengebiet.

Die Erfolgskontrolle umfasst die Erhebung der drei Zustände Ausgangszustand, erster Projektzustand sowie zweiter Projektzustand. Der vorliegende Bericht «1. Projektzustand» betrifft den Zustand im Jahr 2023/2024, also 4 Jahre nach Bauende 2019/2020. Die Aufnahme des Ausgangszustands in den Jahren 2014/2015 ist im Bericht (IC Infraconsult; Fischwerk; Impuls; HZP, 2015) dokumentiert. Der 2. Projektzustand ist nicht Teil dieses Berichtes, er ist im Jahr 2033 zu erheben.

Überflutungsdynamik Der Überflutungsdynamik-Wert ist im Nachher-Zustand in den Abschnitten Schwarzweg und Papierfabrik deutlich besser als im Vorher-Zustand, im Abschnitt Emmenschachen geringfügig besser.

In den Abschnitten Schwarzweg und Papierfabrik kann sich durch die maschinellen Aufweitungen aus Sicht Überflutungsdynamik eine dynamische Aue entwickeln. Bei steigendem Abfluss wird der benetzte Bereich rasch grösser.

Im Abschnitt Emmenschachen wurde das Gerinne bisher nur wenig aufgeweitet. Der benetzte Bereich ist daher bei Hochwasser nicht deutlich grösser als bei mittlerem Abfluss. Die Uferböschungen sind steil und ungesichert, sodass sie sich in Zukunft eigendynamisch entwickeln können. Weitere Erkenntnisse wird eine zweite Erhebung des Projektzustandes bringen.

Uferlinie

Bei der Auswertung des Indikators "Uferlinie" zeigte sich in allen drei Strecken eine leichte Verbesserung gegenüber dem Vorher-Zustand. Insbesondere die lokale Strukturierung und Linienführung des Gerinnes sorgt für eine etwas längere Uferlinie bei Mittelwasser gegenüber dem Vorher-Zustand 2015.

In den Abschnitten Schwarzweg und Papierfabrik hat sich die Emme in den anstehenden Felsen eingegraben. Der Bereich des mittleren Abflusses ist hier vordefiniert, weshalb die Uferlinie stark dem Ausgangszustand ähnelt.

Im Emmenschachen bildete sich durch die Verbreiterung des Gerinnes eine strukturierte Sohle aus. Bei mittlerem Abfluss teilt sich die Emme meist auf zwei durchflossene und sich verlagernde Arme auf und bildet Kiesinseln in der

Gerinnemitte. Aus diesem Grund ist die Uferlinie deutlich länger als im Vorher-Zustand.

Geschiebehaushalt

In den letzten Jahren wurden sowohl im Berner als auch im Solothurner Teil der Emme mehrere Gerinneaufweitungen realisiert. Diese reduzieren vorübergehend den Geschiebetransport flussabwärts. Die Geschiebezufuhr in den Solothurner Abschnitt ist jedoch genügend gross, um nach Abschluss aller morphologischen Umlagerungen einen Gleichgewichtstransport zu ermöglichen. In der Projektstrecke selbst landete die Sohle infolge der Verbreiterung des Gerinnes bereits auf und es bildete sich im Hauptgerinne eine strukturierte Sohle aus. Es kann davon ausgegangen werden, dass in Zukunft weitere Umlagerungen und Seitenerosionsprozesse stattfinden werden. Im Hauptgerinne und in den Aufweitungen Rüti und Emmenschachen wurde ein grosses Potenzial geschaffen. Schlussfolgerungen über die Seitenerosionsprozesse oder die Sohlendynamik sind jedoch erst mit der nächsten Aufnahme möglich.

Wassertemperatur

Das Temperaturregime der Revitalisierungsstrecke wird gegenüber dem erwarteten Zustand als «wesentlich verändert» eingestuft. Der Grund hierfür sind häufige Überschreitungen des normalen Temperaturbereichs sowie der Temperaturschwellenwerten für die Leitart Äsche. Im Sommerhalbjahr erhöhte sich die Wassertemperatur entlang der Revitalisierungsstrecke. In Hitzeperioden betrug diese Erwärmung bis zu 3 ° C.

Gegenüber 2014 zeigten sich einige Unterschiede, die aber eher auf die klimatisch unterschiedlichen Jahre als auf die unterschiedlichen Projektzustände zurückgeführt werden.

Wassertiefe und Fliessgeschwindigkeit Wassertiefe und die Fliessgeschwindigkeit haben durch das Projekt an Variabilität gewonnen. Im Vorher-Zustand fallen die standardisierten Werte mehrheitlich geringer als im Nachher-Zustand aus. Auch durch die zusätzliche flächige Auswertung des HMID zeigt sich in den revitalisierten Abschnitten immer eine deutliche Verbesserung gegenüber dem Vorher-Zustand.

Grund für die schlechtere Bewertung des Vorher-Zustands ist das kanalisierte Gerinne der Emme mit einem ausgeprägten Hauptgerinne und einer meist sehr monotonen, strukturlosen Sohle. Unter diesen Bedingungen können sich keine variablen Wassertiefen und Fliessgeschwindigkeiten ausbilden. Sie treten nur bei unnatürlichen Strukturen wie Schwellen oder Rampen auf. Demgegenüber sind in den revitalisierten Strecken mehr morphologische Strukturen und Strukturelemente vorhanden, die lokal hohe Wassertiefen (Kolke) und Bereiche mit besonders geringen Fliessgeschwindigkeiten bis hin zu stehendem Wasser generieren. Das Mosaik aus Wassertiefe und Fliessgeschwindigkeit ist vielfältig und auch die laterale Variabilität ist hoch.

Sohlenstruktur

Gegenüber dem Ausgangszustand verbesserte sich die Bewertung der Strecke Emmenschachen um eine Klasse, diejenige der Strecke Schwarzweg blieb unverändert während die Bewertung der Strecke Papierfabrik sich um eine Klasse verschlechterte. Obwohl die drei untersuchten Strecken heterogene Sohlenstrukturen aufwiesen, ist die Bewertung maximal mittelmässig (standardisierter Wert 0.5 für Emmenschachen und Schwarzweg; 0.25 für Papierfabrik; Maximum = 1).

Dynamik der Sohlenstruktur Im Ausgangszustand wiesen die Untersuchungsstrecken Emmenschachen und Schwarzweg eine geringe Dynamik der Sohlenstruktur auf. Lediglich in 21 % der benetzten Fläche veränderte sich der Sohlenstrukturtyp zwischen den Jahren 2011 und 2014. Dies wird mit dem standardisierten Wert von 0.27 respektive 0.29 bewertet (Maximum = 1). Die grösste Dynamik fand in der Strecke Papierfabrik statt. Hier veränderte sich der Sohlenstrukturtyp auf 49 % der Fläche, was einem standardisierten Wert von 0.99 entspricht.

Uferstruktur

Die Uferstruktur wird in allen drei Strecken sehr gut bewertet (standardisierter Wert zwischen o.88 und o.99; Maximum = 1). Für die Strecke Schwarzweg bedeutet dies eine klare Verbesserung gegenüber dem Ausgangszustand.

Alle sieben in den Steckbriefen (Woolsey, S. et al., 2005) aufgeführten Uferstrukturtypen kommen vor. Flachufer, Steilufer und Fels dominieren. Die Uferlinie in der Strecke Emmenschachen ist gänzlich ohne Verbauung. Maximal 7 % der Uferlinie der beiden anderen Strecken weisen eine raue Verbauung (lockerer Blocksatz) auf. Einzig in der Strecke Schwarzweg sind die Ufer noch auf maximal 8 % glatt verbaut.

Dynamik der Uferstruktur Alle drei Strecken weisen im Ausgangszustand eine sehr grosse Dynamik der Uferstruktur auf. In allen drei Strecken kamen Verschiebungen der Uferlinie vor, welche grösser als der Mindestwert von 3 m waren. In der Strecke Emmenschachen kamen gar Verschiebungen von über 20 m vor. Zudem gab es in allen drei Untersuchungsstrecken Uferabschnitte ohne Verschiebung, bei welchen sich aber der Uferstrukturtyp änderte. Alle drei Strecken erhielten die maximale Bewertung von 1.

Laichhabitat Bachforelle/Äsche Bachforellen finden in allen drei Strecken ausgedehnte, als Laichhabitat optimale bzw. geeignete Flächen vor. Als Laichhabitat für Äschen eignet sich vor allem die Strecke Emmenschachen. In allen Strecken nehmen die als Laichhabitat geeigneten Flächen mit höherem Abfluss zu.

Gemäss dem angewandten Bewertungsmassstab sind alle drei Untersuchungsstrecken bezüglich dem Laichhabitat der Bachforelle bei beiden Abflüssen als «optimal» bzw. «geeignet» zu bewerteten. Das Laichhabitat der Äsche hingegen wird in den Strecken Schwarzweg und Papierfabrik bei mindestens einem der beiden Abflüsse nur als «bedingt geeignet» eingestuft.

Mosaik Auenformationen 2014 dominierte in beiden untersuchten Strecken der Habitattyp "Hartholzaue". Weitere Habitattypen, welche auf einen vielfältigen und dynamischen Auen-Lebensraum hinweisen, waren nur rudimentär vorhanden.

Im Emmenschachen zeigt sich durch das Auftreten aller sieben Auenformationen im Jahr 2023 (2013: 4 Habitattypen) eine höhere Vielfalt der Auenformationen gemessen am Shannon-Index. Der Anteil Pionierformationen hat sich aber in diesem Zeitraum kaum verändert hat (standardisierter Wert 2014 und 2023 bei 0.00), weshalb die Untersuchungsstrecken aber nicht als naturnaher eingestuft werden.

Auf der Untersuchungsstrecke Schwarzweg zeigt die deutliche Zunahme an Pionierformationen im Zustand 2023 verglichen zum Ausgangszustand 2014 (2014: 6 %, 2023: 59 %), dass der der Abschnitt zunehmend einem naturnahen Auenlebensraum entspricht. Die Vielfalt der Auenformationen hat während dieser Zeit aber nur geringfügig zugenommen.

Landschaftsstrukturmasse In der Untersuchungsstrecke Emmenschachen wurden die Lebensräume vielfältiger, jedoch sind die Veränderung im Vergleich zur Ausgangserhebung wenig auffällig und der Lebensraum ist durch die dominierende Hartholzaue nach wie vor eher homogen. Hingegen zeigen sich deutliche Veränderungen in der Untersuchungsstrecke Schwarzweg. Durch die neugeschaffene Dynamik wurde der Lebensraum deutlich vielfältiger und strukturreicher.

Fotographische Dokumentation Die fotografischen Erhebungen des 1. Projektzustandes konnten mit denjenigen des Ausgangszustandes verglichen werden. Bei der Betrachtung der Fotopaare fällt auf, dass die Emme im 1. Projektzustand deutlich mehr Platz hat. Folglich hat die relative benetzte Breite abgenommen. Auch fliesst die Emme weniger monoton als noch im Ausgangszustand. Strukturen im Gerinne sind jedoch immer noch selten erkennbar.

Auentypische Pflanzenarten Im Vergleich zur Ausgangslage konnten die Zielarten Silber-Weide (*Salix alba*) und Lavendel-Weide (*Salix elaeagnos*) über alle untersuchten Abschnitte gesehen zunehmen.

Am Schwarzweg und bei der Papierfabrik hat sich zudem eine interessante Artenzusammensetzung bestehend aus einer feuchten Pioniervegetation (Nanocyperion) entwickelt. Tendenziell wächst diese Übersarungsfläche wieder zu und entwickelt sich in Richtung Weichholzaue. Die Entwicklung der Übersarungsflächen wird insbesondere bei der 2. Folgeerhebung Aufschlüsse geben.

Bestandserhebung Fische Es wurden 11 Arten gefangen, die - mit Ausnahme des Steinbeissers und des Stichlings - standorttypisch sind. Im Gegensatz zum Ausgangszustand wurden neu Schneider und Gründling nachgewiesen. Weitere standorttypische Arten fehlen immer noch, wie die Äsche, das Bachneunauge und die Nase.

Die Gesamtbewertung der Fische des Abschnittes Derendingen verbesserte sich gegenüber dem Ausgangszustand um eine Klasse auf "mässig". Sogar um zwei Klassen verbesserte sich der Abschnitt Luterbach, welcher nun ebenfalls mit "mässig" bewertet wird. Die Verbesserung kommt in beiden Abschnitten daher, dass sich die Parameter Artenspektrum, Individuendichte und Biomassendichte verbesserten, während der Parameter Dominanzverhältnisse unverändert "sehr gut" blieb. Auffällig ist zudem der geringe Anteil der Bachforellen an der Gesamtfischdichte.

Vorkommen Amphibien Durch das Projekt konnte die Wasserfläche der Stehgewässer von 0.7 auf 1.7 ha vergrössert werden, zusätzlich zu 6 bestehenden wurden 16 neue Amphibiengewässer geschaffen. Dies führte generell zu einer erhöhten Individuenzahl bei fast allen Arten, wobei wie 2012 die fünf Arten Fadenmolch, Bergmolch, Erdkröte, Grasfrosch, Seefrosch und Grünforsch nachgewiesen wurden. Die Anzahl der Fadenmolche und Grün-/Wasserfrösche ist dabei (vor allem bei den Grün-/Wasserfröschen stark) angestiegen.

Im Bach konnte wie bereits 2012 Laich des Grasfroschs nachgewiesen werden. Im 2023 zusätzlich Grün-/Wasserfrösche. Der Altlauf war im Vergleich zu 2012 artenärmer, dafür wurde im 2023 der Fadenmolch neu nachgewiesen. Im Kleinweiher konnten die gleichen Arten wie 2012 nachgewiesen werden, allerdings abgesehen vom Grün-/Wasserfrosch und Grasfröschen in kleinerer Anzahl.

Die Erdkröten im Altlauf konnten im 2023 nicht mehr nachgewiesen werden. Am Kleinweiher und im neu erstellten Weiher M35b konnten sie dafür im 2023 nachgewiesen werden.

Gesamtbewertung

Der Ausgangszustand der Emme 2012 wurde als mittel beeinträchtigtes Gewässer mit Defiziten insbesondere bei den terrestrischen Lebensräumen beschrieben.

Nach Beendigung der Bauarbeiten zeigt sich im 1. Projektzustand mindestens auf Teilabschnitten eine Zunahme am Mosaik an Auenvegetationen, der Anzahl auftretender Amphibien, der Variabilität an Wassertiefen und Fliessgeschwindigkeiten. Eine Verbesserung gegenüber dem Ausgangszustand zeigt sich ausserdem in den Indikatoren Uferlinie und der Bestandserhebungen an Fischen. Uferstruktur, Dynamik der Uferstruktur und Laichhabitat für Bachforellen weisen bereits im Vorher-Zustand eine gute Qualität auf. Defizite bestehen mindestens teilweise bei den Indikatoren Wassertemperatur, Sohlenstruktur und Dynamik der Sohlenstruktur, Laichhabitat für Äschen. Bei den Indikatoren Überflutungsdynamik, Geschiebehaushalt, Wassertemperatur, Dynamik der

- 10 -

Sohlenstruktur, Dynamik der Uferstruktur ist eine (abschliessende) Beurteilung erst nach der Erhebung eines 2. Projektzustands möglich.

2 Einleitung

2.1 Konzept

Hochwasserschutzund Revitalisierungsprojekt Emme Im Rahmen des «Hochwasserschutz- und Revitalisierungsprojekt Emme» wurden vielfältige Massnahmen in und an der Emme realisiert. Zwischen dem Wehr in Biberist und der Einmündung der Emme in die Aare erfolgten neben den Aspekten des Hochwasserschutzes und der Erholungsnutzung auch eine Revitalisierung und damit eine ökologische Aufwertung des Gewässerraums. Die Umsetzung der Massnahmen fand in den Jahren 2018 bis 2020 statt.

Das im Jahr 2012 erstellte Leitbild (Hunziker, R., Dönni, W., Kaufmann, G.) legt Entwicklungsziele fest. Das Erfolgskontrollenkonzept (Infraconsult, Impuls und Fischwerk, 2014) definiert die Dokumentation dieser Ziele. Die darin festgelegten Indikatoren messen die Veränderungen basierend auf einem «Vorher-Nachher-Vergleich». Die Erhebung des Ausgangszustands fand im Jahr 2014 statt. Die Ergebnisse sind im Bericht «Hochwasserschutz und Revitalisierung Emme, Wehr Biberist bis Aare, Erfolgskontrolle, Erhebung Ausgangszustand» von 2015 festgehalten.

Erhebung 1.
Projektzustand

Gemäss Erfolgskontrollenkonzept hat die Erhebung des 1. Projektzustandes ca. 5 Jahre nach Abschluss der Bauarbeiten und nach den ersten geschiebewirksamen Hochwassern zu erfolgen. Die Bauarbeiten sind abgeschlossen, und mit den bisherigen Hochwassern sind diese Bedingungen erfüllt. Die Erhebung des 1. Projektzustandes war somit im Jahr 2023 angezeigt.

Für die Erhebungen des 1. Projektzustandes wurde das Indikatorenset gemäss Erfolgskontrollenkonzept leicht modifiziert. Die Anpassungen standen im Zusammenhang mit dem neu vorliegenden Handbuch des BAFU zur Wirkungskontrolle Revitalisierung (BAFU, 2019), wo gewisse Indikatoren geändert (z. B. HMID) oder gestrichen wurden. Diese Änderungen bedingten teilweise auch eine Neuauswertung der 2014 und 2015 erhobenen Daten. Die Basiserhebungen für das numerisch-hydraulische 2D-Modell sowie die terrestrische Lebensraumkartierung wurden analog zur Erhebung des Ausgangszustandes erarbeitet.

Indikatoren

Die folgenden 16 Indikatoren wurden festgelegt und erhoben:

| Indikator | Vorher-Untersuchung: Erhebung Ausgangszustand 2014-2015 | Nachher-Untersuchung: 1. Erhebung Projektzustand 2023-2024 |
|--|---|--|
| Überflutungsdynamik | х | х |
| Uferlinie | | x |
| Geschiebehaushalt | х | х |
| Wassertemperatur | х | х |
| Hydromorphologischer Index der Diversität (HMID) | х | |
| Wassertiefe und Fliessgeschwindigkeit | | х |
| Sohlenstruktur | х | х |
| Dynamik Sohlenstruktur | x | |
| Uferstruktur | х | х |
| Dynamik Uferstruktur | х | |
| Laichhabitat Bachforelle/Äsche | х | х |
| Mosaik Auenformationen | х | х |
| Landschaftsstrukturmasse | х | х |
| Fotografische Dokumentation | х | х |
| Auentypische Pflanzenarten | х | х |
| Bestandeserhebung Fische | х | х |
| Vorkommen Amphibien | x | х |

Tabelle 1 Untersuchte Indikatoren der ersten zwei Zeitzustände.

Aufnahme-Intervalle Untersuchungsstrecken

Die Untersuchungsstrecken wurden von den Erhebungen des Ausgangszustandes übernommen, wobei kleine Änderungen wegen der zwischenzeitlichen Umgestaltung der Ufer nötig waren. Es sind primär fünf Untersuchungsstrecken, die ca. 300 m lang sind. Deren Breite umfasst neben der Gerinnesohle das potenzielle Auengebiet (im Mittel jährlich mindestens einmal überflutet). Einige der Gewässer für die Amphibienerhebung liegen ausserhalb dieser Strecken.

Die Untersuchungsgebiete sind in Abbildung 1 dargestellt.

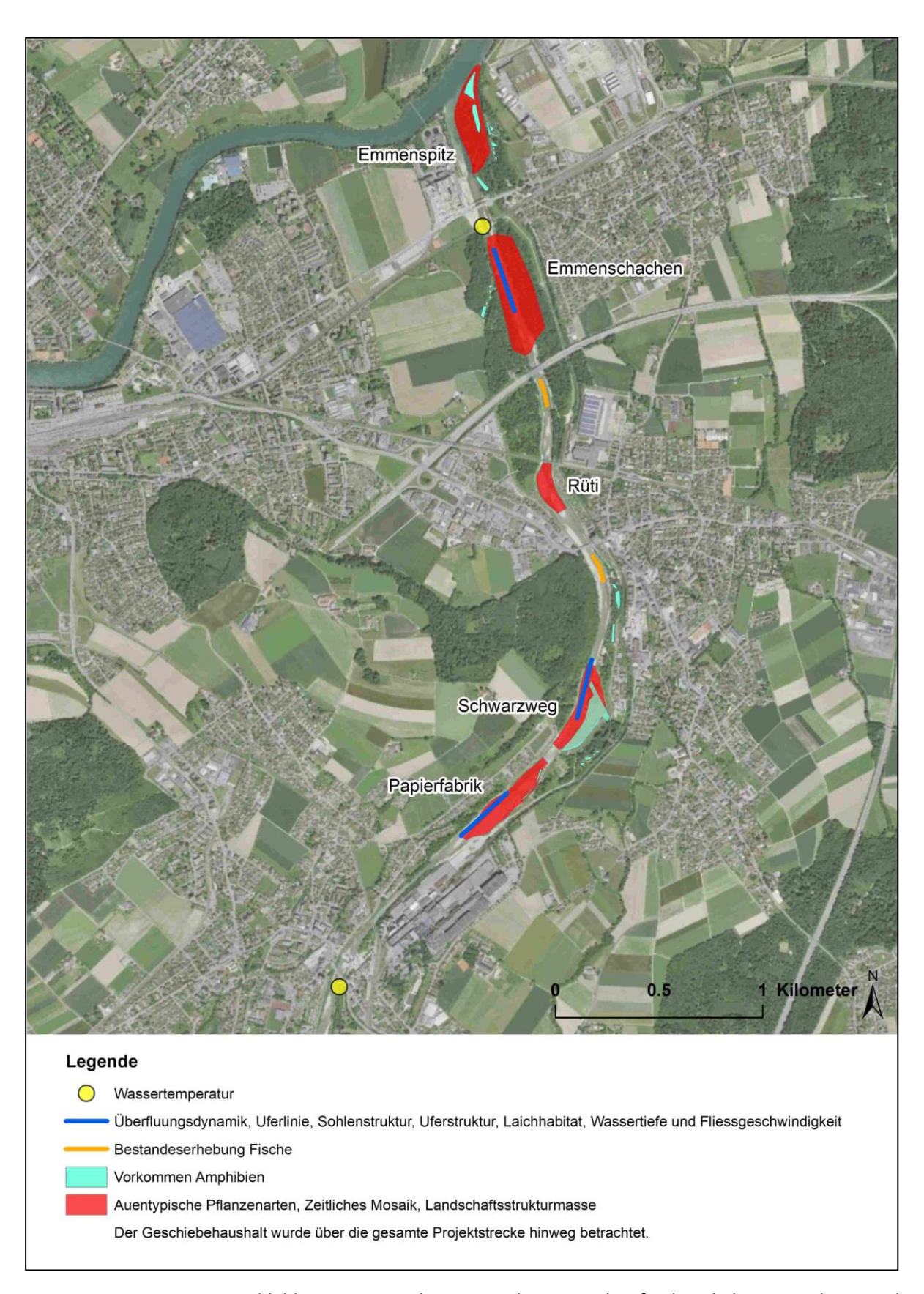


Abbildung 1 Lage der Untersuchungsstrecken für die Erhebung Projektzustand

Anzahl Erhebungen

Tabelle 2 zeigt die verwendeten Indikatoren, in Beziehung gesetzt mit den Untersuchungsstrecken und Erhebungszeitpunkten. Eine Aufnahme entspricht der Untersuchung auf einer bestimmten Untersuchungsstrecke zu einem bestimmten Zeitpunkt. Die Anzahl Erhebungen pro Indikator ergeben sich somit aus der Anzahl der Untersuchungsstrecken und der Anzahl untersuchter Zustände (Jahreszeit oder Abfluss).

| | Untersuchungsgebiet | | | Erhebungszeitpunkt | | | | | | | | |
|--|---------------------|---------------|------|--------------------|--------------|----------|--------|--------|--------|--------------------|--------------|------------|
| Indikatoren | Emmenspitz | Emmenschachen | Rüti | Schwarzweg | Papierfabrik | Frühling | Sommer | Herbst | Winter | Nieder-/Restwasser | Mittelwasser | Hochwasser |
| Überflutungsdynamik | | • | | • | • | | | | | | • | • |
| Uferlinie | | • | | • | • | | | | | | • | |
| Geschiebehaushalt | • | • | • | • | • | | | | | • | • | • |
| Wassertemperatur | | • | | | • | | ganzj | jährig | | | | |
| Wassertiefe und Fliessgeschwindigkeit | | • | | • | • | | | | • | • | | |
| Sohlenstruktur | | • | | • | • | | | | | • | • | |
| Dynamik der Sohlenstruktur | | • | | • | • | | | | | • | | |
| Uferstruktur | | • | | • | • | | | | | • | • | |
| Dynamik der Uferstruktur | | • | | • | • | | | | | • | | |
| Laichhabitat Bachforelle /Äsche | | • | | • | • | | | | | • | | |
| Mosaik Auenformationen | | • | | • | | | • | | | | | |
| Landschaftsstrukturmasse | | • | | • | | | • | | | | | |
| Fotografische Dokumentation | • | • | | • | • | | • | • | | • | | • |
| Auentypische Pflanzenart | • | • | • | • | • | | • | | | | | |
| Bestandserhebung Fische | | • | • | | | | | • | | • | | |
| Vorkommen Amphibien | • | • | | • | • | • | • | | | | | |

Tabelle 2 Die Tabelle zeigt für die Erhebung des 1. Projektzustandes, in welchen Untersuchungsstrecken welche Indikatoren zu welchen Erhebungszeitpunkten erhoben wurden

Zeitpunkt Erhebungen

Die gesamte Erfolgskontrolle umfasst die Erhebung von drei Zeit-Zuständen:

Ausgangszustand (2014/2015):

Erhebung des Zustandes vor Beginn der Bauarbeiten; vgl. dazu Bericht Hochwasserschutz und Revitalisierung Emme, Wehr Biberist bis Aare, Erfolgskontrolle, Erhebung Ausgangszustand; 08/2015.

- <u>1. Aufnahme des Projektzustandes</u> 2023 (Wirkungskontrolle/Validierung): ca. 5 Jahre nach Abschluss der Bauarbeiten und nach den ersten geschiebewirksamen Hochwassern, vorliegender Bericht.
- <u>2. Aufnahme des Projektzustandes</u> (Wirkungskontrolle/Validierung) ca. 10 Jahre nach der 1. Aufnahme des Projektzustandes.

Für die Indikatoren Dynamik der Uferstruktur sowie Dynamik der Sohlenstruktur wurde zudem ein zusätzlicher Zeit-Zustand erhoben:

2. Ausgangszustand (2011):vorliegender Bericht

2.2 Basiserhebungen

Einige Indikatoren basieren auf der gleichen Datenbasis wie andere Indikatoren. Die erforderlichen Daten können in diesen Fällen in nur einer Feldkartierung erhoben werden. Daraus ergeben sich die in Tabelle 3 aufgezeigten Synergien.

| Datenbasis | Indikator | Bemerkungen | | |
|-----------------------------|--|------------------------------------|--|--|
| Hochauflösendes | Überflutungsfläche und Uferlinie | Unterschiedliche | | |
| hydraulisches 2D-Modell | Wassertiefe und Fliessgeschwindigkeit | Auswertung derselben Datenbasis | | |
| | Laichhabitat Bachforelle/Äsche | Zusätzlich Substratkartierung | | |
| Habitattypen- kartierung | Sohlenstruktur | Gleichzeitige Feldkartierung | | |
| | Landschaftsstrukturmasse | Gleichzeitige Feldkartierung | | |
| | | Nur 1 Aufnahme Projektzustand | | |

Tabelle 3 Die Tabelle zeigt, auf welche gemeinsame Datenbasis sich die Auswertungen gewisser Indikatoren stützen

2.2.1 Numerisch hydraulische 2D-Modelle

Numerische Simulationen haben den entscheidenden Vorteil, dass verschiedene Indikatoren ohne aufwändige Feldarbeiten für verschiedene Abflussmengen erfasst werden können (Requena, P., von Pfuhlstein, M., 2011).

Beim Einsatz eines 2D-Strömungsmodells wird die Untersuchungsstrecke zuerst detailliert vermessen. Basierend auf der aufgenommenen Gerinnegeometrie wird anschliessend ein Geländemodell erstellt, welches seinerseits die Basis für das hydraulische 2D-Strömungsmodell bildet. Mit dem Modell können dann für unterschiedliche Abflüsse die mittleren Fliessgeschwindigkeiten (tiefengemittelt) und die Wassertiefen berechnet werden.

Da einige Indikatoren neu auf Grundlage der Praxisdokumentation Wirkungskontrolle (BAFU, 2019) ausgewertet wurden, mussten Aus- und Bewertungen des Vorher-Zustands mit neuen Methoden wiederholt werden. Aus diesem Grund wurde in den Strecken Emmenschachen, Schwarzweg und Papierfabrik das vorhandene Modell des Vorher- Zustands (2015) nochmals verwendet. Dieses basierte auf Grundlage einer detaillierten Gerinnevermessung mit dem GPS.

Für die Nachher-Erhebung wurde das Modell der drei Strecken Emmenschachen, Schwarzweg und Papierfabrik auf Grundlage einer Drohnenbefliegung der Firma W+H¹ aufgebaut, bei welcher sowohl ein georeferenziertes Orthofoto als auch eine Punktwolke mit Geländehöhen aufgenommen wurde. Der Flug wurde im Februar 2023 ohne Belaubung, bei guter Sicht und geringem und klarem Abfluss durchgeführt, um die Nachbearbeitung zu vereinfachen. Aufgrund der Lichtbrechung im Wasser erscheint die Gerinnetiefe in der Drohnenvermessung unter Wasser flacher, die Sohlenlage wird also überschätzt (Woodget, 2014). Deshalb wurde die Sohlenlage mit einem Korrekturverfahren neu berechnet und zusätzlich mit terrestrisch (d.h. mit GPS) vermessen Daten ergänzt. Das Ergebnis ist ein feinmaschiges Modell mit kleinen Knotenabständen von ca. 20 cm und maximalen Dreiecksflächen von rund 0.03 m². Mit dieser Auflösung können die vorhanden grösseren Steine und Strukturen sehr gut abgebildet werden.

2.2.2 Habitattypenkartierung

Im Feld werden die aquatischen Habitate (Mesohabitate) und die terrestrischen Habitate (Auenformationen) kartiert.

16

¹ Die Befliegung fand am 21.02.2023 bei einem Abfluss von ca. 8 m³/s an der Station Wiler+Werkkanal statt. Die Auflösung beträgt 2 cm.

Mesohabitate sind Flächen, die bezüglich Wassertiefe, Fliessgeschwindigkeit und Substratzusammensetzung in sich einheitlich sind (z. B. Schnelle, Riffel, Flachwasser, Kolk usw.). Die minimale Ausdehnung eines Mesohabitats beträgt in der grössten linearen Dimension (Länge, Breite, Diagonale) mindestens die mittlere Wasserspiegelbreite. Die Bestimmung erfolgt nach einem Vorschlag der American Fisheries Society (Arend K. K., 1999). In Anhang A befindet sich die entsprechende Bestimmungstabelle.

Die Kartierung der Auenformationen umfasst den Habitattyp resp. die Auenformation, den Grad der Bodenbedeckung und die Höhe der Vegetation. Die im Steckbrief aufgelisteten Habitattypen wurden übernommen.

2.3 Bewertung

Der vorliegende Bericht gibt die Ergebnisse aus der Erhebung des ersten Projektzustands wieder. Die Auswertung der Indikatoren basierte dabei einerseits auf dem Handbuch des BAFU zur Wirkungskontrolle Revitalisierung (BAFU, 2019). Ziel der darin beschriebenen Methodik ist eine standardisierte Bewertung von Revitalisierungsmassnahmen in einem schweizweit einheitlichen Gerüst. Um die Indikatoren vergleichen zu können, wird jeweils der sogenannte «Standardisierte Wert» berechnet. Dieser liegt zwischen o (schlecht) und 1 (gut). Andererseits gibt es auch Indikatoren, die nach dem EAWAG-Handbuch (Woolsey, S. et al., 2005) ausgewertet wurden, da die Erhebung des Ausgangszustandes nicht nachträglich in die neuen Klassen umgewandelt werden konnte.

Da die Vorher-Erhebungen 2014/2015 noch nicht auf diesem Handbuch basierten, wurde der Vorher-Zustand (wo möglich) nochmals mit der neuen Bewertungsmethode ausgewertet, um die verschiedenen Zeitstände vergleichen zu können (in diesem Fall Vorher- und 1. Projekt-Zustand).

Eine Standardisierung war für die folgenden Indikatoren möglich:

- Überflutungsdynamik
- Uferlinie
- Geschiebehaushalt
- Wassertemperatur
- Wassertiefe und Fliessgeschwindigkeit
- Sohlenstruktur
- Uferstruktur
- Mosaik Auenformationen
- Landschaftsstrukturmasse
- Auentypische Pflanzenarten
- Bestandeserhebung Fische
- Vorkommen Amphibien

Bei einzelnen Indikatoren muss die Aufnahme des 2. Projektzustandes abgewartet werden, um einen standardisierten Wert gemäss Handbuch (BAFU, 2019)

berechnen zu können, bzw. es ist keine standardisierte Bewertung vorgesehen (fotografische Dokumentation). Folgende Indikatoren werden im vorliegenden Bericht deshalb gualitativ bewertet:

- Dynamik der Sohlenstruktur
- Dynamik der Uferstruktur
- Laichhabitat Bachforelle/Äsche
- Fotografische Dokumentation

Zielüberprüfung

Nach der 1. und 2. Aufnahme des Projektzustandes wird überprüft, ob die Revitalisierungsmassnahmen die gewünschte physikalische Wirkung auf Prozesse und Lebensräume sowie die erhofften Reaktionen auf die Arten erzielten.

Weiteres Vorgehen

Nach der 2. Aufnahme des Projektzustandes erfolgt eine Gesamtschau zum ökologischen Erfolg der umgesetzten Massnahmen. Falls der ökologische Erfolg sich nicht im gewünschten Masse einstellt, müssen die Ursachen gefunden werden. Erst dann können adäquate "Verbesserungs"-Massnahmen diskutiert werden.

Anhand der Ergebnisse der 1. Aufnahmen des Projektzustandes zeichnen sich bereits gewisse Hinweise ab, diese werden in Kapitel 19 beschrieben.

2.4 Veränderungen im Projektperimeter

Seit den Aufnahmen des Ausgangszustand in den Jahren 2014 und 2015 haben sich verschiedenen Veränderungen im Projektperimeter ergeben:

Massnahmen

Die baulichen Massnamen im Hochwasserschutz- und Revitalisierungsprojekt untere Emme wurden in den Jahren 2018 bis 2020 umgesetzt. Dafür wurden verschiedenste Massnahmen entlang der Emme zwischen dem Wehr in Biberist und der Einmündung in die Aare auf knapp 5 Kilometern Flusslauf realisiert. Es sind Massnahmen wie Gerinneaufweitungen durch Uferabtrag, Sohlenstrukturierungen oder Initialisierung einer eigendynamischen Aufweitung.

Auch wurden Massnahmen zur Verbesserung der Fischgängigkeit wie die Umgestaltung von Schwellen in Riegel-Becken-Rampen sowie terrestrische Massnahmen wie Stillgewässer für Amphibien oder Kleinstrukturen (Wurzelstockhaufen, Steinhaufen) umgesetzt.

Seit Bauabschluss sind bereits mehrere grössere und geschiebewirksame Hochwasser aufgetreten.

3 Überflutungsdynamik

3.1 Beschrieb

Grundlage

Praxisdokumentation Wirkungskontrolle (BAFU, 2019): Steckbrief Indikator-Set 3, Indikator 3.1 Überflutungsdynamik

Definition

Bestimmung der Überflutungsfläche bei einem 2-jährlichen Hochwasserereignis HQ_2 vor und nach der Revitalisierung und Vergleich mit der potenziellen Überflutungsfläche gemäss Referenzzustand

Begründung

Die laterale Vernetzung zwischen Gewässer und Umland ist ein wichtiger ökologischer Schlüsselprozess. Bei Hochwasser werden angrenzende Gebiete überschwemmt und Nährstoffe, Organismen, Holz und Kies verfrachtet. Natürliche Gewässer sind sehr stark mit dem Umland vernetzt. Bei anthropogen beeinflussten Gewässern sind diese Verbindungen mehr oder weniger beschränkt. Der Indikator bestimmt die Qualität der Vernetzung im Vergleich mit dem Referenzzustand, insbesondere durch Überschwemmungen des Umlands.

3.2 Methode Erhebung und Auswertung

Methodik

Die Vorgehensweise beim Indikator Überflutungsdynamik entspricht weitgehend den Vorgaben der Praxisdokumentation (BAFU, 2019).

<u>Erhebung Vorher- und Nachher-Zustand</u>: Es wurde die benetzte Fläche bei mittlerem Abfluss MQ (6.2 m³/s ²) und bei einem zweijährlichen Hochwasser HQ2 (252 m3/s ³) mithilfe von 2D-Modellen ermittelt. Die Differenz der beiden Flächen entspricht der Überflutungsfläche. Diese Überflutungsfläche wurde sowohl für den Vorher-Zustand als auch für den Nachher-Zustand modelliert (Kapitel 2.2.1) und berechnet.

Erhebung Referenzzustand: Zur Ermittlung der potenziellen Überflutungsfläche im Referenzzustand wurden historische Karten von 1825⁴ verwendet. Es wurde angenommen, dass der in der Karte sichtbare blaue Wasserkörper bei mittlerem Abfluss MQ benetzt ist. Für die Bestimmung der Überflutungsfläche bei einem 2-jährlichen Hochwasser wurden die offenen, unbewachsenen Kiesflächen

² Mittlerer Jahresabfluss der Messstation Wiler (19.2 m³/s) minus Ausbauwassermenge Kraftwerk Biberist (13 m³/s)

³ HQ2 an der Totalstation Emme-Wiler, Limpachmündung (0155): 264 m³/s abzüglich 12 m³/s Ausbauwassermenge des Kraftwerks = 252 m³/s

⁴ Plan der Gebrüder Schwaller von 1825 aus dem Staatsarchiv des Kantons Solothurn.

herangezogen, welche infolge der regelmässig auftretenden Hochwasser von Vegetation frei bleiben.

Erhebungen für den Vorher- und Nachher-Zustand

| Untersuchungsstrecken | Erhebungszustand | | | | | | |
|-----------------------|------------------|--------|--------|--------|--------------|--------------|------------|
| | Frühling | Sommer | Herbst | Winter | Niederwasser | Mittelwasser | Hochwasser |
| Emmenschachen | | | | | | • | • |
| Schwarzweg | | | | | | • | • |
| Papierfabrik | | | | | | • | • |

Auswertung

Die Auswertung und Beurteilung der Daten erfolgte anhand der Praxisdokumentation (BAFU, 2019). Dabei wird der Anteil der potenziellen Überflutungsfläche anhand einer Funktion in den standardisierten Wert umgerechnet.

3.3 Resultate

| Strecke | Überflutungsfläche [m²] Vorher (2015) | Überflutungsfläche [m²] Nachher (2023) | Überflutungsfläche [m²] Referenz (1825) | Standardisierter Wert Vorher zu Referenz | Standardisierter Wert Nachher zu Referenz |
|--------------------|--|---|--|---|--|
| Emmen- schachen | 2′460 | 3′200 | 34′150 | 0.15 | 0.19 |
| Schwarz- weg | 3′730 | 16'870 | 34′100 | 0.20 | 0.73 |
| Papier- fabrik | 2′620 | 14′050 | 27′990 | 0.19 | 0.74 |

Tabelle 4 Standardisierte Werte für den Indikator Überflutungsdynamik im Vergleich zwischen Vorher-Zustand, Nachher-Zustand und Referenzzustand.

Vorher-Zustand

Im Vorher-Zustand entsprach die Überflutungsfläche in allen Abschnitten ca. 10 % der potenziellen Überflutungsfläche (Referenzzustand). Somit ergeben sich standardisierte Werte für 2015 von 0.15 bis 0.20.

Nachher-Zustand

Durch die Aufweitungen konnte die Überflutungsfläche insbesondere in den Abschnitten Schwarzweg und Papierfabrik deutlich vergrössert werden. Sie umfasst heute (Nachher-Zustand 2023) in diesen beiden Abschnitten eine etwa 5-mal grössere Fläche als noch 2015 und etwa die Hälfte der Fläche im Referenzzustand. Im Abschnitt Emmenschachen nahm die Überflutungsfläche nur geringfügig zu (ca. 30 %) und erreicht damit auch nur einen Bruchteil (ca. 10 %) der Überflutungsfläche im Referenzzustand. Es kann aber davon ausgegangen werden, dass mit zunehmender Seitenerosion die Überflutungsflächen grösser werden.

Im Nachher-Zustand sind die standardisierten Werte in den Abschnitten Schwarzweg und Papierfabrik mit 0.73 bzw. 0.74 deutlich besser, in Emmenschachen mit 0.19 geringfügig besser als im Vorher-Zustand.

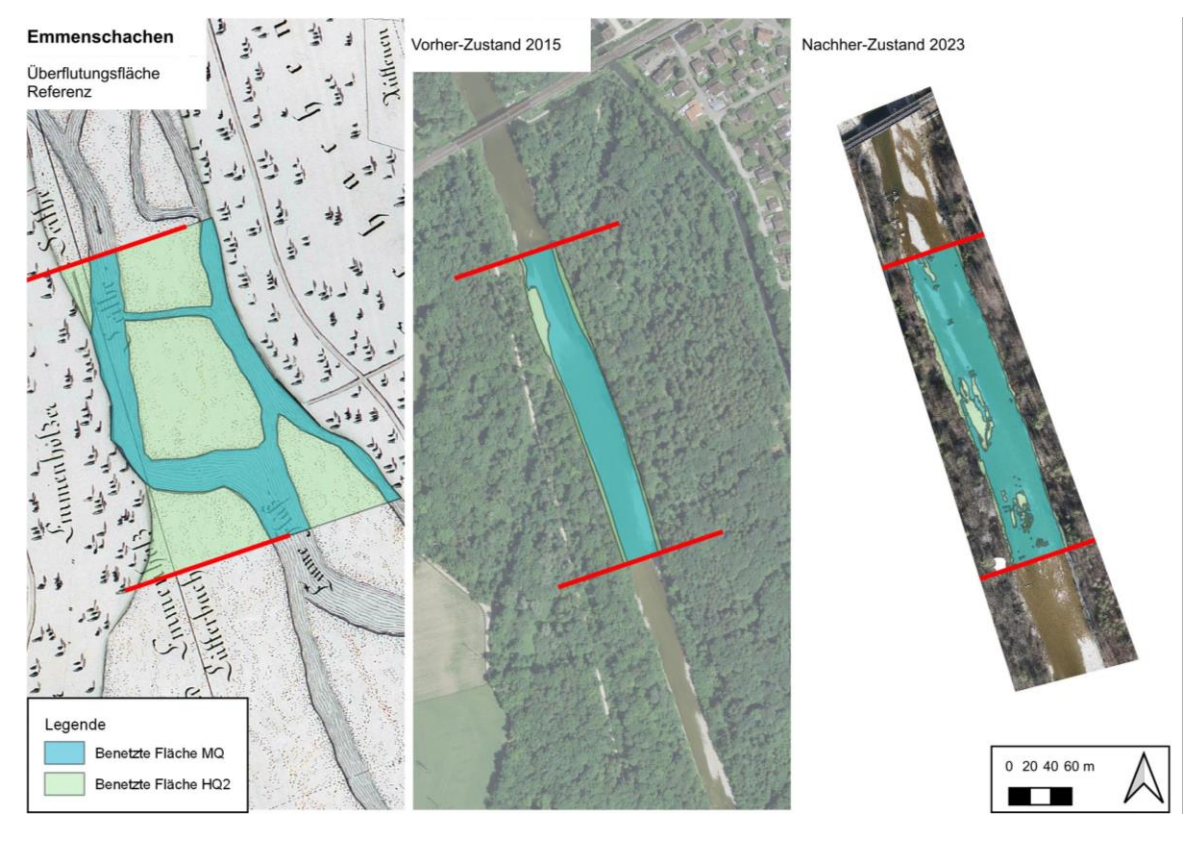


Abbildung 2 Benetzte Flächen bei MQ bzw. HQ2 im Abschnitt Emmenschachen im Referenz-, Vorher- und Nachher-Zustand.



Abbildung 3 Benetzte Flächen bei MQ bzw. HQ2 im Abschnitt Schwarzweg im Referenz-, Vorher- und Nachher-Zustand.



Abbildung 4 Benetzte Flächen bei MQ bzw. HQ2 im Abschnitt Papierfabrik im Referenz-, Vorher- und Nachher-Zustand.

3.4 Vergleich mit Ausgangszustand

Die historischen Karten zeigen einen heute kaum mehr zu erreichenden Zustand. Die Emme floss mit einem Hauptstrom und Nebenarmen durch ein breites Kiesbett, umrahmt von wirtschaftlich genutzten Wäldern. Heute begrenzen Bebauung, Infrastrukturen und Nutzungen die Fläche, welche wir dem Gewässer zur Verfügung stellen können.

Vor der Revitalisierung (2015) ist in allen drei Abschnitten der gestreckte, kanalartige Lauf zu erkennen. Bei höheren Abflüssen (HQ2) wuchs die benetzte Fläche nur unbedeutend an, da die Böschungen steil waren.

Im Abschnitt Emmenschachen (Abbildung 2) wurde die Emme rechtsseitig maschinell auf eine Breite von ca. 35 m aufgeweitet. An beiden Ufern wurden die Sicherungen entfernt, um eine eigendynamische Aufweitung möglich zu machen. Bisher (2023) erfolgten noch keine grösseren Erosionsprozesse. Das Gerinne ist noch verhältnismässig schmal, weshalb bereits bei geringen Abflüssen eine breite Fläche benetzt ist. Aus diesem Grund ist der benetzte Bereich bei Hochwasser nicht deutlich grösser als bei mittlerem Abfluss. Diese Verhältnisse resultieren in einer schlechteren Bewertung des Indikators als in den Abschnitten Schwarzweg und Papierfabrik.

Dort wurden grössere maschinelle Aufweitungen durchgeführt (Abbildung 3 und Abbildung 4). Diese Aufweitungen sind ab jährlich mehrmals wiederkehrenden Abflüssen (Papierfabrik ab Q40, Schwarzweg ab Q9) durchströmt (Kissling & Zbinden AG, IUB Engineering, 2015). Hier kann sich eine dynamische Aue entwickeln. Die Uferböschungen der Aufweitungen sind teilweise gesichert (begrünter Blocksatz oder BMU). Da der Hauptstrom der Emme mehrheitlich im anstehenden Felsen verläuft, ist nicht davon auszugehen, dass sich der Lauf grossräumig, beispielsweise in die Überflutungsflächen hinein, verlagert. Entsprechend hat sich der benetzte Bereich bei mittlerem Abfluss nicht stark verändert. Er ist nur etwas breiter geworden. Bei steigendem Abfluss wird der benetzte Bereich aber rasch grösser, weil die Emme in die grossen Überflutungsflächen ausufert. Dies zeigen die Flächen bei einem 2-jährlichen Hochwasser.

3.5 Kurzdiskussion

Der Grund für die geringen Indikator-Werte im Vorher-Zustand ist das kanalisierte Gerinne der Emme mit einem ausgeprägten Hauptgerinne und hoch liegenden Vorländern. Unter diesen Bedingungen uferte das Wasser erst bei sehr grossen Abflüssen ins Vorland aus und die Überflutungsflächen sind bei kleinen Hochwassern nicht viel grösser als bei Mittelwasser.

Nach der Realisierung des Projektes wirken sich Abflussveränderungen stärker auf die Ausdehnung des Wasserkörpers aus. Die seitliche Vernetzung konnte

gegenüber dem Vorher-Zustand in den Aufweitungen Schwarzweg und Papierfabrik deutlich verbessert werden. Dies ist auf die maschinell durchgeführte Vergrösserung der Überflutungsfläche zurückzuführen. Mit den Jahren wird sich zeigen, ob die Emme die Kraft besitzt, die Überschwemmungsflächen zumindest teilweise von Bäumen und Sträuchern freizuhalten, und ob sich eine typische Weich- oder Hartholzaue einstellen wird.

Im Abschnitt Emmenschachen liegt der Fokus auf einer eigendynamischen Entwicklung. Da bisher keine wesentlichen Erosionsprozesse erfolgt sind, ist das Gerinnebett in diesem Abschnitt nach wie vor "schmal" im Vergleich zu den maschinell aufgeweiteten Abschnitten Schwarzweg und Papierfabrik. Die Qualität der Vernetzung sollte deshalb nochmals erhoben werden, sobald grössere Abflüsse einen deutlichen Uferabtrag verursacht haben. Aufgrund der eigendynamischen Entwicklung ist in diesem Abschnitt mehr Geduld notwendig.

4 Uferlinie

4.1 Beschrieb

Grundlage

Praxisdokumentation Wirkungskontrolle (BAFU, 2019): Steckbrief Indikator-Set 3, Indikator 3.2 Uferlinie

Definition

Bestimmung der Uferlinie bei mittlerem Abfluss (MQ) vor und nach der Revitalisierung und Vergleich mit der potenziellen Uferlinie gemäss Referenzzustand.

Begründung

Die laterale Vernetzung zwischen Gewässer und Umland ist ein wichtiger ökologischer Schlüsselprozess. Dabei geht es einerseits um die Durchgängigkeit für Organismen, andererseits auch für Nährstoffe etc. Natürliche Gewässer sind sehr stark mit dem Umland vernetzt, nicht nur durch Überflutungen bei Hochwasser, sondern auch entlang der Uferlinie. Bei anthropogen beeinflussten Gewässern sind diese Verbindungen mehr oder weniger beschränkt. Der Indikator bestimmt die Qualität der Vernetzung im Vergleich mit dem Referenzzustand. Im Gegensatz zum Indikator Überflutungsdynamik wird hier vor allem die seitliche Vernetzung bei tieferen Wasserständen betrachtet.

4.2 Methode Erhebung und Auswertung

Methodik

Die Vorgehensweise beim Indikator Uferlinie entspricht weitgehend den Vorgaben der Praxisdokumentation (BAFU, 2019).

Erhebung Vorher- und Nachher-Zustand: Es wurde die Uferlinie in allen drei Abschnitten bei mittlerem Abfluss MQ (6.2 m³/s 5) mithilfe von 2D-Modellen (Kapitel 2.2.1) ermittelt. Ausserdem wurde die Länge des Talwegs in QGis bestimmt. Damit wurde das Verhältnis aus Uferlinie zu Talweg berechnet, welches mindestens 2 beträgt (geradliniges Gerinne).

<u>Erhebung Referenzzustand</u>: Die Uferlinie bei Mittelwasser im Referenzzustand wurde, wie bereits in Kapitel 3.2 beschrieben, entlang des blau eingefärbten Wasserkörpers der historischen Karte von 1825⁶ abgegriffen.

Für die Bewertung wird die aktuelle Uferlinie derjenigen unter historischen Bedingungen gegenübergestellt. Der standardisierte Wert wird wie folgt berechnet. Er entspricht dem Anteil der Uferlänge an der Referenz:

Mittlerer Jahresabfluss der Messstation Wiler (19.2 m3/s) minus Ausbauwassermenge Kraftwerk Biberist (13 m3/s)

⁶ Plan der Gebrüder Schwaller von 1825 aus dem Staatsarchiv des Kantons Solothurn.

 $Aktuelle\ Uferlinie\ (km/km)-2$

Erhebungen für den Vorher- und Nachher-Zustand

| Historische Uferlinie $(km/km) - 2$ | | | | | | | |
|-------------------------------------|----------|------------------|--------|--------|--------------|--------------|------------|
| Untersuchungsstrecken | Erheb | Erhebungszustand | | | | | |
| | Frühling | Sommer | Herbst | Winter | Niederwasser | Mittelwasser | Hochwasser |
| Emmenschachen | | | | | | • | |
| Schwarzweg | | | | | | • | |
| Papierfabrik | | | | | | • | |

Auswertung

Die Auswertung und Beurteilung der Daten erfolgte anhand der Praxisdokumentation (BAFU, 2019).

4.3 Resultate

| Strecke | | Vorher (2015) | Nachher (2023) | Referenz (1825) | Standardisierter Wert Vorher zu Referenz | Standardisierter Wert Nachher zu Referenz |
|--------------------|------------|---------------|----------------|-----------------|---|--|
| n- en | Uferlinie | 640 m | 1'050 m | 1'670 m | | |
| Emmen- schachen | Talweg | 310 M | 330 m | 380 m | 0.02 | 0.51 |
| S | Verhältnis | 2.05 | 3.23 | 4.40 | | |
| -Z. | Uferlinie | 590 m | 760 m | 1'610 m | | |
| Schwarz- weg | Talweg | 290 m | 290 m | 330 m | 0.01 | 0.21 |
| S | Verhältnis | 2.03 | 2.60 | 4.89 | | |
| brik | Uferlinie | 630 m | 710 m | 1'950 m | | |
| Papierfabrik | Talweg | 300 m | 310 m | 330 m | 0.03 | 0.08 |
| Pa | Verhältnis | 2.11 | 2.31 | 5.89 | | |

Tabelle 5 Länge der Uferlinie und des Talwegs und Verhältnis im Vorher-, Nachher- und Referenzzustand. Resultierende standardisierte Werte für den Indikator Uferlinie.

Vorher-Zustand

Die Uferlinie im Vorher-Zustand war in allen Abschnitten nur etwas mehr als doppelt so lang wie der Talweg, was auf den gestreckten Lauf ohne nennenswerte Variabilität der Uferlinie oder von Kiesbänken zurückzuführen ist. Dies resultiert in einem schlechten standardisierten Wert in allen drei Abschnitten (0.01-0.03).

Nachher-Zustand

Der Talweg in den drei Abschnitten änderte sich zwischen Vorher- und Nachher-Zustand nur geringfügig, was daran liegt, dass das Hauptgerinne im Rahmen des Hochwasserschutzprojektes nicht verlagert wurde. Die Uferlinie ist hingegen in allen Abschnitten länger geworden, insbesondere im Abschnitt Emmenschachen. Aus diesem Grund erreicht der standardisierte Wert für den Nachher-Zustand hier o.51, gefolgt vom Abschnitt Schwarzweg mit o.21. Der standardisierte Wert im Abschnitt Papierfabrik mit o.08 ist nur geringfügig besser als im Vorher-Zustand (o.03).

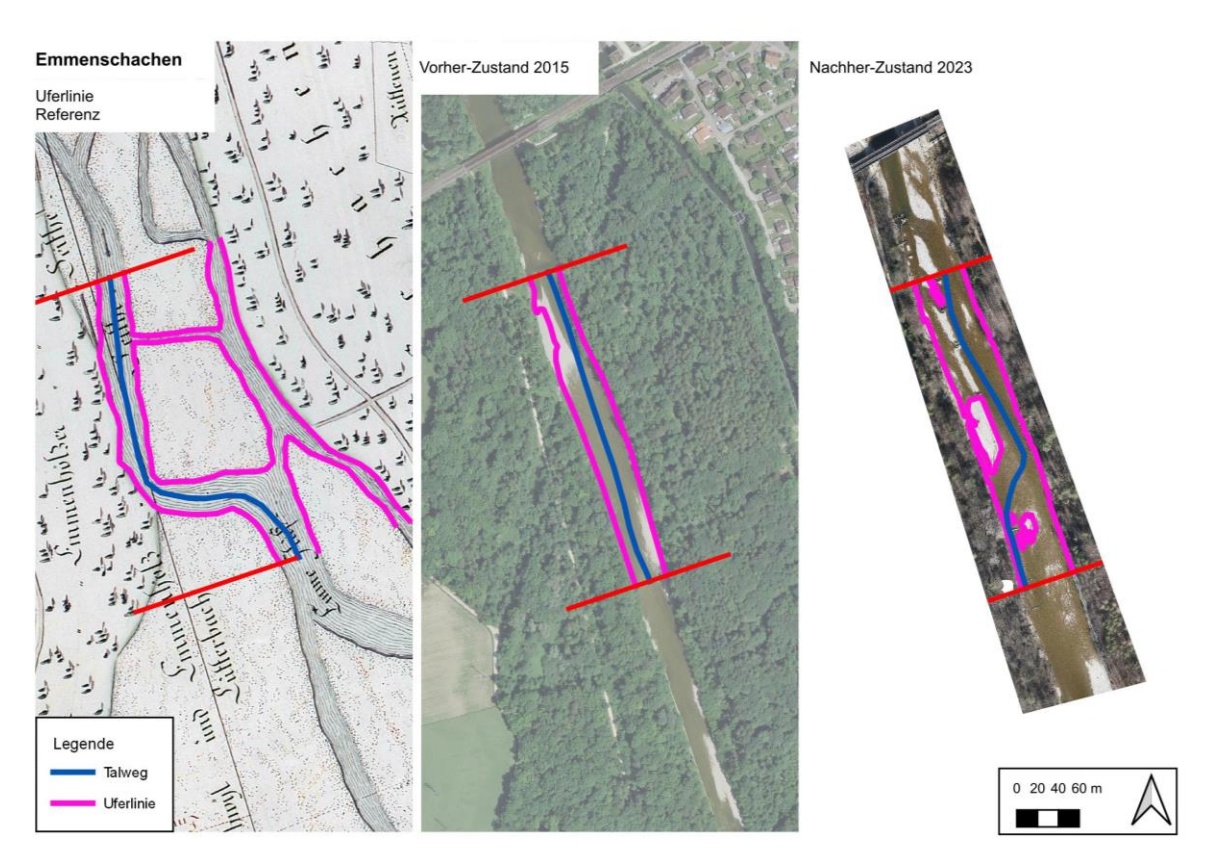


Abbildung 5 Uferlinie und Talweg bei MQ im Abschnitt Emmenschachen im Referenz-, Vorher- und Nachher-Zustand.

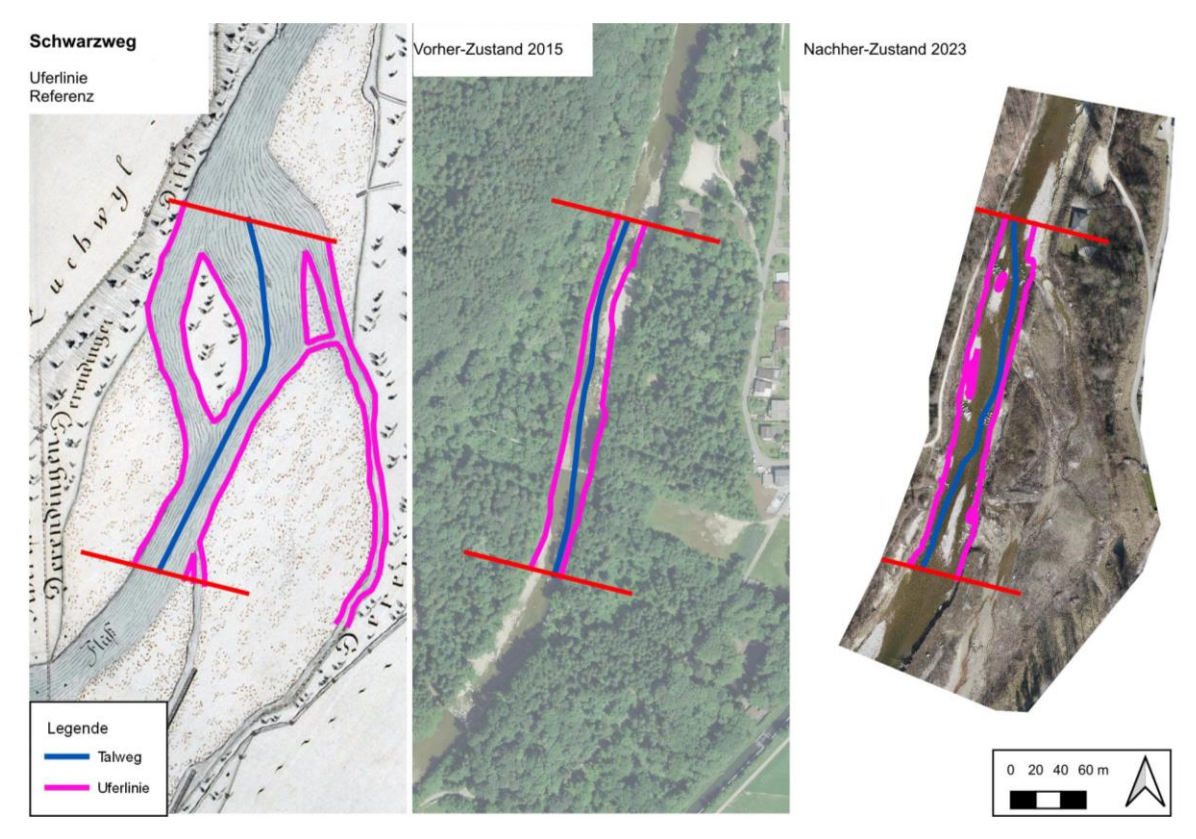


Abbildung 6 Uferlinie und Talweg bei MQ im Abschnitt Schwarzweg im Referenz-, Vorher- und Nachher-Zustand.

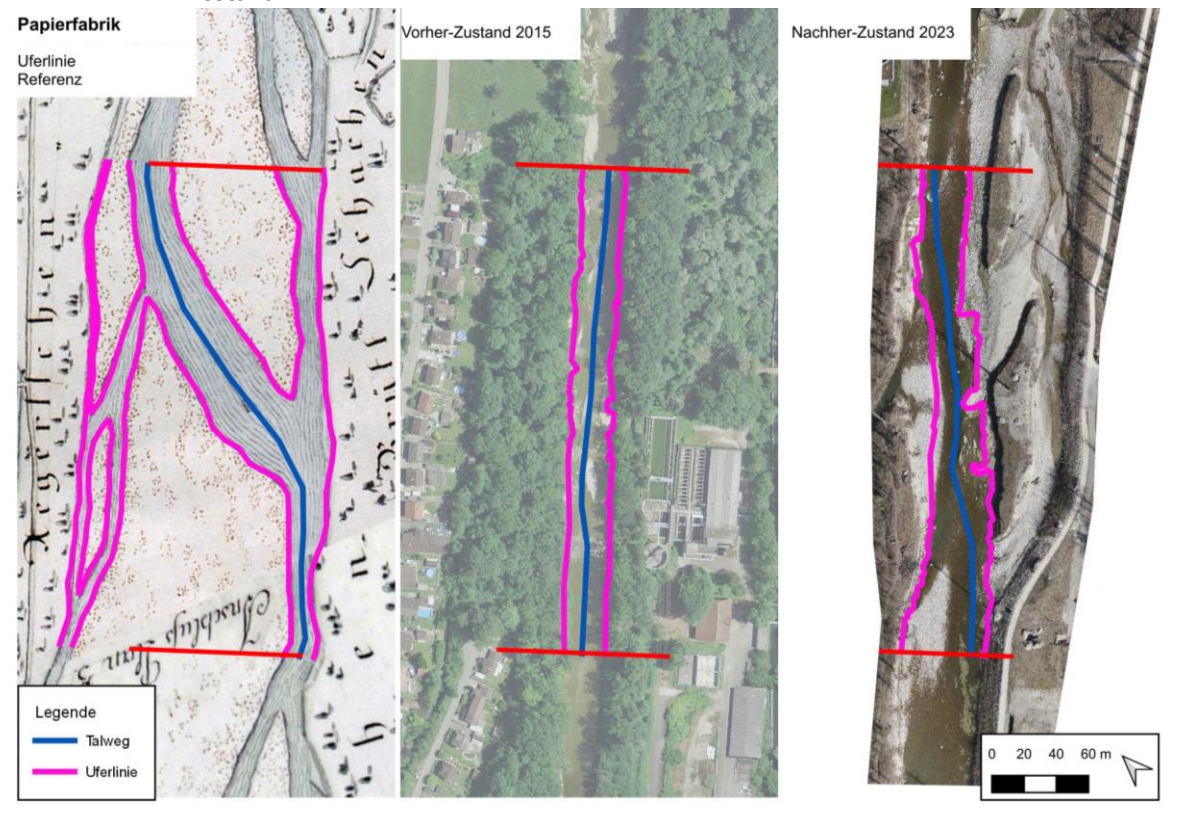


Abbildung 7 Uferlinie und Talweg bei MQ im Abschnitt Papierfabrik im Referenz-, Vorher- und Nachher- Zustand.

4.4 Vergleich mit Referenzzustand

Gemäss der historischen Karten wies die Emme im 19. Jahrhundert ein breites verzweigtes Kiesbett auf. Entsprechend hoch ist das Verhältnis aus Uferlinie zu Talweg. Der kanalartige Lauf im Vorher-Zustand hingegen stellt das mögliche Minimum an Uferlinie dar.

Der Abschnitt Emmenschachen ähnelt im Nachher-Zustand am ehesten der historischen Referenz. Durch die Verbreiterung des Gerinnes bildete sich eine strukturierte Sohle aus. Neben den mittigen Kiesinseln entstanden meist zwei durchflossene Arme, welche sich im Lauf der letzten Jahre sogar verlagerten. Bei mittlerem Abfluss ragen die Bänke heraus, weshalb die Uferlinie deutlich länger ist als im Vorher-Zustand.

In den anderen beiden Abschnitten hat sich die Emme in den anstehenden Felsen eingegraben. Durch diese Eintiefung ist der Bereich des mittleren Abflusses vordefiniert. Es sind keine Laufveränderungen wie im Emmenschachen mehr möglich. Deshalb unterscheidet sich die Uferlinie nicht sehr stark zum Vorher-Zustand. Lediglich die durchgeführten Massnahmen wie der Bau von Buhnen, Rampen, ingenieurbiologischen Strukturierungen und kleine Kiesbänke sorgen für mehr Länge in der Uferlinie.

4.5 Kurzdiskussion

Durch die Aufweitung der Emme wurden die Möglichkeiten für eine strukturreichere Sohle geschaffen. Die Auswertung des Indikators Uferlinie ergibt, dass die Verhältnisse gegenüber dem Vorher-Zustand besser geworden sind, aber dass der Referenzzustand nicht erreicht werden wird, auch in Zukunft nicht. Weil die Abschnitte Emmenschachen, Schwarzweg und Papierfabrik Restwasserstrecken sind, ist der Referenzzustand aber auch nicht ein geeignetes Mass für die Beurteilung. Eine Aufteilung der Emme in mehrere Arme wie im Referenzzustand hätte den Nachteil, dass die Abflusstiefen und Fliessgeschwindigkeiten gerade in den trockenen Perioden noch geringer würden, was aus gewässerökologischer Sicht unerwünscht wäre.

5 Geschiebehaushalt

5.1 Beschrieb

Grundlage

Handbuch EAWAG, Steckbriefnr. 12, Geschiebe: Geschiebehaushalt (Woolsey, S. et al., 2005). Da dieser Indikator schon im Ausgangszustand beurteilt wurde, wird er auch für die vorliegende Beurteilung des Geschiebehaushaltes verwendet.

Definition

Qualitative Beschreibung des Geschiebehaushaltes

Begründung

Sedimentation, Umlagerung und Erosion von Geschiebe (Korngrösse > 1 cm) sind die treibenden Kräfte eines Fliessgewässers. Sie sind für die Entstehung einer Vielzahl von Lebensräumen verantwortlich.

Der Geschiebeeintrag in die Projektstrecke muss darum genügend gross sein, und der Geschiebehaushalt muss sich in einem Gleichgewichtszustand oder sogar in einem leichten Auflandungszustand befinden. In einem solchen Zustand ist mit Sohlenstrukturen und einem vielfältigen Sohlensubstrat zu rechnen.

5.2 Methode Erhebung und Auswertung

Zu erhebende Daten

Auswertung der BAFU-Querprofile (Neuvermessung alle 10 Jahre)

Vorgehen

Beurteilung, ob ein Erosions- oder Auflandungszustand vorhanden ist. Bisherige Aufnahmen von BAFU-Querprofilen sind aus den Jahren 1928, 1970, 1979, 1984, 1992, 2004, 2006, 2013 und 2021 vorhanden.

Auswertung

Qualitative Beurteilung des Geschiebehaushaltes, des Geschiebetransports, der Geschiebeumlagerung und der Seitenerosionsprozesse aufgrund von gemessenen Längen- und Querprofilen. Auswertung der vorhandenen Berichte zum Geschiebehaushalt der Emme.

Die Bewertung des Geschiebeaufkommens im Einzugsgebiet erfolgt durch den Wert A_{Einzugsgebiet} (A_{EZG}). Dieser Wert beurteilt, wie stark das Geschiebeaufkommen im Einzugsgebiet beeinflusst ist. Bei einer geringen Beeinflussung beträgt der Wert o.5, bei einem stark reduzierten Aufkommen o.o (Woolsey, S. et al.).

Zur Bewertung der morphologischen Prozesse werden gemäss (Woolsey, S. et al.) folgende 5 Prozesse beurteilt und mit dem Parameter A_{Projektstrecke} (A_{PS}) bewertet:

- Durchgängigkeit: Ist die Durchgängigkeit des Geschiebes gewährleistet (A_{PS} = 0.0 bis 0.1)?
- 2. Seitenerosionsprozesse: Sind Seitenerosionsprozesse oder Gerinneverlagerungen möglich (A_{PS} = 0.0 bis 0.2)?
- Geschiebeumlagerung: Besteht die Tendenz zu Ablagerungen oder Umlagerungen (A_{PS} = 0.0 bis 0.2)?

- 4. Sohlenerosion: Besteht die Tendenz zu Sohlenerosion (A_{PS} = 0.0 bis -0.2)?
- 5. Defizite im Unterwasser: Führen Ablagerungen in der Projektstrecke zu einem Geschiebedefizit im Unterwasser (A_{PS} = 0.0 bis -0.2)?

5.3 Resultate

Geschichte

Im Rahmen der Korrektion gegen Ende des 19. Jahrhunderts wurde die Emme begradigt und ihr Gerinne eingeengt. Dies führte zu einer Zunahme der Transportkapazität und als Folge davon zu einer Eintiefung der Sohle. Zahlreiche Kiesentnahmen entlang des Flusslaufs verschärften die Situation. Zwar waren die Erosionen anfänglich erwünscht, um die Hochwassersicherheit zu erhöhen, schon bald nach der Korrektion zeigten sich jedoch die Nachteile in Form von unterspülten Brückenwiderlagern und Uferverbauungen. Mit dem Bau von Schwellen wurde versucht, der Eintiefungstendenz entgegenzuwirken. Unterdessen ist der Lauf der Emme mit ca. 80 Schwellen (Eggiwil bis Aare) massiv verbaut.

In der Studie Emme 2050 (Versuchsanstalt für Wasserbau, Hydrologie und Glaziologie ETH Zürich (VAW) und das Geographische Insitut der Universität Bern (GIUB), 1987) wurde die Erosionsproblematik untersucht. Die im Jahr 1987 abgeschlossene Studie zeigte, dass die Erosionsprozesse zwar am Abklingen sind, dass aber auch in Zukunft mit weiteren Erosionen zu rechnen ist. Aufgrund dieser Prognose wurde die Kiesentnahmestelle Utzenstorf, das letzte Kieswerk an der Emme, 1994 stillgelegt.

In der Periode von 1928 bis 1940 befand sich die Emme im Solothurner Abschnitt noch in einem Auflandungszustand. Grund für die Auflandungen im Unterlauf war der grosse Geschiebeeintrag wegen starker Erosionen im Oberlauf. Erst nachdem der Oberlauf durch den Bau von Schwellen immer mehr stabilisiert wurde und der Geschiebeeintrag nachliess, begann sich die Emme auch im Unterlauf einzutiefen. Im Solothurner Abschnitt war dies ab 1940 der Fall. Anschliessend erodierte die Emme anhaltend bis in die 80er Jahre und grub ihr Bett immer tiefer ein. Durch den Bau von Schwellen und Rampen wurde versucht, die Sohle zu stabilisieren.

Geschiebehaushalt in den letzten Jahrzehnten In der Periode von 1982 bis 2004 befand sich die Emme im Abschnitt Emmenmatt (Kanton Bern) bis Utzenstorf noch in einem Erosionszustand, im Solothurner Abschnitt wurden hingegen leichte Auflandungen festgestellt (Abbildung 8).

Die berechnete mittlere jährliche Geschiebefracht betrug an der Mündung in die Aare rund 12'800 m³/Jahr. Diese Menge passt gut mit der im Kiessammler Emmenspitz festgelegten Entnahmemenge von rund 13'100 m³/Jahr zusammen. Die grossen Hochwasser in den Jahren 2005 und 2007 bewirkten eine markante Zunahme des Geschiebetriebes. So wurde im Zeitraum von 2005 bis Ende 2007 im

Durchschnitt mehr als die doppelte Menge (ca. 30'000 m³/Jahr) aus dem Kiessammler Emmenspitz entnommen.

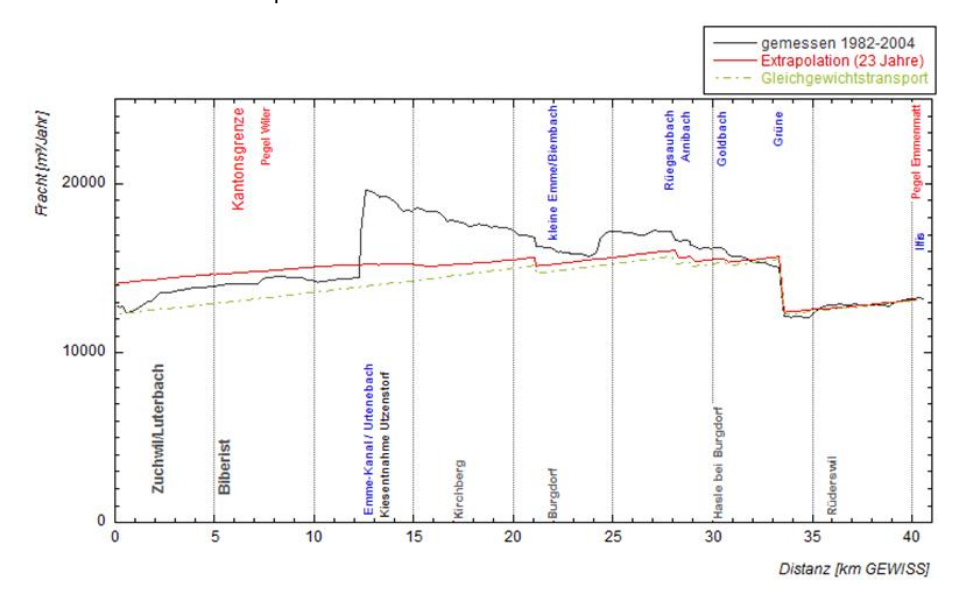


Abbildung 8 Mittlere jährliche Geschiebefrachten⁷ in der Periode 1982-2004 und in Zukunft (Extrapolation) bei gleich bleibender Geschiebezufuhr.

Bewertung Geschiebeaufkommen Wegen der Einengung der Emme einerseits und der Sohlenstabilisierungsmassnahmen im Einzugsgebiet und in der Emme andererseits ist der Geschiebehaushalt anthropogen massiv beeinflusst. Die Geschiebezufuhr in die Projektstrecke ist jedoch so gross, dass sie den ökologischen Anforderungen genügt. Das Geschiebeaufkommen im IST-Zustand wird darum wie im unbeeinflussten Zustand bewertet.

5.4 Vergleich mit Ausgangszustand

Der Vergleich der Querprofile aus den Jahren 2013 (vor Massnahmen) und 2021 (nach Massnahmen) zeigt, dass die Emme abschnittsweise massiv verbreitert wurde (Abbildung 10). Da die Aufweitung maschinell erfolgte, können aus der Sohlenveränderungen aber noch keine definitiven Schlussfolgerungen über die Seitenerosionsprozesse oder die Sohlendynamik gezogen werden. Dies ist erst mit der nächsten Aufnahme möglich. Die gemessenen Auflandungen im Hauptgerinne (Abbildung 9), welche eine Folge der abschnittsweisen Verbreiterungen sind, sowie

Das Transportdiagramm stellt den Verlauf der Geschiebeführung entlang einer betrachteten Strecke dar. Eine leicht fallende Kurve entspricht einem Geschiebegleichgewicht unter Berücksichtigung des Geschiebeabriebs. Ein sprunghafter Anstieg deutet auf den Geschiebeeintrag eines Zubringers hin, ein sprunghafter Abfall auf eine Geschiebeentnahme. Eine Sohlenerosion wird durch einen mehr oder weniger starken Anstieg der Kurve beschrieben, während ein Abfall auf eine Auflandung hindeutet.

die grossen Gerinnebreiten in den Aufweitungen Papierfabrik, Schwarzweg, Rüti und Emmenschachen lassen aber schon jetzt darauf schliessen, dass ein grosses Potenzial für dynamische Prozesse (Geschiebeumlagerungen und Seitenerosionsprozesse) geschaffen wurde.

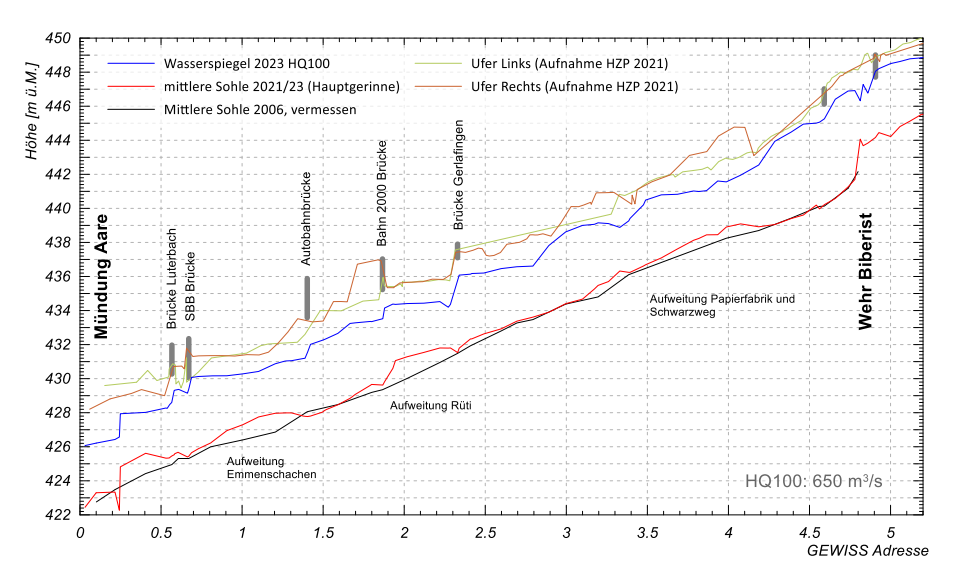
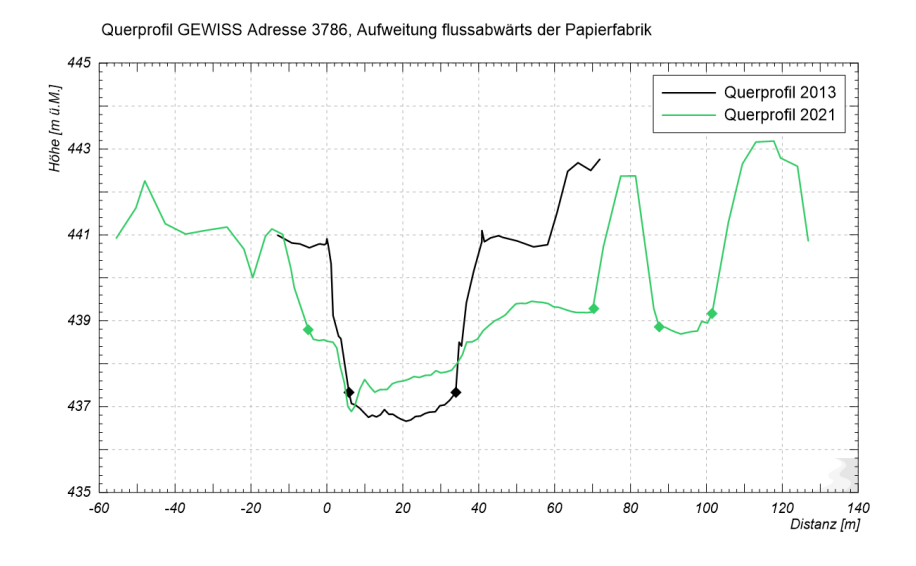
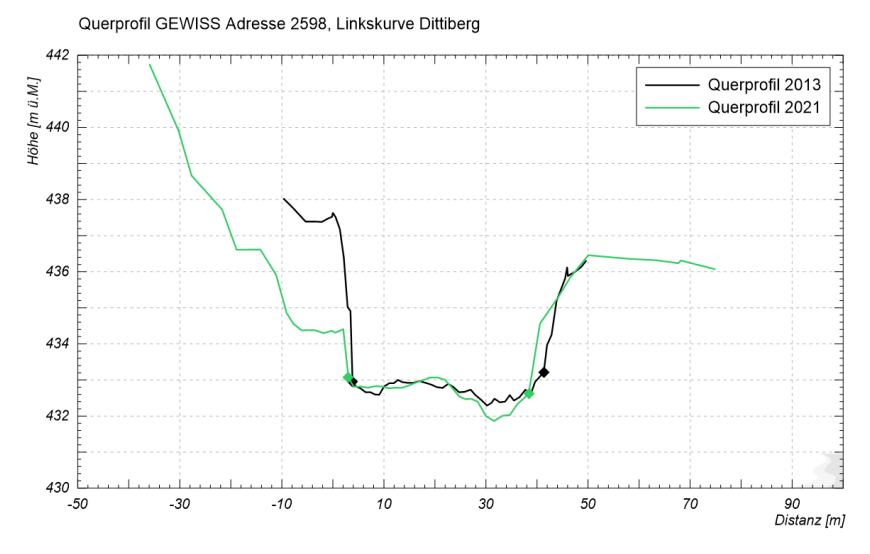
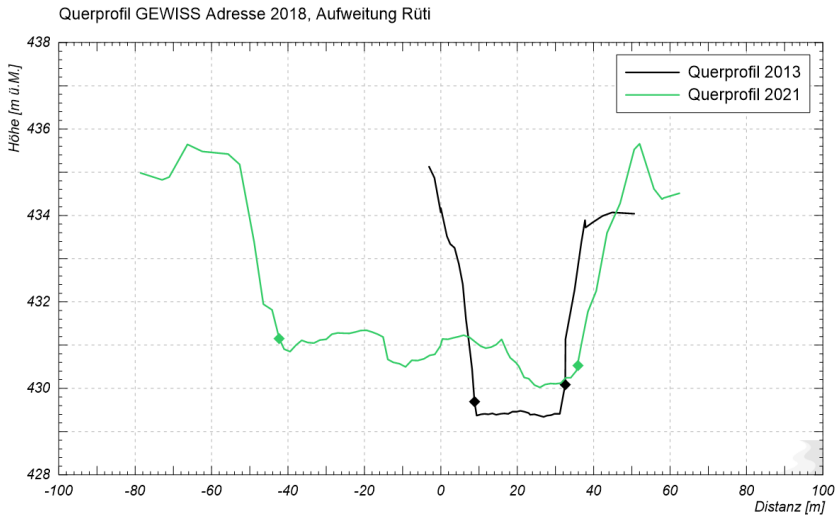
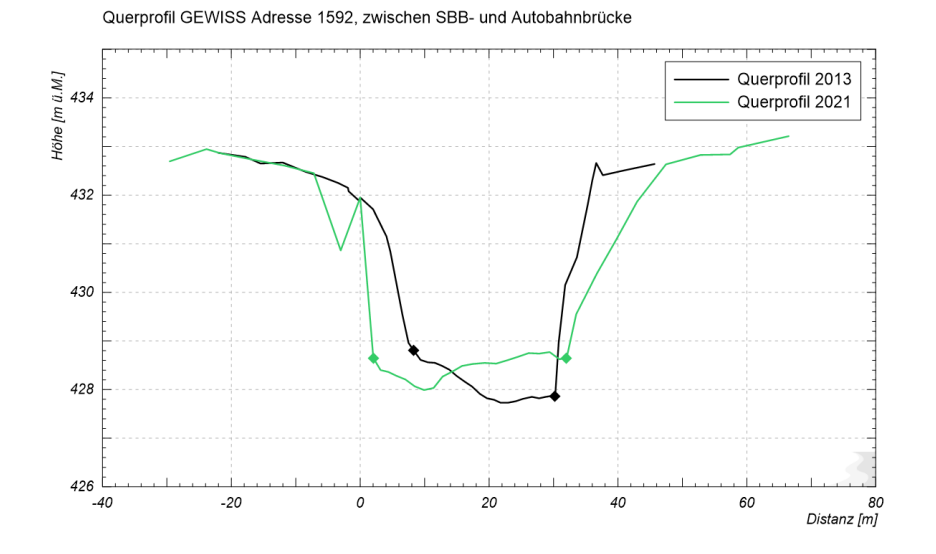


Abbildung 9 Längenprofil zwischen Biberist und der Mündung der Emme in die Aare









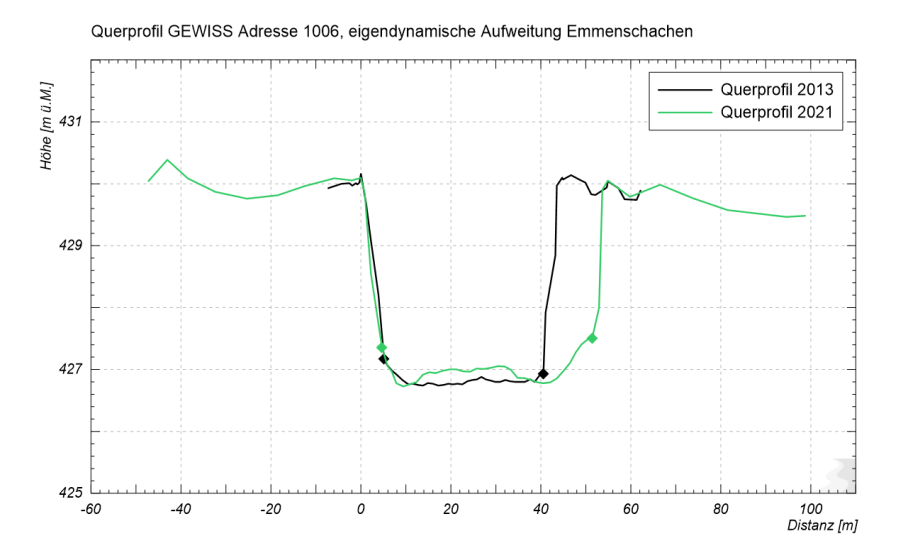


Abbildung 10 Veränderung der Gerinnegeometrie an 5 Standorten

5.5 Kurzdiskussion

AEZG Wert

Im näheren Einzugsgebiet, zwischen Kirchberg und der Kantonsgrenze BE/SO, wurden seit 2013 zwei Aufweitungen realisiert (Kirchberg-Alchenflüh und Aemmeschachen bei Utzenstorf). Diese Aufweitungen führten gemäss den Querprofilaufnahmen des BAFU⁸ von 2013 bis 2021 zu einer Reduktion des Geschiebetransports flussabwärts und zu einer geringeren Geschiebezufuhr in den Solothurner Abschnitt⁹. Nach Abschluss der Umlagerungsprozesse in den Aufweitungen wird der Durchtransport aber wieder gewährleistet sein. Der A_{EZG} Wert wird darum mit 0.5 bewertet.

Durchgängigkeit

Das Wehr Biberist ist für das Geschiebe durchgängig. Ein temporärer Rückhalt flussaufwärts des Wehres bei Niederwasser ist möglich, bei Hochwasser wird das Material jedoch wieder mobilisiert und durchtransportiert. Der A_{PS} Wert für die Durchgängigkeit beträgt darum o.1.

Seitenerosionsprozesse In den Aufweitungen Papierfabrik und Schwarzweg sind die Inseln zwischen dem Hauptgerinne und den tief liegenden Überflutungsflächen nicht befestigt und können erodiert werden. Im Emmenschachen sind die Ufer nicht gesichert und unterliegen eigendynamischen Erosionsprozessen. Wegen der sich bildenden Sohlenstrukturen und der daraus folgenden Querströmungen darf in Zukunft tendenziell mit einer Intensivierung der Seitenerosionsprozesse, vor allem im

⁸ Analyse der Veränderung der mittleren Sohle

⁹ In der Auswertung der Sohlenveränderungen ist die Geschiebezufuhr aus Seitenerosionsprozessen nicht berücksichtigt

Emmenschachen, gerechnet werden. Diese Prozesse können aber nur abschnittsweise erfolgen, der A_{PS} Seitenerosionsprozesse beträgt darum 0.1.

Geschiebeumlagerung Die Analyse der Sohlenveränderungen zwischen 2013 und 2021 zeigt, dass in den Aufweitungen die Sohle auflandet und sich die Sohle strukturiert. Diese morphologischen Prozesse sind in der Mehrheit der Abschnitte vorhanden (Abbildung 11). Zwar ist damit zu rechnen, dass in den grossen Aufweitungen Papierfabrik und Schwarzweg, welche nur selten überflutet werden, eine dichte Vegetation aufkommt, welche die morphologischen Umlagerungsprozesse stark begrenzt, im Hauptgerinne und in den Aufweitungen Rüti und Emmenschachen ist jedoch mit intensiven Umlagerungsprozessen zu rechnen. Der Aps Geschiebeumlagerungen wird darum mit dem Maximum = 0.2 bewertet.

Bewertung Geschiebehaushalt Insgesamt wird die Geschiebehaushaltsbewertung aus der Summe der Bewertungen des Geschiebeaufkommens und der Projektstrecke berechnet. Für das Jahr 2015 betrug der standardisierte Wert für den Geschiebehaushalt o.6. Infolge der Massnahmen hat dieser auf o.9 zugenommen.



Abbildung 11 Strukturierung der Sohle nach den Massnahmen (Luftbilder gemäss SOGIS im Feb. 2023)

Bewertung Projektstrecke

Die Projektstrecke wird wie folgt bewertet:

| Bewertungsparameter | Vor Massnahmen (2015) | Nach Massnahmen (2023) |
|--|-----------------------------|------------------------------|
| | | |
| A _{EZG} Wert | 0.5 | 0.5 |
| A _{PS} Durchgängigkeit | 0.1 | 0.1 |
| A _{PS} Seitenerosionsprozesse | 0.0 | 0.1 |
| A _{PS} Geschiebeumlagerungen | 0.0 | 0.2 |
| A _{PS} Sohlenerosion | 0.0 | 0.0 |
| A _{PS} Defizit im Unterwasser | 0.0 | 0.0 |
| Standardisierter Wert | 0.6 | 0.9 |

6 Wassertemperatur

6.1 Beschrieb

Grundlage

Praxisdokumentation Wirkungskontrolle (BAFU, 2019), Indikatorset 11 «Spezifische Ziele». Auswertung nach (Dübendorfer et al., 2011) (Guthruf, 2002)

Definition

Räumliche und zeitliche Entwicklung der Wassertemperatur, mit einem Schwerpunkt auf der sommerlichen Schönwetter- und Niederwasserperiode.

Begründung

Die Wassertemperatur ist eine der Schlüsselgrössen aquatischer Ökosysteme. Sie bestimmt die Zusammensetzung und Verteilung der aquatischen Organismen sowie die Geschwindigkeit, mit der fundamentale Prozesse ablaufen. In vielen natürlichen Gewässern variiert die Wassertemperatur räumlich und zeitlich, z. B. bedingt durch aufstossendes Grundwasser, Beschattung und Zuflüsse.

Ökologischen Aufwertungen von Flüssen wird prinzipiell eine «kühlende» Wirkung zugeschrieben (bessere Beschattung, verstärkter Austausch mit dem Grundwasser, bessere Vernetzung mit den Auengewässern). Das Angebot und die Erreichbarkeit von thermischen Refugien für Fische und andere Organismen verbessern sich. Dem steht aber ein erhöhter Anteil an nackten Kiesflächen gegenüber. Sie erwärmen sich im Sommer stark und «produzieren» daher bei Regen warmes Wasser. Die Wassertemperatur kann in der Emme für Fische kritische Werte erreichen.

6.2 Methode Erhebung und Auswertung

Zu erhebende Daten

Zeitreihen der Wassertemperatur an 3 Stellen entlang der Restwasserstrecke

Vorgehen

Ganzjährige Messung der Wassertemperatur mit einer zeitlichen Auflösung von 10 Minuten. Betreuung und Auslesung der Temperaturlogger durch die Hydrometrie des Amtes für Umweltschutz SO.

Erhebungen

Standort Biberist

Dauer: 14.5.2023 - 13.5.2024

Koordinaten: 2'609'518 / 1'225'494

Uferseite: links

Standort Luterbach (Emmenschachen)

Dauer: 14.5.2023 - 13.5.2024

Koordinaten: 2'610'209 / 1'229'160

Uferseite: links

Die Standorte beider Logger sind nicht identisch mit denen von 2014. Sie mussten wegen der Umgestaltung der Ufer anders platziert werden. Sie wurden jedoch so gewählt, dass sie vergleichbar mit denjenigen von 2014 sind.

Der Temperaturlogger am dritten Standort bei Derendingen (Schwarzweg) ging verloren, weshalb für diesen Standort keine Daten vorliegen.

| Untersuchungsstrecken | Erhebungszustand | | | | | | |
|------------------------------------|------------------|--------|--------|--------|--------------|--------------|------------|
| | Frühling | Sommer | Herbst | Winter | Niederwasser | Mittelwasser | Hochwasser |
| Standort Biberist | • | • | • | • | | | |
| Standort Derendingen (Schwarzweg) | _ | _ | _ | _ | | | |
| Standort Luterbach (Emmenschachen) | • | • | • | • | | | |

Auswertung

Die Emme gehört limnologisch zum Hyporhithral, dessen Leitart die Äsche ist. Die Bewertung des Temperaturregimes orientiert sich an Normwerten für diesen Gewässertyp und diese Fischart. Für die entsprechenden Auswertungen wurde die Excel-Anwendung des sistierten Moduls «Temperatur des Modulstufenkonzeptes» verwendet.

Folgende Auswertungen wurden durchgeführt:

- Normalbereich: Bewertung der Natürlichkeit der Temperaturverhältnisse anhand der Abweichungen von einer für den Gewässertyp charakteristischen Sollkurve. Datenbasis Tagesmittelwerte.
- Temperaturschwellenwerte: Vergleich mit spezifischen Grenzwerten für zwei ökologisch sensitive Zeitfenster der Äsche (Tabelle 6): Entwicklungszeit der Eier und Schlupfzeit der Larven sowie Entwicklungszeit der Larven und der Jungfische (o+-Fische). Datenbasis Tagesextremwerte (Maxima und Minima).

| Zeitfenster | von Tag | bis Tag | OSS [°C] | Tol _{oss} [Anz.] | OL [°C] | Tol _{OL} [Anz.] |
|-------------|----------|---------|----------|---------------------------|---------|--------------------------|
| ZF 1 | 91 | 120 | 14 | 6 | 16 | 3 |
| ZF 2 | 121 | 270 | 24 | 15 | 26 | 0 |
| Zeitfenster | von Tag | bis Tag | USS [°C] | Tol _{uss} [Anz.] | UL [°C] | Tol _{II} [Anz.] |
| | 1011 149 | DIS Tag | 033 [C] | TOIUSS [ATTZ.] | OL [C] | ا ۱۰۱۱ ال ال |
| ZF 1 | 91 | 120 | 5 | 6 | 3 | 3 |

Tabelle 6 Temperaturansprüche an die Tagesmaximal- und Tagesminimaltemperatur der Äsche (Dübendorfer et al., 2011).

OSS = Obere Schadensschwellentemperatur

OL = Obere Letaltemperatur

USS = Untere Schadensschwellentemperatur

UL = Untere Letaltemperatur

Tol = Anzahl tolerierbare Tage mit Über- bzw. Unterschreitung

6.3 Resultate

Die Tagesmittelwerte von Biberist zeigten 3 Unterschreitungen und 60 Überschreitungen des normalen Temperaturbereichs für das Hyporhithral. In Luterbach waren es ebenfalls 3 Unterschreitungen, aber 94 Überschreitungen. Zusätzlich gab es an beiden Standorten je 3 Überschreitungen der oberen Schwankungsgrenze. Die Abweichungen von der Sollkurve waren somit erheblich, in Luterbach zudem deutlich ausgeprägter als in Biberist (Abbildung 12).

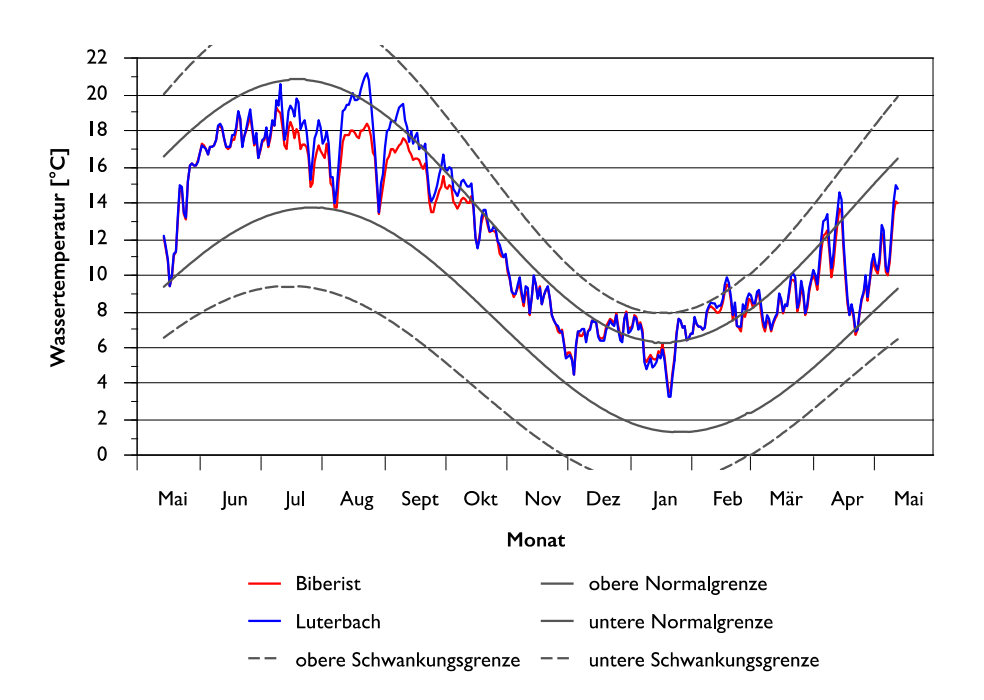


Abbildung 12 Verlauf der Wassertemperatur (Tagesmittelwerte) an den Standorten Biberist und Luterbach vom April 2023 bis Mai 2024. Definition der oberen Normalgrenze: über die Referenzstationen gemittelte 95 % -Quantile der Tagesmaximaltemperaturen. Abgrenzung des Schwankungsbereichs zum Extrembereich: Umhüllende aller 95 %-Quantile der Tagesmaximaltemperaturen (Maximum über alle Referenzstationen).

Betrachtet man die Temperaturschwellenwerte zeigt sich ein ähnliches Bild. In Biberist lagen 6, in Luterbach 9 Tagesmaxima über dem Schadensschwellenwert von 14 °C während der sensiblen Phase im April (Entwicklungszeit der Äscheneier). In Luterbach lagen zudem während des zweiten sensitiven Zeitfensters im Sommer 3 Tagesmaxima über dem Schwellenwert von 24 °C. Zusätzlich lagen in Biberist ein, in Luterbach 3 Tagesmaximalwerte über dem als Letaltemperatur geltenden Wert von 16 °C während der sensiblen Phase im April.

6.4 Vergleich mit Ausgangszustand

Ein Vergleich der Wassertemperatur im kanalisierten Zustand (2014) mit der im revitalisierten Zustand (20023/24) ist nur sehr bedingt möglich. Allfällige Veränderungen aufgrund der Umgestaltung des Gerinnes werden durch die klimatisch unterschiedlichen Jahre überlagert. Der April 2014 war wärmer, der von 2023 kühler als im langjährigen Durchschnitt. Der Sommer 2014 hingegen war kühler, der von 2023 wärmer als im Mittel zu erwarten war.

Somit überrascht es nicht, dass 2023 mehr Überschreitungen des normalen Temperaturbereichs festgestellt wurden als 2014. In Biberist waren es plus 40 %, in Luterbach plus 260 %. Hinsichtlich der Anzahl Überschreitungen der oberen Temperaturschwellenwerte zeigt sich ein differenzierteres Bild: Im Jahr 2023 wurde gegenüber 2014 ein Plus von 200 % in Biberist, aber ein Minus von 8 % in Luterbach verzeichnet.

Die 2023 besseren Bedingungen hinsichtlich der Maximaltemperaturen in Luterbach zeigen sich auch im Vergleich der Anzahl Tagesmaxima über der Letaltemperatur im April. Während dies 2014 an 5 Tagen der Fall war, lagen 2023 nur 3 Tagesmaxima darüber.

6.5 Kurzdiskussion

Für die Messstelle Derendingen lagen wegen des Verlusts des Loggers keine Daten vor.

Entlang der Untersuchungsstrecke ist bei Niederwasser (Restwasser) prinzipiell eine Erhöhung der Wassertemperatur im Sommer und eine Absenkung im Winter zu erwarten. Diese Annahme wurde bereits in einer früheren Untersuchung an der Emme bestätigt (Guthruf. J., 2002). Die nun erhobenen Messwerte bekräftigen diesen Befund für das Sommerhalbjahr. Die Exfiltration von Grundwasser oberhalb der Felsrippe bei Derendingen (Stelle Biberist) vermag offenbar den Anstieg der Wassertemperatur (vgl. Juli – Oktober in Abbildung 12) nicht zu verhindern. Eine deutliche Abkühlung im Winter konnte hingegen nicht beobachtet werden.

Die festgestellten Über- und Unterschreitungen der Tagesmittelwerte vom erwarteten **Normalbereichs** werden als eine Abweichung von den natürlichen Temperaturverhältnissen angesehen. Insbesondere die Überschreitungen gelten bei häufigem Auftreten als ökologisch relevant. Die vielen Abweichungen von der Sollkurve führen in der fünfstufigen Klassierung für beide Stellen zu einer Einstufung in die Klasse 3 ("wesentlich verändert"; Tabelle 7). Gegenüber den Daten von 2014 verändert sich damit für den Standort Biberist nichts. Für Luterbach hingegen resultierte damals eine bessere Grundbewertung («wenig verändert»).

Zur Feinjustierung der Bewertung wird ermittelt, ob und wie viele der acht **Temperaturschwellenwerte** für die Äsche (Tabelle 6) öfter als gemäss der art- und

periodenspezifischen Anzahl tolerierbarer Tage über- resp. unterschritten werden. Die Grundbewertung wird um eine Klasse bzw. zwei Klassen erhöht, falls 2–3 bzw. > 3 Schwellenwerte überschritten werden.

Für die Stelle Biberist wird wie bereits für die Daten 2014 kein Temperaturschwellenwert überschritten. Folglich erfolgt keine Korrektur der Grundbewertung. Beim Standort Luterbach wurde für 2023/24 lediglich ein Schwellenwert, für 2014 aber zwei Schwellenwerte überschritten. Demnach wurde die Grundbewertung für die damaligen Daten um einen Punkt nach unten korrigiert. Somit resultierte für beide Messreihen und für beide Standorte ein Wert von 3, was einer Zustandsklasse von "wesentlich verändert" entspricht.

| Messstelle | 2014 | | | 2023/24 | | | |
|-------------|----------------|-----------------|----------------|----------------|-----------------|----------------|--|
| | Grundbewertung | Korrekturfaktor | Zustandsklasse | Grundbewertung | Korrekturfaktor | Zustandsklasse | |
| Biberist | 3 | +0 | 3 | 3 | +0 | 3 | |
| Derendingen | Logge | erverlust | | Dat | enlücke | | |
| Luterbach | 2 | +1 | 3 | 3 | +0 | 3 | |

Tabelle 7 Bewertung der Natürlichkeit der Wassertemperatur gemäss MSK Temperatur (Dübendorfer et al., 2011).

Das Temperaturregime im Untersuchungsperimeter der Emme gilt demnach als "wesentlich verändert". Diese Aussage ist aber gemäss dem Modul Temperatur des Modulstufenkonzeptes (Dübendorfer et al., 2011) als "provisorisch" zu werten, da eine Zeitreihe von mindestens 5 Jahren für verlässliche Aussagen verlangt wird. Die Bewertung wird aber gestützt durch den Befund, dass Kaltwasserarten im Fischbestand weitgehend fehlen (Kap. 17).

Das Jahr 2023 war nach 2022 über die gesamte Schweiz betrachtet das zweitwärmste seit Messbeginn (MeteoSchweiz, 2024). Nach einem Frühling mit Lufttemperaturen im Bereich der Norm, brachten Juli und August Hitzewellen. Aber auch September und Oktober zeigten Rekordtemperaturen. Insofern kann der Jahresgang 2023/24 in der Emme als überdurchschnittlich warm eingestuft werden – im Gegensatz zu dem von 2014, der zu kühl war.

7 Wassertiefe und Fliessgeschwindigkeit

7.1 Beschrieb

Grundlage

Praxisdokumentation Wirkungskontrolle (BAFU, 2019), Indikator 1.3 Wassertiefe und 1.4 Fliessgeschwindigkeit

Berechnung des HMID (Hydromorphologischer Index der Diversität) (Gostner, W., Schleiss, A., 2011)

Definition

Bestimmung der hydraulischen Bedingungen (Wassertiefe, Fliessgeschwindigkeit bei günstige Abflussbedingungen, d.h. mittlere Niederwasserführung wie z.B. im Spätsommer und Herbst für Gewässer in tieferen Lagen (Q200 bis Q300).

Begründung

Die Variabilität der Abflusstiefen und Fliessgeschwindigkeiten ist ein geeigneter Parameter zur Beurteilung der Morphologie resp. der Sohlenstrukturen. Zudem charakterisiert sie die räumliche Verteilung unterschiedlicher Lebensräume, insbesondere für Adult- und Jungfische.

7.2 Methode Erhebung und Auswertung

Methodik

Als Grundlage für die Auswertung wurde ein hydraulisches Strömungsmodell erstellt. Dieses basiert auf einem Geländemodelle mit korrigierter Sohlentopografie, welche 2015 auf der Grundlage von Gerinnevermessungen mit dem GPS erstellt wurde, 2023 durch die Befliegung mit einer Drohne. Das Geländemodell 2023 wurde durch die Firma W+H AG generiert.

Für die Modellierung wurde sowohl im Vorher- als auch im Nachher-Zustand der Restwasserabfluss im Winter von 1.8 m³/s verwendet ¹º. Das Ergebnis der hydraulischen Simulationen ist eine Raster-Datei pro Zeitpunkt (2015 und 2023) mit einer Auflösung von 50x50 cm mit Informationen zu Geländehöhe, Fliessgeschwindigkeit und Wassertiefe an jedem Pixel. Die Modellierung bietet also den Vorteil einer flächenhaften Erfassung der Wassertiefen und Fliessgeschwindigkeiten. Einziger Nachteil sind die Ungenauigkeiten in tiefen Bereichen (Kolke) und Weisswasserbereichen. Dort werden die Fliesstiefen unterschätzt und entsprechen nicht den vor Ort abgeschätzten Tiefen. Ansonsten ist die flächenhafte Modellierung der Wassertiefen und Fliessgeschwindigkeiten sehr genau.

Ermittlung HMID

Beim Vorher-Zustand 2015 wurde der HMID (Hydromorphologische Index der Diversität) ausgewertet. Dieser wurde mittlerweile vom Indikator 1.3 und 1.4 der Praxisdokumentation abgelöst. Da die Ergebnisse der standardisierten Bewertung gemäss der Praxisdoku aus unserer Sicht nicht die tatsächlichen Bedingungen

Die Restwassermengen von 0.6 bis 1 m³/s wurden 2013 erhöht und betragen seither 1.8 m³/s von September bis April und 2.3 m³/s von Mai bis August.

widerspiegeln (siehe unten), wurde zusätzlich der HMID für den Nachher-Zustand berechnet. Wegen der Verwendung der ganzen Punktwolke des Modells, fallen bei der Analyse des HMID einzelne Ungenauigkeiten (Kolke) nicht ins Gewicht.

In den HMID gehen alle Werte (Rasterzellen des 2d-Modells 50x50 cm, siehe oben) innerhalb des benetzten Bereichs ein. Der HMID wird mit folgender Formel für die Gesamtstrecke der einzelnen Abschnitte berechnet:

$$HMID_{Abschnitt} = \prod_{i} V(i) = V(v) \cdot V(t) = \left(1 + \frac{\sigma_{v}}{\mu_{v}}\right)^{2} \cdot \left(1 + \frac{\sigma_{t}}{\mu_{t}}\right)^{2}$$

Ermittlung standardisierter Wert Zusätzlich zum HMID wurden Fliessgeschwindigkeiten und Wassertiefen des Vorher- und des Nachher-Zustands gem. der Methodik der Praxisdokumentation ausgewertet. Der Vorteil gegenüber dem HMID ist eine getrennte Bewertung der Wassertiefen und Fliessgeschwindigkeiten. Entgegen der Methodik laut Praxisdoku wurden keine Querprofile vor Ort aufgenommen, sondern die Daten aus dem hydraulischen 2D-Strömungsmodell extrahiert.

Pro Abschnitt wurden 19-20 Querprofile definiert und mit einem Punktabstand von 1 m die Fliessgeschwindigkeiten und Wassertiefen herausgelesen.

Die Wassertiefe wird anhand der maximalen Wassertiefe pro Querprofil ausgewertet. In die Berechnung gehen in diesem Fall also lediglich 19-20 Werte (da 19-20 Querprofile) ein. Der Quotient aus Standardabweichung und Mittelwert der maximalen Wassertiefe ergibt den standardisierten Wert. Dieser reagiert extrem sensitiv auf Ausreisser. Wird in einem der 19-20 Querprofile die maximale Wassertiefe von 0.8 (Modell) auf 1.6m (vor Ort gemessen) angepasst verändert sich der standardisierte Wert der Wassertiefe von 0.32 auf 0.54.

Wegen der Unsicherheiten des Modells in der Erfassung der Kolktiefen und der beschriebenen Sensitivität des Parameters der Wassertiefe wurde entschieden, zusätzlich den Indikator HMID auszuwerten (siehe oben).

Die Fliessgeschwindigkeit wird mithilfe des Quotienten aus Standardabweichung und Mittelwert aller Messpunkte aller Querprofile ausgewertet. Der standardisierte Wert wird anhand einer Funktion bestimmt ((BAFU, 2019).

Erhebungen für den Vorher- und Nachher-Zustand

| Untersuchungsstrecken | Erheb | Erhebungszustand | | | | | |
|-----------------------|----------|------------------|--------|--------|--------------|--------------|------------|
| | Frühling | Sommer | Herbst | Winter | Niederwasser | Mittelwasser | Hochwasser |
| Emmenschachen | | | | • | • | | |
| Schwarzweg | | | | • | • | | |
| Papierfabrik | | | | • | • | | |

7.3 Resultate und Vergleich mit dem Vorher-Zustand

7.3.1 Emmenschachen

Vorher-Zustand

Der Abschnitt wies im Vorher-Zustand 2015 auf den ersten 200 m ein sehr monotones Gerinne auf. Die Sohle war quasi eben mit minimal ausgeprägtem Talweg. Im Gerinne befanden sich fast keine grossen Steine oder andere Elemente (z. B. Wurzelstöcke), welche die regelmässige Strömung störten. Bereits bei kleinen Abflüssen war die ganze Sohle benetzt. Auf den letzten 100 m änderten sich die morphologischen Verhältnisse aufgrund einer linksseitigen Kiesbank. Der Abfluss konzentrierte sich entlang der rechten Böschung und sorgte dort für erhöhte Wassertiefen und Fliessgeschwindigkeiten. Am Ende der Strecke befand sich eine Schwelle. Entsprechend verhielt sich die Wassertiefe. Diese war auf den ersten 200m sehr homogen. Entlang der Kiesbank waren dann etwas erhöhte Wassertiefen von ca. 60cm vorhanden. Die Wassertiefen und Fliessgeschwindigkeiten zeigten insgesamt ein recht einfaches Muster. Auch lateral, also quer zur Fliessrichtung gesehen, war wenig Variabilität vorhanden. Die mittlere benetzte Breite betrug 2015 ca. 30 m.

Nachher-Zustand

Im Rahmen der Massnahmen wurde das Gerinne wesentlich aufgeweitet. Die mittlere benetzte Breite liegt heute bei etwa 39 m und ist damit fast 10 m breiter als 2015. Es gibt ausgeprägte Flachwasserzonen. Entlang der steilen, teils unterspülten Ufer stellen sich teilweise hohe Wassertiefen über 1.5 m ein. Auf der gesamten Untersuchungsstrecke sind strömungsbeeinflussende Elemente vorhanden, welche lokal höhere Wassertiefen bis zu 1 m (Kolke) ermöglichen. In den Kolken sind besonders geringe Fliessgeschwindigkeiten bis hin zu stehendem Wasser vorhanden. Das Mosaik aus Wassertiefe und Fliessgeschwindigkeit ist vielfältig und auch die laterale Variabilität ist hoch

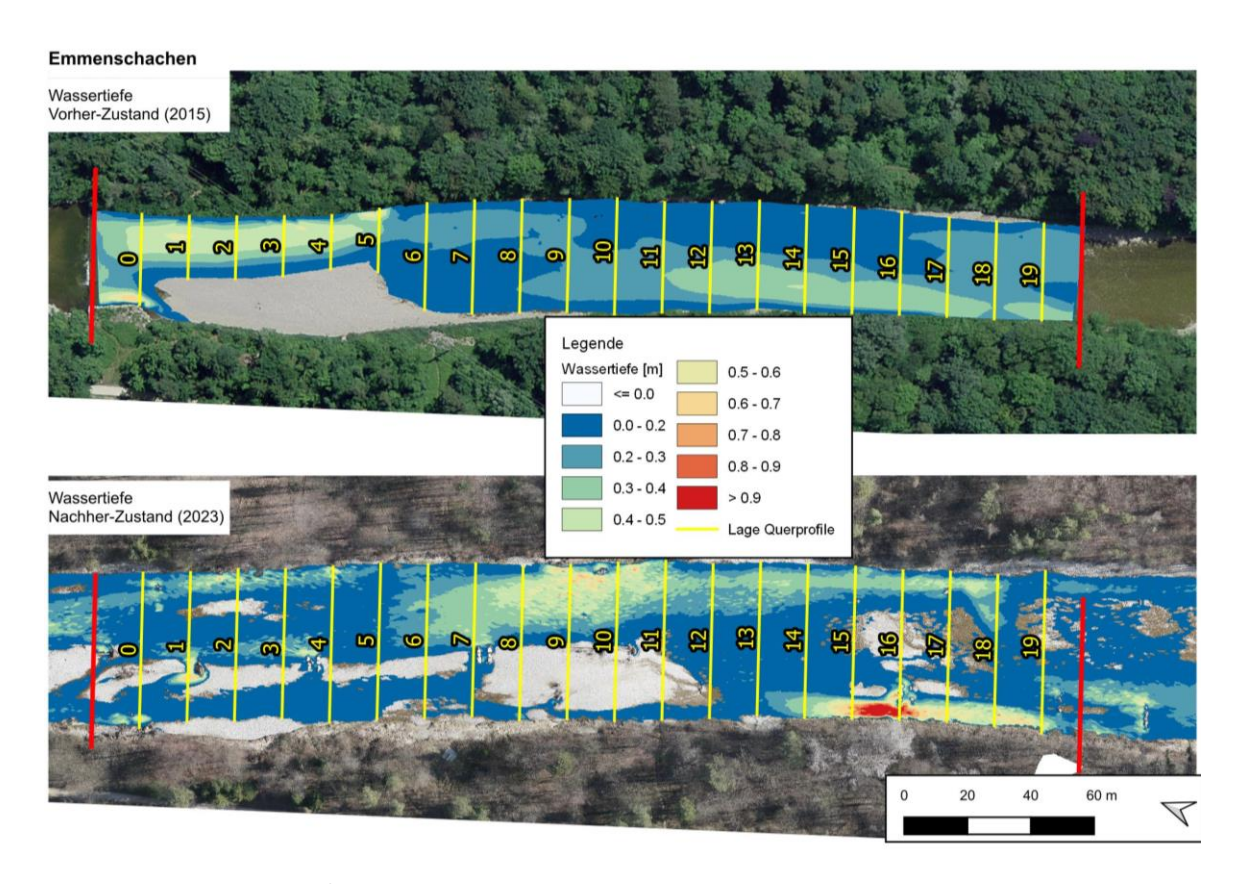


Abbildung 13: Wassertiefen bei 1.8 m³/s im Unterabschnitt Emmenschachen im Vorher- und Nachher-Zustand. Fliessrichtung von rechts nach links

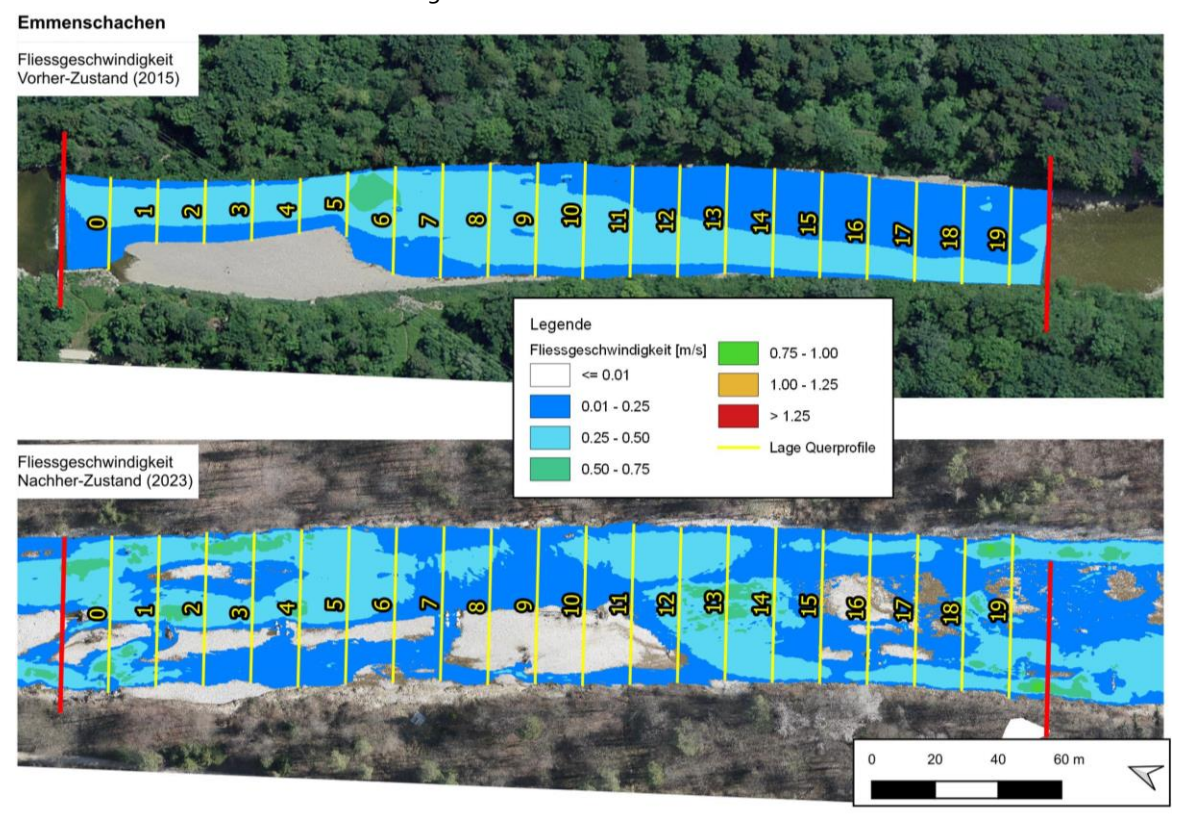


Abbildung 14: Fliessgeschwindigkeiten bei 1.8 m³/s im Unterabschnitt Emmenschachen im Vorher- und Nachher-Zustand. Fliessrichtung von rechts nach links.

Vergleich

Ergebnisse HMID und standardisierte Bewertung

| Emmeschachen | Wasser- tiefe | Fliess- geschwindigkeit | HMID | Mittlere benetze Breite [m] |
|----------------|------------------|----------------------------|------|--------------------------------|
| Vorher (2015) | 0.28 | 0.30 | 4.2 | 29.6 |
| Nachher (2023) | 0.42 | 0.49 | 7.8 | 38.4 |

Tabelle 8 HMID und standardisierte Werte für 1.3 Wassertiefe und 1.4 Fliessgeschwindigkeit im Vorher- und Nachher-Zustand im Abschnitt Emmeschachen.

HMID

Im Vorher-Zustand wird in der Untersuchungsstrecke Emmenschachen ein sehr tiefer HMID von 4.2 erreicht. Der tiefe Wert widerspiegelt den optischen Eindruck dieser sehr monotonen, strukturlosen Sohle. Bereits bei kleinen Abflüssen ist die ganze Sohle benetzt. Im Nachher-Zustand nimmt der HMID deutlich zu und es ergeben sich mehr Fliesswege aufgrund einer strukturierteren Sohle sowie von grossen Steinen oder anderen Elementen (z. B. Wurzelstöcken), welche die regelmässige Strömung stören.

Wassertiefe

Die Wassertiefen waren 2015 zwischen den Querprofilen 1 und 7 deutlich grösser als 2023 (vgl. Abbildung 15). Dies könnte mit der Schwelle sowie mit der benetzten Breite zu tun haben, welche im Nachher-Zustand knapp 10 m breiter ist als im Vorher-Zustand und in geringeren Fliesstiefen resultiert. Das Mosaik der Wassertiefen ist 2023 aber deutlich diverser als 2015 und damit ist die Variabilität sowohl in Längs- als auch in Querrichtung deutlich grösser. Der standardisierte Wert im Nachher-Zustand ist entsprechend höher (0.42) als im Vorher-Zustand (0.28) (vgl. Tabelle 8).

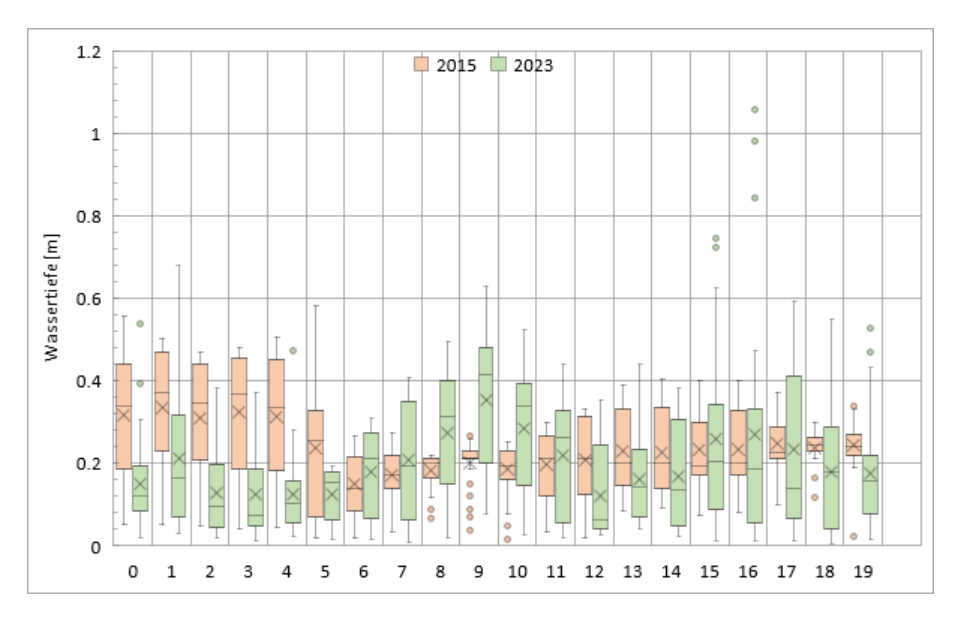


Abbildung 15: Boxplots der Wassertiefe der einzelnen Querprofile. In Fliessrichtung von rechts nach links im Unterabschnitt Emmeschachen

Fliessgeschwindigkeit

Die Fliessgeschwindigkeiten waren im Vorher-Zustand 2015 ausgeglichener als im Nachher-Zustand 2023. Im Vorher-Zustand 2015 gab es in den einzelnen Querprofilen keine grosse Variabilität. Im Nachher-Zustand 2023 ist die Variabilität sowohl in Längs- als auch Querrichtung deutlich grösser (vgl. Abbildung 16). Der standardisierte Wert im Nachher-Zustand ist entsprechend höher (0.49) als im Vorher-Zustand (0.30), was auf das vielfältigere Strömungsmuster 2023 zurückzuführen ist (vgl. Tabelle 8).

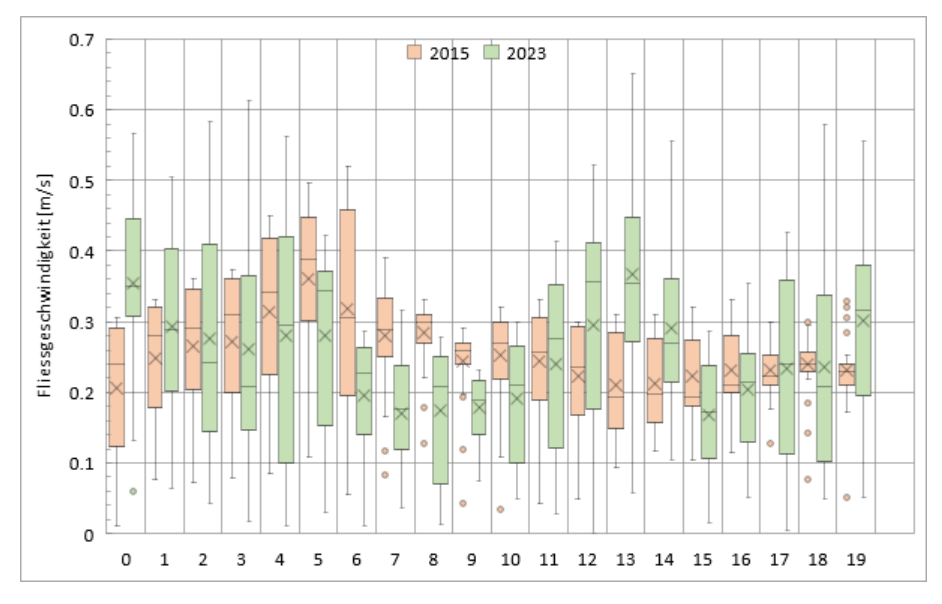


Abbildung 16: Boxplots der Fliessgeschwindigkeit der einzelnen Querprofile. In Fliessrichtung von rechts nach links im Unterabschnitt Emmeschachen

7.3.2 Schwarzweg

Vorher-Zustand

Die Untersuchungsstrecke Schwarzweg befindet sich am Ende einer Linkskurve. Im oberen Teil der Untersuchungsstrecke wurde die Sohle im Vorher-Zustand 2015 von einer kleinen Schwelle gestützt. Diese beeinflusste die Wassertiefen und Fliessgeschwindigkeiten. Flussaufwärts dieser Schwelle verlief der Talweg rechtsufrig entlang einer Mauer. Die Fliessgeschwindigkeiten wurden durch die Schwelle nur wenig beeinflusst, die Wassertiefen mehr. Flussabwärts der Schwelle befand sich auf der rechten Seite eine ausgeprägte Kiesbank, sodass der Talweg die Flussseite wechselte. Die Verengung verursachte eine Beschleunigung mit erhöhten Fliessgeschwindigkeiten.

Nachher-Zustand

Im Nachher-Zustand ist die benetzte Breite im Mittel um 4-5 Meter grösser. Auf der gesamten Untersuchungsstrecke sind Störsteine angeordnet, die lokal hohe Wassertiefen von über 1 m und strömungsberuhigte Zonen verursachen. Der Hauptstrom wechselt mehrmals die Seite und die Fliessgeschwindigkeiten sind sowohl im Querprofil als auch in Längsrichtung sehr heterogen.

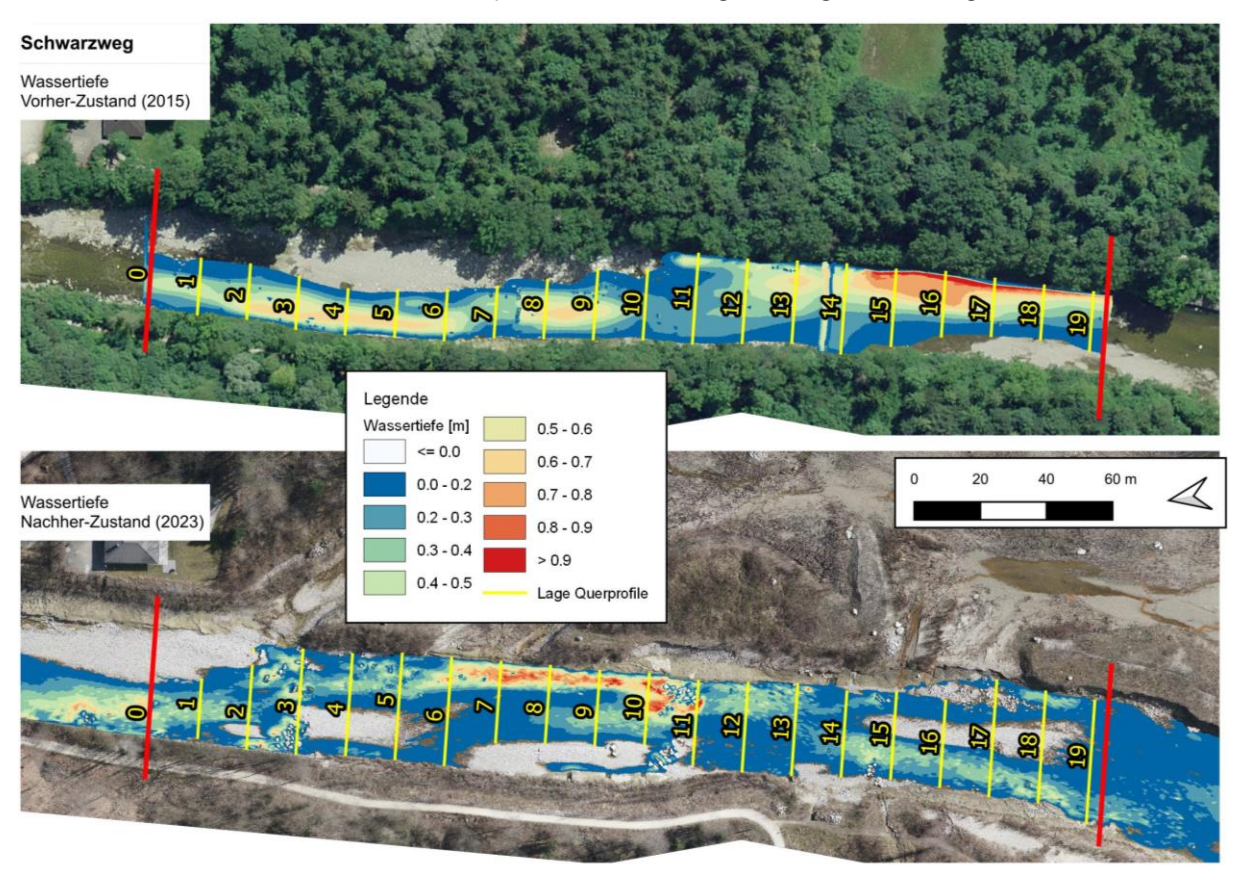


Abbildung 17: Wassertiefen bei 1.8 m3/s im Unterabschnitt Schwarzweg im Vorher- und Nachher-Zustand. Fliessrichtung von rechts nach links.

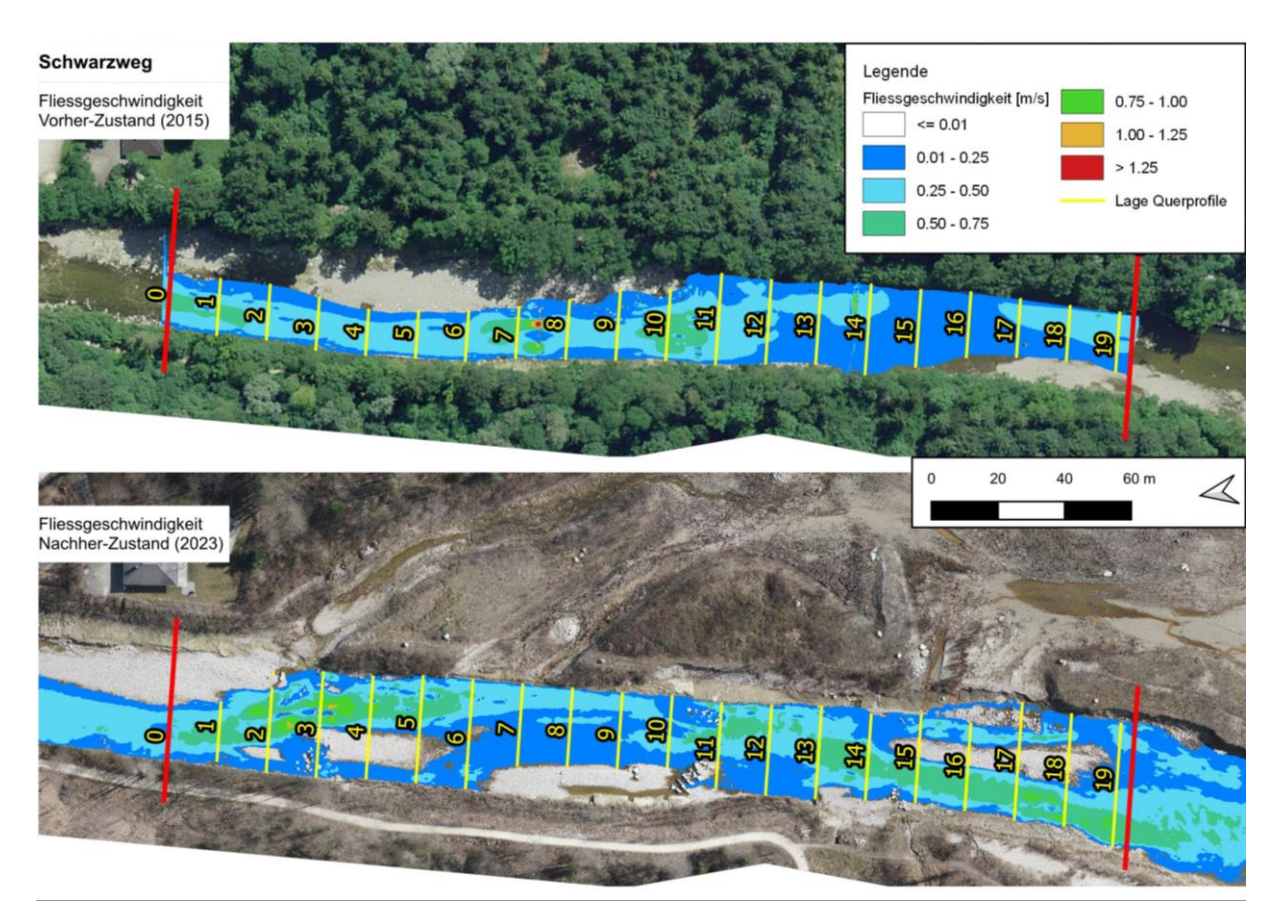


Abbildung 18: Fliessgeschwindigkeiten bei 1.8 m3/s im Unterabschnitt Schwarzweg im Vorher- und Nachher-Zustand. Fliessrichtung von rechts nach links

Vergleich

Ergebnisse HMID und standardisierte Bewertung

| Schwarzweg | Wasser- tiefe | Fliess- geschwindigkeit | HMID | Mittlere benetze Breite [m] |
|----------------|------------------|----------------------------|------|--------------------------------|
| Vorher (2015) | 0.46 | 0.49 | 6.5 | 18.8 |
| Nachher (2023) | 0.34 | 0.55 | 8.7 | 23.2 |

Tabelle 9 HMID und Standardisierte Werte für 1.3 Wassertiefe und 1.4 Fliessgeschwindigkeit im Vorher- und Nachher-Zustand im Abschnitt Schwarzweg.

HMID

Der verhältnismässig hohe HMID der Untersuchungsstrecke Schwarzweg im Vorher-Zustand resultiert aus zwei ausgeprägten Kiesbänken. Insgesamt waren die morphologischen Strukturen aber gering. Der HMID im Nachher-Zustand ist gegenüber dem Vorher-Zustand zwar nur geringfügig höher, die Strukturen und das Strömungsmuster sind jedoch deutlich vielfältiger. Bei grösseren Abflüssen mit zusätzlicher Durchströmung der Aufweitung würde der HMID gegenüber dem Vorher-Zustand deutlich zunehmen.

<u>Wassertiefe</u>

Der standardisierte Wert zeigt eine Verschlechterung (vgl. Tabelle 9). Dies ist auf die Art der Berechnung des Wertes sowie auf die Reduktion der Daten auf einzelne Querprofile zurückzuführen (vgl. Abbildung 19).

Aus unserer Sicht spiegeln die Werte in diesem Fall nicht die Realität wider. Im Gegensatz zu 2015 zeigt sich 2023 ein deutlich diverseres Muster. Die Diversität mit grösseren Kolken hinter Störsteinen usw. kann durch die Reduktion auf einzelne Querprofile nicht erfasst werden. Durch die flächige Auswertung des HMID zeigt sich aber im Nachher-Zustand 2023 die Verbesserung (vgl. Tabelle 9).

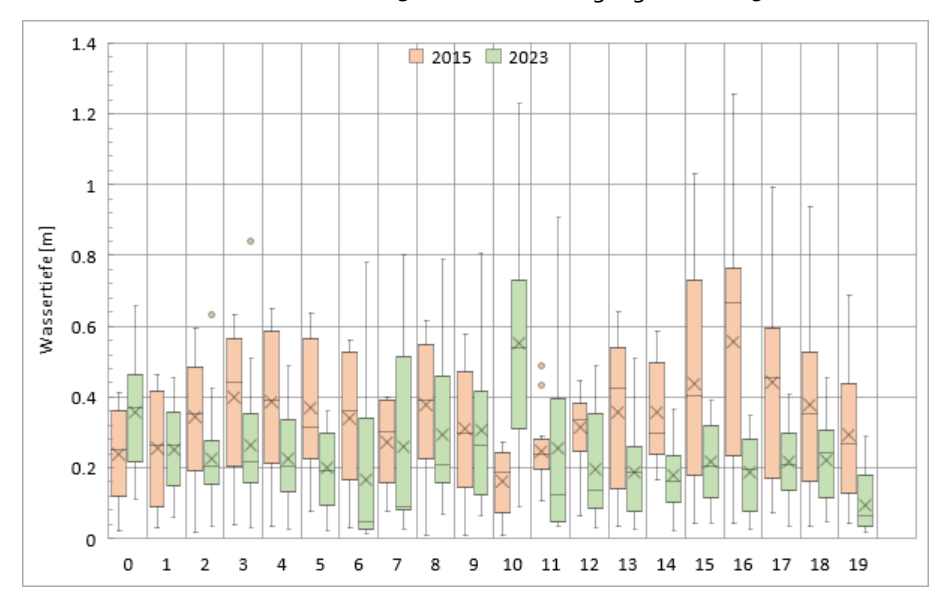


Abbildung 19: Boxplots der Wassertiefe der einzelnen Querprofile. In Fliessrichtung von rechts nach links im Unterabschnitt Schwarzweg.

Fliessgeschwindigkeit

Die Bewertung der Fliessgeschwindigkeit anhand des standardisierten Wertes ergibt fast keinen Unterschied zwischen 2015 und 2023 (vgl. Tabelle 9), obwohl im Nachher-Zustand 2023 die Variabilität sowohl in Längs- als auch Querrichtung deutlich grösser ist (vgl. Abbildung 20).

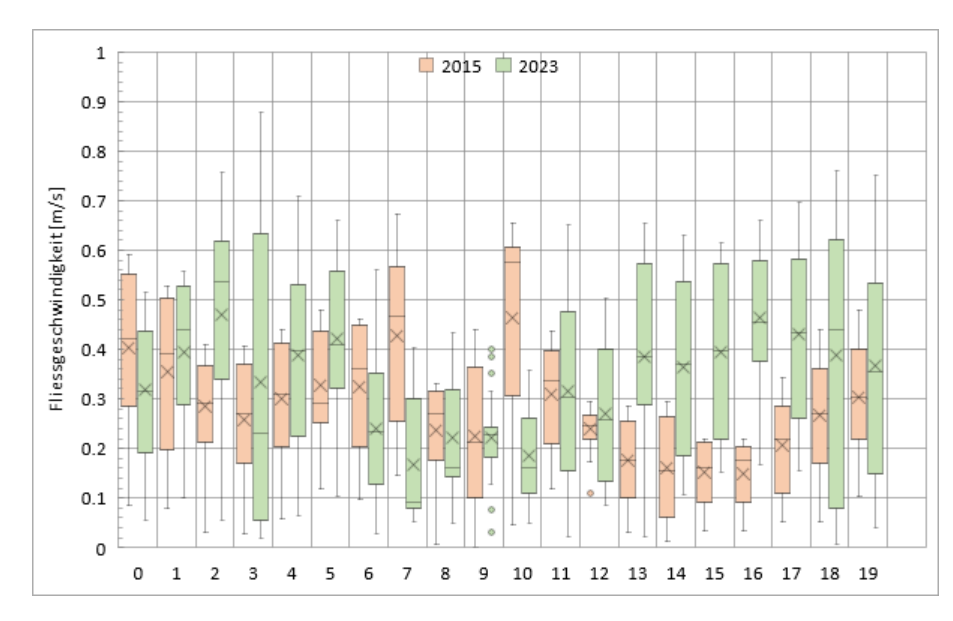


Abbildung 20: Boxplots der Fliessgeschwindigkeit der einzelnen Querprofile. In Fliessrichtung von rechts nach links im Unterabschnitt Schwarzweg.

7.3.3 Papierfabrik

In der Untersuchungsstrecke Papierfabrik verursachte die Rampe (QP15-16) eine gewisse Variabilität der Strömung. Die Abschnitte oberhalb und unterhalb der Rampe wiesen hingegen mehr oder weniger monotone Fliessstrukturen auf. Auch die benetzte Breite war sehr homogen. Unterhalb der Rampe bildeten weggespülte Blöcke der Ufersicherung wenige Strukturen in der Sohle.

Nachher-Zustand

Im Nachher-Zustand nimmt die benetzte Breite im Mittel um 2 Meter ab. Jedoch nimmt die Variabilität der benetzen Breite sowie der Wassertiefen und Fliessgeschwindigkeiten etwas zu. Durch die zahlreichen Kiesbänke ergeben sich Flachwasser- und auch Hinterwasserzonen. Durch die Uferstrukturen ergeben sich lokal erhöhte Wassertiefen über 1 m und strömungsberuhigte Zonen. Im Bereich des Querprofils 15 wurden gegenüber den Wassertiefen der Modellierung (Abbildung 21) vor Ort Wassertiefen über 1.5 m gemessen.

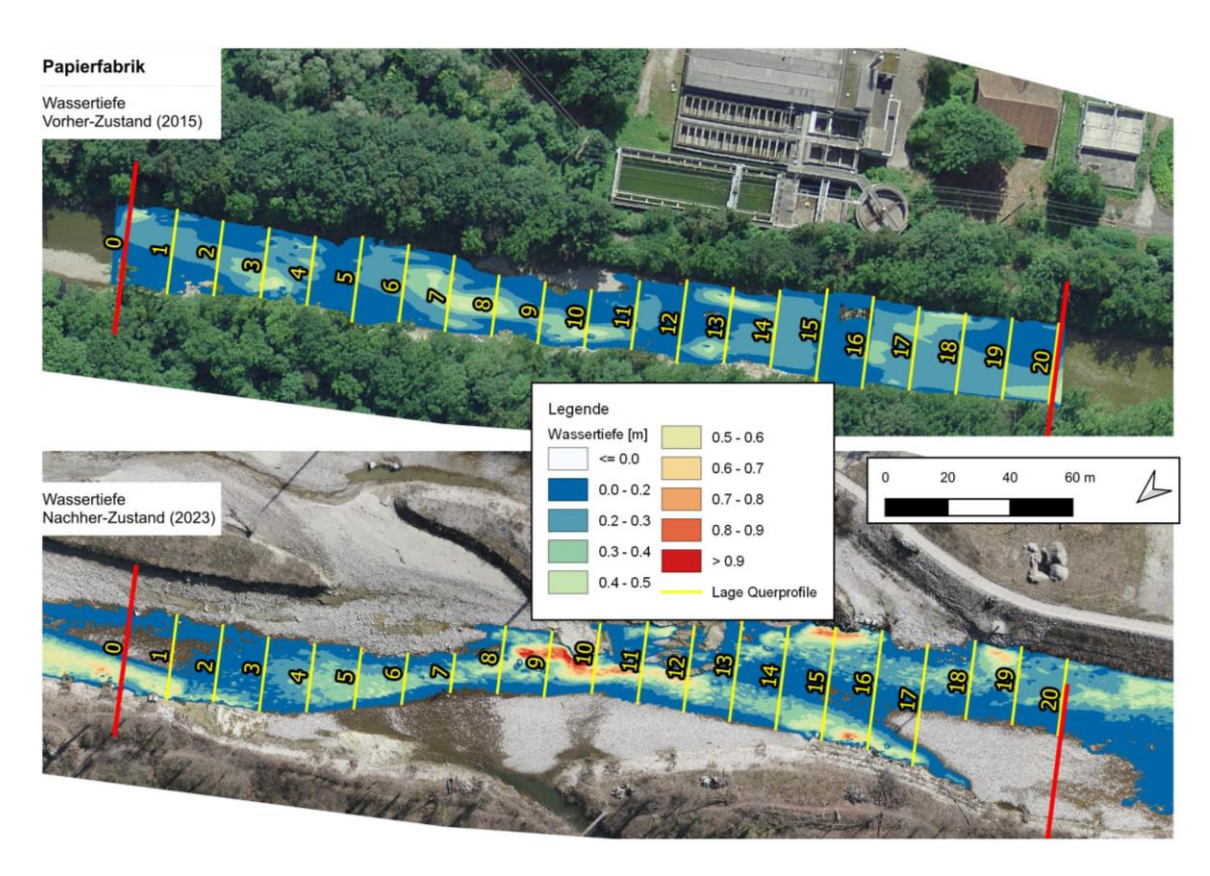


Abbildung 21: Wassertiefen bei 1.8 m³/s im Unterabschnitt Papierfabrik im Vorher- und Nachher-Zustand. Fliessrichtung von rechts nach links.

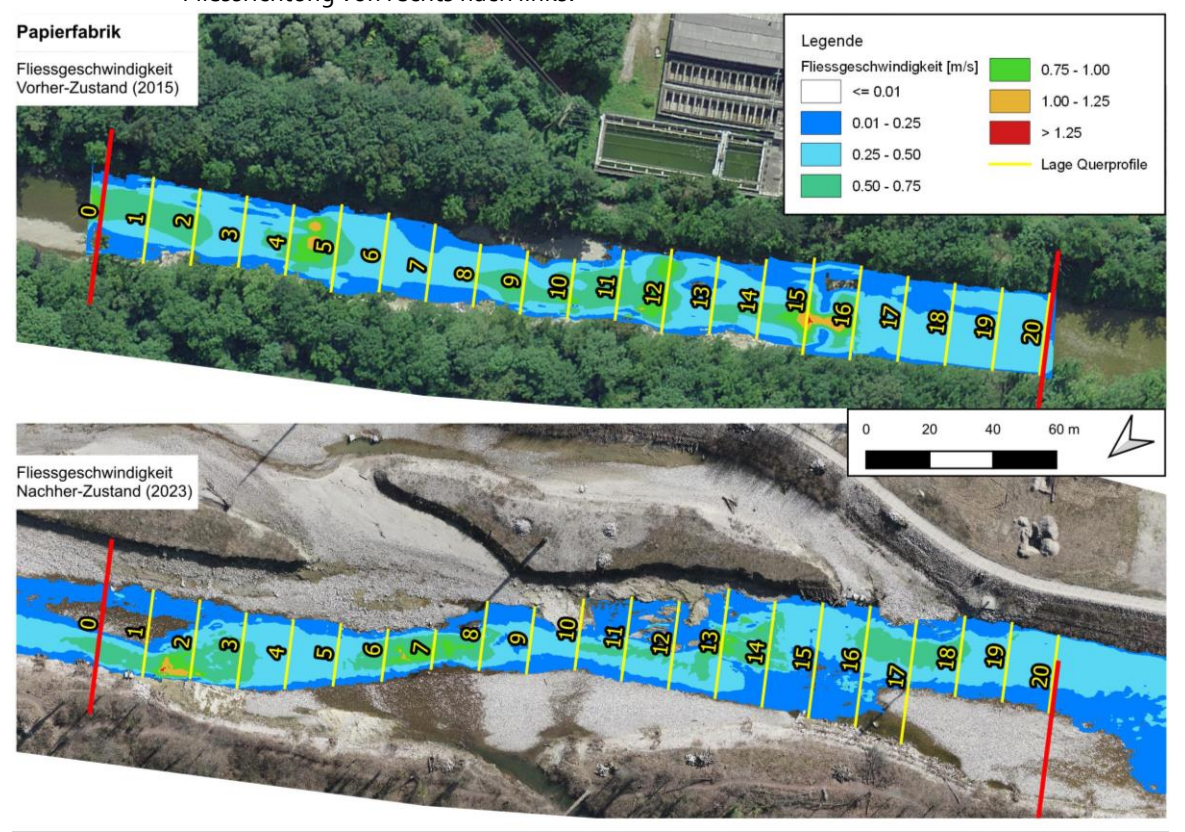


Abbildung 22: Fliessgeschwindigkeiten bei 1.8 m³/s im Unterabschnitt Papierfabrik im Vorher- und Nachher-Zustand. Fliessrichtung von rechts nach links

Vergleich

Ergebnisse HMID und standardisierte Bewertung

Tabelle 10 HMID und Standardisierte Werte für 1.3 Wassertiefe und 1.4 Fliessgeschwindigkeit im Vorher- und Nachher-Zustand im

Abschnitt Papierfabrik.

| Papierfabrik | Wasser- tiefe | Fliess- geschwindigkeit | HMID | Mittlere benetze Breite [m] |
|----------------|------------------|----------------------------|------|--------------------------------|
| Vorher (2015) | 0.26 | 0.54 | 5.5 | 24.3 |
| Nachher (2023) | 0.31 | 0.59 | 7.8 | 22.8 |

HMID

Im Vorher-Zustand wird der HMID durch abgespülte Blöcke aus dem Uferschutz beeinflusst. Flussaufwärts der Rampe befand sich der Uferschutz 2015 in einem guten Zustand, flussabwärts der Rampe wurden jedoch viele Blöcke des Uferschutzes weggespült. Diese bildeten in der Sohle neue Strukturen, welche sich auch im Wert des HMID widerspiegeln. Der HMID-Wert für die ganze Strecke beträgt im Vorher-Zustand 5.5, im Nachher-Zustand infolge der Strukturierung der Sohle mit Kiesbänken und Kolken 7.8. Bei steigenden Abflüssen mit zusätzlicher Durchströmung der Aufweitung würde der HMID gegenüber dem Vorher-Zustand nochmals deutlich ansteigen.

Wassertiefe

Die Bewertung der Wassertiefe anhand des standardisierten Wertes ergibt fast keinen Unterschied zwischen 2015 und 2023 (vgl. Tabelle 10). Im Vorher-Zustand 2015 war die maximale Wassertiefe im Bereich der Rampen sehr gering, hingegen im Staubereiche verhältnismässig hoch. Die Standardabweichung, welche bei der Bewertung ausschlaggebend ist, ist somit sehr hoch und führt zu einer vergleichsweise guten Bewertung des Vorher-Zustandes (vgl. Abbildung 23). Es wird lediglich die maximale Wassertiefe pro Querprofil ausgewertet. Wird für den Nachher-Zustand 2023 als maximale Wassertiefe statt den modellierten 0.8m die vor Ort abgeschätzten 1.6m verwendet, steigt der standardisierte Wert von 0.31 auf 0.54. Dies zeigt die Sensitivität dieses Parameters deutlich auf.

Tatsächlich ist 2023 aber ein deutlich diverseres Muster mit verschiedenen Fliesstiefen und -wegen vorhanden. Dies zeigt auch der erhöhte HMID (vgl. Tabelle 10). Aus diesem Grund kommen wir zum Schluss, dass die Variabilität der Wassertiefe im Abschnitt Papierfabrik durch die durchgeführten Massnahmen deutlich verbessert werden konnte.

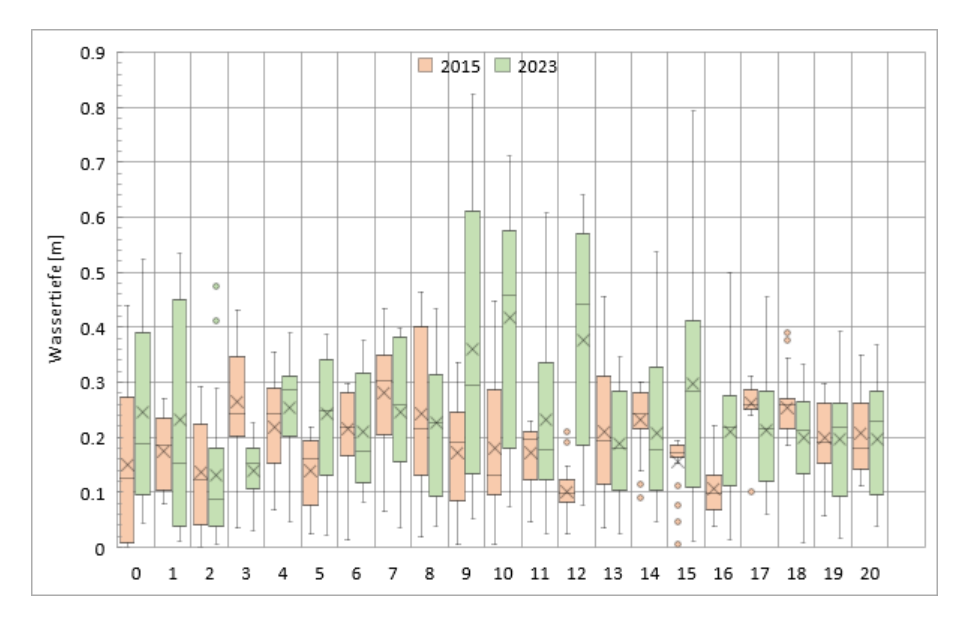


Abbildung 23: Boxplots der Wassertiefe der einzelnen Querprofile. In Fliessrichtung von rechts nach links im Unterabschnitt Papierfabrik.

Fliessgeschwindigkeit

Die Bewertung der Fliessgeschwindigkeit anhand des standardisierten Wertes ergibt fast keinen Unterschied zwischen 2015 und 2023 (vgl. Tabelle 10). Sowohl im Vorher-Zustand als auch im Nachher-Zustand ergeben sich variable Fliessgeschwindigkeiten (vgl. Abbildung 24).

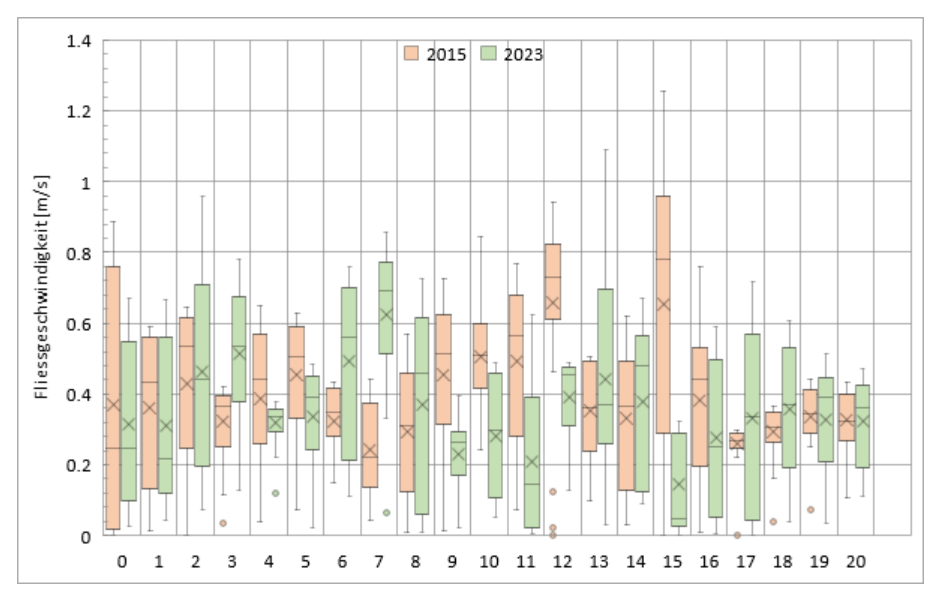


Abbildung 24: Boxplots der Fliessgeschwindigkeit der einzelnen Querprofile. In Fliessrichtung von rechts nach links im Unterabschnitt Papierfabrik.

7.4 Kurzdiskussion

Im Vorher-Zustand fallen die standardisierten Werte mehrheitlich geringer als im Nachher-Zustand aus, jedoch sind die Differenzen teils sehr gering. Grund für die geringen Unterschiede ist die Berechnungsmethode des standardisierten Wertes der Wassertiefe. Dieser Wert reagiert extrem sensitiv auf einzelne Werte, da nur die maximalen Wassertiefen der 19-20 Querprofile (also insgesamt nur 19-20 Werte) in die Berechnung einfliessen. Werden Kolktiefen nicht richtig erfasst oder liegen die Querprofile neben dem Kolk, ergibt dies einen komplett anderen standardisierten Wert. Um den gesamten Abschnitt flächig beurteilen zu können, wurde daher zusätzlich der HMID ausgewertet. Dieser zeigt in den revitalisierten Abschnitten immer eine deutliche Verbesserung gegenüber dem Vorher-Zustand.

Grund für die schlechtere Bewertung des Vorher-Zustands ist das kanalisierte Gerinne der Emme mit einem ausgeprägten Hauptgerinne und einer meist sehr monotonen, strukturlosen Sohle. Unter diesen Bedingungen können sich keine variablen Wassertiefen und Fliessgeschwindigkeiten ausbilden. Sie treten nur bei unnatürlichen Strukturen wie Schwellen oder Rampen auf.

Demgegenüber sind in den revitalisierten Strecken mehr Strukturelemente vorhanden, die lokal hohe Wassertiefen (Kolke) und Bereiche mit besonders geringen Fliessgeschwindigkeiten bis hin zu stehendem Wasser generieren. Die Auswertung erfolgte bei Niedrigwasser, weshalb nicht das ganze Gerinne durchströmt ist und die benetzte Breite in den Abschnitten Schwarzweg und Papierfabrik nur minimal zunimmt. Bei höheren Abflüssen wären die Differenzen des HMID gegenüber dem Vorher-Zustand deutlich grösser, da die Aufweitungen dann auch durchströmt würden. Im Vorher-Zustand sinken hingegen die Werte des HMID bei steigendem Abfluss (der Wert bei einem Abfluss von 6.2 m³/s ist rund ein Viertel tiefer als bei einem Abfluss von 1.8 m³/s).

Insgesamt zeigt der Indikator Wassertiefe und Fliessgeschwindigkeit 2023 eine deutliche Verbesserung gegenüber dem Zustand 2015.

8 Sohlenstruktur

8.1 Beschrieb

Grundlage

Praxisdokumentation Wirkungskontrolle (BAFU, 2019), Indikatorset 1 «Habitatvielfalt», Indikator 1.1 Sohlenstruktur

Definition

Quantitative Verteilung der Mesohabitate resp. Sohlenstrukturen. Sohlenstrukturen sind Flächen, die bezüglich Wassertiefe, Fliessgeschwindigkeit und Substratzusammensetzung in sich einheitlich sind (z. B. Schnelle, Rinne, Flachwasser, Kolk usw.).

Begründung

Ein naturnahes Fliessgewässer besteht aufgrund unterschiedlicher hydraulischer Bedingungen aus verschiedenen Sohlenformen und somit auch aus verschiedenen Habitatstrukturen. Die Vielfalt, die Grösse, die Form und die räumliche Verteilung dieser Habitate bestimmen massgeblich die Artenzusammensetzung und Häufigkeit der aquatischen Flora und Fauna. Die Ausbildung dieser Sohlenstrukturen ist eines der wichtigsten gewässerökologischen Entwicklungsziele.

8.2 Methode Erhebung und Auswertung

Zu erhebende Daten

Lage und Fläche der einzelnen Sohlenstrukturen

Vorgehen

Im Gegensatz zu den im Indikatorbeschrieb aufgeführten Sohlenstrukturen werden die räumlich feiner aufgelösten Mesohabitate kartiert (siehe Anhang A). Die minimale Ausdehnung einer als Mesohabitat zu kartierenden Fläche beträgt in der grössten linearen Dimension (Länge, Breite, Diagonale) etwa die mittlere Wasserspiegelbreite. Entlang der Ufer sind die kartierten Flächen aber oft kleiner, um der kleinräumigen Uferstruktur gerecht zu werden. Die verwendete Typologie der Mesohabitate erfolgte in Anlehnung an einen Vorschlag der American Fisheries Society (Arend K. K., 1999). Für die Auswertung wurden die Mesohabitate dem entsprechenden Sohlenstrukturtyp zugeordnet (Tabelle 17).

Die Kartierung erfolgte im Feld. Für einzelne Flächen wurden anschliessend Korrekturen anhand des Luftbildes vorgenommen, hauptsächlich zur Bereinigung von GPS-Ungenauigkeiten. Die Bedingungen waren an allen Erhebungsdaten genügend gut bis optimal (klares Wasser bis leicht trüb bei erhöhtem Abfluss, teilweise stark windig, teilweise leichter Regen). Bei der Erhebung bei erhöhtem Abfluss erfolgte die Kartierung der tieferen Bereiche aus Sicherheitsgründen auf Distanz. Die Kartierung bei erhöhtem Abfluss in der Strecke Emmenschachen musste auf Grund der einsetzender Dämmerung unvollständig abgebrochen werden. Da der entsprechende Abfluss nur selten erwischt werden kann, konnte die Erhebung nicht an einem anderen Tag vervollständigt werden. Zur Verortung der Mesohabitatflächen wurde ein submetergenaues GPS verwendet. Die

Erfassungsgenauigkeit betrug je nach Standort 50-150 cm. Sie wurde durch die Mittelwertbildung von jeweils 3 Messwerten zusätzlich erhöht.¹¹

Erhebungen

Emmenschachen

6.3.2023 bei minimalem Restwasserabfluss von 1.8 m³/s 3.11.2023 bei einem erhöhten Abfluss von 13.0 m³/s

Koordinaten unten: 2'610'244 / 1'229'045 oben: 2'610'349 / 1'228'750

Länge: 327 m

Schwarzweg

7.3.2023 bei minimalem Restwasserabfluss von 1.8 m³/s 3.11.2023 bei einem erhöhten Abfluss von 13.6 m³/s

Koordinaten unten: 2'610'724 / 1'227'083 oben: 2'610'641 / 1'226'795

Länge: 299 m

Papierfabrik

23.3.2023 bei minimalem Restwasserabfluss von 1.8 m³/s (respektive geringfügig höherer Abfluss)

30.8.2023 bei einem erhöhten Abfluss von 4.6 m³/s

Koordinaten unten: 2'610'330 / 1'226'448 oben: 2'610'094 / 1'226'236

Länge: 325 m

| Untersuchungsstrecken | Erhebungszustand | | | | | | |
|-----------------------|------------------|--------|--------|--------|--------------|--------------|------------|
| | Frühling | Sommer | Herbst | Winter | Niederwasser | Mittelwasser | Hochwasser |
| Emmenschachen | | | | | • | • | |
| Schwarzweg | | | | | • | • | |
| Papierfabrik | | | | | • | • | |

¹¹ Im Gegensatz zur Auswertung des Ausgangszustandes wurde diesmal auf eine Verifizierung der Feldkartierung mit den Ergebnissen der 2D-Simulation verzichtet. Da das Gerinne im 1. Projektzustand begehbar war, konnte im Feld eine bessere Einschätzung gemacht werden, so dass die Verifizierung nicht mehr nötig ist.

Auswertung

Indikator Nr. 1.1: Anzahl Strukturen pro Einheitslänge. Standardisierung auf Werte zwischen o und 1. Details vgl. (BAFU, 2019).

Die Bewertung nach Indikator 1.1 «Sohlenstruktur» (BAFU, 2019) erfolgt auf Basis der Erhebung bei Restwasserabfluss. Auf Grund der Aufweitungen ist die Gerinnesohlenbreite (von Böschungsfuss links zu Böschungsfuss rechts, einschliesslich unbenetzter Bereiche) im Projektzustand deutlich grösser als diejenige im Ausgangszustand. Folglich resultiert auch eine grössere Einheitslänge. Damit beim Vergleich mit dem Ausgangszustand Aussagen zur Veränderung der Sohlenstrukturen gemacht werden können, muss für beide Zustände dieselbe Einheitslänge verwendet werden. Für den Vergleich mit dem Ausgangszustand wurde die für den ersten Projektzustand bei erhöhtem Abfluss berechnete Einheitslänge auch für den Restwasserabfluss sowie für den Ausgangszustand verwendet. Aus diesem Grund wurde die Bewertung des Ausgangszustandes neu gemacht. Die Vorgaben zu den Bewertungsklassen in (BAFU, 2019) wurden präzisiert. Die Bewertungskriterien sind in Tabelle 23 ersichtlich¹².

Zur Berechnung der mittleren Gerinnesohlenbreite (inkl. unbenetzte Bereiche) wurden auf der Basis der kartierten Flächen 13 Querprofile pro Untersuchungsstrecke im GIS vermessen.

Anpassungen Daten Ausgangszustand Im Ausgangszustand wurden isolierte Gewässerflächen dem Mesohabitat «Tümpel» zugeordnet. Da Tümpel aber gemäss Definition ausserhalb des Gerinnes liegen und in der Emme alle diese Flächen innerhalb des Gerinnes lagen, wurden sie nachträglich zu «Nebengerinnekolk» umgeändert.

8.3 Resultate

8.3.1 Ausgangszustand

Durch die Änderung aller Flächen mit dem Typ «Tümpel» zu «Nebengerinnekolk» ergaben sich Änderungen in den Strecken Schwarzweg und Papierfabrik.

Die Bewertung des Ausgangszustandes wurde unter Verwendung derselben Einheitslänge wie im 1. Projektzustand und derselben Bewertungsklassen neu berechnet (Tabelle 11; Tabelle 12; Tabelle 13; Tabelle 14; Tabelle 15; Tabelle 16). Auf die Gesamtbewertung der Strecken nach dem Indikator 1.1 «Sohlenstruktur» hat die Neuberechnung keinen Einfluss.

Eine Nachfrage bei den Autoren des Indikator-Steckbriefes Habitatvielfalt bezüglich 1., welcher Zustand für die Berechnung der Einheitslänge verwendet werden soll und 2. zur Präzisierung der Bewertungskriterien blieb unbeantwortet.

Emmenschachen

| Mesohabitat | Sohlenstruktur | Abflu | Abfluss 1.8 m³/s | | | | uss 8.7 | m³/s | |
|---------------------|-------------------------------|--------|------------------|-------------|------------|--------|---------------|-------------|------------|
| (Arend K. K., 1999) | (Woolsey, S. et al., 2005) | Anzahl | Anzahl pro EL | Fläche [m²] | Fläche [%] | Anzahl | Anzahl pro EL | Fläche [m²] | Fläche [%] |
| Stufe | Stufe | 0 | 0.0 | 0 | 0.0 | 0 | 0.0 | 0 | 0.0 |
| Schussrinne | Rinne | 0 | 0.0 | 0 | 0.0 | 0 | 0.0 | 0 | 0.0 |
| Schnelle | Schnelle | 0 | 0.0 | 0 | 0.0 | 0 | 0.0 | 0 | 0.0 |
| Lauf | Schnelle | 1 | 1.9 | 52 | 0.5 | 2 | 3.8 | 958 | 8.8 |
| Furt | Furt | 1 | 1.9 | 9247 | 85.5 | 1 | 1.9 | 9340 | 86.1 |
| Rinne | Rinne | 0 | 0.0 | 0 | 0.0 | 0 | 0.0 | 0 | 0.0 |
| Gleite | Rinne | 0 | 0.0 | 0 | 0.0 | 0 | 0.0 | 0 | 0.0 |
| Felsgleite | Rinne | 0 | 0.0 | 0 | 0.0 | 0 | 0.0 | 0 | 0.0 |
| Staukolk | Rinne | 0 | 0.0 | 0 | 0.0 | 0 | 0.0 | 0 | 0.0 |
| Flachwasser | Flachwasser | 2 | 3.8 | 347 | 3.2 | 1 | 1.9 | 154 | 1.4 |
| Hinterwasser | Hinterwasser | 1 | 1.9 | 11 | 0.1 | 0 | 0.0 | 0 | 0.0 |
| Nebengerinnekolk | Hinterwasser | 0 | 0.0 | 0 | 0.0 | 0 | 0.0 | 0 | 0.0 |
| Stufenkolk | Becken | 0 | 0.0 | 0 | 0.0 | 0 | 0.0 | 0 | 0.0 |
| Lateralkolk | Kolk | 1 | 1.9 | 100 | 0.9 | 1 | 1.9 | 41 | 0.4 |
| Mündungskolk | Kolk | 0 | 0.0 | 0 | 0.0 | 0 | 0.0 | 0 | 0.0 |
| Bank | Bank | 4 | 7.5 | 1058 | 9.8 | 1 | 1.9 | 360 | 3.3 |
| unbewachsen | | | | | | | | | |
| Bank bewachsen | Bank | 0 | 0.0 | 0 | 0.0 | 0 | 0.0 | 0 | 0.0 |
| Summe | | 10 | 18.8 | 10814 | 100 | 6 | 11.3 | 10852 | 100 |

| Kennwerte | |
|---|-----|
| mittlere Gerinnesohlenbreite [m] | 34 |
| Länge Untersuchungsstrecke [m] | 316 |
| Einheitslänge [m] (aus 1. Projektzustand) | 593 |

Tabelle 11 Mesohabitate bzw. Sohlenstrukturen in der Untersuchungstrecke Emmenschachen im Ausgangszustand (2014 / 2015). EL = Einheitslänge¹³.

¹³ Die Tabelle "Infraconsult, Fischwerk, Impuls und Hunziker, Zarn & Partner (2015). Hochwasserschutz und Revitalisierung Emme. Wehr Biberist bis Aare. Erfolgskontrolle. Erhebung Ausgangszustand. Amt für Umwelt des Kantons Solothurn." beinhaltet falsche Werte.

| | 1.8 m³/s |
|--|----------|
| Dominiert Strukturtyp Rinne? | nein |
| Flächenanteil Rinne [%] | 0.0 |
| Sind 4 oder mehr Strukturtypen vorhanden? | ja |
| Anzahl verschiedener Sohlenstrukturtypen | 6 |
| Sind alle Strukturen der Rinne-Furt-Schnelle-Sequenz | nein |
| vorhanden? | |
| Dichte dieser drei Strukturen pro EL? | 0-3 |
| Anzahl Schnelle / EL | 1.9 |
| Anzahl Furt / EL | 1.9 |
| Anzahl Rinne / EL | 0.0 |
| Bewertung Indikator «Sohlenstruktur» | 0.25 |

Tabelle 12 Kennwerte für die Strecke Emmenschachen für den Ausgangszustand (2014 / 2015), welche für die Bewertung nach dem Indikator 1.1 «Sohlenstruktur» relevant sind.

Schwarzweg

| Mesohabitat | Sohlenstruktur | Abflu | ıss 1.8 | m³/s | | Abfluss | 8.7 m | ³/s | |
|---------------------|-------------------------------|--------|---------------|-------------|------------|---------|---------------|-------------|------------|
| (Arend K. K., 1999) | (Woolsey, S. et al., 2005) | Anzahl | Anzahl pro EL | Fläche [m²] | Fläche [%] | Anzahl | Anzahl pro EL | Fläche [m²] | Fläche [%] |
| Stufe | Stufe | 0 | 0.0 | 0 | 0.0 | 0 | 0.0 | 0 | 0.0 |
| Schussrinne | Rinne | 0 | 0.0 | 0 | 0.0 | 1 | 0.0 | 22 | 0.3 |
| Schnelle | Schnelle | 3 | 0.0 | 547 | 6.8 | 3 | 0.0 | 562 | 7.1 |
| Lauf | Schnelle | 8 | 0.0 | 2300 | 28.7 | 4 | 0.0 | 3684 | 46.5 |
| Furt | Furt | 4 | 0.0 | 1597 | 20.0 | 4 | 0.0 | 1823 | 23.0 |
| Rinne | Rinne | 0 | 0.0 | 0 | 0.0 | 0 | 0.0 | 0 | 0.0 |
| Gleite | Rinne | 2 | 0.0 | 584 | 7.3 | 0 | 0.0 | 0 | 0.0 |
| Felsgleite | Rinne | 1 | 0.0 | 144 | 1.8 | 0 | 0.0 | 0 | 0.0 |
| Staukolk | Rinne | 0 | 0.0 | 0 | 0.0 | 0 | 0.0 | 0 | 0.0 |
| Flachwasser | Flachwasser | 6 | 0.0 | 620 | 7.7 | 6 | 0.0 | 316 | 4.0 |
| Hinterwasser | Hinterwasser | 1 | 0.0 | 38 | 0.5 | 1 | 0.0 | 51 | 0.6 |
| Nebengerinnekolk | Hinterwasser | 3 | 0.0 | 66 | 0.8 | 4 | 0.0 | 67 | 0.8 |
| Stufenkolk | Becken | 0 | 0.0 | 0 | 0.0 | 0 | 0.0 | 0 | 0.0 |
| Lateralkolk | Kolk | 1 | 0.0 | 21 | 0.3 | 0 | 0.0 | 0 | 0.0 |
| Mündungskolk | Kolk | 0 | 0.0 | 0 | 0.0 | 0 | 0.0 | 0 | 0.0 |

| Bank | Bank | 2 | 0.0 | 2085 | 26.1 | 2 | 0.0 | 1393 | 17.6 |
|--------------------------------|---------------------|------|-----|------|------|----|-----|------|------|
| unbewachsen | | | | | | | | | |
| Bank bewachsen | Bank | 0 | 0.0 | 0 | 0.0 | 0 | 0.0 | 0 | 0.0 |
| Summe | | 31 | 0.0 | 8002 | 100 | 25 | 0.0 | 7919 | 100 |
| Kennwerte | | | | | | | | | |
| mittlere Gerinneso | hlenbreite [m] | | 2 | 7 | | | | | |
| Länge Untersuchungsstrecke [m] | | | 29 | 3 | | | | | |
| Einheitslänge [m] (| aus 1. Projektzusta | ınd) | 39 | 9 | | | | | |

Tabelle 13 Mesohabitate bzw. Sohlenstrukturen in der Untersuchungstrecke Schwarzweg im Ausgangszustand (2014 / 2015). EL = Einheitslänge

| | 1.8 m³/s |
|--|----------|
| Dominiert Strukturtyp Rinne? | nein |
| Flächenanteil Rinne [%] | 7.3 |
| Sind 4 oder mehr Strukturtypen vorhanden? | ja |
| Anzahl verschiedener Sohlenstrukturtypen | 7 |
| Sind alle Strukturen der Rinne-Furt-Schnelle-Sequenz | nein |
| vorhanden? | |
| Dichte dieser drei Strukturen pro EL? | 4-8 |
| Anzahl Schnelle / EL | 14.6 |
| Anzahl Furt / EL | 5.3 |
| Anzahl Rinne / EL | 4.0 |
| Bewertung Indikator «Sohlenstruktur» | 0.5 |

Tabelle 14 Kennwerte für die Strecke Schwarzweg für den Ausgangszustand (2014 / 2015), welche für die Bewertung nach dem Indikator 1.1 «Sohlenstruktur» relevant sind.

Papierfabrik

| Mesohabitat | Sohlenstruktur Abfluss 1.8 m³/s | | | | Abfluss 8.7 m ³ /s | | | | |
|---------------------|---------------------------------|--------|---------------|-------------|-------------------------------|--------|---------------|-------------|------------|
| (Arend K. K., 1999) | (Woolsey, S. et al., 2005) | Anzahl | Anzahl pro EL | Fläche [m²] | Fläche [%] | Anzahl | Anzahl pro EL | Fläche [m²] | Fläche [%] |
| Stufe | Stufe | 0 | 0.0 | 0 | 0.0 | 0 | 0.0 | 0 | 0.0 |
| Schussrinne | Rinne | 1 | 0.0 | 144 | 1.7 | 0 | 0.0 | 0 | 0.0 |
| Schnelle | Schnelle | 2 | 0.0 | 402 | 4.8 | 1 | 0.0 | 317 | 3.6 |
| Lauf | Schnelle | 2 | 0.0 | 159 | 1.9 | 3 | 0.0 | 878 | 10.0 |
| Furt | Furt | 3 | 0.0 | 1565 | 18.8 | 1 | 0.0 | 5888 | 67.2 |
| Rinne | Rinne | 0 | 0.0 | 0 | 0.0 | 0 | 0.0 | 0 | 0.0 |
| Gleite | Rinne | 4 | 0.0 | 2666 | 32.1 | 2 | 0.0 | 1574 | 18.0 |

| Folgaloita | Rinne | 1 | 0.0 | 860 | 10.3 | 0 | 0.0 | 0 | 0.0 |
|------------------|--------------|----|-----|------|------|----|-----|------|-----|
| Felsgleite | Kinne | 1 | 0.0 | 800 | 10.3 | 0 | 0.0 | U | 0.0 |
| Staukolk | Rinne | 0 | 0.0 | 0 | 0.0 | 0 | 0.0 | 0 | 0.0 |
| Flachwasser | Flachwasser | 8 | 0.0 | 719 | 8.6 | 1 | 0.0 | 22 | 0.3 |
| Hinterwasser | Hinterwasser | 1 | 0.0 | 19 | 0.2 | 1 | 0.0 | 60 | 0.7 |
| Nebengerinnekolk | Hinterwasser | 1 | 0.0 | 37 | 0.4 | 0 | 0.0 | 0 | 0.0 |
| Stufenkolk | Becken | 0 | 0.0 | 0 | 0.0 | 0 | 0.0 | 0 | 0.0 |
| Lateralkolk | Kolk | 3 | 0.0 | 358 | 4.3 | 1 | 0.0 | 27 | 0.3 |
| Mündungskolk | Kolk | 0 | 0.0 | 0 | 0.0 | 0 | 0.0 | 0 | 0.0 |
| Bank | Bank | 13 | 0.0 | 1383 | 16.6 | 0 | 0.0 | 0 | 0.0 |
| unbewachsen | | | | | | | | | |
| Bank bewachsen | Bank | 0 | 0.0 | 0 | 0.0 | 0 | 0.0 | 0 | 0.0 |
| Summe | | 39 | 0.0 | 8312 | 100 | 10 | 0.0 | 8766 | 100 |

| Kennwerte | |
|---|-----|
| mittlere Gerinnesohlenbreite [m] | 26 |
| Länge Untersuchungsstrecke [m] | 326 |
| Einheitslänge [m] (aus 1. Projektzustand) | 517 |

Tabelle 15 Mesohabitate bzw. Sohlenstrukturen in der Untersuchungstrecke Papierfabrik im Ausgangszustand (2014 / 2015). EL = Einheitslänge

| | 1.8 m³/s |
|--|----------|
| Dominiert Strukturtyp Rinne? | nein |
| Flächenanteil Rinne [%] | 33.8 |
| Sind 4 oder mehr Strukturtypen vorhanden? | ja |
| Anzahl verschiedener Sohlenstrukturtypen | 7 |
| Sind alle Strukturen der Rinne-Furt-Schnelle-Sequenz | ja |
| vorhanden? | |
| Dichte dieser drei Strukturen pro EL? | 4-8 |
| Anzahl Schnelle / EL | 6.3 |
| Anzahl Furt / EL | 4.7 |
| Anzahl Rinne / EL | 9.4 |
| Bewertung Indikator «Sohlenstruktur» | 0.5 |

Tabelle 16 Kennwerte für die Strecke Papierfabrik für den Ausgangszustand (2014 / 2015), welche für die Bewertung nach dem Indikator 1.1 «Sohlenstruktur» relevant sind.

8.3.2 Projektzustand 1

Emmenschachen

Insgesamt konnten 8 unterschiedliche Mesohabitate festgestellt werden, die sich auf 7 Sohlenstrukturen verteilen (vgl. Tabelle 17). 2 der gemäss Steckbrief zu unterscheidenden 9 Typen von Sohlenstrukturen fehlen (Stufe und Becken). Die einzelnen Typen kommen teils in grossen Häufigkeiten vor (vgl. Abbildung 26). Am meisten einzelne Flächen kommen vom Typ «Bank unbewachsen» vor. Betrachtet man die Flächenanteile, so dominiert in der Untersuchungsstrecke bei Restwasserabfluss der Typ Furt mit einem Flächenanteil von 50 %. Weiter kommen Gleite, Bank unbewachsen und Flachwasser mit einem Flächenanteil von > 10 % vor. Bei erhöhtem Abfluss konnte nicht die gesamte Fläche erhoben werden.

Bei beiden untersuchten Abflüssen sind alle Strukturen der Rinne-Furt-Schnelle-Sequenz vorhanden und kommen als aufeinander folgende Sequenz vor, allerdings nie über die gesamte Gewässerbreite (Abbildung 25). Im Querprofil kann die zu erwartende typische Abfolge von Mesohabitaten (Kiesbank (trocken)-Flachwasser-Furt-Lauf-Furt-Flachwasser-Kiesbank) beobachtet werden.

Das quantitative Vorkommen und die räumliche Verteilung der Mesohabitate unterscheiden sich zwischen den beiden untersuchten Abflüssen beträchtlich, da zwischen den beiden Erhebungen Geschiebeumlagerungen stattgefunden haben. Bei beiden Abflüssen kamen grosse trockene Kiesbänke in der Gerinnemitte vor.

Insgesamt wird dem Indikator 1.1 «Sohlenstruktur» der Wert 0.5 zugeordnet (Tabelle 18 auf Seite 66).

| Mesohabitat | Sohlenstruktur | Abflu | ıss 1.8 r | n³/s | | Abfluss 13.0 m³/s | | | | |
|---------------------|-------------------------------|--------|---------------|-------------|------------|-------------------|---------------|-------------|------------|--|
| (Arend K. K., 1999) | (Woolsey, S. et al., 2005) | Anzahl | Anzahl pro EL | Fläche [m²] | Fläche [%] | Anzahl | Anzahl pro EL | Fläche [m²] | Fläche [%] | |
| Stufe | Stufe | 0 | 0.0 | 0 | 0.0 | 0 | 0.0 | 0 | 0.0 | |
| Schussrinne | Rinne | 0 | 0.0 | 0 | 0.0 | 0 | 0.0 | 0 | 0.0 | |
| Schnelle | Schnelle | 0 | 0.0 | 0 | 0.0 | 4 | 7.4 | 601 | 3.8 | |
| Lauf | Schnelle | 4 | 7.4 | 543 | 3.5 | 2 | 3.7 | 6986 | 43.8 | |
| Furt | Furt | 6 | 11.1 | 7636 | 49.5 | 4 | 7.4 | 1251 | 7.8 | |
| Rinne | Rinne | 0 | 0.0 | 0 | 0.0 | 0 | 0.0 | 0 | 0.0 | |
| Gleite | Rinne | 3 | 5.6 | 2380 | 15.4 | 2 | 3.7 | 254 | 1.6 | |
| Felsgleite | Rinne | 0 | 0.0 | 0 | 0.0 | 0 | 0.0 | 0 | 0.0 | |
| Staukolk | Rinne | 0 | 0.0 | 0 | 0.0 | 0 | 0.0 | 0 | 0.0 | |
| Flachwasser | Flachwasser | 7 | 13.0 | 2199 | 14.3 | 6 | 11.1 | 1180 | 7.4 | |
| Hinterwasser | Hinterwasser | 6 | 11.1 | 359 | 2.3 | 3 | 5.6 | 269 | 1.7 | |
| Nebengerinnekolk | Hinterwasser | 3 | 5.6 | 30 | 0.2 | 0 | 0.0 | 0 | 0.0 | |

| Stufenkolk | Becken | 0 | 0.0 | 0 | 0.0 | 0 | 0.0 | 0 | 0.0 |
|----------------|--------|----|------|-------|------|----|------|-------|------|
| Lateralkolk | Kolk | 0 | 0.0 | 0 | 0.0 | 3 | 5.6 | 62 | 0.4 |
| Mündungskolk | Kolk | 1 | 1.9 | 47 | 0.3 | 0 | 0.0 | 0 | 0.0 |
| Bank | Bank | 14 | 25.9 | 2229 | 14.5 | 11 | 20.4 | 2522 | 15.8 |
| unbewachsen | | | | | | | | | |
| Bank bewachsen | Bank | 0 | 0.0 | 0 | 0.0 | 0 | 0.0 | 0 | 0.0 |
| Nicht erhoben | - | - | = | 1 | 1 | 2 | - | 2825 | 17.7 |
| Summe | | 44 | 81.5 | 15423 | 100 | 37 | 68.6 | 15949 | 100 |

| Kennwerte | |
|--|-----|
| mittlere Gerinnesohlenbreite [m] | 49 |
| Länge Untersuchungsstrecke [m] | 320 |
| Einheitslänge [m] (12 x mittlere Sohlenbreite) | 593 |

Tabelle 17 Mesohabitate bzw. Sohlenstrukturen in der Untersuchungstrecke Emmenschachen im 1. Projektzustand (2023). EL = Einheitslänge

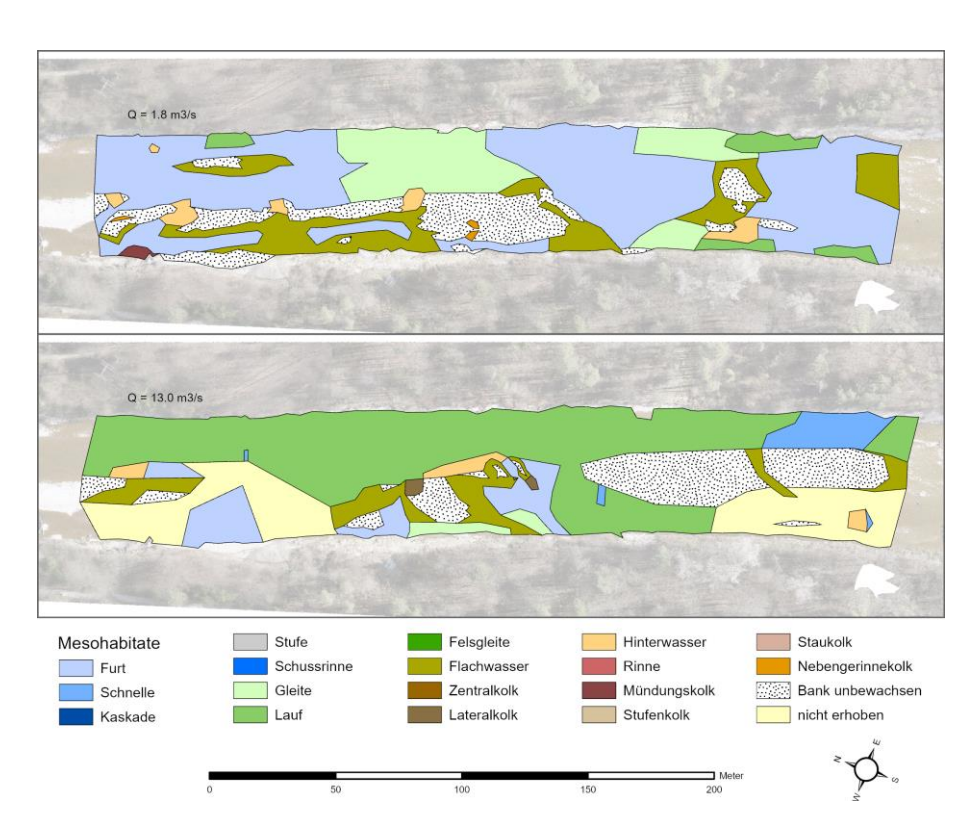


Abbildung 25 Verteilung der Mesohabitate in der Untersuchungsstrecke Emmenschachen am 6.3.2023 (Abfluss 1.8 m³/s; oben) und am 3.11.2023 (Abfluss 13.0 m³/s; unten). Orthofoto vom 21.2.2023 (© W+H)

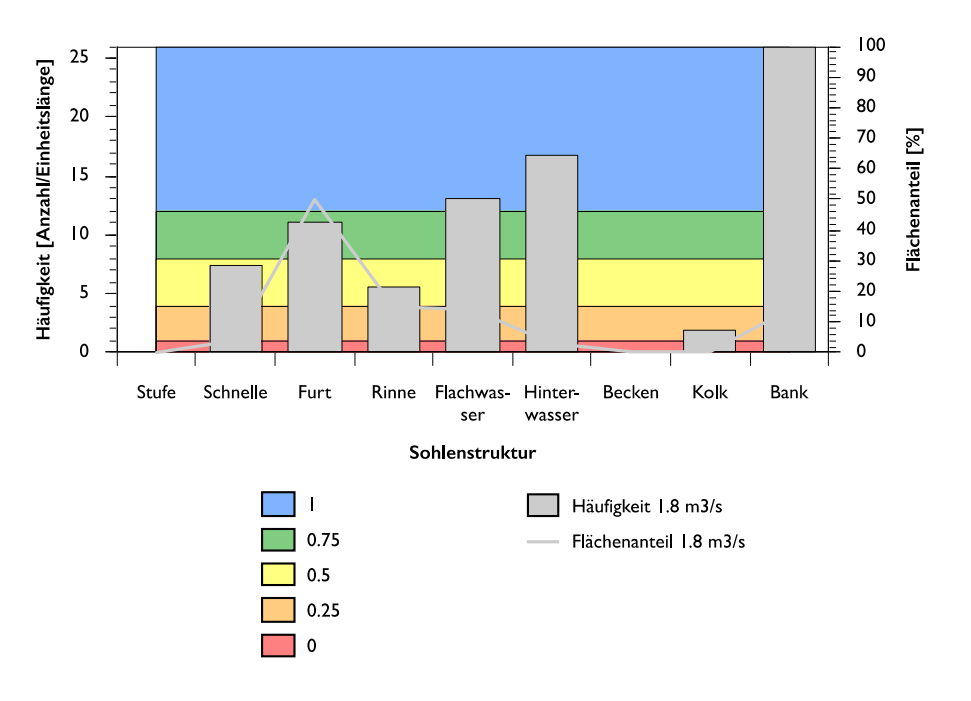


Abbildung 26 Häufigkeit sowie Flächenanteil der Sohlenstrukturen in der Untersuchungsstrecke Emmenschachen bei minimalem Restwasserabfluss. Im Hintergrund farblich dargestellt sind die standardisierten Werte (o = naturfern, 1 = naturnah), welche sich auf die Häufigkeit der Sohlenstrukturen beziehen.

| | 1.8 m³/s |
|---|----------|
| Dominiert Strukturtyp Rinne? | nein |
| Flächenanteil Rinne [%] | 15.4 |
| Sind 4 oder mehr Strukturtypen vorhanden? | ja |
| Anzahl verschiedener Sohlenstrukturtypen | 7 |
| Sind alle Strukturen der Rinne-Furt-Schnelle-Sequenz vorhanden? | ja |
| Dichte dieser drei Strukturen pro EL? | 4-8 |
| Anzahl Schnelle / EL | 7.4 |
| Anzahl Furt / EL | 11.1 |
| Anzahl Rinne / EL | 5.6 |
| Bewertung Indikator «Sohlenstruktur» | 0.5 |

Tabelle 18 Kennwerte für die Strecke Emmenschachen für den 1.
Projektzustand, welche für die Bewertung nach dem Indikator 1.1
«Sohlenstruktur» relevant sind.

Schwarzweg

Es konnten 8 (Restwasserabfluss) resp. 7 (erhöhter Abfluss) unterschiedliche Mesohabitate festgestellt werden. Sie entsprechen 6 der gemäss Steckbrief zu unterscheidenden 9 Typen von Sohlenstrukturen (vgl. Tabelle 19). 3 Strukturtypen fehlen (Stufe, Becken und Kolk). Die einzelnen Typen kommen insbesondere bei Restwasserabfluss teils in grosser Anzahl vor (vgl. Abbildung 28). Bei Restwasserabfluss kommen Hinterwasser, Flachwasser und Kiesbänke mit 17 bis 18 % am häufigsten vor. Bei erhöhtem Abfluss dominiert der Typ Schnelle.

Bei Restwasserabfluss sind alle Strukturen der Rinne-Furt-Schnelle-Sequenz vorhanden und kommen als aufeinander folgende Sequenz vor (Abbildung 27). Das quantitative Vorkommen und die räumliche Verteilung der Mesohabitate unterscheidet sich zwischen den beiden untersuchten Abflüssen deutlich. Der Anteil trockener Kiesbänke nimmt von 1.8 m³/s auf 13.6 m³/s von 18 auf 2 % ab. Dadurch vergrössert sich die benetzte Fläche.

Insgesamt wird dem Indikator 1.1 «Sohlenstruktur» der Wert 0.5 zugeordnet (Tabelle 20 auf Seite 69).

| Mesohabitat | Sohlenstruktur | Abflu | ıss 1.8 n | n³/s | | Abfluss | 13.6 m ³ | ³ /s | |
|---------------------|-------------------------------|--------|---------------|-------------|------------|---------|---------------------|-----------------|------------|
| (Arend K. K., 1999) | (Woolsey, S. et al., 2005) | Anzahl | Anzahl pro EL | Fläche [m²] | Fläche [%] | Anzahl | Anzahl pro EL | Fläche [m²] | Fläche [%] |
| Stufe | Stufe | 0 | 0.0 | 0 | 0.0 | 0 | 0.0 | 0 | 0.0 |
| Schussrinne | Rinne | 0 | 0.0 | 0 | 0.0 | 0 | 0.0 | 0 | 0.0 |
| Schnelle | Schnelle | 2 | 2.7 | 135 | 1.4 | 10 | 13.3 | 1933 | 19.5 |
| Lauf | Schnelle | 3 | 4.0 | 681 | 7.3 | 1 | 1.3 | 6944 | 70.2 |
| Furt | Furt | 4 | 5.3 | 5154 | 55.1 | 6 | 8.0 | 558 | 5.6 |
| Rinne | Rinne | 0 | 0.0 | 0 | 0.0 | 0 | 0.0 | 0 | 0.0 |
| Gleite | Rinne | 4 | 5.3 | 447 | 4.8 | 0 | 0.0 | 0 | 0.0 |
| Felsgleite | Rinne | 0 | 0.0 | 0 | 0.0 | 0 | 0.0 | 0 | 0.0 |
| Staukolk | Rinne | 0 | 0.0 | 0 | 0.0 | 0 | 0.0 | 0 | 0.0 |
| Flachwasser | Flachwasser | 13 | 17.3 | 693 | 7.4 | 5 | 6.7 | 143 | 1.4 |
| Hinterwasser | Hinterwasser | 12 | 16.0 | 374 | 4.0 | 6 | 8.0 | 68 | 0.7 |
| Nebengerinnekolk | Hinterwasser | 2 | 2.7 | 142 | 1.5 | 0 | 0.0 | 0 | 0.0 |
| Stufenkolk | Becken | 0 | 0.0 | 0 | 0.0 | 0 | 0.0 | 0 | 0.0 |
| Lateralkolk | Kolk | 0 | 0.0 | 0 | 0.0 | 2 | 2.7 | 9 | 0.1 |
| Mündungskolk | Kolk | 0 | 0.0 | 0 | 0.0 | 0 | 0.0 | 0 | 0.0 |
| Bank | Bank | 13 | 17.3 | 1729 | 18.5 | 2 | 2.7 | 239 | 2.4 |
| unbewachsen | | | | | | | | | |
| Bank bewachsen | Bank | 0 | 0.0 | 0 | 0.0 | 0 | 0.0 | 0 | 0.0 |
| Summe | | 53 | 70.5 | 9355 | 100 | 32 | 42.6 | 9893 | 100 |

| Kennwerte | |
|--|-----|
| mittlere Gerinnesohlenbreite [m] | 33 |
| Länge Untersuchungsstrecke [m] | 300 |
| Einheitslänge [m] (12 x mittlere Sohlenbreite) | 399 |

Tabelle 19 Mesohabitate bzw. Sohlenstrukturen in der Untersuchungstrecke Schwarzweg im 1. Projektzustand (2023). EL = Einheitslänge

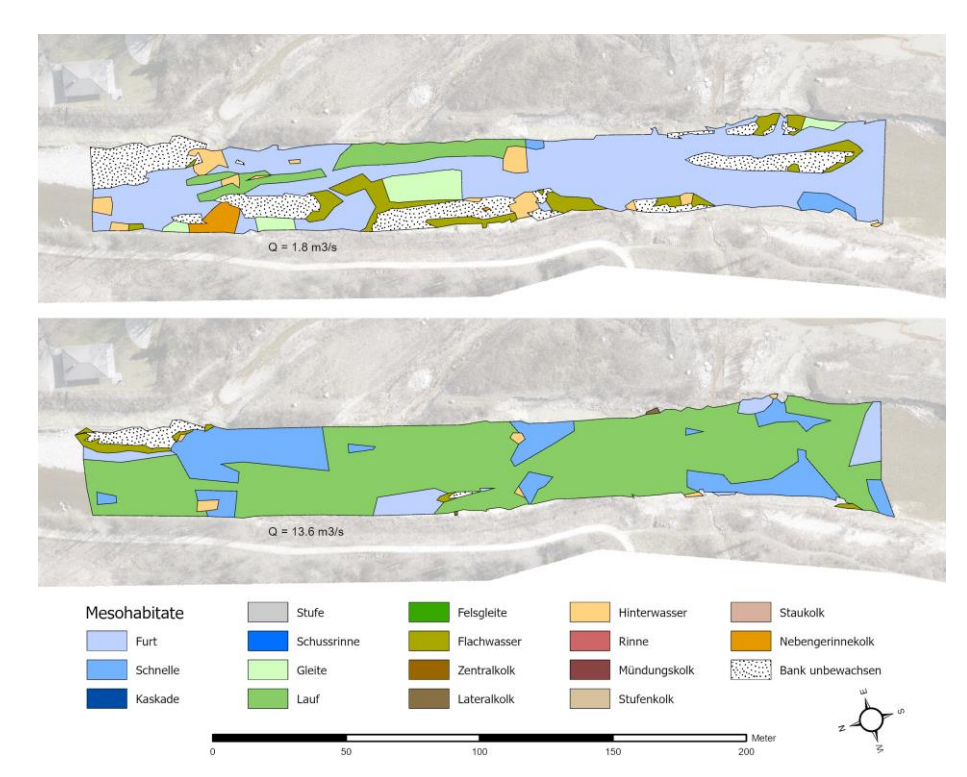


Abbildung 27 Verteilung der Mesohabitate in der Untersuchungsstrecke Schwarzweg am 7.3.2023 (Abfluss 1.8 m³/s; oben) und am 3.11.2023 (Abfluss 13.6 m³/s; unten). Orthofoto vom 21.2.2023 (© W+H)

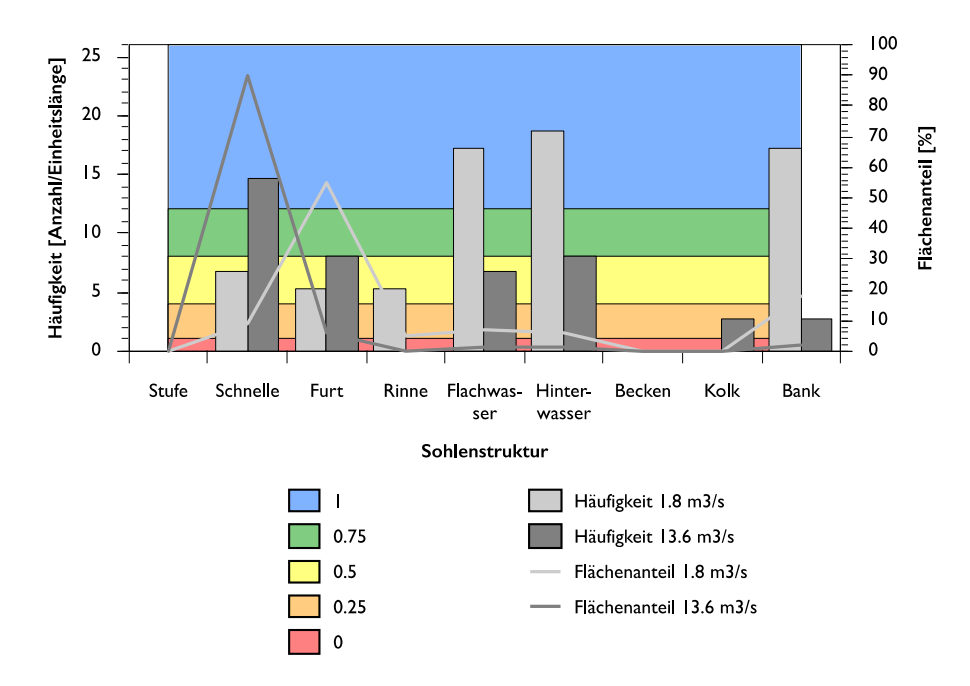


Abbildung 28 Häufigkeiten sowie Flächenanteile der Sohlenstrukturen in der Untersuchungsstrecke Schwarzweg. Im Hintergrund farblich dargestellt sind die standardisierten Werte (o = naturfern, 1 = naturnah), welche sich auf die Häufigkeit der Sohlenstrukturen beziehen.

| | 1.8 m³/s |
|--|----------|
| Dominiert Strukturtyp Rinne? | nein |
| Flächenanteil Rinne [%] | 4.8 |
| Sind 4 oder mehr Strukturtypen vorhanden? | ja |
| Anzahl verschiedener Sohlenstrukturtypen | 6 |
| Sind alle Strukturen der Rinne-Furt-Schnelle-Sequenz | ja |
| vorhanden? | |
| Dichte dieser drei Strukturen pro EL? | 4-8 |
| Anzahl Schnelle / EL | 6.7 |
| Anzahl Furt / EL | 5.3 |
| Anzahl Rinne / EL | 5.3 |
| Bewertung Indikator «Sohlenstruktur» | 0.5 |

Tabelle 20 Kennwerte für die Strecke Schwarzweg für den 1. Projektzustand, welche für die Bewertung nach dem Indikator 1.1 «Sohlenstruktur» relevant sind.

Papierfabrik

Es wurden 9 (Restwasserabfluss) resp. 10 (erhöhter Abfluss) unterschiedliche Mesohabitate festgestellt. Sie entsprechen 8 der gemäss Steckbrief zu unterscheidenden 9 Typen von Sohlenstrukturen. Einzig der Typ Stufe fehlt (vgl. Tabelle 21). Die einzelnen Typen kommen teils in grosser Anzahl vor (vgl. Abbildung 30). Bei Restwasserabfluss dominiert der Typ Furt mit 46 %. Daneben kommen Bänke mit 30 % häufig vor. Auch bei erhöhtem Abfluss dominiert der Typ Furt mit 33 %. Daneben kommen der Typ Kiesbank, Schnelle und Flachwasser mit > 10 % Flächenanteil vor.

Die Emme zeigt im Längsprofil Ansätze einer Rinne-Furt-Schnelle-Sequenz, wobei alle drei Typen vorkommen, der Typ Rinne jedoch nur selten (vgl. Abbildung 29). Der anstehende Fels verhindert möglicherweise eine Schnellen- bzw. Furt-Kolk-Sequenz, die eigentlich eher dem natürlichen Gefälle entsprechen würde. Die zu erwartende typische Abfolge von Mesohabitaten im Querprofil (Kiesbank (trocken)-Flachwasser-Furt-Lauf-Furt-Flachwasser-Kiesbank) zeigt sich nur ansatzweise.

Das quantitative Vorkommen und die räumliche Verteilung der Mesohabitate unterscheidet sich zwischen den beiden untersuchten Abflüssen (Restwasserabfluss und erhöhtem Abfluss) weniger stark als in den beiden anderen Untersuchungsstrecken, wobei zu berücksichtigen ist, dass bei der Strecke Emmenschachen und Schwarzweg die Kartierung bei einem deutlich höheren erhöhten Abfluss stattfand.

Insgesamt wird dem Indikator 1.1 «Sohlenstruktur» der Wert 0.25 zugeordnet (Tabelle 22 auf Seite 72).

| Mesohabitat | Sohlenstruktur | Abfluss 1.8 m³/s | | | Abfluss 4.6 m³/s | | | | |
|---------------------|-------------------------------|------------------|---------------|-------------|------------------|--------|---------------|-------------|------------|
| (Arend K. K., 1999) | (Woolsey, S. et al., 2005) | Anzahl | Anzahl pro EL | Fläche [m²] | Fläche [%] | Anzahl | Anzahl pro EL | Fläche [m²] | Fläche [%] |
| Stufe | Stufe | 0 | 0.0 | 0 | 0.0 | 0 | 0.0 | 0 | 0.0 |
| Schussrinne | Rinne | 0 | 0.0 | 0 | 0.0 | 0 | 0.0 | 0 | 0.0 |
| Schnelle | Schnelle | 0 | 0.0 | 0 | 0.0 | 2 | 3.1 | 1072 | 7.6 |
| Lauf | Schnelle | 4 | 6.3 | 825 | 5.8 | 5 | 7.8 | 1734 | 12.4 |
| Furt | Furt | 5 | 7.8 | 6571 | 45.9 | 3 | 4.7 | 4567 | 32.6 |
| Rinne | Rinne | 0 | 0.0 | 0 | 0.0 | 0 | 0.0 | 0 | 0.0 |
| Gleite | Rinne | 2 | 3.1 | 224 | 1.6 | 1 | 1.6 | 74 | 0.5 |
| Felsgleite | Rinne | 0 | 0.0 | 0 | 0.0 | 0 | 0.0 | 0 | 0.0 |
| Staukolk | Rinne | 0 | 0.0 | 0 | 0.0 | 0 | 0.0 | 0 | 0.0 |
| Flachwasser | Flachwasser | 9 | 14.1 | 1227 | 8.6 | 7 | 11.0 | 1478 | 10.5 |
| Hinterwasser | Hinterwasser | 4 | 6.3 | 327 | 2.3 | 4 | 6.3 | 268 | 1.9 |
| Nebengerinnekolk | Hinterwasser | 7 | 11.0 | 194 | 1.4 | 8 | 12.5 | 570 | 4.1 |

| Stufenkolk | Becken | 1 | 1.6 | 70 | 0.5 | 1 | 1.6 | 72 | 0.5 | |
|----------------|--------|----|------|-------|------|----|------|-------|------|--|
| Lateralkolk | Kolk | 3 | 4.7 | 535 | 3.7 | 2 | 3.1 | 68 | 0.5 | |
| Mündungskolk | Kolk | 0 | 0.0 | 0 | 0.0 | 0 | 0.0 | 0 | 0.0 | |
| Bank | Bank | 12 | 18.8 | 4353 | 30.4 | 7 | 11.0 | 4124 | 29.4 | |
| unbewachsen | | | | | | | | | | |
| Bank bewachsen | Bank | 0 | 0.0 | 0 | 0.0 | 0 | 0.0 | 0 | 0.0 | |
| Summe | | 47 | 73.6 | 14326 | 100 | 40 | 62.7 | 14025 | 100 | |

| Kennwerte | |
|--|-----|
| mittlere Gerinnesohlenbreite [m] | 43 |
| Länge Untersuchungsstrecke [m] | 330 |
| Einheitslänge [m] (12 x mittlere Sohlenbreite) | 517 |

Tabelle 21 Mesohabitate bzw. Sohlenstrukturen in der Untersuchungstrecke Papierfabrik im 1. Projektzustand (2023). EL = Einheitslänge

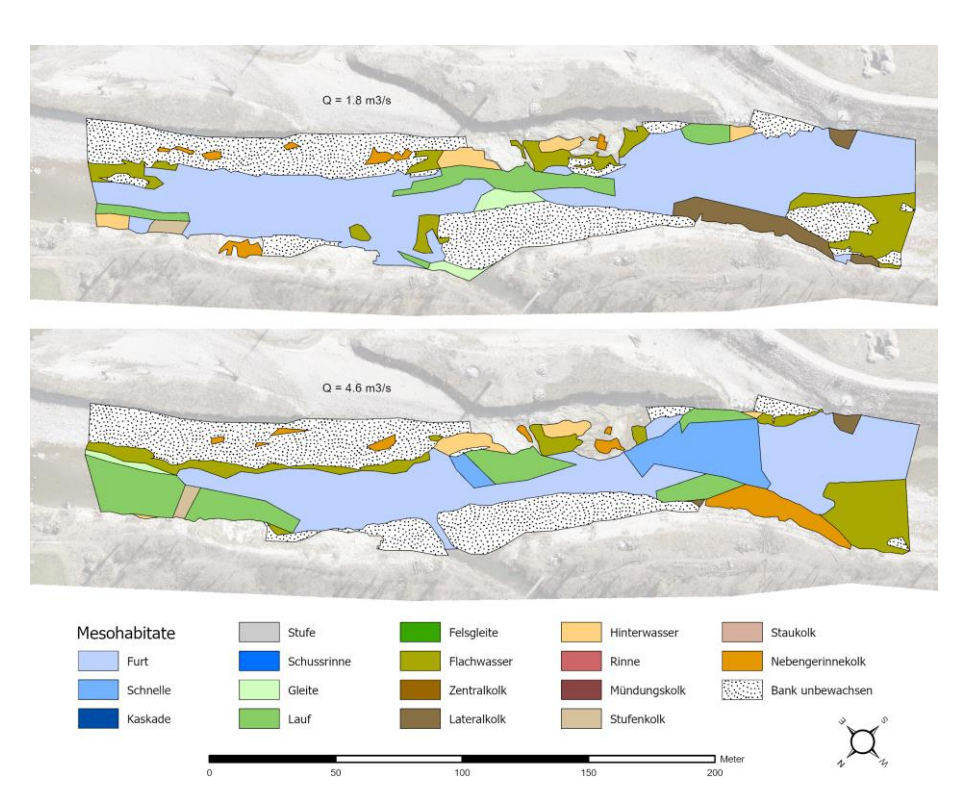


Abbildung 29 Verteilung der Mesohabitate in der Untersuchungsstrecke Papierfabrik am 23.3.2023 (Abfluss 1.8 m³/s; oben) und am 30.8.2023 (Abfluss 4.6 m³/s; unten). Orthofoto vom 21.2.2023 (© W+H). In der Mitte der Strecke bestand das rechte Ufer aus Fels. Trockene Felsflächen wurden – im Gegensatz zu trockenen Kiesbänken - nicht als Mesohabitat erfasst und erscheint daher als Lücke in der Abbildung.

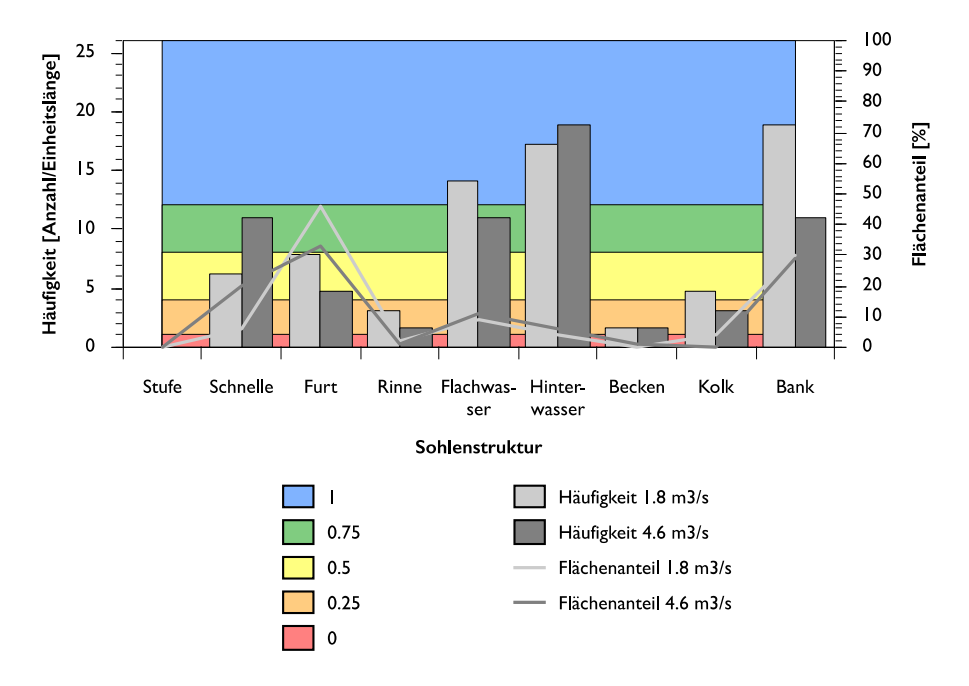


Abbildung 30 Häufigkeiten sowie Flächenanteile der Sohlenstrukturen in der Untersuchungsstrecke Papierfabrik. Im Hintergrund farblich dargestellt sind die standardisierten Werte (o = naturfern, 1 = naturnah), welche sich auf die Häufigkeit der Sohlenstrukturen beziehen.

| | 1.8 m³/s |
|--|----------|
| Dominiert Strukturtyp Rinne? | nein |
| Flächenanteil Rinne [%] | 1.6 |
| Sind 4 oder mehr Strukturtypen vorhanden? | ja |
| Anzahl verschiedener Sohlenstrukturtypen | 8 |
| Sind alle Strukturen der Rinne-Furt-Schnelle-Sequenz | ja |
| vorhanden? | |
| Dichte dieser drei Strukturen pro EL? | 0-3 |
| Anzahl Schnelle / EL | 6.3 |
| Anzahl Furt / EL | 7.8 |
| Anzahl Rinne / EL | 3.1 |
| Bewertung Indikator «Sohlenstruktur» | 0.25 |

Tabelle 22 Kennwerte für die Strecke Papierfabrik für den 1. Projektzustand, welche für die Bewertung nach dem Indikator 1.1 «Sohlenstruktur» relevant sind.

8.4 Vergleich mit Ausgangszustand

Die Bewertung nach dem Indikator 1.1 «Sohlenstruktur» entwickelte sich in den drei Strecken unterschiedlich (vgl. Tabelle 23).

| Bewertungsklasse Beschreibung | Standardisierter Wert | Emmenschachen | Schwarzweg | Papierfabrik |
|---|--------------------------|---------------|----------------------------|--------------|
| Nur ein Strukturtyp vorhanden | 0 | ш | 8 | <u> </u> |
| Der Strukturtyp Rinne dominiert. Weitere Strukturtypen kommen mit vereinzelten, räumlich isolierten Strukturen vor. | 0.25 | X (2014) | | X (2023) |
| 4 oder mehr Strukturtypen sind vorhanden mit einer Dichte von 4-8 Strukturen einer Rinnen-Furt-Schnellen- oder einer natürlichen oder naturnah gestalteten Stufen-Becken-Sequenz pro Einheitslänge. Falls der Strukturtyp Rinne dominiert, bilden die Strukturen der übrigen Strukturtypen lokal ein vielfältiges Muster. | 0.5 | X (2023) | X (2014 und 2023) | X (2014) |
| Der Strukturtyp Rinne dominiert nicht. Alle Strukturtypen einer Rinnen-Furt- Schnellen- oder einer natürlichen oder naturnah gestalteten Stufen-Becken- Sequenz vorhanden mit einer Dichte von 8-11 Strukturen dieser Sequenz pro Einheitslänge. | 0.75 | | | |
| Der Strukturtyp Rinne dominiert nicht. Alle Strukturtypen einer Rinnen-Furt- Schnellen- oder einer natürlichen oder naturnah gestalteten Stufen-Becken- Sequenz vorhanden mit einer Dichte von 12 Strukturen oder mehr dieser Sequenz pro Einheitslänge. | 1 | | | |

Tabelle 23 Bewertungsklassen und Zuordnung der standardisierten Werte nach (BAFU, 2019) für die untersuchten Strecken im Ausgangszustand (2014) sowie im 1. Projektzustand (2023).

Emmenschachen

Die Bewertung des Indikators 1.1 «Sohlenstruktur» verbesserte sich in der Strecke Emmenschachen um eine Klasse (Tabelle 23). Während im Ausgangszustand fast die gesamte Strecke dem Typ Furt zugeordnet wurde, bestand die Strecke im 1. Projektzustand aus einem Mosaik vieler verschiedener kleiner Mesohabitatflächen. Zudem kamen neu Typen vor, welche im Ausgangszustand noch fehlten (Abbildung 31).

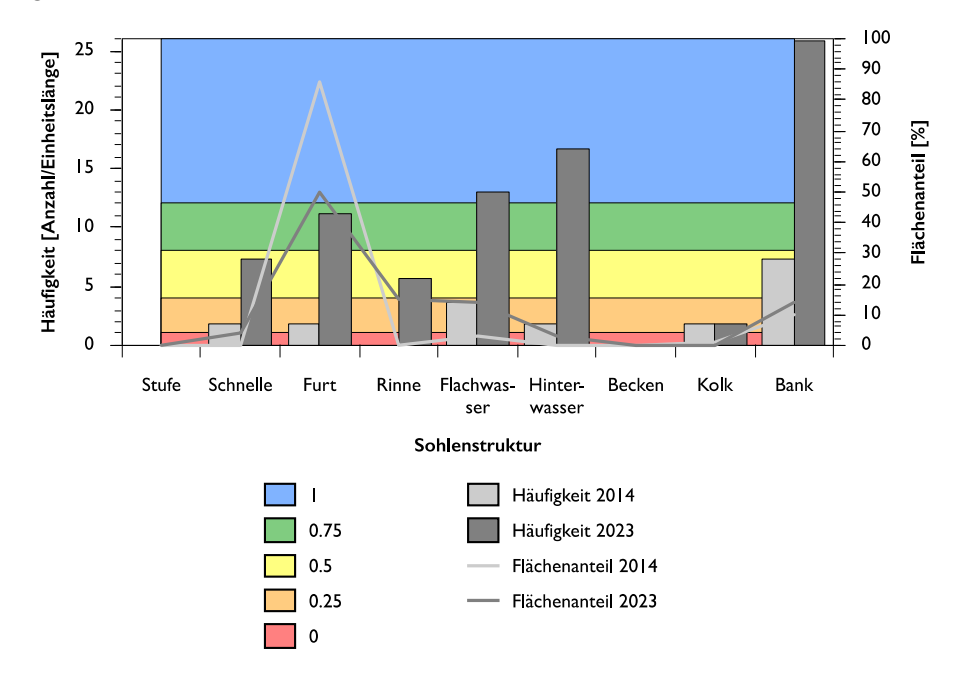


Abbildung 31 Häufigkeiten sowie Flächenanteile der Sohlenstrukturen in der Untersuchungsstrecke Emmenschachen bei Restwasserabfluss (1.8 m³/s) im Ausgangszustand und im 1. Projektzustand. Im Hintergrund farblich dargestellt sind die standardisierten Werte (o = naturfern, 1 = naturnah), welche sich auf die Häufigkeit der Sohlenstrukturen beziehen.

Schwarzweg

Die Bewertung der Strecke Schwarzweg änderte sich nicht, obwohl sich die Häufigkeit gewisser Sohlenstrukturen änderte (Abbildung 32). Schon im Ausgangszustand wurde hier ein standardisierter Wert von 0.5 erreicht, was einer mittleren Bewertung entspricht.

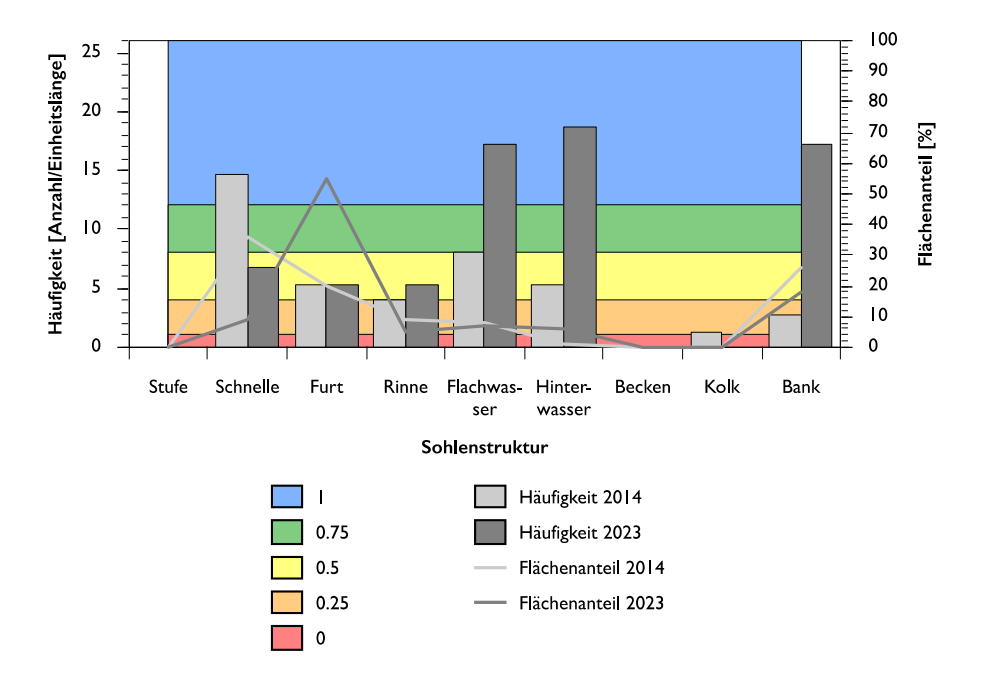


Abbildung 32 Häufigkeiten sowie Flächenanteile der Sohlenstrukturen in der Untersuchungsstrecke Schwarzweg bei Restwasserabfluss (1.8 m^3/s) im Ausgangszustand und im 1. Projektzustand. Im Hintergrund farblich dargestellt sind die standardisierten Werte (o = naturfern, 1 = naturnah), welche sich auf die Häufigkeit der Sohlenstrukturen beziehen.

Papierfabrik

Im Vergleich zum Ausgangszustand verschlechterte sich die Bewertung der Strecke Papierfabrik um eine Klasse, da die Sohlenstruktur «Rinne» im 1. Projektzustand nur noch mit einer Dichte von 3 Strukturen pro Einheitslänge vorkam (Abbildung 33).

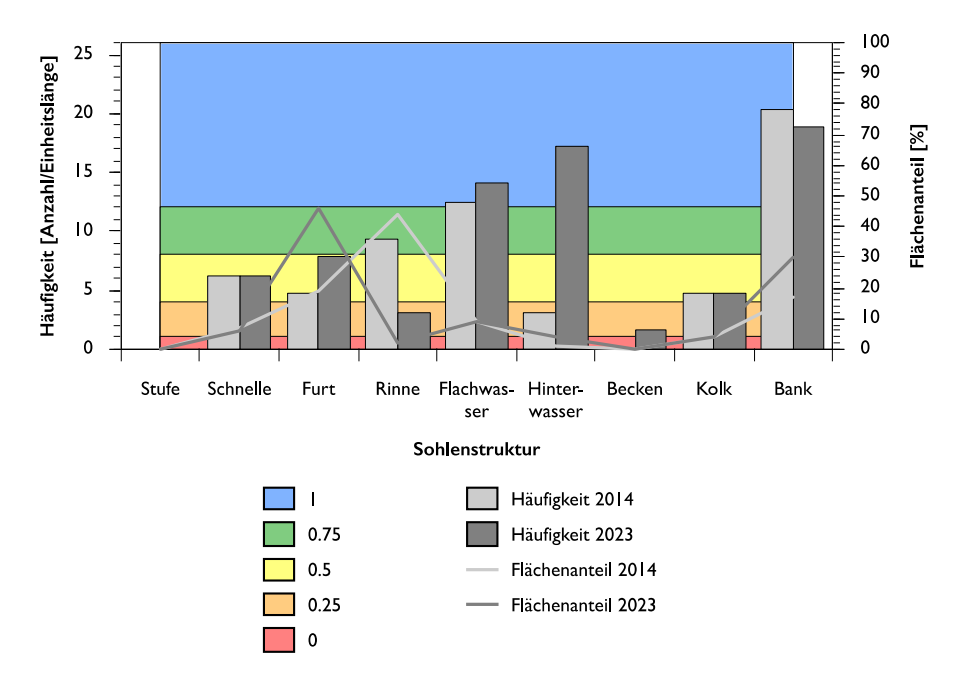


Abbildung 33 Häufigkeiten sowie Flächenanteile der Sohlenstrukturen in der Untersuchungsstrecke Papierfabrik bei Restwasserabfluss (1.8 m^3/s) im Ausgangszustand und im 1. Projektzustand. Im Hintergrund farblich dargestellt sind die standardisierten Werte (o = naturfern, 1 = naturnah), welche sich auf die Häufigkeit der Sohlenstrukturen beziehen.

8.5 Kurzdiskussion

Alle drei untersuchten Strecken wiesen heterogene Sohlenstrukturen auf. Mit höherem Abfluss verändern sich bei allen Strecken die Sohlenstrukturtypen. Es kommen aber in allen Strecken auch bei erhöhtem Abfluss vielfältige Strukturtypen vor. Die häufig vertretenen unbewachsenen Bänke und deren teilweise grosse Verschiebung zwischen der Erhebung bei minimalem Restwasserabfluss im März 2023 und der Erhebung bei erhöhtem Abfluss im August / November 2023 zeugen von einer grossen Geschiebedynamik. Dadurch ist auch die Gewässersohle nur selten stark kolmatiert. Trotzdem enthält die Gewässersohle oftmals einen hohen Anteil an Feinsedimenten.

Bei Restwasserabfluss dominiert in allen drei Strecken die Sohlenstruktur «Furt». Daneben kommen aber 5 bis 7 weitere Typen vor. Der Strukturtyp «Rinne» dominierte in keiner der drei Strecken. Daher basiert die Bewertung auf der Dichte der drei Typen «Rinne», «Furt» und «Schnelle». Für die Strecken Emmenschachen und Schwarzweg wird dem Indikator 1.1 «Sohlenstruktur» der Wert 0.5 zugeordnet, für die Strecke Papierfabrik der Wert 0.25. Gegenüber dem Ausgangszustand verbessert sich die Bewertung der Strecke Emmenschachen, diejenige der Strecke Schwarzweg bleibt unverändert und diejenige der Strecke Papierfabrik verschlechtert sich. Für eine bessere Bewertung müsste die Dichte der drei

erwähnten Strukturen noch höher liegen, was durch mehr Strukturen im Gerinne erzeugt werden könnte. In der Strecke Papierfabrik befand sich im Ausgangszustand eine Blockrampe. Unterhalb dieser wies die Strecke sehr heterogene Sohlenstrukturen auf. Durch die Aufhebung der Rampe verteilt sich die Steigung auf eine grössere Strecke, wodurch ein Grossteil der Strecke als Furt fliesst. Dadurch verschlechterte sich die Bewertung nach dem Indikator 1.1 «Sohlenstruktur».

Sohlenstrukturen – respektive Mesohabitate - bilden unterschiedliche Lebensräume für die Fische. Übergangsbereiche von tieferen Bereichen (z.B. Kolke, Rinnen, Hinterwasser) zu Furten bilden typische Laichhabitate der Kieslaicher. Insbesondere Furten sind reichlich vorhanden und weisen in der Strecke Emmenschachen auch ein geeignetes Laichsubstrat auf (vgl. Kapitel 12). In den Strecken Schwarzweg und Papierfabrik weist nur ein kleiner Teil der Furten geeignetes Laichsubstrat auf. Analog zum Ausgangszustand fehlen die typischen Kieslaicher weitgehend. Dies dürfte auf die zu hohen Wassertemperaturen im Sommer (vor allem für die Äsche), auf das geringe Angebot an potenziellem Laichhabitat in den Strecken Schwarzweg und Papierfabrik, aber auch auf den Mangel an ausgeprägten Kolken und Unterständen (z. B. für die Bachforelle) zurückzuführen sein.

Die Flachwasserzonen sind ausgezeichnete Habitate für Jungfische. In den Strecken Emmenschachen und Papierfabrik sind selbst bei erhöhtem Abfluss immer noch reichlich Flachwasserzonen vorhanden. Der hohe Flächenanteil seichter Mesohabitate (Furten, Gleiten, Flachwasser) liefert ideale Lebensräume für Kleinfischarten. So sind Elritzen und Schmerlen denn auch – wie im Ausgangszustand - die häufigsten Fischarten.

Die Bewertungsmethodik fokussiert sehr stark auf die drei Sohlenstrukturtypen Rinne, Furt und Schnelle und deren Dichte in der Untersuchungsstrecke. Sofern der Typ Rinne nicht dominiert, ergibt sich die Bewertung des Indikators 1.1 «Sohlenstruktur» aus der Dichte dieser drei Sohlenstrukturtypen, wobei der Typ mit der geringsten Dichte die Bewertung bestimmt. Die Vielfalt der übrigen Sohlenstrukturtypen sowie die räumliche Anordnung der Typen in der Untersuchungsstrecke werden nicht in die Bewertung einbezogen.

Da die Bewertung des Indikators 1.1 «Sohlenstruktur» nur auf dem Restwasserabfluss basiert, wird für die Erhebung des 2. Projektzustandes empfohlen, auf die Erhebung des erhöhten Abflusses zu verzichten. Zudem ist es sehr schwierig, einen Mittelwasserabfluss im Feld zu erwischen.

Kritik

Ausblick

9 Dynamik der Sohlenstruktur

9.1 Beschrieb

Grundlage

Praxisdokumentation Wirkungskontrolle (BAFU, 2019), Indikatorset 2 «Dynamik», Indikator 2.1 Dynamik Sohlenstruktur.

Definition

Veränderung der Sohlenstrukturen mit der Zeit. Sohlenstrukturen sind Flächen, die bezüglich Wassertiefe, Fliessgeschwindigkeit und Substratzusammensetzung in sich einheitlich sind (z. B. Schnelle, Rinne, Flachwasser, Kolk usw.).

Begründung

In natürlichen Fliessgewässern bewirken Hochwasser, dass die Sohle umgelagert wird und sich die morphologischen Strukturen verändern. Der Indikator zeigt die Dynamik des Gewässers.

9.2 Methode Erhebung und Auswertung

Zu erhebende Daten

Lage und Fläche der einzelnen Sohlenstrukturen im 2. Ausgangszustand

Vorgehen

Der Indikator beschreibt die Veränderung der Sohlenstrukturen zwischen zwei zeitlich versetzten Aufnahmen. Zum einen wird der Ausgangszustand vor der Revitalisierung (AZ1) mit einem Zustand 5 bis 10 Jahre zuvor (AZ2) verglichen. Zum anderen wird der 1. Projektzustand (PZ1) mit dem 2. Projektzustand (PZ2) verglichen.

Erhebung AZ2

Als 2. Ausgangszustand wurde der Frühling 2011 festgelegt. Somit liegen zwar nur 3.5 Jahre zwischen dem 1. und dem 2. Ausgangszustand. Dafür ist ein Luftbild in genügend guter Auflösung vorhanden, welches bei Restwasserabfluss erhoben wurde. Das Orthofoto des Kantons Solothurn weist eine Pixelgrösse von 12.5 cm und eine Lagegenauigkeit von 1-2 Pixel auf und basiert auf Flügen am 24.3.2011, 8.4.2011 und 9.4.2011. Zwischen Frühling 2011 (2. Ausgangszustand) und Winter 2014 (1. Ausgangszustand) fanden drei Hochwasser statt, welche das HQ2 überschritten (am 1.6.2013 mit einem Maximum von 390 m³/s bei der Messstation Limpachmündug, nur Hauptstation; 24.7.2014 mit 419 m³/s; 11.8.2014 mit 315 m³/s). Das Hochwasser vom 24.7.2014 hat in etwa eine Wiederkehrperiode von 10 Jahren.

Basierend auf dem Orthofoto von 2011 wurde die Sohlenstruktur für 2011 erfasst. Hierbei diente die Sohlenstrukturerhebung von 2014 (1. Ausgangszustand) als Grundlage. Im Zweifelsfall wurde die Struktur von 2014 übernommen. Die Wassertiefe konnte auf dem Luftbild kaum erkannt werden. Daher ist die Zuordnung von Sohlenstrukturen, welche auf der Wassertiefe beruhen, schwierig. Das Luftbild war insbesondere für die Strecke Papierfabrik nur mit Mühe interpretierbar, da Uferbäume Schatten auf das Gewässer warfen. Zudem war das Gewässer auf Grund von Baumkronen über der Wasserfläche teilweise nicht sichtbar. In den Strecken Schwarzweg und Emmenschachen kamen deutlich

weniger Schatten und Baumkronen über der Wasserfläche vor. Die Zuordnung der Sohlenstrukturtypen für 2011 ist aus diesen Gründen mit Unsicherheiten behaftet, insbesondere für die Strecke Papierfabrik.

Daten AZ1

Für den 1. Ausgangszustand wurden die im Kapitel 8 (Sohlenstruktur) beschriebenen und erhobenen Daten verwendet.

Erhebungen für den Ausgangszustand

| Untersuchungsstrecken | Erhebungszustand | | | | | | |
|-----------------------|------------------|--------|--------|--------|--------------|--------------|------------|
| | Frühling | Sommer | Herbst | Winter | Niederwasser | Mittelwasser | Hochwasser |
| Emmenschachen | | | | | • | | |
| Schwarzweg | | | | | • | | |
| Papierfabrik | | | | | • | | |

Auswertung

Indikator Nr. 2.1: Verschnitt der Sohlenstrukturen zweier zeitlich versetzter Aufnahmen. Standardisierung auf Werte zwischen o und 1. Details vgl. (BAFU, 2019). Die Methodik wie die Sohlenstrukturen der zwei zeitlich versetzten Aufnahmen verschnitten werden, ist dem Anwender überlassen. Nachfolgend wird das in diesem Fall verwendete Vorgehen beschrieben.

Für den Ausgangszustand (Vergleich AZ1-AZ2) sowie den Projektzustand (Vergleich PZ1-PZ2) wird je ein standardisierter Wert für die Dynamik der Sohlenstruktur berechnet. Ist der standardisierte Wert im Projektzustand höher, so hat die Dynamik im Gewässer zugenommen. Dies kann jedoch erst nach der Erhebung des 2. Projektzustandes berechnet werden.

Betrachtet wird die gesamte Gerinnefläche (von Böschungsfuss links zu Böschungsfuss rechts, einschliesslich unbenetzter Bereiche). Zur Ermittlung jener Flächen, in welchen zu den beiden Zeitpunkten unterschiedliche Sohlenstrukturen betrachtet wurden, wird ein grafischer Verschnitt der beiden Zustände gemacht. Es wird somit die exakt gleiche geografische Lage verglichen. Flächen mit unterschiedlichen Sohlenstrukturen werden identifiziert und die Summe dieser Flächen berechnet. Als «gesamte Fläche der Sohle» wird diejenige Fläche definiert, auf welcher in beiden Zuständen Sohlenstrukturen erhoben wurden. Dies spielt dann eine Rolle, wenn sich das Gerinne verändert.

Wie im Indikator vorgesehen, wird die Gesamtfläche mit einer Veränderung der Sohlenstruktur durch die gesamte Fläche der Sohle geteilt. Dies ergibt einen Wert (p), der gemäss der Vorgabe standardisiert werden kann. Beim Vergleich des standardisierten Wertes des Ausgangszustandes und des Projektzustandes muss

die Grösse der zwischen den Aufnahmen stattgefundenen Hochwasser berücksichtigt werden.

9.3 Resultate

9.3.1 Ausgangszustand

Emmenschachen

In der Strecke Emmenschachen wurde auf 21 % der Fläche eine Veränderung der Sohlenstruktur festgestellt (vgl. Abbildung 34). Die Verteilung der Sohlenstrukturtypen änderte sich kaum zwischen den beiden Ausgangszuständen. Der Typ «Furt» dominiert in beiden Jahren. Gewisse Veränderungen ergaben sich in den Kiesbänken. Für den Indikator «Dynamik Sohlenstruktur» resultiert ein standardisierter Wert von 0.27 (vgl. Tabelle 24).

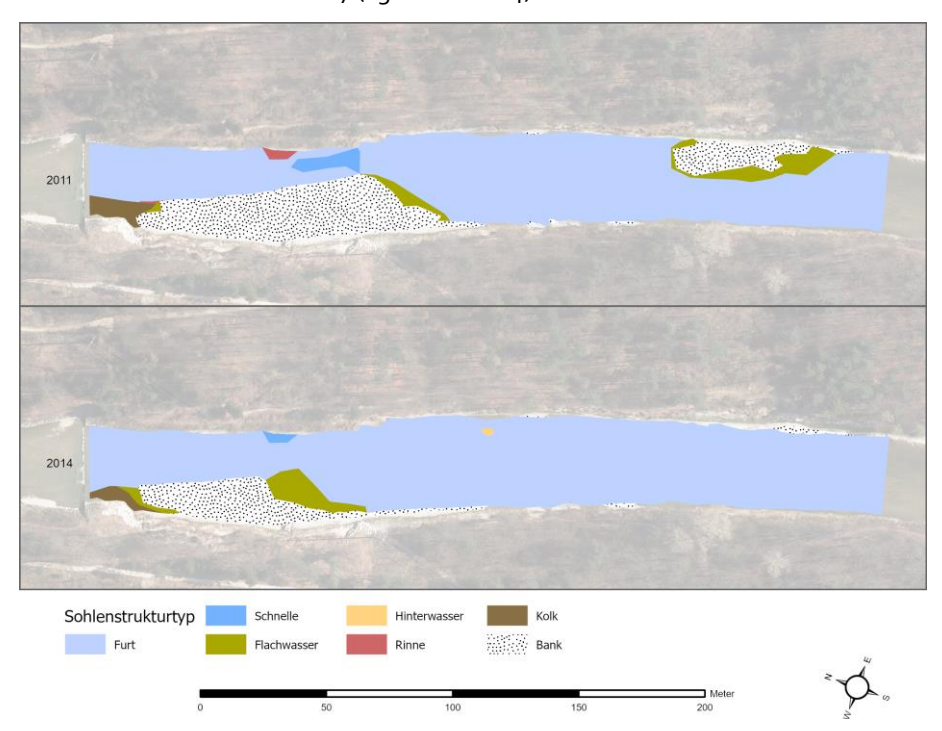


Abbildung 34 Sohlenstrukturtypen in den Jahren 2011 (oben) und 2014 (unten) in der Strecke Emmenschachen. Hintergrund: Luftbild 2011, Copyright Kanton Solothurn.

Schwarzweg

Obwohl die Strecke Schwarzweg ein vielfältigeres Muster der Sohlenstrukturtypen aufwies als die Strecke Emmenschachen, wurde auch in dieser Strecke auf 21 % der Fläche eine Veränderung der Sohlenstruktur festgestellt (vgl. Abbildung 35). In beiden Ausgangszuständen kamen grundsätzlich dieselben Sohlenstrukturtypen vor. Lokal gab es Verschiebungen und kleinere Veränderungen. Für den Indikator «Dynamik Sohlenstruktur» resultiert ein standardisierter Wert von 0.29 (vgl. Tabelle 24).

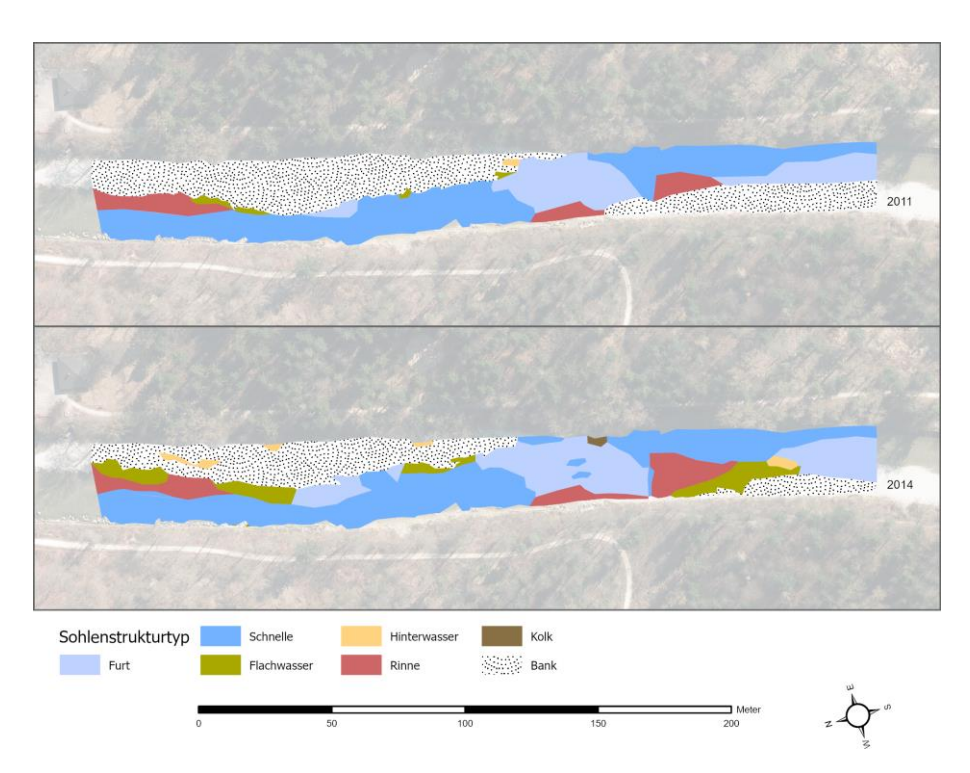


Abbildung 35 Sohlenstrukturtypen in den Jahren 2011 (oben) und 2014 (unten) in der Strecke Schwarzweg. Hintergrund: Luftbild 2011, Copyright Kanton Solothurn.

Papierfabrik

Im 2. Ausgangszustand (2011) wurde der unterste Drittel dieser Strecke dem Typ Rinne zugeordnet. Die Zuweisung ist allerdings auf Grund des schwer erkennbaren Luftbildes mit grossen Unsicherheiten behaftet. Es kann nicht ausgeschlossen werden, dass analog zum 1. Ausgangszustand der Sohlenstrukturtyp «Furt» dort vorkam. Da dies auf die Bewertung einen grossen Einfluss hat, wird zusätzlich angegeben wie die Bewertung wäre, wenn dieser Fläche der Typ «Furt» zugewiesen worden wäre.

In der Strecke Papierfabrik wurde auf 49 % der Fläche eine Veränderung der Sohlenstruktur festgestellt (31 % mit «Furt» anstatt «Rinne»; vgl. Abbildung 36). Viele Kiesbänke waren verschoben¹⁴. Zudem gab es viele Veränderungen in den kleinräumigen Sohlenstrukturen. Für den Indikator «Dynamik Sohlenstruktur» resultiert ein standardisierter Wert von 0.99 (0.52 mit «Furt» anstatt «Rinne»; vgl. Tabelle 24).

¹⁴ Die Tabelle 10uf dem schwer erkennbaren Luftbild am besten erkennbar waren.

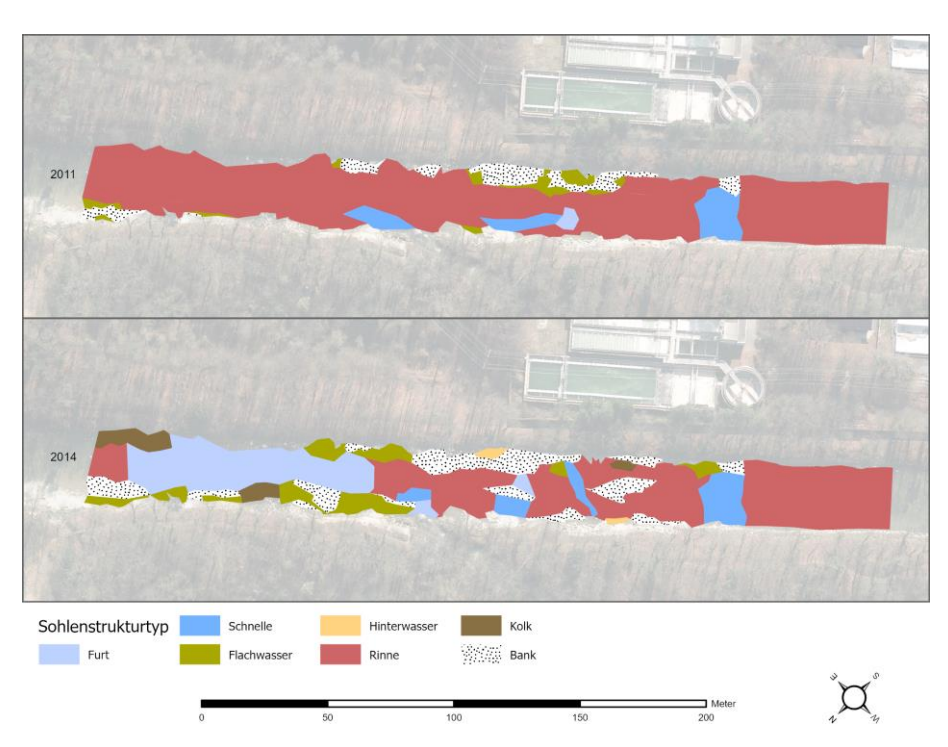


Abbildung 36 Sohlenstrukturtypen in den Jahren 2011 (oben) und 2014 (unten) in der Strecke Papierfabrik. Hintergrund: Luftbild 2011, Copyright Kanton Solothurn.

Bewertung

| Bewertungsparameter | Emmenschachen | Schwarzweg | Papierfabrik |
|--|---------------|------------|--------------|
| Summe der Flächen mit Veränderung [m²] | 2232 | 1708 | 3937 |
| Summe der Flächen ohne Veränderung [m²] | 8413 | 6246 | 4016 |
| P = Fläche mit Veränderung /Gesamtfläche | 0.21 | 0.21 | 0.49 |
| Standardisierter Wert | 0.27 | 0.29 | 0.99 |

Tabelle 24 Bewertung des Indikators 2.1 «Dynamik Sohlenstruktur». Würde der unterste Abschnitt der Strecke Papierfabrik dem Typ «Furt» anstatt «Rinne» zugeordnet, so wären es 2'462 m² mit Veränderung, 5'491 m² ohne Veränderung, p = 0.31 und standardisierter Wert von 0.52.

9.3.2 Projektzustand 1

Erst nachdem die Daten zum 2. Projektzustand vorliegen, kann die Veränderung zwischen 1. und 2. Projektzustand berechnet werden.

9.4 Vergleich Ausgangszustand mit Projektzustand

Da der Projektzustand noch nicht ausgewertet werden kann, ist auch noch kein Vergleich zum Ausgangszustand möglich.

9.5 Kurzdiskussion

In allen drei Strecken bzw. in deren nahem Umfeld gab es im Ausgangszustand Querverbauungen, welche vermutlich einer noch grösseren Veränderung der Sohlenstrukturen entgegenwirkten. Im Ausgangszustand wiesen die Untersuchungsstrecken Emmenschachen und Schwarzweg eine geringe Dynamik der Sohlenstruktur auf. Die Strecke Papierfabrik wies eine mittlere bis grosse Dynamik auf. Da die Erhebung des 2. Ausgangszustandes mit grosser Unsicherheit verbunden ist, ist möglicherweise ein Teil dieser angeblicher Dynamik auf Erfassungsfehler zurückzuführen. Andererseits wurden in der Strecke Papierfabrik im 1. Ausgangszustand viele kleinräumige Sohlenstrukturen erfasst, welche sich mit Hochwasser rasch verändern können.

Der Indikator unterscheidet nicht, ob sich ein Sohlenstrukturtyp räumlich verschoben hat oder ob gänzlich andere Typen vorkommen.

Kritik

10 Uferstruktur

10.1 Beschrieb

Grundlage

Eawag Steckbrief Nr. 45, Ufer: Uferstruktur (Woolsey, S. et al., 2005)

Definition

Verteilung der Uferstrukturen

Begründung

Die Uferlinie bildet die Schnittstelle zwischen dem aquatischen und dem terrestrischen Raum. Als Grenzbiotop bietet ein natürliches Ufer vielen spezialisierten Arten einen Lebensraum. Die Veränderung der Uferstruktur charakterisiert die Morphodynamik des Gewässers.

10.2 Methode Erhebung und Auswertung

Zu erhebende Daten

Art, Länge und Lage der Uferstrukturtypen sowie Anteil der Längsverbauung bei mittlerem Abfluss.

Vorgehen

Es erfolgten zwei Erhebungen, einmal bei minimalem Restwasserabfluss und einmal bei einem erhöhten Abfluss. Die Uferlinie wurde im Feld mit einem submetergenauen GPS vermessen. Die Erfassungsgenauigkeit betrug je nach Standort 50-150 cm. Sie wurde durch die Mittelwertbildung von jeweils 3 Messwerten zusätzlich erhöht. Da bei erhöhtem Abfluss auf Grund der eingeschränkten Begehbarkeit teilweise aus Distanz kartiert wurde, erfolgten anschliessend Korrekturen anhand des Luftbildes. Gleichzeitig mit der Erhebung der Uferstrukturtypen erfolgte die Kartierung der Sohlenstrukturen. Bei vollständig von Wasser umgebenen Kiesbänken (Kiesinseln) sowie bei vom Gerinne getrennten landseitigen Wasserflächen wurde keine Uferlinie erhoben.

Erhebung

Emmenschachen

6.3.2023 bei minimalem Restwasserabfluss von 1.8 m³/s 3.11.2023 bei einem erhöhten Abfluss von 13.0 m³/s

Koordinaten unten: 2'610'244 / 1'229'045 oben: 2'610'349 / 1'228'750

Länge: 327 m

Schwarzweg

7.3.2023 bei minimalem Restwasserabfluss von 1.8 m³/s 3.11.2023 bei einem erhöhten Abfluss von 13.6 m³/s

Koordinaten unten: 2'610'724 / 1'227'083 oben: 2'610'641 / 1'226'795

Länge: 299 m

Papierfabrik

23.3.2023 bei minimalem Restwasserabfluss von 1.8 m³/s (respektive geringfügig höherer Abfluss)

30.8.2023 bei einem erhöhten Abfluss von 4.6 m³/s

Koordinaten unten: 2'610'330 / 1'226'448 oben: 2'610'094 / 1'226'236

Länge: 325 m

| Untersuchungsstrecken | Erhebungszustand | | | | | | |
|-----------------------|------------------|--------|--------|--------|--------------|--------------|------------|
| | Frühling | Sommer | Herbst | Winter | Niederwasser | Mittelwasser | Hochwasser |
| Emmenschachen | | | | | • | • | |
| Schwarzweg | | | | | • | • | |
| Papierfabrik | | | | | • | • | |

Auswertung

In Anlehnung an Steckbriefnr. 45 sind die Anzahl Strukturelemente pro Einheitslänge sowie die Länge des verbauten Ufers relevant für die Auswertung.

Die Bewertung nach dem Indikator «Uferstruktur» erfolgt auf Basis der Erhebung bei Restwasserabfluss¹⁵. Für die Bewertung der Uferstruktur werden zwei Parameter berechnet: "Längsverbauung" (A_{Verb}) und "Strukturelemente" (A_{Struktur}). Der Parameter Längsverbauung wird basierend auf der Länge des Ufers sowie der Länge von glatter und rauer Längsverbauung berechnet:

Für A_{Verb} resultieren standardisierte Werte zwischen o (beidseitig glatt verbaut) und o.5 (ohne Längsverbau).

Der Parameter Strukturelemente wird basierend auf der Anzahl vorkommender Strukturtypen pro Einheitslänge (n) festgelegt. Im Unterschied zum Steckbrief wurde die Einheitslänge als 12-faches der Gerinnesohlenbreite (von Böschungsfuss links zu Böschungsfuss rechts, einschliesslich unbenetzte Bereiche, ausschliesslich bewachsene Insel) im 1. Projektzustand bei erhöhtem Abfluss definiert. Alle drei Untersuchungsstrecken sind kürzer als die berechneten Einheitslängen. Daher wurde n als «Anzahl vorkommende Strukturtypen» definiert, da eine Extrapolation nicht zulässig ist. Die Werte n werden wie folgt standardisiert:

• n ≤ 1: AStruktur = 0

• 1 < n < 5: AStruktur = 0.125*n - 0.125

• 5 ≥ n: AStruktur = 0.5

¹⁵ Gemäss Indikatorsteckbrief ist das Ufer bei der Wasserlinie bei mittlerem Abfluss massgeblich. Aufgrund der Restwassersituation entspricht dies dem minimalen Restwasserabfluss.

Die Parameter A_{Verb} und $A_{Struktur}$ werden addiert. Dabei resultiert ein standardisierter Endwert zwischen o und 1. Details vgl. (Woolsey, S. et al., 2005).

Anpassungen Daten Ausgangszustand Bei der Zuweisung des Ufertyps «Bucht» gibt es einen gewissen Spielraum. Auf die Auswertung hat dies jedoch einen grossen Einfluss. Damit die Zuweisung des Ufertyps «Bucht» in allen Erfassungszuständen gleich erfolgt, wurden in den Strecken Emmenschachen und Papierfabrik die Daten des Ausgangszustandes angepasst.

10.3 Resultate

10.3.1 Ausgangszustand

Der Ufertyp "Bucht" wurde in den Strecken Emmenschachen (RW und MW; vgl. Tabelle 25; Tabelle 26; Abbildung 37) und Papierfabrik (RW; vgl. Tabelle 27; Abbildung 38) für den Ausgangszustand angepasst.

Emmenschachen

| Strukturtyp | linkes Ufer | linkes Ufer | | er | beide Ufer | | |
|----------------------|-------------|-------------|-----|-----|------------|-----|--|
| | [m] | [%] | [m] | [%] | [m] | [%] | |
| Flachufer | 183 | 45 | 122 | 38 | 305 | 42 | |
| Steilufer | 120 | 30 | 174 | 54 | 294 | 41 | |
| Fels | 0 | 0 | 0 | 0 | 0 | 0 | |
| Sporn | 0 | 0 | 0 | 0 | 0 | 0 | |
| Bucht | 84 | 21 | 0 | 0 | 84 | 12 | |
| Wurzelwerk | 0 | 0 | 8 | 2 | 8 | 1 | |
| Blockgefüge | 0 | 0 | 0 | 0 | 0 | 0 | |
| Längsverbauung rau | 16 | 4 | 18 | 6 | 34 | 5 | |
| Längsverbauung glatt | 0 | 0 | 0 | 0 | 0 | 0 | |
| Summe | 403 | 100 | 322 | 100 | 725 | 100 | |

Tabelle 25 Uferstrukturtypen in der Untersuchungsstrecke Emmenschachen im Ausgangszustand bei minimalem Restwasser am 25.11.2014.

| Strukturtyp | linkes Ufer | linkes Ufer r | | er | beide Ufer | | |
|----------------------|-------------|---------------|-----|-----|------------|-----|--|
| | [m] | [%] | [m] | [%] | [m] | [%] | |
| Flachufer | 76 | 21 | 0 | 0 | 76 | 11 | |
| Steilufer | 189 | 53 | 301 | 94 | 490 | 73 | |
| Fels | 0 | 0 | 0 | 0 | 0 | 0 | |
| Sporn | 0 | 0 | 0 | 0 | 0 | 0 | |
| Bucht | 46 | 13 | 0 | 0 | 46 | 7 | |
| Wurzelwerk | 23 | 7 | 0 | 0 | 23 | 3 | |
| Blockgefüge | 0 | 0 | 0 | 0 | 0 | 0 | |
| Längsverbauung rau | 20 | 6 | 18 | 6 | 38 | 6 | |
| Längsverbauung glatt | 0 | 0 | 0 | 0 | 0 | 0 | |
| Summe | 355 | 100 | 319 | 100 | 674 | 100 | |

Tabelle 26 Uferstrukturtypen in der Untersuchungsstrecke Emmenschachen im Ausgangszustand bei erhöhtem Abfluss am 6.3.2015.

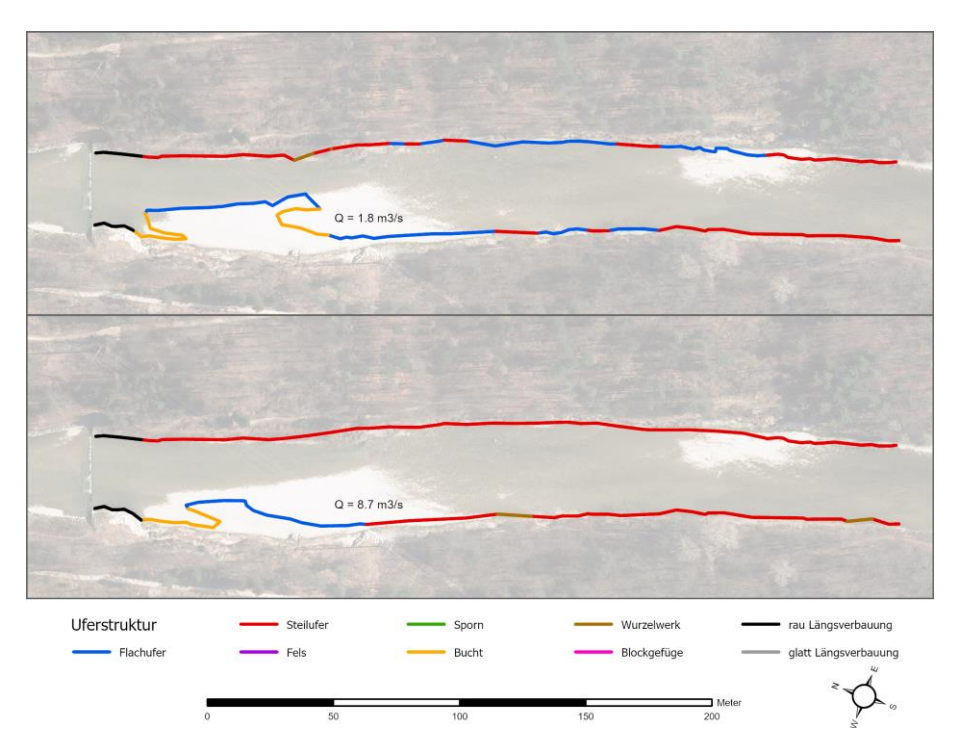


Abbildung 37 Verteilung der Uferstrukturtypen in der Untersuchungsstrecke Emmenschachen im Ausgangszustand am 25.11.2014 bei Restwasserabfluss (1.8 m³/s; oben) und erhöhtem Abfluss (8.7 m³/s; unten). Hintergrund: Luftbild 2011, Copyright Kanton Solothurn.

Papierfabrik

| Strukturtyp | linkes Ufer | linkes Ufer r | | er | beide Ufer | |
|----------------------|-------------|---------------|-----|-----|------------|-----|
| | [m] | [%] | [m] | [%] | [m] | [%] |
| Flachufer | 66 | 18 | 88 | 24 | 154 | 21 |
| Steilufer | 0 | 0 | 0 | 0 | 0 | 0 |
| Fels | 143 | 38 | 159 | 44 | 303 | 41 |
| Sporn | 0 | 0 | 0 | 0 | 0 | 0 |
| Bucht | 35 | 9 | 0 | 0 | 35 | 5 |
| Wurzelwerk | 0 | 0 | 0 | 0 | 0 | 0 |
| Blockgefüge | 62 | 17 | 45 | 12 | 108 | 15 |
| Längsverbauung rau | 64 | 17 | 71 | 19 | 135 | 18 |
| Längsverbauung glatt | 4 | 1 | 0 | 0 | 4 | 1 |
| Summe | 376 | 100 | 363 | 100 | 739 | 100 |

Tabelle 27 Uferstrukturtypen in der Untersuchungsstrecke Papierfabrik im Ausgangszustand bei minimalem Restwasser am 19.6.2014.

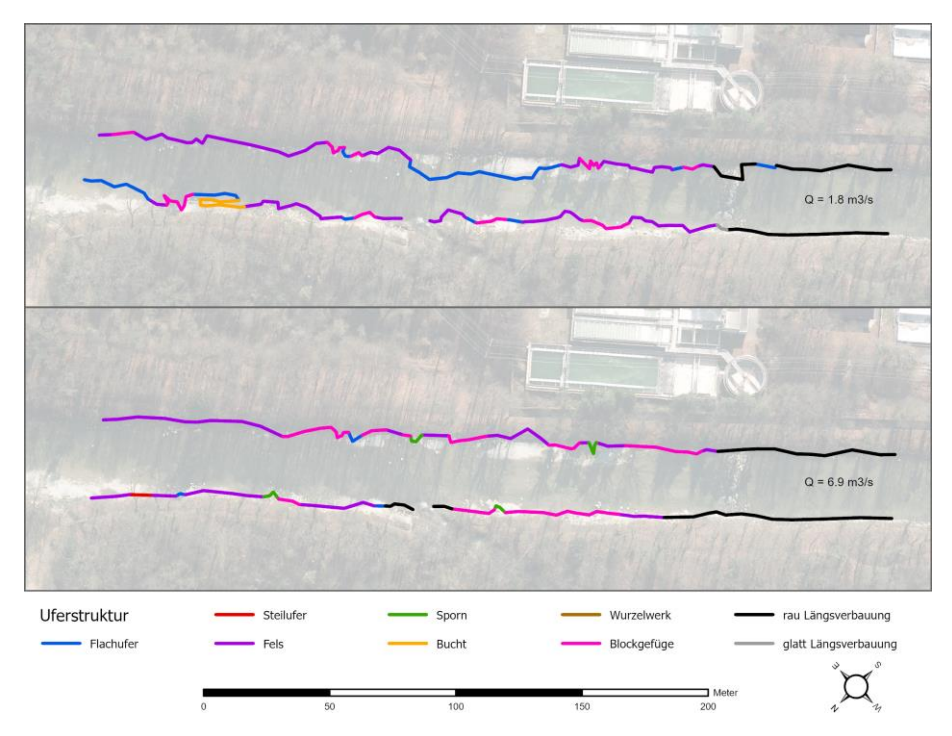


Abbildung 38 Verteilung der Uferstrukturtypen in der Untersuchungsstrecke Papierfabrik im Ausgangszustand am 19.6.2014 bei Restwasserabfluss (1.8 m³/s; oben) und erhöhtem Abfluss (6.9 m³/s; unten). Hintergrund: Luftbild 2011, Copyright Kanton Solothurn.

Bewertung

Die Bewertung des Ausgangszustandes wurde neu berechnet aufgrund der Anpassung des Uferstrukturtyps Bucht, der geänderten Berechnung der Einheitslänge und der Anzahl vorkommender Strukturtypen pro Einheitslänge (vgl. Tabelle 28). Alle drei Strecken werden mit dieser Berechnung deutlich besser bewertet. Es resultierte ein Wert zwischen o.67 und o.93 (Maximum = 1), was einer relativ guten bis sehr guten Bewertung entspricht).

| Bewertungsparameter | Emmenschachen | Schwarzweg | Papierfabrik |
|---|---------------|------------|--------------|
| Länge Längsverbau rau [m] | 34 | 27 | 135 |
| Länge Längsverbau glatt [m] | 0 | 85 | 4 |
| Gesamtlänge der Uferlinie [m] | 725 | 655 | 739 |
| Mittlere Gerinnesohlenbreite [m] | 34 | 27 | 26 |
| Einheitslänge (aus 1. Projektzustand) [m] | 593 | 399 | 517 |
| Länge Untersuchungsabschnitt | 320 | 300 | 330 |
| Anzahl Strukturtypen (ohne Längsverbau) | 4 | 3 | 4 |
| n (Anzahl Strukturtypen pro Einheitslänge) | 4 | 3 | 4 |
| A _{Verb} (Parameter Längsverbau) | 0.49 | 0.43 | 0.45 |
| A _{Struktur} (Parameter Strukturtypen) | 0.38 | 0.25 | 0.38 |
| A (A _{Verb} + A _{Struktur}) | 0.86 | 0.68 | 0.83 |

Tabelle 28 Standardisierte Bewertung der Uferstruktur bei minimalem Restwasserabfluss in den Untersuchungsstrecken im Ausgangszustand. A = Standardisierter Wert

10.3.2 Projektzustand 1

Emmenschachen

Die Ufer sind unverbaut. Die vorkommenden Strukturtypen sind Flachufer, Steilufer, Sporn und Wurzelwerk (vgl. Tabelle 29 und Tabelle 30). Die Flächenanteile der verschiedenen Typen ändern sich mit einer Abflusszunahme (1.8 m³/s zu 13.0 m³/s) kaum. In der Strecke Emmenschachen lagen bei beiden Abflüssen fast alle trockenen Kiesbänke in der Gewässermitte und wurden daher nicht für die Auswertung der Uferstruktur mitberücksichtigt (vgl. Abbildung 25).

| Strukturtyp | linkes Ufer | | rechtes U | fer | beide Ufer | |
|-------------------------|-------------|-----|-----------|-----|------------|-----|
| | [m] | [%] | [m] | [%] | [m] | [%] |
| Flachufer | 127 | 38 | 179 | 54 | 306 | 46 |
| Steilufer | 111 | 34 | 138 | 42 | 250 | 38 |
| Fels | 0 | 0 | 0 | 0 | 0 | 0 |
| Sporn | 5 | 2 | 0 | 0 | 5 | 1 |
| Bucht | 0 | 0 | 0 | 0 | 0 | О |
| Wurzelwerk | 88 | 27 | 13 | 4 | 102 | 15 |
| Blockgefüge | О | О | О | О | 0 | 0 |
| Längsverbauung rau | 0 | 0 | О | 0 | О | О |
| Längsverbauung glatt | О | О | 0 | О | 0 | 0 |
| Summe | 332 | 100 | 330 | 100 | 662 | 100 |

Tabelle 29 Uferstrukturtypen in der Untersuchungsstrecke Emmenschachen bei minimalem Restwasser am 6.3.2023.

| Strukturtyp | linkes Ufer | | rechtes U | fer | beide Ufer | |
|-------------------------|-------------|-----|-----------|-----|------------|-----|
| | [m] | [%] | [m] | [%] | [m] | [%] |
| Flachufer | 53 | 16 | 231 | 69 | 284 | 43 |
| Steilufer | 176 | 54 | 77 | 23 | 253 | 38 |
| Fels | 0 | 0 | 0 | 0 | 0 | 0 |
| Sporn | 6 | 2 | 0 | 0 | 6 | 1 |
| Bucht | 0 | 0 | 0 | 0 | 0 | 0 |
| Wurzelwerk | 89 | 27 | 28 | 8 | 116 | 18 |
| Blockgefüge | 0 | 0 | 0 | 0 | 0 | 0 |
| Längsverbauung rau | 0 | 0 | 0 | 0 | 0 | 0 |
| Längsverbauung glatt | 0 | o | 0 | o | 0 | 0 |
| Summe | 324 | 100 | 336 | 100 | 66o | 100 |

Tabelle 30 Uferstrukturtypen in der Untersuchungsstrecke Emmenschachen bei erhöhtem Abfluss am 3.11.2023.

Die Uferlinie liegt bei beiden untersuchten Abflüssen sehr nahe oder direkt am Böschungsfuss (Abbildung 39).

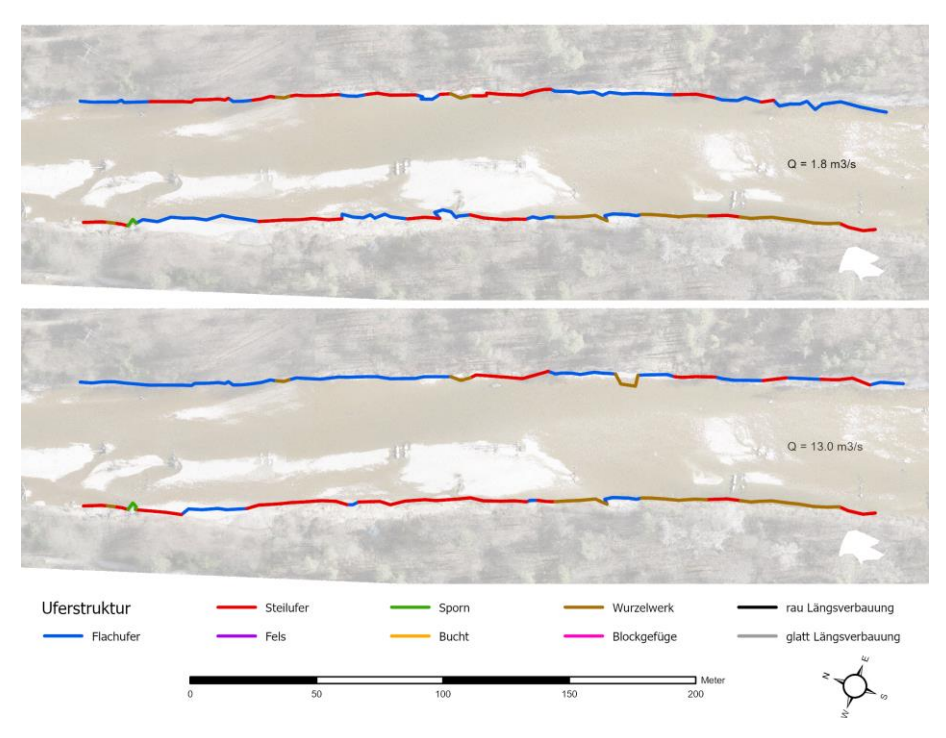


Abbildung 39 Verteilung der Uferstrukturtypen in der Untersuchungsstrecke Emmenschachen am 6.3.2023 bei minimalem (oben) und am 3.11.2023 bei erhöhtem Abfluss (unten). Orthofoto vom 21.2.2023 (© W+H).

Schwarzweg

Im untersten Bereich ist die linke Uferböschung mit einer glatten Ufermauer verbaut, welcher Blöcke vorgelagert sind. Etwas weiter flussaufwärts gibt es am linken Ufer einen kurzen Abschnitt mit rauer Längsverbauung.

Bei erhöhtem Abfluss kommen alle Strukturtypen vor, bei Restwasserabfluss fehlt der Typ «Sporn» (vgl. Tabelle 31 und Tabelle 32). Flachufer sind bei einem erhöhten Abfluss weniger häufig. Steilufer und Fels hingegen nehmen zu. Dies ist auf die Verschiebung der Uferlinie in Richtung des Böschungsfusses zurückzuführen.

| Strukturtyp | linkes Ufer | | rechtes Ut | fer | beide Ufe | beide Ufer | |
|-------------------------|-------------|-----|------------|-----|-----------|------------|--|
| | [m] | [%] | [m] | [%] | [m] | [%] | |
| Flachufer | 128 | 32 | 166 | 44 | 294 | 38 | |
| Steilufer | 3 | 1 | 3 | 1 | 6 | 1 | |
| Fels | 64 | 16 | 204 | 55 | 269 | 35 | |
| Sporn | 0 | 0 | 0 | 0 | 0 | 0 | |
| Bucht | 80 | 20 | 0 | 0 | 80 | 10 | |
| Wurzelwerk | 56 | 14 | 0 | o | 56 | 7 | |
| Blockgefüge | 4 | 1 | 0 | 0 | 4 | 1 | |
| Längsverbauung rau | 55 | 14 | 0 | 0 | 55 | 7 | |
| Längsverbauung glatt | 6 | 2 | 0 | О | 6 | 1 | |
| Summe | 396 | 100 | 373 | 100 | 769 | 100 | |

Tabelle 31 Uferstrukturtypen in der Untersuchungsstrecke Schwarzweg bei minimalem Restwasser am 7.3.2023

| Strukturtyp | linkes Ufe | r | rechtes Ufer | | beide Ufe | beide Ufer | |
|-------------------------|------------|-----|--------------|-----|-----------|------------|--|
| | [m] | [%] | [m] | [%] | [m] | [%] | |
| Flachufer | 39 | 12 | 83 | 24 | 122 | 18 | |
| Steilufer | 67 | 20 | 9 | 3 | 76 | 11 | |
| Fels | 96 | 29 | 236 | 69 | 332 | 49 | |
| Sporn | 6 | 2 | 8 | 2 | 14 | 2 | |
| Bucht | 14 | 4 | 0 | 0 | 14 | 2 | |
| Wurzelwerk | 42 | 13 | 0 | 0 | 42 | 6 | |
| Blockgefüge | 0 | 0 | 4 | 1 | 4 | 1 | |
| Längsverbauung rau | 11 | 3 | 0 | 0 | 11 | 2 | |
| Längsverbauung glatt | 56 | 17 | o | o | 56 | 8 | |
| Summe | 330 | 100 | 341 | 100 | 671 | 100 | |

Tabelle 32 Uferstrukturtypen in der Untersuchungsstrecke Schwarzweg bei erhöhtem Abfluss am 3.11.2023

Die Uferlinie liegt insbesondere bei Restwasserabfluss teilweise weit entfernt vom Böschungsfuss entlang einer Kiesbank (vgl. Abbildung 40). Bei erhöhtem Abfluss liegt die Uferlinie nur noch bei einer Kiesbank weit entfernt vom Böschungsfuss.

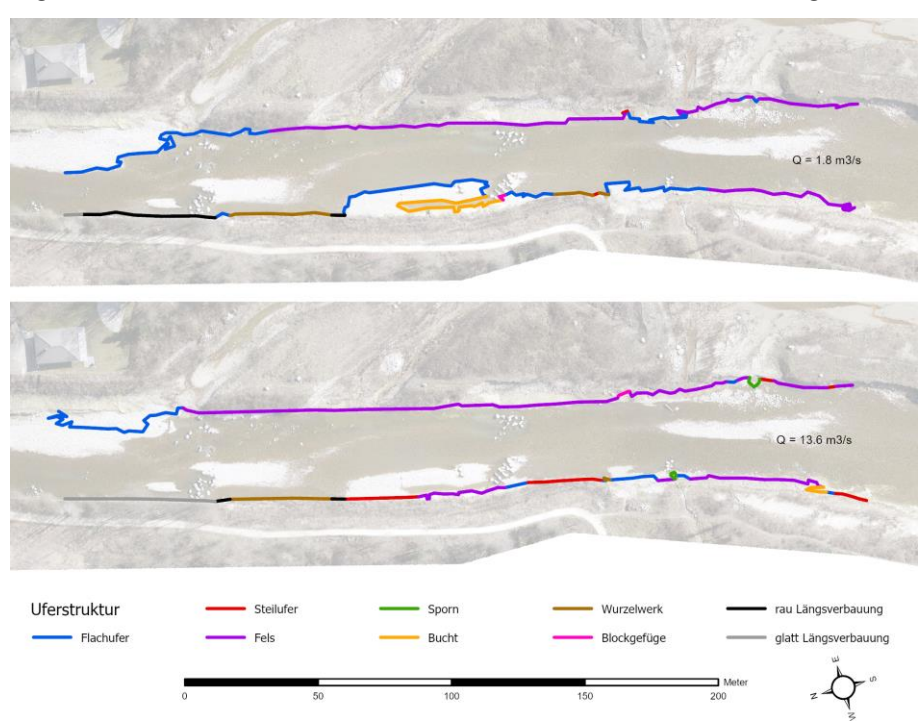


Abbildung 40 Verteilung der Uferstrukturtypen in der Untersuchungsstrecke Schwarzweg am 7.3.2023 bei minimalem (oben) und am 3.11.2023 bei erhöhtem Abfluss (unten). Orthofoto vom 21.2.2023 (© W+H).

Papierfabrik

Im obersten Abschnitt ist das rechte Ufer auf einer Länge von ca. 20 m mit Blocksatz verbaut.

Bis auf Blockgefüge und glatter Längsverbau kommen alle Strukturtypen vor (vgl. Tabelle 33 und Tabelle 34). Die Längenanteile der verschiedenen Typen verändern sich mit einer Abflusszunahme von 1.8 m³/s auf 4.6 m³/s kaum. Die beobachteten Veränderungen zwischen den beiden Abflüssen sind wohl zum grössten Teil auf Gerinneumlagerungen zurückzuführen, welche zwischen den Erhebungen stattgefunden haben.

| Strukturtyp | linkes Ufer | | rechtes U | fer | beide Ufer | |
|-------------------------|-------------|-----|-----------|-----|------------|-----|
| | [m] | [%] | [m] | [%] | [m] | [%] |
| Flachufer | 222 | 56 | 206 | 45 | 427 | 50 |
| Steilufer | 24 | 6 | 6 | 1 | 31 | 4 |
| Fels | 71 | 18 | 20 | 4 | 90 | 11 |
| Sporn | 7 | 2 | 40 | 9 | 47 | 5 |
| Bucht | 0 | 0 | 133 | 29 | 133 | 15 |
| Wurzelwerk | 75 | 19 | 36 | 8 | 111 | 13 |
| Blockgefüge | 0 | 0 | О | 0 | 0 | О |
| Längsverbauung rau | О | О | 20 | 4 | 20 | 2 |
| Längsverbauung glatt | О | О | О | О | 0 | О |
| Summe | 399 | 100 | 460 | 100 | 859 | 100 |

Tabelle 33 Uferstrukturtypen in der Untersuchungsstrecke Papierfabrik bei minimalem Restwasser am 23.3.2023

| Strukturtyp | linkes Ufer | | rechtes Ut | fer | beide Ufer | |
|-------------------------|-------------|-----|------------|-----|------------|-----|
| | [m] | [%] | [m] | [%] | [m] | [%] |
| Flachufer | 181 | 49 | 207 | 49 | 388 | 49 |
| Steilufer | 24 | 7 | 6 | 1 | 31 | 4 |
| Fels | 77 | 21 | 16 | 4 | 93 | 12 |
| Sporn | 7 | 2 | 36 | 8 | 43 | 5 |
| Bucht | 0 | 0 | 102 | 24 | 102 | 13 |
| Wurzelwerk | 78 | 21 | 36 | 8 | 114 | 14 |
| Blockgefüge | 0 | 0 | 0 | 0 | 0 | О |
| Längsverbauung rau | 0 | О | 22 | 5 | 22 | 3 |
| Längsverbauung glatt | О | О | О | О | О | О |
| Summe | 366 | 100 | 425 | 100 | 791 | 100 |

Tabelle 34 Uferstrukturtypen in der Untersuchungsstrecke Papierfabrik bei erhöhtem Abfluss am 30.8.2023

Die Uferlinie liegt bei beiden untersuchten Abflüssen oft weit entfernt vom Böschungsfuss (vgl. Abbildung 41). Grössere Verschiebungen ergeben sich insbesondere im Bereich der Kiesbänke.

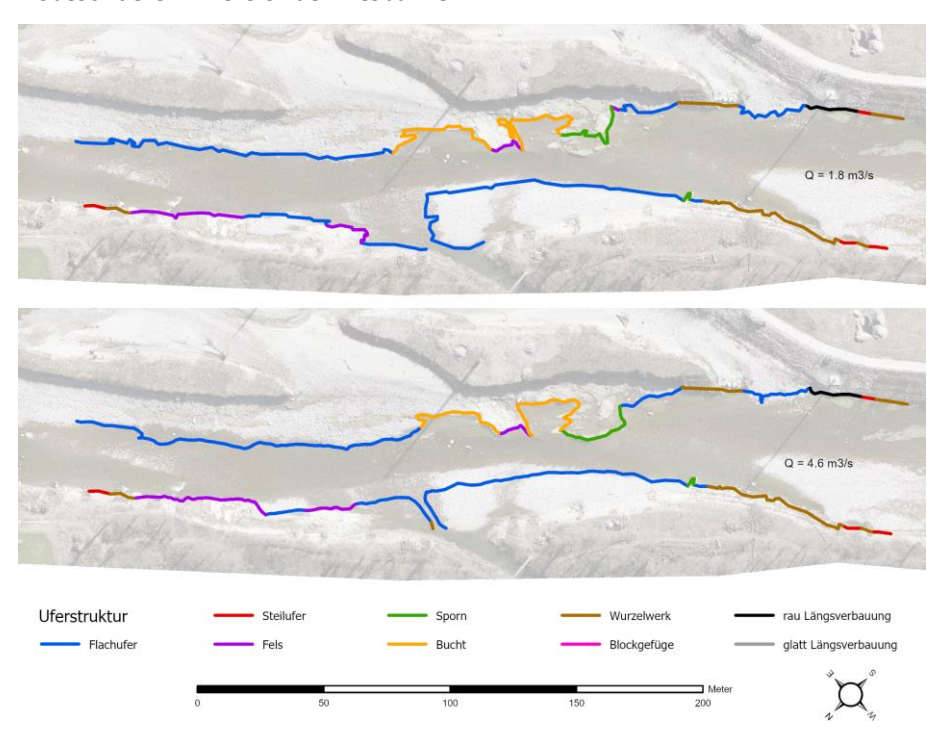


Abbildung 41 Verteilung der Uferstrukturtypen in der Untersuchungsstrecke Papierfabrik am 23.3.2023 bei minimalem (oben) und am 30.8.2023 bei erhöhtem Abfluss (unten). Orthofoto vom 21.2.2023 (© W+H).

Bewertung

Für alle Untersuchungsstrecken für die beiden Abflusszustände resultiert ein Wert zwischen o.88 und o.99 (Maximum = 1; vgl. Tabelle 35), was einer sehr guten Bewertung entspricht.

| Bewertungsparameter | Emmenschachen | Schwarzweg | Papierfabrik |
|---|---------------|------------|--------------|
| Länge Längsverbau rau [m] | 0 | 55 | 20 |
| Länge Längsverbau glatt [m] | 0 | 6 | o |
| Gesamtlänge der Uferlinie [m] | 662 | 769 | 859 |
| Mittlere Gerinnesohlenbreite [m] | 49 | 31 | 43 |
| Einheitslänge (aus 1. Projektzustand) [m] | 593 | 399 | 517 |
| Länge Untersuchungsabschnitt | 320 | 300 | 330 |
| Anzahl Strukturtypen (ohne Längsverbau) | 4 | 6 | 6 |
| n (Anzahl Strukturtypen pro Einheitslänge) | 4 | 6 | 6 |
| A _{Verb} (Parameter Längsverbau) | 0.50 | 0.48 | 0.49 |
| A _{Struktur} (Parameter Strukturtypen) | 0.38 | 0.50 | 0.50 |
| A (A _{Verb} + A _{Struktur}) | 0.88 | 0.98 | 0.99 |

Tabelle 35 Standardisierte Bewertung der Uferstruktur bei minimalem Restwasserabfluss in den Untersuchungsstrecken im 1. Projektzustand. A = Standardisierter Wert

10.4 Vergleich mit Ausgangszustand

Die Uferstruktur der Strecken Emmenschachen und Papierfabrik wird bereits im Ausgangszustand als sehr gut bewertet und verbessert sich zum 1. Projektzustand nur geringfügig (vgl. Abbildung 42). Den grössten Unterschied gibt es in der Strecke Schwarzweg, bei welcher sich die Bewertung deutlich verbessert. Diese Verbesserung beruht darauf, dass im 1. Projektzustand 3 Ufertypen zusätzlich vorkommen und somit die Strukturtypen deutlich besser bewertet werden.

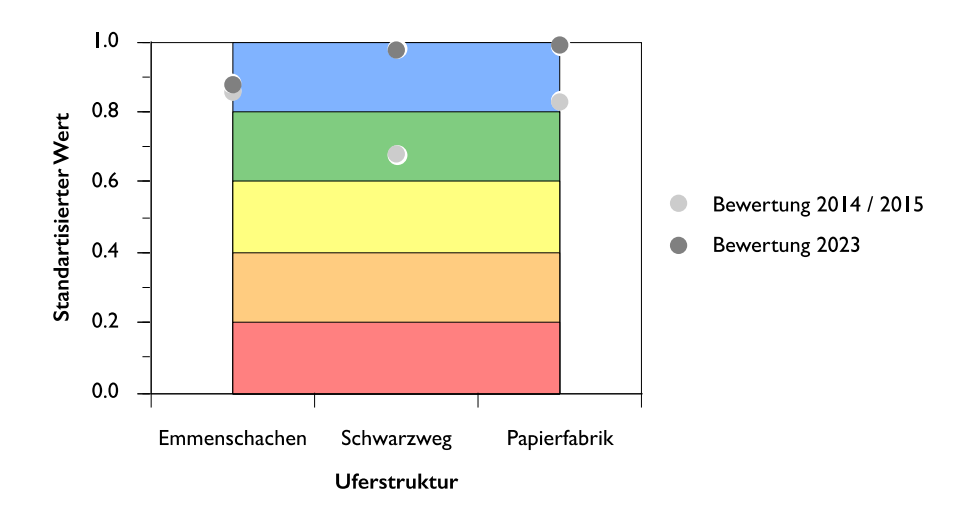


Abbildung 42 Zuordnung der standardisierten Werte bei minimalem Restwasserabfluss für den Indikator «Uferstruktur» für die untersuchten Strecken im Ausgangszustand (2014 / 2015) sowie im 1. Projektzustand (2023).

10.5 Kurzdiskussion

Strukturelemente

Sämtliche der in den Steckbriefen (Woolsey, S. et al., 2005) aufgeführten 7 unterschiedenen Uferstrukturtypen kommen vor. Im 1. Projektzustand dominieren Flachufer, Steilufer und Fels. Im Vergleich zum Ausgangszustand deutlich seltener ist der Typ Blockgefüge. Einen deutlichen Unterschied gibt es zudem in der Längsverbauung der Ufer. Im 1. Projektzustand ist die Uferlinie in der Strecke Emmenschachen gänzlich ohne Verbauung. In den anderen Strecken weisen maximal 7 % eine raue Verbauung (lockerer Blocksatz) auf. Glatt verbaut sind die Ufer noch einzig in der Strecke Schwarzweg auf maximal 8 %.

Lebensräume

Die Uferzonen sind wichtige Fischlebensräume. Flachufer bieten Habitat für Jungfische, aber auch für die Adultstadien der Kleinfischarten (z. B. Schmerle, Elritze). Sowohl bei minimalem Restwasserabfluss als auch bei erhöhtem Abfluss sind Flachufer ausreichend vorhanden. Einzig in der Strecke Schwarzweg – der schmalsten der drei Strecken - nehmen sie mit höherem Abfluss deutlich ab. Flachufer entlang von trockenen Kiesinseln wurden in der Auswertung nicht mitberücksichtigt. In allen drei Strecken kommen bei minimalem Restwasserabluss grössere trockene Kiesinseln vor, welche das Angebot an Flachwasserzonen nochmals erhöhen würden. In der Strecke Emmenschachen kommen sogar bei erhöhtem Abfluss noch grosse Kiesinseln vor.

Bei Hochwasser finden die Fische natürlicherweise in strömungsberuhigten Zonen (Wurzelwerk, Sporn, Bucht) Schutz vor dem Verdriften. Diese Strukturen haben stark zugenommen und machen in der Strecken Emmenschachen sogar einen Drittel der Uferlänge aus.

- 98 -

Bewertung

Während im Ausgangszustand die Strecke Schwarzweg noch etwas schlechter bewertet wurde, erreichen im 1. Projektzustand alle drei Strecken sehr gute Bewertungen nach dem Indikator Uferstruktur. Die Eignung der Uferstrukturen als Lebensraum hat zwischen dem Ausgangszustand und dem 1. Projektzustand wohl nochmals deutlich zugenommen. Da die Strecken Emmenschachen und Papierfabrik bereits im Ausgangszustand eine sehr gute Bewertung erreichten, ist dies in der Bewertung kaum erkennbar.

Kritik

Eine Untersuchungsstrecke, welche kürzer ist als die berechnete Einheitslänge, ist in der Bewertung nicht vorgesehen. Da dies aber der Fall war, wurde «n» als «Anzahl vorhandene Sturkturtypen» anstatt «Anzahl Strukturtypen pro Einheitslänge» definiert, da eine Extrapolation nicht zulässig ist. In diesem Fall müsste aber die Bewertungsskala von Astruktur angepasst werden. Obwohl die nicht angepasste Bewertungsskala verwendet wurde, resultierte eine sehr gute Bewertung aller drei Untersuchungsstrecken.

Der Indikator stützt auf die Anzahl Strukturtypen ab, die auf lediglich sieben Typen begrenzt ist. Deren Längenanteil wird nicht berücksichtigt. Es wäre daher vermutlich sinnvoll, wenn die Anzahl Strukturen sowie der Längenanteil der Strukturtypen an der Uferlinie Eingang in die Bewertung finden würden.

Würde man die Längenanteile der Uferstrukturtypen sowie den generellen Verlauf der Uferlinie (als Indiz für die Verzahnung des aquatischen und des terrestrischen Lebensraumes) in die Bewertung einbeziehen, so würden die Strecken Emmenschachen und Schwarzweg im 1. Projektzustand schlechter bewertet (jetzige Bewertung «sehr gut»). Auch im Ausgangszustand würde keine Strecke mit «sehr gut» bewertet. Die Bewertung «sehr gut» erscheint einzig für die Strecke Papierfabrik im 1. Projektzustand gerechtfertigt.

11 Dynamik der Uferstruktur

11.1 Beschrieb

Grundlage Praxisdokumentation Wirkungskontrolle (BAFU, 2019), Indikatorset 2 «Dynamik»,

Indikator 2.2 Dynamik Uferstruktur

Definition Veränderung der Uferstrukturen mit der Zeit

Begründung In natürlichen Fliessgewässern bewirken Hochwasser, dass die Sohle umgelagert

wird und sich die morphologischen Strukturen an Sohle und Ufer verändern. Der

Indikator zeigt die Dynamik des Gewässers.

11.2 Methode Erhebung und Auswertung

Zu erhebende Daten

Uferstrukturtypen bei Restwasserabfluss im 2. Ausgangszustand

Vorgehen

Der Indikator beschreibt die Veränderung der Uferstruktur zwischen zwei zeitlich versetzten Aufnahmen. Zum einen wird der Ausgangszustand vor der Revitalisierung (AZ1) mit einem Zustand 5 bis 10 Jahre zuvor (AZ2) verglichen. Zum anderen wird der 1. Projektzustand (PZ1) mit dem 2. Projektzustand (PZ2) verglichen

verglichen.

Erhebung AZ2

Als 2. Ausgangszustand wurde der Frühling 2011 festgelegt. Somit liegen zwar nur 3.5 Jahre zwischen dem 1. und dem 2. Ausgangszustand. Dafür ist ein Luftbild in genügend guter Auflösung vorhanden, welches bei Restwasserabfluss erhoben wurde. Das Orthofoto des Kantons Solothurn weist eine Pixelgrösse von 12.5 cm und eine Lagegenauigkeit von 1-2 Pixel auf und basiert auf Flügen am 24.3.2011, 8.4.2011 und 9.4.2011. Zwischen Frühling 2011 (2. Ausgangszustand) und Winter 2014 (1. Ausgangszustand) fanden drei Hochwasser statt, welche das HQ2 überschritten (am 1.6.2013 mit einem Maximum von 390 m³/s bei der Messstation Limpachmündug, nur Hauptstation; 24.7.2014 mit 419 m³/s; 11.8.2014 mit 315 m³/s). Das Hochwasser vom 24.7.2014 hat in etwa eine Wiederkehrperiode von 10 Jahren.

Basierend auf dem Orthofoto von 2011 wurde die Uferstruktur für 2011 erfasst. Hierbei diente die Uferstruktur von 2014 (1. Ausgangszustand) als Grundlage und wurde nur angepasst, falls Veränderungen erkennbar waren. Im Zweifelsfall erfolgte keine Änderung. Generell war die Erkennung des Uferstrukturtyps auf dem Luftbild schwierig. Für die Strecke Schwarzweg war die Uferlinie entlang dem linken Ufer in der Streckenmitte auf Grund des schlechten Farbkontrastes schwierig zu erkennen.

Erhebungen für den Ausgangszustand

| Untersuchungsstrecken | Erhebungszustand | | | | | | |
|-----------------------|------------------|--------|--------|--------|--------------|--------------|------------|
| | Frühling | Sommer | Herbst | Winter | Niederwasser | Mittelwasser | Hochwasser |
| Emmenschachen | | | | | • | | |
| Schwarzweg | | | | | • | | |
| Papierfabrik | | | | | • | | |

Daten AZ1

Für den 1. Ausgangszustand wurden die im Kapitel 10(Uferstruktur) beschriebenen Daten des minimalen Restwasserabflusses verwendet.

Auswertung

Für den Ausgangszustand (Vergleich AZ1-AZ2) sowie den Projektzustand (Vergleich PZ1-PZ2) wird je ein standardisierter Wert für die Dynamik der Uferstruktur berechnet. Ist der standardisierte Wert im Projektzustand höher, so hat die Dynamik im Gewässer zugenommen. Dies kann jedoch erst nach der Erhebung des 2. Projektzustandes berechnet werden.

Die Methodik wie die Uferstrukturen der zwei zeitlich versetzten Aufnahmen verschnitten werden, ist dem Anwender überlassen. Nachfolgend wird das hier verwendete Vorgehen beschrieben.

Verglichen werden die Uferlinien und Uferstrukturtypen auf der gleichen Uferseite. Als erstes werden Abschnitte mit einer Verschiebung der Uferlinie identifiziert. Dabei wird eine Mindestgrenze für die Verschiebung berücksichtigt, welche grösser als eine mögliche Messungenauigkeit sein soll. Die Mindestgrenze soll zudem berücksichtigen, dass die zwei Aufnahmen allenfalls nicht beim genau gleichen Abfluss erhoben wurden. Für die Emme wird deshalb eine Mindestgrenze von 3 m verwendet¹⁶. Uferabschnitte, welche sich verschoben haben und zudem auch eine veränderte Uferstruktur haben, werden nur als «Ufer mit Verschiebung Uferlinie» betrachtet.

Als nächstes wird für jeden Abschnitt mit Verschiebung das Ausmass dieser berechnet (k). Entgegen dem Vorschlag im Indikator basiert dies nicht auf der mittleren Abflusstiefe im Querschnitt bei HQ2, da für den AZ2 hierzu die

¹⁶ Zwischen dem 1. Und 2. Ausgangszustand wurde vermeintlich eine Verschiebung von glatter Uferverbauung von 2.5 m festgestellt. Dabei muss es sich jedoch um eine Ungenauigkeit in der Erfassung handeln. Daher macht eine Mindestgrenze von 3 m Sinn, damit diese Bereiche nicht fälschlicherweise als Verschiebung behandelt werden.

Datengrundlage fehlt. Es wurde folgende Klassifizierung für den Betrag der Verschiebung der Uferlinie [m] (\triangle Y) verwendet¹⁷:

K = 1 (geringe Verschiebung der Uferlinie) = 3 m < \triangle Y \leq 10 m k = 2 (mittlere Verschiebung der Uferlinie) = 10 m < \triangle Y \leq 20 m k = 3 (Gerinneverlagerung) = 20 m < \triangle Y

Gemäss Indikator 2.2 «Dynamik Uferstruktur» wird für jeden Abschnitt mit einer Verschiebung der Uferlinie deren Uferlänge mit dem entsprechenden Faktor k multipliziert. Die entstandenen Werte werden darauf über alle Abschnitte aufsummiert («Verschiebung»).

Für alle Uferabschnitte ohne Verschiebung der Uferlinie wird geprüft, ob sich der Uferstrukturtyp verändert hat. Die Gesamtlänge der Ufer mit verändertem Uferstrukturtyp wird berechnet («Veränderung»). «Veränderung» plus «Verschiebung» geteilt durch die Gesamtlänge des unverbauten Ufers ergibt den Wert (p). Dieser wird gemäss (BAFU, 2019) standardisiert. Beim Vergleich des standardisierten Wertes des Ausgangszustandes und des Projektzustandes muss zudem die Grösse des zwischen den Aufnahmen stattgefundenen Hochwassers berücksichtigt werden.

Die Gesamtlänge der unverbauten Ufer entspricht der Länge der unverbauten Ufer im 2. Ausgangszustand (2011). Die Länge der unverbauten Ufer des 1. Ausgangszustandes (2014) wurde nicht mitberücksichtigt, da es 2014 Ufer mit Längsverbau gab, die trotz Längsverbau eine Verschiebung oder Veränderung der Uferlinie erfahren haben (z.B. vorgelagerte Kiesinsel).

11.3 Resultate

11.3.1 Ausgangszustand

Emmenschachen

In der Strecke Emmenschachen ergaben sich im Bereich der Kiesbänke grössere Veränderungen (vgl. Abbildung 43). Gewissen Abschnitten wurde sogar ein k-Wert von 3 (Gerinneverlagerung) zugeordnet.

¹⁷ Die mittlere Abflusstiefe im Querschnitt bei HQ2 (h) liegt in den Untersuchungsstrecken im Mittel wohl im Bereich von knapp 2 m. Die vorgeschlagene Grenze von 20 m entspricht somit ungefähr der Klassengrenze gemäss Indikator 2.2 (10 * h). Im Gegensatz zum Vorgehen im Indikator 2.2 wird jedoch eine einheitliche Grenze für alle Strecken festgelegt.

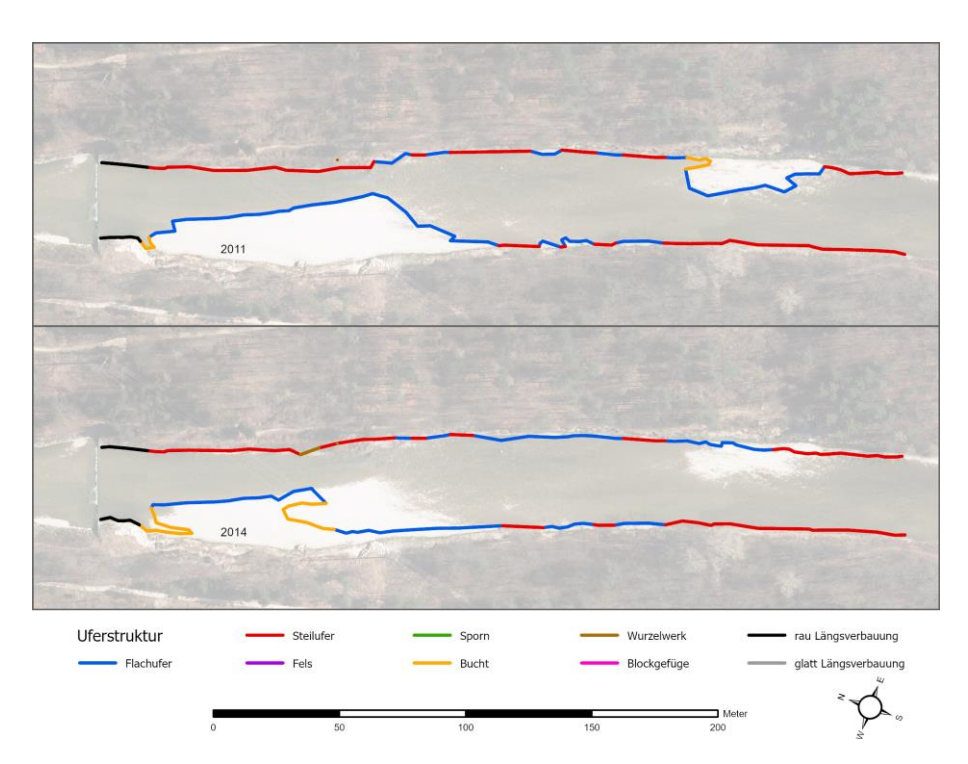


Abbildung 43 Uferlinien in den Jahren 2011 (oben) und 2014 (unten) in der Strecke Emmenschachen. Hintergrund: Luftbild 2011, Copyright Kanton Solothurn.

Schwarzweg

Verschiebungen kamen fast entlang der gesamten Strecke entweder am linken oder am rechten Ufer vor, hauptsächlich im Bereich der Kiesbänke (vgl. Abbildung 44).

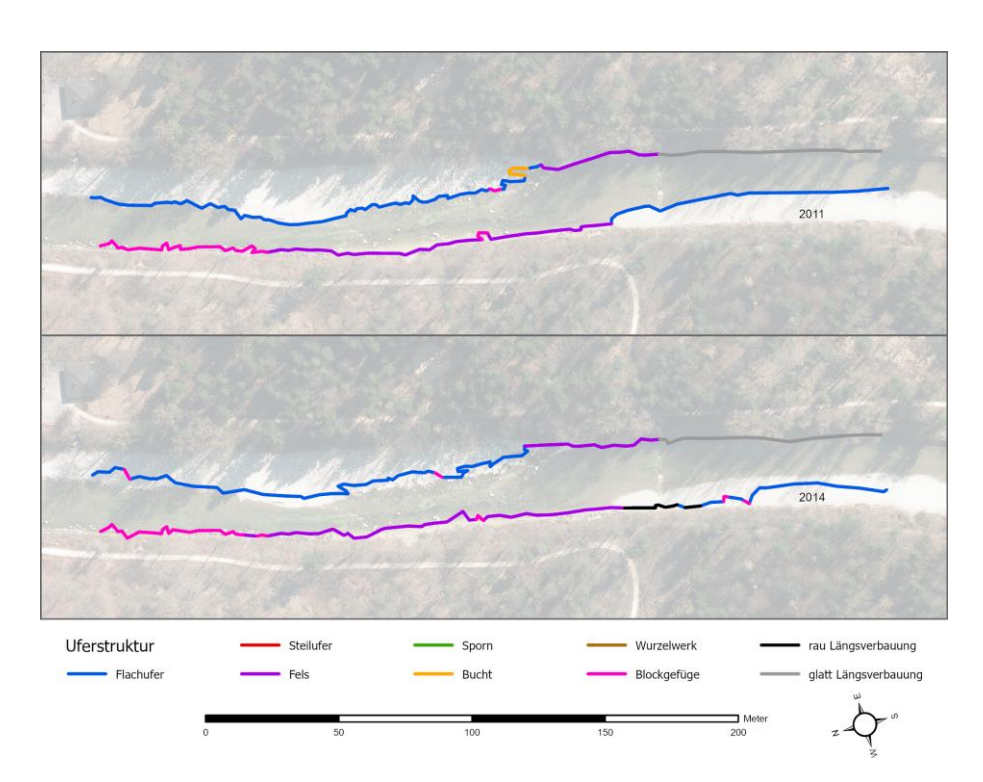


Abbildung 44 Uferlinien in den Jahren 2011 (oben) und 2014 (unten) in der Strecke Schwarzweg. Hintergrund: Luftbild 2011, Copyright Kanton Solothurn.

Papierfabrik Auch in dor S

Auch in der Strecke Papierfabrik kamen an verschiedenen Stellen Verschiebungen vor, hauptsächlich im Bereich der Kiesbänke (vgl. Abbildung 45).

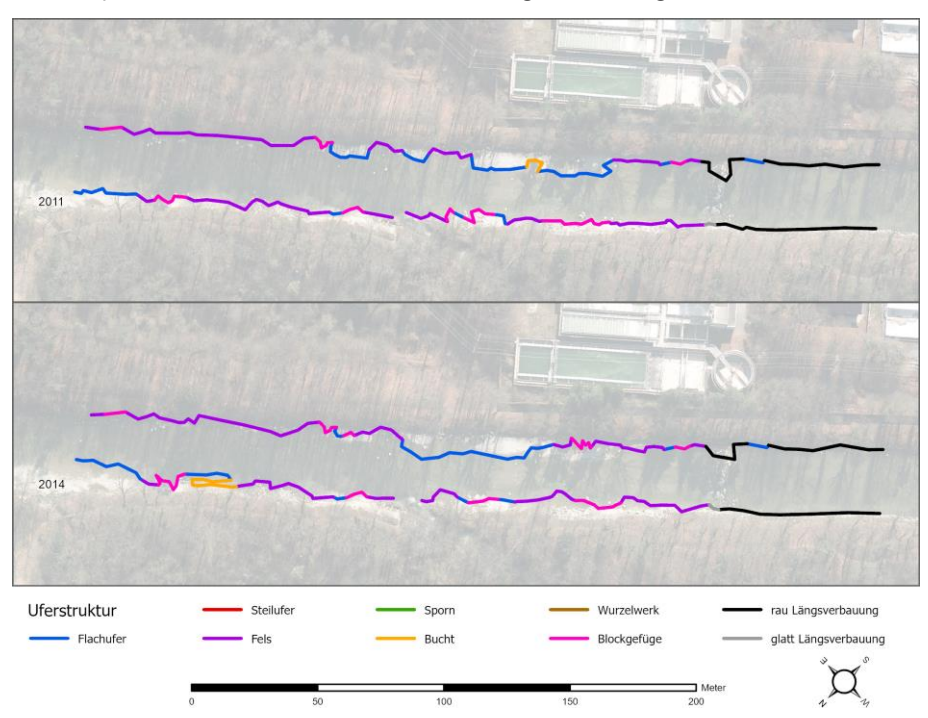


Abbildung 45 Uferlinien in den Jahren 2011 (oben) und 2014 (unten) in der Strecke Papierfabrik. Hintergrund: Luftbild 2011, Copyright Kanton Solothurn.

Bewertung

In allen drei Strecken kamen Verschiebungen der Uferlinie vor, welche grösser als der Mindestwert von 3 m waren. Zudem gab es in allen drei Untersuchungsstrecken Uferabschnitte ohne Verschiebung, bei welchen sich der Uferstrukturtyp änderte. Für den Indikator 2.2 «Dynamik Uferstruktur» resultiert ein p-Wert zwischen 0.31 (Papierfabrik) und 0.45 (Schwarzweg; vgl. Tabelle 36). Gemäss Abbildung 2.3 in der Indikatorbeschreibung (BAFU, 2019) entspricht dies einem standardisierten Wert von 1 für alle Untersuchungsstrecken, was einer sehr guten Bewertung entspricht.

| Bewertungsparameter | Emmenschachen | Schwarzweg | Papierfabrik |
|---|---------------|------------|--------------|
| Verschiebung der Uferlinie (Summe aus der mit k gewichteten Länge aller Abschnitte) [m] | 210 | 221 | 121 |
| Veränderung Uferlinie (Summe der Längen) [m] | 85 | 38 | 56 |
| Gesamtlänge unverbaute Uferlinie 2011 [m] | 680 | 573 | 578 |
| p = (Veränderung+Verschiebung)/Gesamtlänge | 0.43 | 0.45 | 0.31 |
| Standardisierter Wert | 1 | 1 | 1 |

Tabelle 36 Bewertung des Indikators "Dynamik Uferstruktur".

11.3.2 Projektzustand

Erst nachdem die Daten zum 2. Projektzustand vorliegen, kann die Veränderung zwischen 1. und 2. Projektzustand berechnet werden.

11.4 Vergleich

Da der Projektzustand noch nicht ausgewertet werden kann, ist auch noch kein Vergleich möglich.

11.5 Kurzdiskussion

Diese sehr gute Bewertung scheint angesichts des grossen Längenanteils des Ufers mit Verschiebungen oder Veränderungen gerechtfertigt. Zudem lagen zwischen den beiden Erhebungen nur 3.5 Jahre. Das Hochwasser mit einer Wiederkehrperiode von 10 Jahren sowie die kleineren Hochwasser haben in dieser Zeit eine grosse natürliche Dynamik bewirkt.

12 Laichhabitat Bachforelle/Äsche

12.1 Beschrieb

Grundlage Praxisdokum

Praxisdokumentation Wirkungskontrolle (BAFU, 2019), Indikatorset 11

«Spezifische Ziele»; Auswertung nach (Jorde, K., Schneider, M., 2010)

Definition

Potenzielles Angebot an Laichhabitat für die Bachforelle und die Äsche

Begründung

Bachforellen und Äschen sind Kieslaicher mit hohen Ansprüchen an die Qualität der Laichplätze. Die wichtigsten Parameter sind das Laichsubstrat, die Fliessgeschwindigkeit, die Wassertiefe und das Deckungsangebot in der Nähe. Die natürliche Reproduktion der beiden Arten ist gemäss Leitbild ein wichtiges biologisches Entwicklungsziel.

12.2 Methode Erhebung und Auswertung

Zu erhebende Daten

Dominierende Korngrössen und deren Eignung als Laichsubstrat (Anteil Feinmaterial (Sand/Silt)), Fliessgeschwindigkeiten und Wassertiefen bei minimalem Restwasserabfluss (1.8 m³/s) und bei erhöhtem Abfluss (6.2 m³/s).

Vorgehen

Die quantitative Einschätzung des potenziellen Angebotes an Laichhabitaten erfolgte über die Habitatparameter Fliessgeschwindigkeit, Wassertiefe und Substrat. Anhand eines hydraulischen 2D-Modells wurden die Wassertiefen und Fliessgeschwindigkeiten für die beiden zu untersuchenden Abflüsse berechnet. Das Substrat (dominierende Korngrösse) wurde im Feld kartiert.

Zusätzlich wurde der Anteil Feinmaterial im Feld qualitativ erfasst. Dieser Parameter floss aber nur als qualitative Ergänzung in die Beurteilung mit ein. Details zur Methodik finden sich in Anhang B.

Erhebung

Emmenschachen

6.3.2023 bei minimalem Restwasserabfluss von 1.8 m³/s

Koordinaten (Länge 321 m):

Unten links: 2'610'242 / 1'229'048 unten rechts: 2'610'289 / 1'229'065 oben links: 2'610'348 / 1'228'750 oben rechts: 2'610'400 / 1'228'763

Schwarzweg

7.3.2023 bei minimalem Restwasserabfluss von 1.8 m³/s

Koordinaten (Länge 295 m):

Unten links: 2'610'722 / 1'227'081 unten rechts: 2'610'760 / 1'227'068 oben links: 2'610'642 / 1'226'796 oben rechts: 2'610'681 / 1'226'784

Papierfabrik

23.3.2023 bei minimalem Restwasserabfluss von 1.8 m³/s (respektive geringfügig höherer Abfluss)

Koordinaten (Länge 325 m):

Unten links: 2'610'332 / 1'226'450 unten rechts: 2'610'363 / 1'226'423 oben links: 2'610'094 / 1'226'236 oben rechts: 2'610'127 / 1'226'195

| Untersuchungsstrecken | Erhebungszustand | | | | | | |
|-----------------------|------------------|--------|--------|--------|--------------|--------------|------------|
| | Frühling | Sommer | Herbst | Winter | Niederwasser | Mittelwasser | Hochwasser |
| Emmenschachen | | | | | • | | |
| Schwarzweg | | | | | • | | |
| Papierfabrik | | | | | • | | |

Auswertung

Berechnung der potenziellen Fläche an Laichhabitat für den minimalen Restwasserabfluss und einen erhöhten Abfluss.

12.3 Resultate

In allen drei Strecken war ein Grossteil der Fläche mit Feinsedimenten durchsetzt, was deren Eignung als Laichhabitat negativ beeinflusst. Würde man diesen Parameter in die quantitative Bewertung der Eignung miteinbeziehen, so wäre die als Laichhabitat für Bachforelle oder Äsche geeignete Fläche deutlich kleiner.

Im Gegensatz zur Bachforelle wurden für die Äsche mittlere bis kleine Steine als ungeeignetes Laichsubstrat bewertet. Da die Übergänge zwischen den als Mesolithal (mittlere bis kleine Steine; 6 – 20 cm) und den als Mikrolithal (Grobkies; 2.5 – 6 cm) kartierten Flächen oftmals fliessend waren und die Mesolithal-Flächen eher kleine Korngrössen innerhalb der Klasseneinstufung aufwiesen, führt dies in allen drei Strecken zu einer tendenziell zu schlechten Bewertung der Eignung des Äschen-Laichsubstrates.

Weiterführende Informationen finden sich in Anhang B.

12.3.1 Emmenschachen

Bachforelle

Das Sohlensubstrat der Untersuchungsstrecke ist primär grobkiesig und somit als Laichsubstrat für die Bachforelle geeignet (vgl. Abbildung 46). Zudem gibt es bei beiden Abflüssen ausreichend Flächen mit geeigneten oder optimalen Fliessgeschwindigkeiten und Wassertiefen.

Überlagert man die Flächen mit den Einzeleignungen für das Substrat, die Fliessgeschwindigkeiten und die Wassertiefen erhält man die Gesamteignung.

Potenziell optimales oder geeignetes Laichhabitat kommt beim minimalen Restwasserabfluss auf 39 %, beim erhöhten Abfluss auf 62 % der Gerinnesohlenfläche vor.

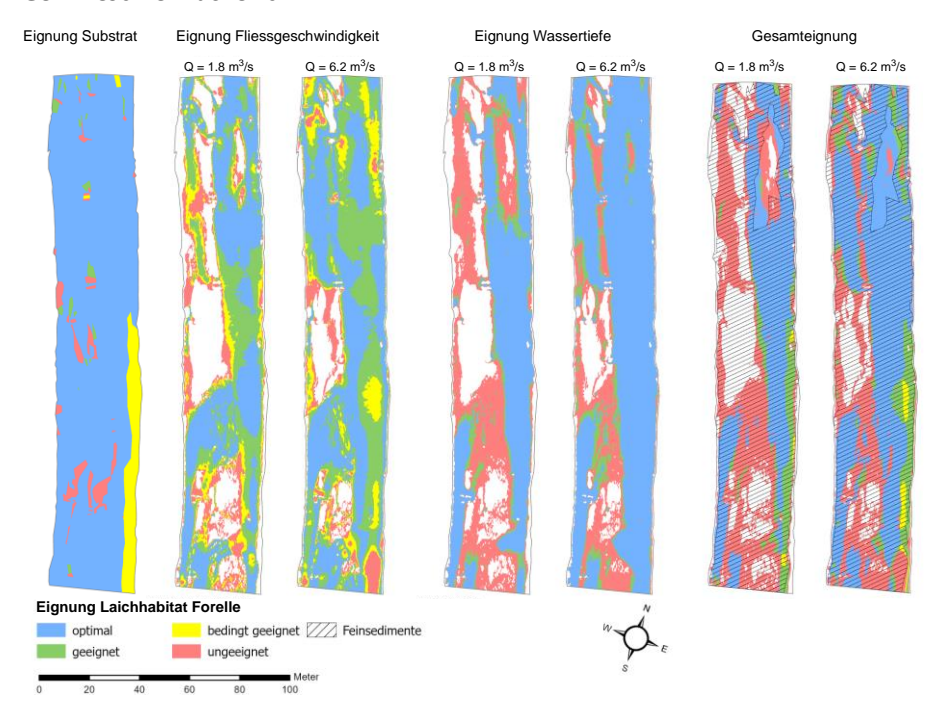


Abbildung 46 Eignung des Substrates, der Fliessgeschwindigkeit, der Wassertiefe sowie die Gesamteignung in der Untersuchungsstrecke Emmenschachen für die Bachforelle bei den untersuchten Abflüssen.

Äsche

Das Sohlensubstrat ist auf weiten Flächen als Laichsubstrat für die Äsche geeignet (vgl. Abbildung 47). Bei erhöhtem Abfluss gibt es ausreichend Flächen mit geeigneten oder optimalen Fliessgeschwindigkeiten und Wassertiefen, bei minimalem Restwasserabfluss ist das Angebot kleiner. Folglich ist auch die Gesamteignung als Laichhabitat bei erhöhtem Abfluss deutlich besser als beim minimalen Restwasserabfluss. Optimale bzw. geeignete Flächen nehmen 24 % (min. Restwasserabfluss) bzw. 49 % (erhöhter Abfluss) der Gerinnesohlenfläche ein.

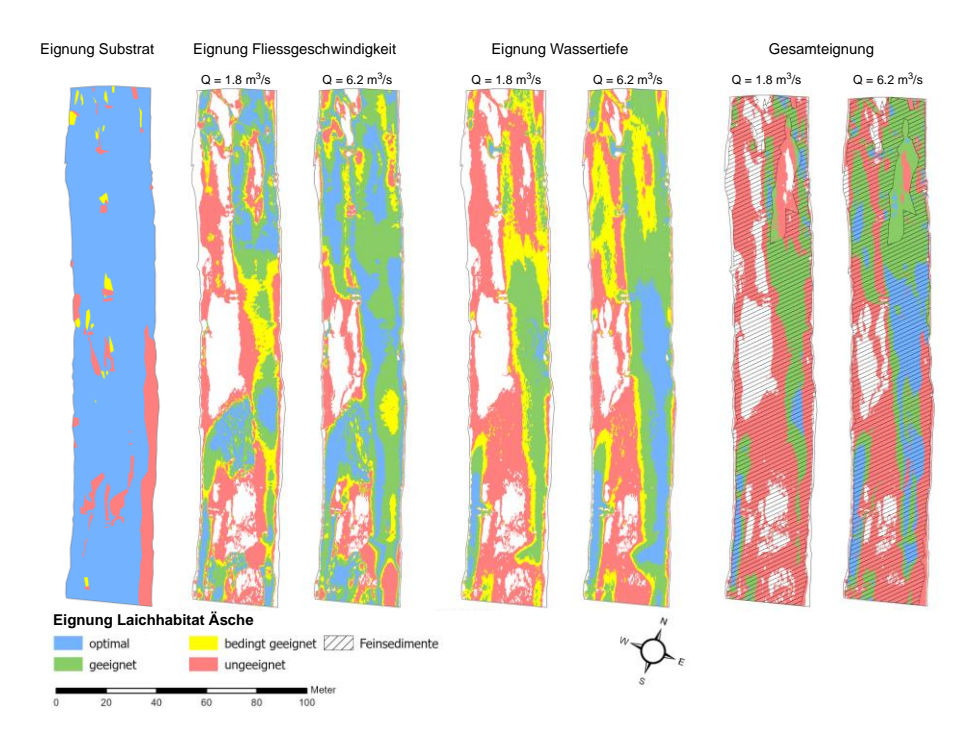


Abbildung 47 Eignung des Substrates, der Fliessgeschwindigkeit, der Wassertiefe sowie die Gesamteignung in der Untersuchungsstrecke Emmenschachen für die Äsche

12.3.2 Schwarzweg

Bachforelle

Dominierende Substrattypen sind Grobkies sowie kleine bis mittlere Steine (vgl. Abbildung 48). Geeignetes Laichsubstrat ist somit reichlich vorhanden. Gegen die Ufer kommt anstehender Fels vor (als Laichsubstrat ungeeignet). Bei beiden Abflüssen sind genügend Flächen mit passender Wassertiefe vorhanden. Etwas knapper ist das Angebot an Flächen mit geeigneter Fliessgeschwindigkeit. Hinsichtlich der Gesamteignung nimmt die Fläche an optimalem bzw. geeignetem Laichhabitat zwischen den beiden untersuchten Abflüssen von 28 % (min. Restwasserabfluss) auf 43 % (erhöhter Abfluss) der Gerinnesohlenfläche zu.

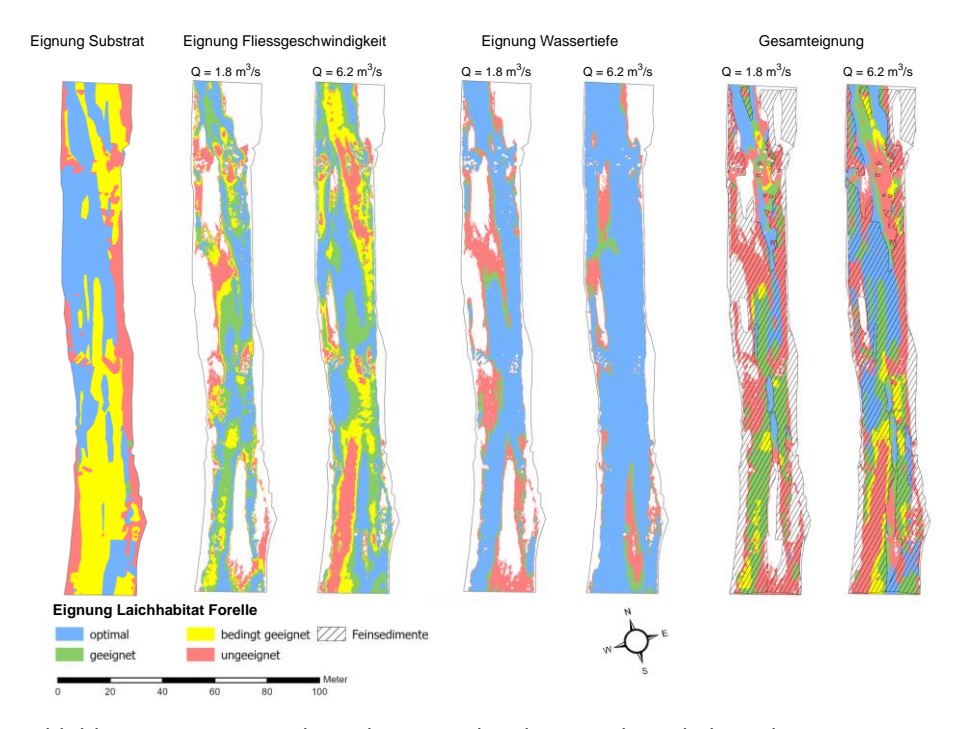


Abbildung 48 Eignung des Substrates, der Fliessgeschwindigkeit, der Wassertiefe sowie die Gesamteignung in der Untersuchungsstrecke Schwarzweg für die Bachforelle

Äsche

Die dominierenden Substrattypen Grobkies und kleine bis mittlere Steine werden für das Laichsubstrat der Äsche als «optimal geeignet» respektive «ungeeignet» klassifiziert. Dementsprechend ist der grösste Teil der Flächen diesen zwei Klassen zuzuordnen (vgl. Abbildung 49). Bei erhöhtem Abfluss gibt es ausreichend Flächen mit geeigneter oder optimaler Fliessgeschwindigkeit und Wassertiefe. Bei minimalem Restwasserabfluss ist das Angebot geringer. In der Überlagerung (Gesamteignung) resultiert eine Fläche an optimalem bzw. geeignetem Laichhabitat von 7 % bei minimalem Restwasserabfluss respektive 23 % bei erhöhtem Abfluss.

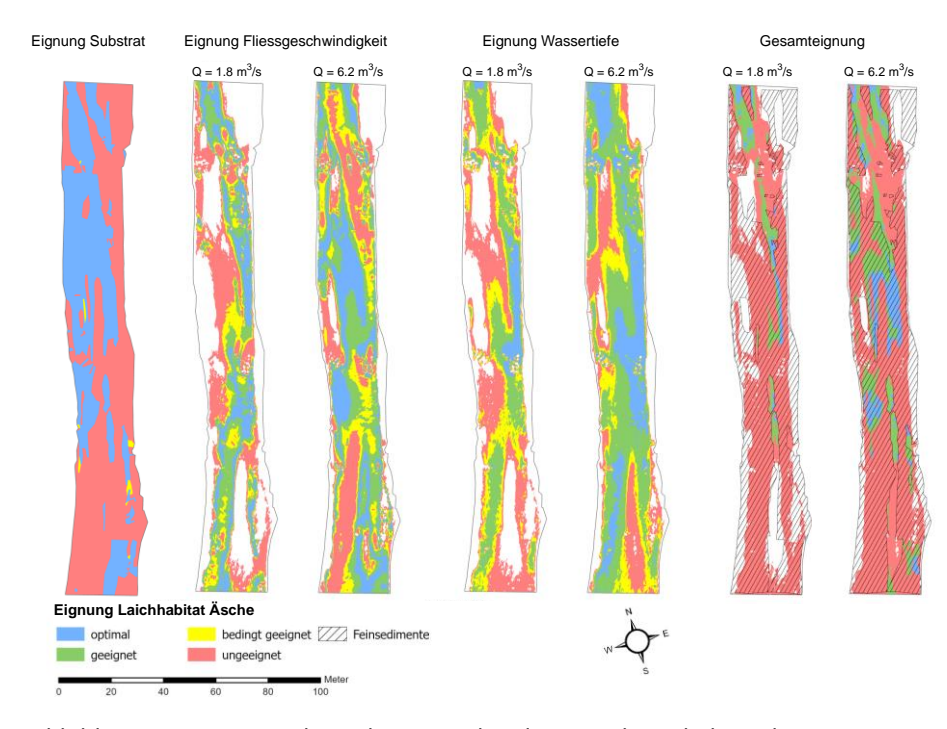


Abbildung 49 Eignung des Substrates, der Fliessgeschwindigkeit, der Wassertiefe sowie die Gesamteignung in der Untersuchungsstrecke Schwarzweg für die Äsche

12.3.3 Papierfabrik

Bachforelle

Das vorherrschende Substrat sind kleine bis mittlere Steine, welches als Laichsubstrat für die Bachforelle bedingt geeignet ist. Als Laichhabitat optimal geeignetes Grobkies kommt allerdings auch über grosse Flächen vor (vgl. Abbildung 50). Zudem gibt es grössere Flächen mit anstehendem Fels (als Laichsubstrat ungeeignet). Flächen mit passender Fliessgeschwindigkeit sind bei beiden Abflüssen genügend, solche mit passender Wassertiefe gar reichlich vorhanden. Hinsichtlich der Gesamteignung nimmt der Flächenanteil an optimalem oder geeignetem Habitat zwischen den beiden Abflüssen nur gering zu, von 22 % (min. Restwasserabfluss) auf 25 % bei erhöhtem Abfluss.

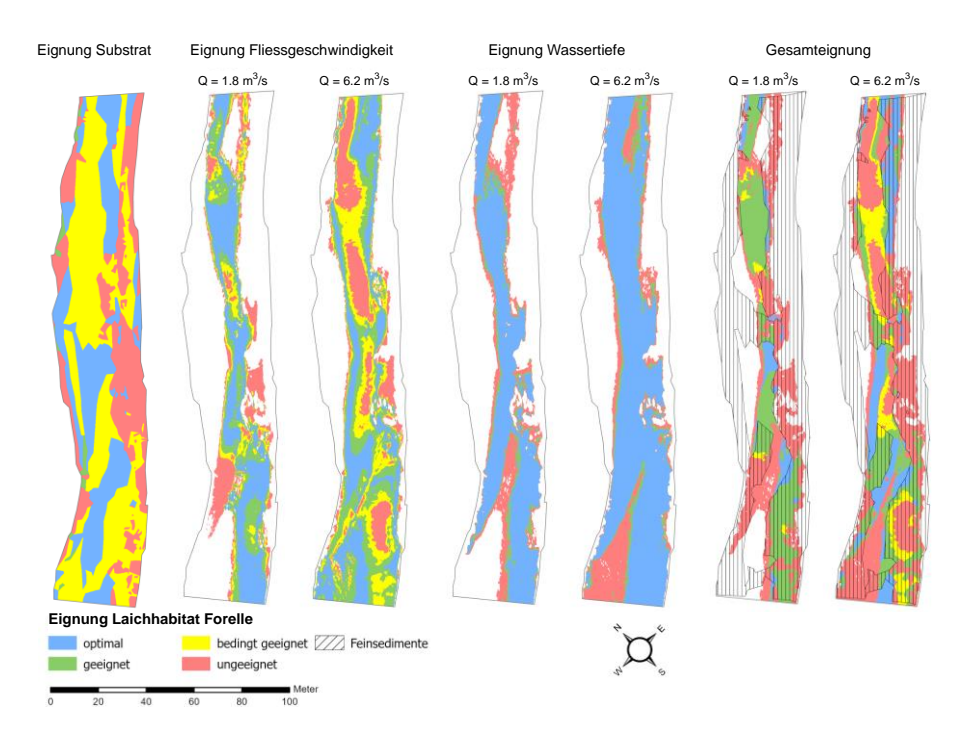


Abbildung 50 Eignung des Substrates, der Fliessgeschwindigkeit, der Wassertiefe sowie die Gesamteignung in der Untersuchungsstrecke Papierfabrik für die Bachforelle.

Äsche

Das dominierende Substrat kleine bis mittlere Steine wird für die Äsche als «ungeeignet» klassifiziert. Als Laichhabitat optimal geeignetes Grobkies kommt allerdings auch grossflächig vor (vgl. Abbildung 51). Flächen mit geeigneter Fliessgeschwindigkeit und Wassertiefe sind bei beiden Abflüssen genügend vorhanden. Da diese jedoch selten dort liegen, wo das Substrat geeignet wäre, resultiert eine Gesamteignung von nur 3 % optimales oder geeignetes Habitat bei minimalem Restwasserabfluss, respektive 10 % bei erhöhtem Abfluss.

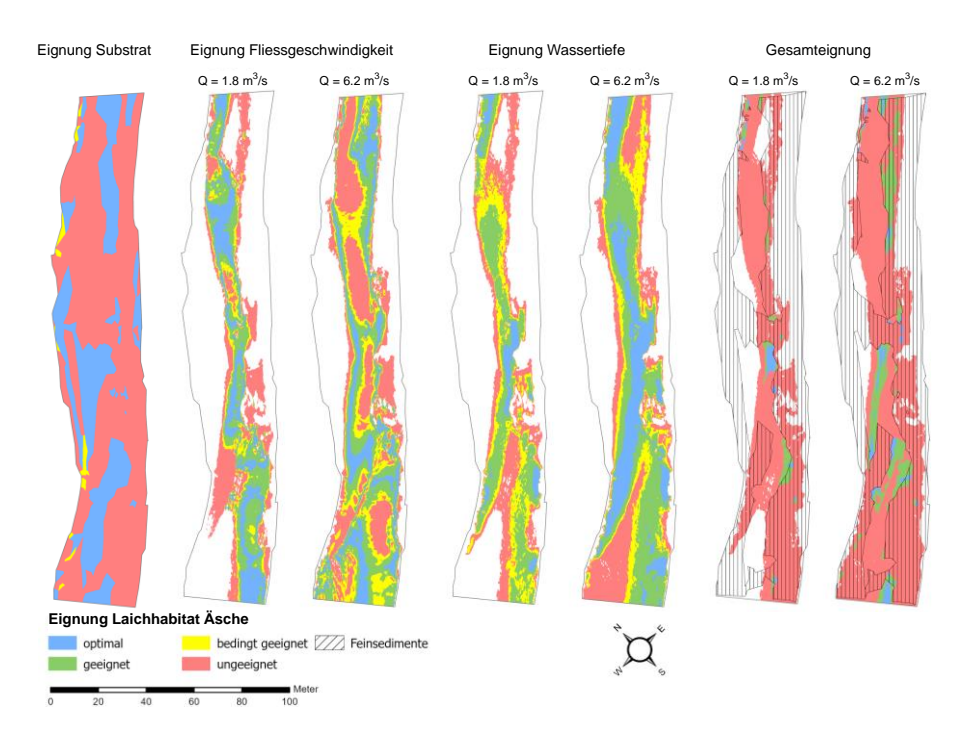


Abbildung 51 Eignung des Substrates, der Fliessgeschwindigkeit, der Wassertiefe sowie die Gesamteignung in der Untersuchungsstrecke Papierfabrik für die Äsche.

12.3.4 Gesamteignung

Insbesondere in der Untersuchungsstrecke Emmenschachen finden Bachforellen und Äschen ausgedehnte, als Laichhabitat optimale bzw. geeignete Flächen vor (vgl. Abbildung 52). In den Strecken Schwarzweg und Papierfabrik ist deren Angebot deutlich geringer. In allen Strecken nimmt die Fläche an Laichhabitat mit höherem Abfluss zu.

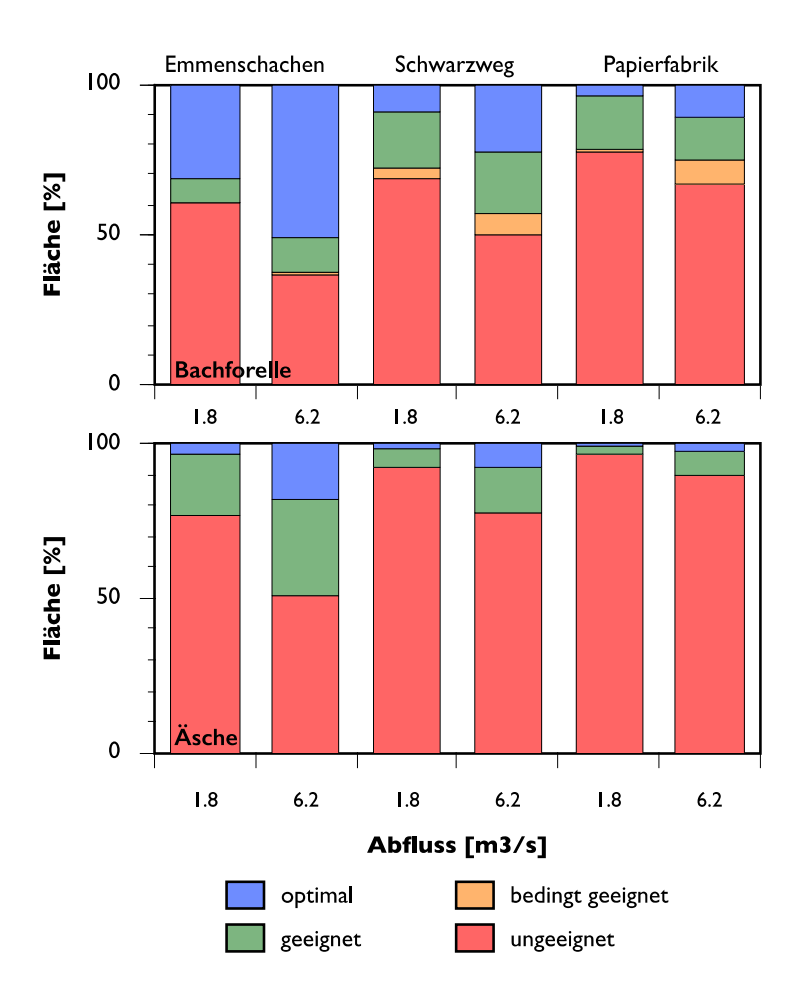


Abbildung 52 Abflussabhängige Veränderung der als potenzielles Laichhabitat für die Bachforelle und die Äsche unterschiedlich geeigneten Flächen der drei Untersuchungsstrecken.

Dargestellt ist die Gesamteignung als Prozentsatz der gesamten Gerinnesohlenfläche (d.h. inklusive der trockenen Bereiche; Emmenschachen: 16'418 m²; Papierfabrik: 15'799 m²; Schwarzweg: 10'713 m²).

Gewichtete nutzbare Fläche (WUA) In der Habitatmodellierung ist es üblich, nicht die nutzbaren Flächen der einzelnen Eignungsklassen zu vergleichen, sondern die über die Eignungen gewichtete Fläche (weighted usable area = WUA). Damit ist es möglich, das gesamte Angebot an potenzieller Habitatfläche mit einem Wert wiederzugeben und einen direkten Vergleich zum Ausgangszustand herzustellen (vgl. Tabelle 37).

Da geeignete habitatspezifische Bewertungsmassstäbe fehlen, wurde – analog zum Ausgangszustand - die WUA (bezogen auf die modellierte Gerinnefläche) vereinfacht nach folgender Einteilung klassiert:

>20 % = optimal 5-10 % = bedingt geeignet 10-20 % = geeignet <5 % = ungeeignet Dieser Bewertungsmassstab wurde nach den Angaben in (Toepfer, C. S., Fisher, W. L., Warde W. D., 2000) entwickelt. Er ist als Orientierungshilfe anzusehen. Richtwerte sind uns nicht bekannt.

Demnach kann das Laichhabitat für die Bachforelle in allen drei Untersuchungsstrecken für beide Abflüssen als optimal bzw. geeignet bewertet werden (vgl. Tabelle 37). Die Äsche findet aber nur in der Strecke Emmenschachen geeignetes bzw. optimales Laichhabitat vor. In der Strecke Schwarzweg wird das Laichhabitat erst bei erhöhtem Abfluss als geeignet bewertet. In der Strecke Papierfabrik wird das Laichhabitat für die Äsche bei beiden Abflüssen nur als bedingt geeignet eingestuft.

| Art | Abfluss | WUA [%] | | |
|-------------|---------|---------------|------------|--------------|
| | [m³/s] | Emmenschachen | Schwarzweg | Papierfabrik |
| Bachforelle | 1.8 | 36 | 21 | 15 |
| | 6.2 | 58 | 36 | 21 |
| Äsche | 1.8 | 16 | 5 | 2 |
| | 6.2 | 37 | 16 | 7 |

Tabelle 37 Abflussspezifische Bewertung des Habitatangebotes in den Untersuchungsstrecken hinsichtlich der Ansprüche der Bachforelle und der Äsche

Kiesschicht

Bachforelle und Äsche benötigen für die Eiablage eine mindestens etwa 10 cm dicke Kiessohle (Riedl, C., Peter, A., 2013) (Schneider & Korte, 2005). Die Mächtigkeit der Kiesablagerungen wurde nicht beurteilt, dürfte aber diesen Grenzwert meistens überschreiten.

Deckungsangebot

Das Deckungsangebot wurde nicht erhoben.

Sand

Der Anteil an Sand und Silt sollte auf den Laichhabitatflächen nicht mehr als etwa 10 % betragen. In allen drei Untersuchungsstrecken kamen jedoch grossflächig Feinsedimente in den Zwischenräumen vor. Die Grobkiesfläche war zum Zeitpunkt der Substratkartierung stellenweise stark mit Sand durchsetzt. Die ausgewiesene Eignung dieser Fläche als Laichhabitat für Bachforellen und Äschen dürfte sich deshalb reduzieren (Anhang B).

Fels

In der Strecke Schwarzweg bestand der anstehende Fels zum Teil aus weichem, verdichtetem Sand, welcher vermutlich die Ursache für die weitflächigen Feinsedimentanteile im Grobkies darstellt.

12.4 Vergleich mit Ausgangszustand

Bei minimalem Restwasserabfluss (1.8 m³/s) verbessert sich die gewichtete nutzbare Fläche (WUA) der **Bachforelle** in der Strecke Schwarzweg um eine Klasse gegenüber dem Ausgangszustand (Tabelle 38). In der Strecke Papierfabrik verschlechtert sie sich um eine Klasse. In der Strecke Emmenschachen bleibt sie unverändert. Bei Mittelwasserabfluss (6.2 m³/s) bleibt sie in allen Strecken unverändert bei "optimal".

Die gewichtete nutzbare Fläche (WUA) der Äsche verschlechtert sich bei minimalem Restwasserabfluss in der Strecke Emmenschachen um eine Klasse, in der Strecke Papierfabrik um zwei Klassen. In der Strecke Schwarzweg bleibt sie unverändert bei "bedingt geeignet". Bei Mittelwasserabfluss verschlechtert sich die WUA in der Strecke Papierfabrik um eine Klasse. In den Strecken Emmenschachen und Schwarzweg bleibt sie unverändert bei "optimal" respektive "geeignet".

| Art | Abfluss | Eignung bezüglich der prozentualen gewichteten nutzbaren Fläche | | | |
|-------------|---------|---|----------------------|-------------------|-------------------|
| | [m³/s] | | Emmenschachen | Schwarzweg | Papierfabrik |
| Bachforelle | 1.8 | ungeeignet | | | |
| | | bedingt geeignet | | | |
| | | geeignet | | X (2014) | X (2023) |
| | | optimal | X (2014 und 2023) | X (2023) | X (2014) |
| | 6.2 | ungeeignet | | | |
| | | bedingt geeignet | | | |
| | | geeignet | | | |
| | optimal | | X (2014 und 2023) | X (2014 und 2023) | X (2014 und 2023) |
| Äsche | 1.8 | ungeeignet | | | |

| | bedingt geeignet | | X (2014 und 2023) | X (2023) |
|-----|------------------|----------------------|-------------------|----------|
| | geeignet | X (2023) | | |
| | optimal | X (2014) | | X (2014) |
| 6.2 | ungeeignet | | | |
| | bedingt geeignet | | | X (2023) |
| | geeignet | | X (2014 und 2023) | X (2014) |
| | optimal | X (2014 und 2023) | | |

Tabelle 38

Abflussspezifische Bewertung des Habitatangebotes in den Untersuchungsstrecken im Ausgangszustand (2014) und im 1. Projektzustand (2023) hinsichtlich der Ansprüche der Bachforelle und der Äsche

Emmenschachen

Das Habitatangebot in der Strecke Emmenschachen ist sowohl für die Bachforelle (beide Abflüsse) als auch für die Äsche (Mittelwasserabfluss) unverändert «optimal». Einzig bei minimalem Restwasserabfluss verschlechterte sich das Habitatangebot der Äsche um eine Klasse auf «geeignet». Während sich im Ausgangszustand das Wasser über fast die gesamte Breite verteilte und homogen als Furt abfloss, ist im 1. Projektzustand die Verteilung der Wassertiefe und Fliessgeschwindigkeiten vielfältiger geworden und beinhaltet auch grössere seichte Bereiche. Bezüglich der Wassertiefe geeignete Bereiche und bezüglich der Fliessgeschwindigkeit geeignete Bereiche liegen nun häufiger nicht am selben Ort. Das Substrat ist nach wie vor auf beinahe der gesamten Strecke optimal geeignet für Bachforellen und Äschen.

Schwarzweg

Das Habitatangebot der Äsche blieb unverändert bei «bedingt geeignet» respektive «geeignet». Im 1. Projektzustand ist das Habitatangebot der Bachforelle bei beiden Abflüssen «optimal», während es im Ausgangszustand bei minimalem Restwasserabfluss noch «genügend» war. Diese Verbesserung ist vor allem darauf zurückzuführen, dass viel mehr geeignetes Laichsubstrat vorhanden ist.

Papierfabrik

In der Strecke Papierfabrik verschlechterte sich das Habitatangebot gegenüber dem Ausgangszustand für die Bachforelle bei minimalem Restwasserabfluss sowie für die Äsche bei beiden Abflüssen. Dasjenige der Bachforelle bei Mittelwasserabfluss blieb unverändert bei «optimal». Die Verschlechterung ist auf die Entfernung der Blockrampe zurückzuführen. Im Ausgangszustand befand sich oberhalb der Blockrampe viel optimal geeignetes Habitat für die Bachforelle,

respektive geeignetes Habitat für die Äsche, welches mit der Entfernung wegfiel. Die Strecke unterhalb der Rampe ist mit dem 1. Projektzustand in etwa vergleichbar.

12.5 Kurzdiskussion

Bachforellen finden in allen drei Strecken ausgedehnte, als Laichhabitat optimale bzw. geeignete Flächen vor. Als Laichhabitat für Äschen eignet sich vor allem die Strecke Emmenschachen. In allen Strecken nehmen die als Laichhabitat geeigneten Flächen mit höherem Abfluss zu.

Gemäss dem angewandten Bewertungsmassstab sind alle drei Untersuchungsstrecken bezüglich dem Laichhabitat der Bachforelle bei beiden Abflüssen als «optimal» bzw. «geeignet» zu bewerteten. Das Laichhabitat der Äsche hingegen wird in den Strecken Schwarzweg und Papierfabrik bei mindestens einem der beiden Abflüsse nur als «bedingt geeignet» eingestuft.

Die baulichen Massnahmen (Verbreiterung in der Strecke Emmenschachen, Aufhebung der Blockrampe in der Strecke Papierfabrik) führten zu einer gewissen Verschlechterung in diesen Strecken. Dagegen verbesserte sich das Habitateignung in der Strecke Schwarzweg auf Grund des grösseren Angebotes an geeignetem Laichsubstrat.

Die aktuelle Situation zeigt, dass prinzipiell viel zum Laichen nutzbares Substrat vorliegen würde. Aufgrund des oft hohen Sandanteils ist unklar, ob diese Flächen tatsächlich genutzt werden. Der Sand stammt vermutlich vom anstehenden Fels, der aus verdichtetem Sand besteht. Es könnte sein, dass das ständige Auswaschen dieses verdichteten Sandes und somit auch die Ablagerungen im Lückenraum des Grobkieses sich über die Zeit reduzieren. Sollte mit der Zeit der Sandanteil leicht zurückgehen, könnte tendenziell mehr Laichhabitat auch tatsächlich genutzt werden.

Zusatzinformation: Im Abschnitt Papierfabrik (Biberist) konnten in der Laichzeit (November/ Dezember) 2020 erfreulicherweise Laichgruben der Forelle nachgewiesen werden (pers. Information G. van der Veer, 3.12.2020).

13 Mosaik Auenformationen

13.1 Beschrieb

Grundlage Praxisdokumentation Wirkungskontrolle (BAFU, 2019), Indikator Set 8

Ufervegetation, Indikator 8.3 Zeitliches Mosaik

Definition Vorkommen und räumliche Verteilung der terrestrischen Auenformationen

Begründung Ein Mosaik aus Auenformationen widerspiegelt die Dynamik bzw. die Stabilität

> sowie die Vernetzung der Lebensräume. Das heutige Angebot an unterschiedlichen terrestrischen Habitaten ist weitgehend unbekannt. Deren vielfältige Ausbildung (vor allem Weich- und Hartholzaue sowie Pionierformationen) und natürliche Entwicklung ist eines der wichtigsten gewässerökologischen Entwicklungsziele.

Methode Erhebung und Auswertung 13.2

Zu erhebende Daten Fläche und Lage der einzelnen terrestrischen Auenformationen in den potenziellen

Auenflächen.

Die Perimeter beider Untersuchungsstrecken umgrenzen den Bereich der Perimeter

potentiellen Auenflächen, welche ihrerseits als Überflutungsflächen innerhalb der

Interventionslinien liegen.

Für die Untersuchungsstrecke Emmenschachen misst die Perimeterfläche 9.12 ha auf einer Gesamtlänge von rund 600 m; die Perimeterfläche für die Strecke

Schwarzweg beträgt 4.77 ha, die Gesamtlänge misst rund 440 m.

Anhand des Luftbildes der betreffenden Untersuchungsfläche wurde im ArcGIS

eine Karte der Auenformationen erstellt. Diese wurde anschliessend während der

Vegetationsperiode (31.08.2023, resp. 05.09.2023) im Feld verifiziert.

Vorgehen

Definition Auenformationen

Als Auenformationen wurden die folgenden Habitattypen (Haupttypen) unterschieden (Thielen, et al., 2003) (Delarze & Gonseth, 2008):

- Wasser
- nackte oder wenig bewachsene Auensedimente
- Auenfläche mit Krautvegetation
- Weichholzaue
- Hartholzaue
- andere Wälder
- übrige Flächen

Definition Pionierformationen

Als Pionierformationen gelten Krautgesellschaften und Weichholzauen innerhalb des Untersuchungsperimeters. Diese Auenformationen stellen frühe Sukzessionsstadien einer typischen Aue dar. Folgende Habitattypen werden als Pionierformationen bezeichnet:

- Auenfläche mit Krautvegetation
- Weichholzaue

Erhebungen für den Ausgangszustand

| Untersuchungsstrecken | Erhebungszustand | | | | | | |
|-----------------------|------------------|--------|--------|--------|--------------|--------------|------------|
| | Frühling | Sommer | Herbst | Winter | Niederwasser | Mittelwasser | Hochwasser |
| Emmenschachen | | • | | | | | |
| Schwarzweg | | • | | | | | |

Auswertung

Im Unterschied zum Kapitel 14 Landschaftsstrukturmasse, in dem weitere Typen von aquatischen und terrestrischen Habitaten unterschieden werden, beziehen sich sämtliche Berechnungen in diesem Kapitel auf die entsprechenden Flächenanteile der oben beschriebenen Haupttypen.

Die Kartierungen der Habitattypen wurden als Karten dargestellt.

Die Vielfalt der Auenformationen wurde anhand des Shannon Index berechnet. Anhand der Flächenanteile, welche die einzelnen Auenformationen an der Gesamtfläche einnehmen, wird der sogenannte Shannon-Index berechnet. Der Wert des Shannon-Index ist umso höher, je mehr verschiedene Auenformationen anzutreffen sind und je ähnlicher deren relative Häufigkeiten sind.

Die Flächenanteile der Pionierformationen wurden in Prozent der Gesamtfläche angegeben.

Die Resultate der Berechnung des Shannon Index sowie dem Anteil an Pionierformationen wurden auf Werte zwischen o und 1 standardisiert. Je näher der standardisierte Wert für den Shannon-Index beim 1-Richtwert liegt, desto vielfältiger sind die vorkommenden Auenformationen. Der standardisierte Wert für die Pionierformationen hängt davon ab, wie hoch der prozentuale Flächenanteil an Pioniervegetation an der Gesamtfläche ist. Mit einem Anteil von 50 bis 60 % wird das Maximum des standardisierten Wertes 1 erreicht. Je näher der standardisierte Wert beim 1-Richtwert liegt, desto ausgeglichener ist das Vorkommen von Pionierformationen.

Die Resultate des Ausgangszustandes von 2014 werden im Folgenden denjenigen der Wirkungskontrolle von 2023 gegenübergestellt.

13.3 Resultate

13.3.1 Emmenschachen

Vielfalt der Auenformationen Die berechneten Werte zur Vielfalt der verschiedenen Auenformationen in den jahren 2014 und 2024 sind in Tabelle 39 dargestellt.

| Jahr | Shannon-Index | Standardisierter Wert Anteil Auenformation | Standardisierter Wert Anteil Pioniervegetation |
|------|---------------|--|--|
| 2014 | 0.72 | 0.25 | 0.00 |
| 2023 | 1.03 | 0.59 | 1 |

Tabelle 39 Shannon Index für die Untersuchungsstrecke Emmenschachen.

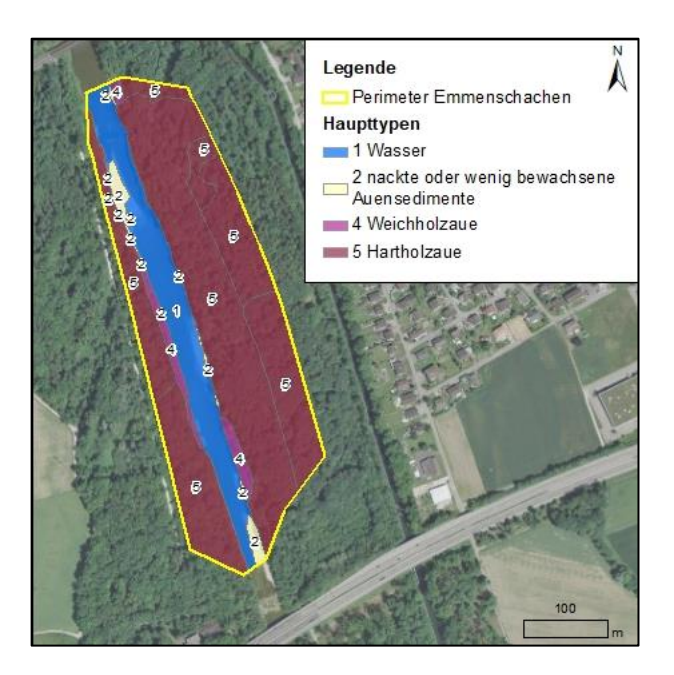


Abbildung 53 Die terrestrischen Habitattypen (Auenformationen) für die Untersuchungsstrecke Emmenschachen im Jahr 2014.

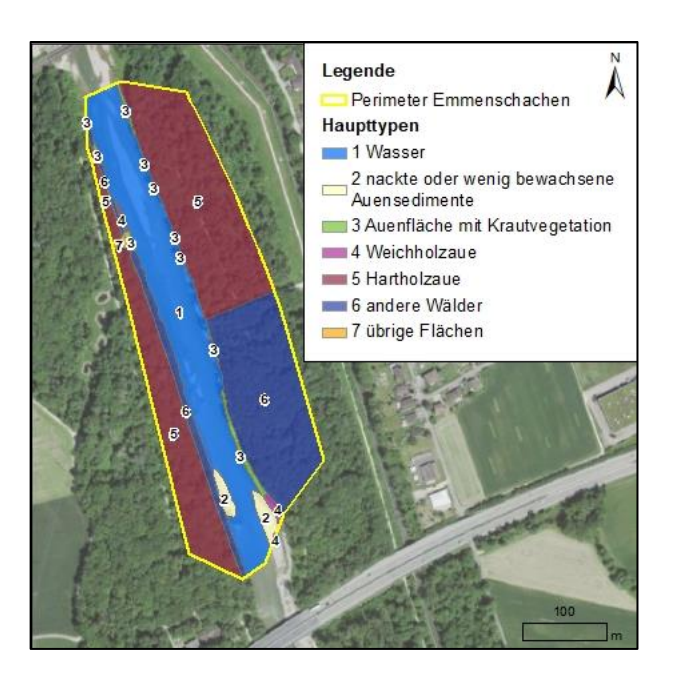


Abbildung 54 Die terrestrischen Habitattypen (Auenformationen) für die Untersuchungsstrecke Emmenschachen im Jahr 2023.

Anteile der Auenformationen Die Tabelle 40 zeigt den Anteil der verschiedenen Auenformationen an der Gesamtfläche der Untersuchungsstrecke.

| Jahr | 2014 | | 2023 | | |
|--|----------------------------------|--------|----------------------------------|--------|--|
| Haupttyp | Anteil an Gesamtfläche [%] | Anzahl | Anteil an Gesamtfläche [%] | Anzahl | |
| Wasser | 18.56 | 1 | 28.23 | 1 | |
| nackter oder wenig bewachsener Auensedimente | 2.28 | 8 | 1.77 | 3 | |
| Auenfläche mit Krautvegetation | 0.00 | 0 | 1.44 | 10 | |
| Weichholzaue | 3.26 | 3 | 0.62 | 3 | |
| Hartholzaue | 75.81 | 7 | 41.28 | 3 | |
| andere Wälder | 0.00 | 0 | 26.40 | 3 | |
| übrige Flächen | 0.00 | 0 | 0.26 | 1 | |
| Total | 100 % | 19 | 100 % | 24 | |

Tabelle 40 Auenformationen in der Untersuchungsstrecke Emmenschachen 2014 und 2023. Anteile der verschiedenen Haupttypen an der Gesamtfläche. Mit 'Anzahl' sind die Anzahl der einzelnen Teilflächen pro Haupttyp innerhalb des Perimeters gemeint.

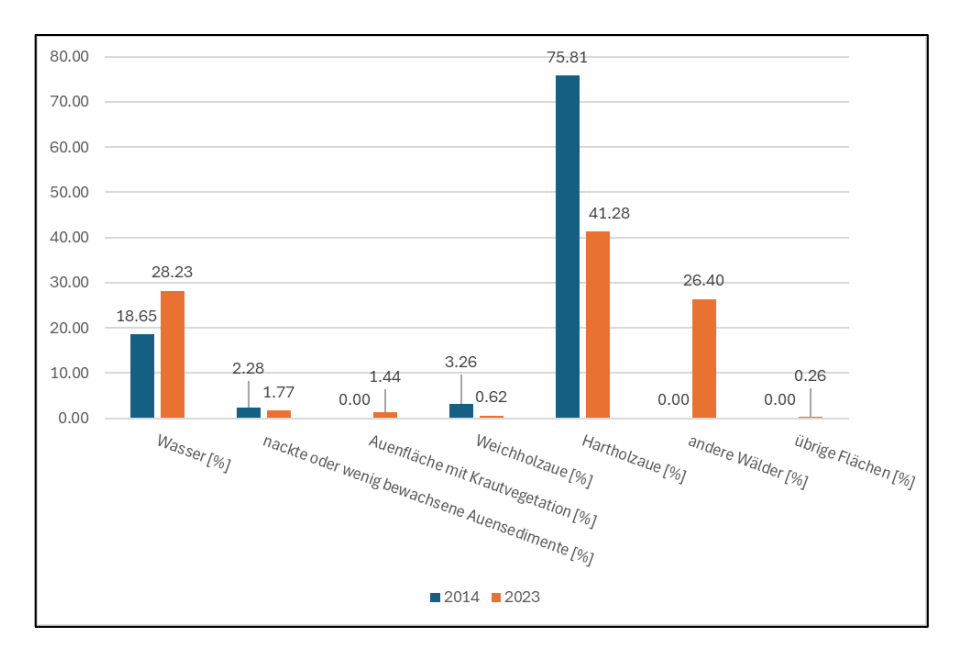


Abbildung 55 Auenformationen in der Untersuchungsstrecke Emmenschachen im Jahr 2014 und 2023; Anteile der Haupttypen an der Gesamtfläche in %.

Anteil an Pionierformationen

In der Untersuchungsstrecke Emmenschachen kam 2014 nur die Pionierformation "Weichholzaue" vor. 2023 wurden beide Pionierformationen "Auenfläche mit Krautvegetation" und "Weichholzaue" erfasst. Wie Tabelle 41 zeigt, ergibt der prozentuale Anteil dieser Formationen in beiden Jahren den standardisierten Wert o.o.

| Jahr | Anteil der Pionierformationen [%] | Standardisierter Wert |
|------|-----------------------------------|--------------------------|
| 2014 | 3.26 | 0.0 |
| 2023 | 2.06 | 0.0 |

Tabelle 41 Anteil der Pionierformationen in % an der Gesamtfläche für die Untersuchungsstrecke Emmenschachen.

13.3.2 Schwarzweg

Vielfalt der Auenformationen

Die berechneten Werte zur Vielfalt der verschiedenen Auenformationen für die Untersuchungsstrecke Schwarzweg sind in Tabelle 42 dargestellt. Der standardisierte Wert für den Shannon-Index beträgt.

| Jahr | Shannon-Index | Standardisierter Wert Anteil Auenformation | Standardisierter Wert Anteil Pioniervegetation |
|------|---------------|--|--|
| 2014 | 1.01 | 0.56 | 0.0 |
| 2023 | 1.03 | 0.59 | 1.00 |

Tabelle 42: Shannon Index für die Untersuchungsstrecke Schwarzweg

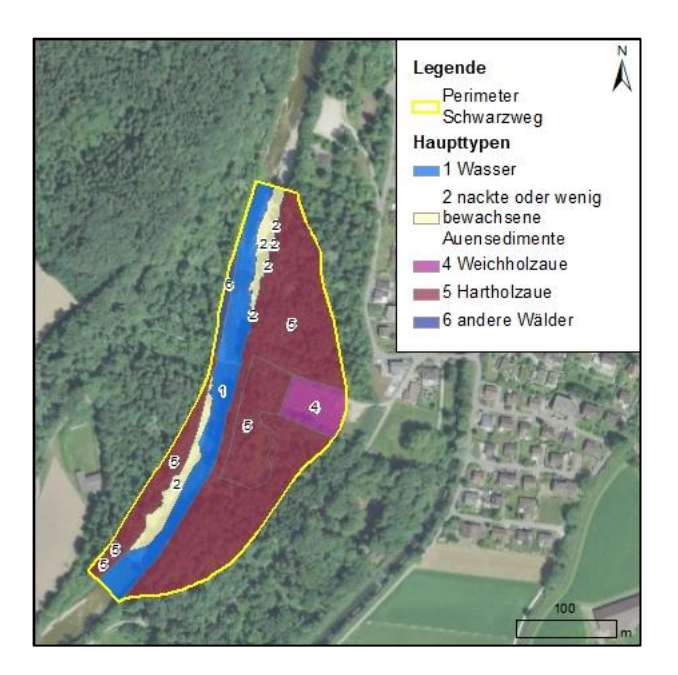


Abbildung 56 Die terrestrischen Habitattypen (Auenformationen) für die Untersuchungsstrecke Schwarzweg im Jahr 2014.

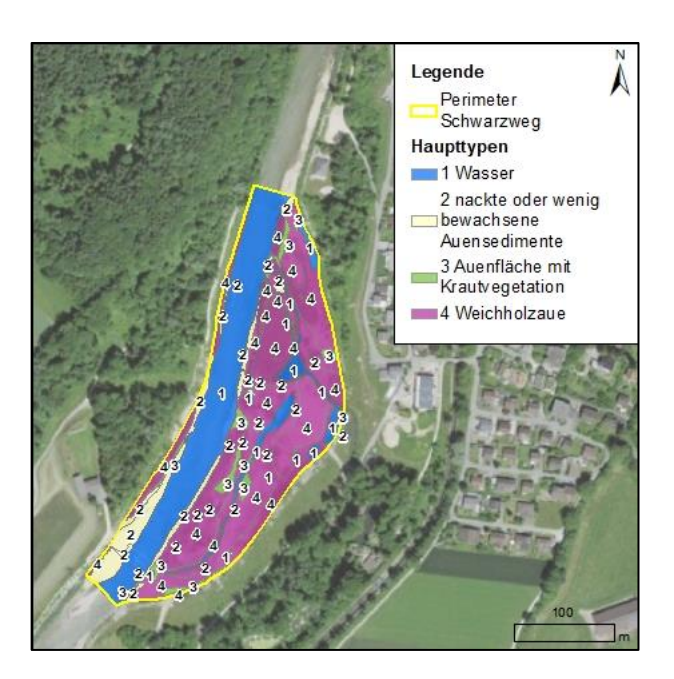


Abbildung 57 Die terrestrischen Habitattypen (Auenformationen) für die Untersuchungsstrecke Schwarzweg im Jahr 2023.

Anteile der Auenformationen

Die Tabelle 43 zeigt den Anteil der verschiedenen Auenformationen an der Gesamtfläche der Untersuchungsstrecke.

| Jahr | 2014 | 2014 | | |
|--|----------------------------------|--------|----------------------------------|--------|
| Haupttyp | Anteil an Gesamtfläche [%] | Anzahl | Anteil an Gesamtfläche [%] | Anzahl |
| Wasser | 17.87 | 1 | 32.70 | 14 |
| nackter oder wenig bewachsener Auensedimente | 7.44 | 3 | 8.80 | 42 |
| Auenfläche mit Krautvegetation | 0.00 | 0 | 3.74 | 15 |
| Weichholzaue | 5.65 | 1 | 54.75 | 22 |
| Hartholzaue | 67.13 | 5 | 0.00 | 0 |
| andere Wälder | 1.90 | 1 | 0.00 | 0 |
| übrige Flächen | 0.00 | 0 | 0.00 | 0 |
| Total | 100 % | 11 | 100 % | 93 |

Tabelle 43 Auenformationen in der Untersuchungsstrecke Schwarzweg.
Anteile der verschiedenen Haupttypen an der Gesamtfläche. Mit
'Anzahl' sind die Anzahl der einzelnen Teilflächen pro Haupttyp
innerhalb des Perimeters gemeint.

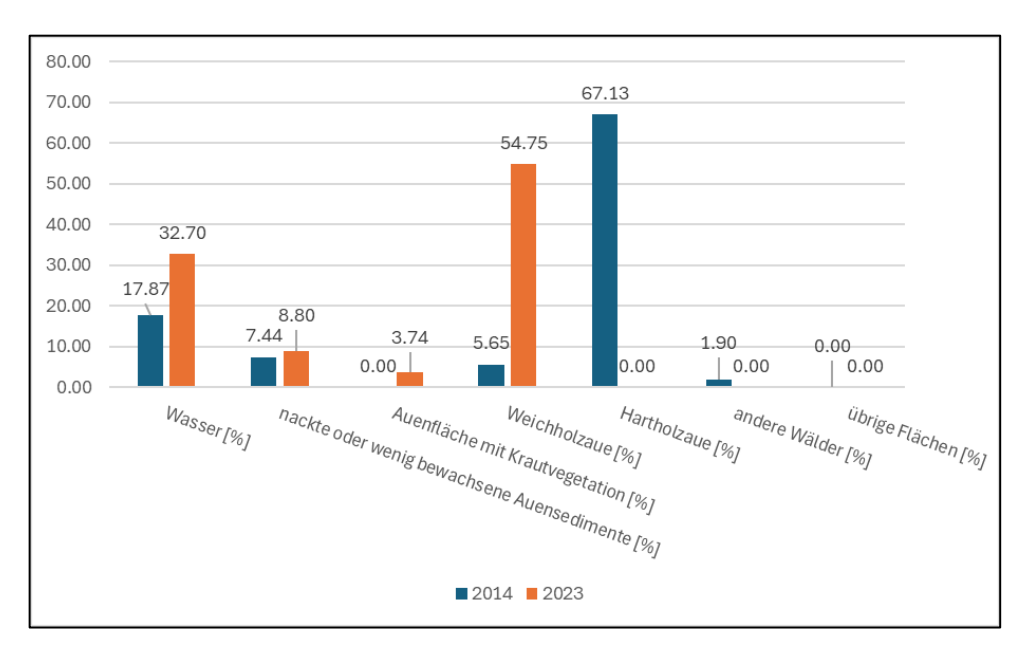


Abbildung 58 Auenformationen in der Untersuchungsstrecke Schwarzweg im Jahr 2014 und 2023; Anteile der Haupttypen an der Gesamtfläche in %.

Anteil an

Pionierformationen

In der Untersuchungsstrecke Schwarzweg kam 2014 nur die Pionierformation "Weichholzaue" vor. 2023 wurden beide Pionierformationen "Auenfläche mit Krautvegetation" und "Weichholzaue" erfasst. Wie Tabelle 44 zeigt, ergibt der prozentuale Anteil dieser Formationen 2014 den standardisierten Wert 0.00 und 2023 1.00.

| Jahr | Anteil der Pionierformationen [%] | Standardisierter Wert |
|------|-----------------------------------|--------------------------|
| 2014 | 5.65 | 0.00 |
| 2023 | 58.50 | 1.00 |

Tabelle 44 Anteil der Pionierformationen in % an der Gesamtfläche für die Untersuchungsstrecke Schwarzweg.

13.4 Vergleich mit Ausgangszustand

2014 dominierte in untersuchten Strecken "Emmenschachen" und "Schwarzweg" der Habitattyp "Hartholzaue". Weitere Habitattypen, welche auf einen vielfältigen und dynamischen Auen-Lebensraum hinweisen, waren nur rudimentär vorhanden. Die fehlende Heterogenität wird vor allem aus den Kartenprodukten ersichtlich. Das Gesamtbild der Untersuchungsstrecke Schwarzweg im 2023 zeigt, dass die Formationen zunehmend einem naturnahen Auenlebensraum entsprechen, jedoch nicht bei Emmenschachen. Der Vergleich der Shannon-Indexe der beiden Jahre legt hingegen dar, dass der Wert nur bei Emmenschachen deutlich gestiegen ist und somit 2023 mehr verschiedene Auenformationen anzutreffen waren (vgl. Tabelle 45). Bei genauerer Betrachtung fällt jedoch auf, dass dieses Resultat nur zustande kommt, weil zwar alle sieben Auenformationen angetroffen wurden, der Anteil der Pionierformation sich aber kaum verändert hat (standardisierter Wert 2014 und 2023 bei 0.00) und die Untersuchungsstrecke somit nicht naturnaher wurde.

13.5 Kurzdiskussion

Der Indikator "Mosaik Auenformationen" beschreibt das Vorkommen verschiedener terrestrischer Auenformationen und gibt einen Hinweis zu Strukturvielfalt und Sukzession innerhalb der Untersuchungsstrecke. Die Tabelle 45 gibt eine Übersicht zu den berechneten Werten und den abgeleiteten standardisierten Werten.

| Jahr und | Shannon- | standardisierte Werte | |
|---------------------------|----------|-------------------------|----------------------------|
| Untersuchungs- strecke | Index | Anteil Auenformation | Anteil Pionierformation |
| 2014 | _ | | |
| Emmenschachen | 0.72 | 0.25 | 0.00 |
| Schwarzweg | 1.01 | 0.56 | 0.00 |
| 2023 | | | |
| Emmenschachen | 1.25 | 0.84 | 0.00 |
| Schwarzweg | 1.03 | 0.59 | 1.00 |

Tabelle 45: Standardisierte Werte für die Untersuchungsstrecken Emmenschachen und Schwarzweg 2014 und 2023.

Im Jahr 2014 kam in beiden untersuchten Strecken vor allem der Habitattyp "Hartholzaue" vor. Im Jahr 2023 entsprachen die Formationen zumindest im Schwarzweg zunehmend einem naturnahen Auenlebensraum.

Bei den Felderhebungen 2023 fiel die zunehmende Ausbreitung der Robinie (*Robinia pseudoacacia*) auf. Dieser invasive Neophyt wächst inzwischen entlang beider Ufer der Untersuchungstrecke Emmenschachen. Er hat dort standorttypische, einheimische Gehölze, die eine Weichholzaue bilden würden, verdrängt. Dadurch ist der Flächenanteil der Auenformation "andere Wälder" 2014 von 0% auf 26.40% im 2023 gestiegen (vgl. Tabelle 40).

In der Untersuchungsstrecke Schwarzweg ergibt sich die geringe Zunahme des Shannon-Index und des standardisierten Werts der Auenformationen aufgrund der im Vergleich von 2014 zu 2023 nun fehlenden "Hartholzauen" und "andere Wälder". Durch die Revitalisierung des Fluss- und Uferabschnitts kam es hingegen zu einer deutlichen Zunahme des Anteils "Weichholzaue". Die Verschiebung des Schwerpunktes von einer Hartholz- zu einer Weichholzaue wurde vermutlich durch die zunehmende Vernässung des Uferbereichs durch Zuströme von seitens Emme im Westen und des Eisfeldbachs im Osten verursacht. Dadurch kommt es zu häufigeren Überschwemmungen und infolgedessen mehr anstauender Nässe, welche die Gehölze der Hartholzaue langfristig nicht ertragen.

Die Ausgangserhebungen zeigten deutlich die verschwindend kleinen Anteile an Pionierformationen. Dies ist ein typisches Bild für einen Uferbereich mit fehlender Dynamik und einer daher ausbleibenden Sukzession. Im Gegensatz dazu weist besonders die Untersuchungsstrecke Schwarzweg gemäss der Folgeerhebung eine naturnahe Auendynamik mit einem Mosaik verschiedener Lebensräume auf.

14 Landschaftsstrukturmasse

14.1 Beschrieb

Grundlage EAWAG- Handbuch, Steckbriefnr. 19, Landschaft: Landschaftsstrukturmasse

(Woolsey, S. et al., 2005)

Definition Vielfalt und räumliche Anordnung der terrestrischen und aquatischen Habitattypen

Flusslandschaft besteht aufgrund naturnahe unterschiedlicher Umweltbedingungen aus verschiedenen Habitaten. Die Vielfalt, die Grösse, die

> Form und die räumliche Verteilung dieser Habitate bestimmen massgeblich die Artenzusammensetzung, die Häufigkeit sowie die Vernetzung der Flora und Fauna.

> Heute ist das Angebot an unterschiedlichen Habitaten vermutlich eher klein. Die Ausbildung vielfältiger Strukturen ist eines der wichtigsten gewässerökologischen

Entwicklungsziele.

14.2 Methode Erhebung und Auswertung

Zu erhebende Daten Lage und Fläche der einzelnen Habitattypen im Flussgerinne und in den

potenziellen Auenflächen.

Die Perimeter beider Untersuchungsstrecken umgrenzen den Bereich der Perimeter

potentiellen Auenflächen, welche ihrerseits als Überflutungsflächen innerhalb der

Interventionslinien liegen.

Für die Untersuchungsstrecke Emmenschachen misst die Perimeterfläche 8.4 ha auf einer Gesamtlänge von rund 600 m; die Perimeterfläche für die Strecke

Schwarzweg beträgt 4.5 ha, die Gesamtlänge misst rund 440 m.

Der Indikator basiert auf den terrestrischen und aquatischen den

Habitattypenkartierungen.

Terrestrische Die Erfassung der terrestrischen Habitattypen erfolgte im Rahmen der Datenerfassung für den Indikator "Mosaik der Auenformationen" (vgl. Kapitel 13).

Zusätzlich wurden ergänzende Subtypen nach (Thielen, et al., 2003) und (Delarze &

Gonseth, 2008) definiert.

Der Deckungsgrad wurde in einem ersten Schritt im ArcGIS anhand des Infrarotluftbildes bestimmt und anschliessend während der Vegetationsperiode (31.08.2023 resp. 05.09.2023) im Feld verifiziert. Zudem wurde gleichzeitig die

Vegetationshöhe erhoben.

In Anlehnung an Woolsey (Woolsey, S. et al., 2005) wurden die einzelnen Abstufungen für Deckungsgrad und Vegetationshöhe definiert.

130

Begründung

Vorgehen

Habitattypen

Zusammen mit den bestehenden Habitattypen stellen diese die Elemente für einen dreistelligen Habitatcode (x/y/z) dar (vgl. Tabelle 46):

| Code | Habitattyp (x) | Deckungsgrad [%] (y) | Vegetationshöhe [m] (z) |
|------|---|-------------------------|----------------------------|
| 0 | | 0 | 0 |
| 1 | | 10-40 | <0.5 |
| 2 | Kies- / Sandbank | 40-80 | 0.5-1 |
| 3 | Kies- / Sandbank mit Pioniervegetation | 80-100 | 1-2 |
| 4 | Weichholzaue | | 2-5 |
| 5 | Hartholzaue | | 5-10 |
| 6 | übrige Wälder | | |
| 7 | übrige Habitattypen | | |
| 8 | Feuchtgebiete | | |
| 9 | Trockenstandorte | | |

Tabelle 46 Abstufungen für terrestrische Habitattypen, Deckungsgrad und Vegetationshöhe
Lesebeispiel: Fin Feuchtgebiet mit einem Deckungsgrad von 80:

Lesebeispiel: Ein Feuchtgebiet mit einem Deckungsgrad von 80-100 % und einer Vegetationshöhe von 0.5-1 m erhält den Habitatcode 832. Aquatische Mesohabitate Da im Jahr 2014 für die Auswertung der aquatischen Lebensräume die Restwasser-Daten verwendet wurden, haben wir zwecks Vergleichbarkeit für die Auswertung 2023 ebenfalls die Restwasser-Daten genutzt.

Die Habitattypen der aquatischen Lebensräume sind in Tabelle 47 aufgeführt. Wie in Kapitel 8 beschrieben, wurden sie als Mesohabitate kartiert.

| Code | Habitattyp (x) |
|------|----------------|
| 1 | Furt |
| 2 | Schnelle |
| 6 | Gleite |
| 7 | Lauf |
| 9 | Flachwasser |
| 11 | Lateralkolk |
| 12 | Hinterwasser |
| 16 | Staukolk |
| 18 | Kiesbank |
| 20 | Felsgleite |

Tabelle 47 Codierung der aquatischen Mesohabitate

Erhebungen für den Ausgangszustand

| Untersuchungsstrecken | Erhebungszustand | | | | | | |
|-----------------------|------------------|--------|--------|--------|--------------|--------------|------------|
| | Frühling | Sommer | Herbst | Winter | Niederwasser | Mittelwasser | Hochwasser |
| Emmenschachen | | • | | | • | | |
| Schwarzweg | | • | | | • | | |

Auswertung

Im GIS wurden die Abstufungen Habitattyp, Deckungsgrad und Vegetationshöhe als Kartenprodukte dargestellt.

Zudem wurden für die codierten Flächen (Definition siehe oben, aquatisch und terrestrisch) unter Anwendung einer spezifischen Berechnungs-Software die Werte der Landschaftsstrukturmasse gemäss Woolsey (Woolsey, S. et al., 2005) ermitteltl.

Um die Übersicht über die zahlreichen Werte zu vereinfachen, beschränken wir uns bei der Darstellung der Ergebnisse auf je ein Landschaftsstrukturmass zu Form (MSI), Fläche (MPS), Distanz (MNN) und Eingebundenheit (MPI) (vgl. Tabelle 48).

| Landschafts strukturmas | Reschreibung | Berechnungs- software |
|----------------------------|--|--------------------------|
| MSI | Mean Shape Index: Komplexität einer Fläche im Vergleich zu einer Standartform [-] | PatchAnalyst |
| MPS | Mean Patch Size: Mittlere Flächengrösse pro Gesamtcode [ha] | PatchAnalyst |
| MNN | Mittlere Distanz zur nächstgelegenen Fläche desselben Habitattyps | V-Late |
| MPI | Mittlerer Proximity-Index, Verhältnis aus der Flächengrösse einer Einzelfläche und der Distanz zur nächstgelegenen Fläche desselben Typs innerhalb eines Radius von 50 m (Implementierung nach fragstats) | V-Late |

Tabelle 48 Definition der Landschaftsstrukturmasse, die für die Untersuchungsstrecken Emmenschachen und Schwarzweg zur Anwendung kommen.

Die aufgeführten Landschaftsstrukturmasse wurden unter Einbezug sämtlicher vorkommender codierter Flächen sowohl für die ganze Untersuchungsstrecke (landscape level) wie auch für die einzelnen codierte Flächen (class level) berechnet.

Ein MSI-Wert von 1 bedeutet, dass die Fläche einem Kreis oder Quadrat entspricht. Je höher der MSI-Wert, desto höher die Flächenkomplexität.

Der MPS-Wert ist umso kleiner, wenn die dominierende "Grossfläche" abnimmt und dadurch die mittlere Flächengrösse der Habitattypen sinkt. Dies wirkt sich auf positiv auf die Habitatvielfalt aus.

Wenn nur eine Fläche pro Habitattyp vorkommt, beträgt die mittlere Distanz zur nächstgelegenen Fläche desselben Habitattyps (MNN) Null. Befinden sich die Flächen desselben Typs weiter als 50 m auseinander, liegen sie ausserhalb des Radius zur Berechnung des Mittleren Proximity-Index (MPI), was ebenfalls einen Null-Wert generiert. Für den MNN-Wert auf Ebene Untersuchungsstrecke (landscape level) wurden die MNN-Werte der codierten Flächen gemittelt. Ein hoher MPI-Wert zeigt eine komplexere Anhäufung von Habitattypen und somit eine Abnahme der Isolation und Fragmentierung.

14.3 Resultate

14.3.1 Emmenschachen

Kartendarstellungen Emmenschachen Die folgenden Kartenprodukte stellen die terrestrischen Habitattypen, bzw. Subtypen sowie Deckungsgrad und Vegetationshöhe dar (Abbildung 59 bis Abbildung 64). Die Kartendarstellungen der aquatischen Mesohabitate finden sich in Kapitel 8.3.

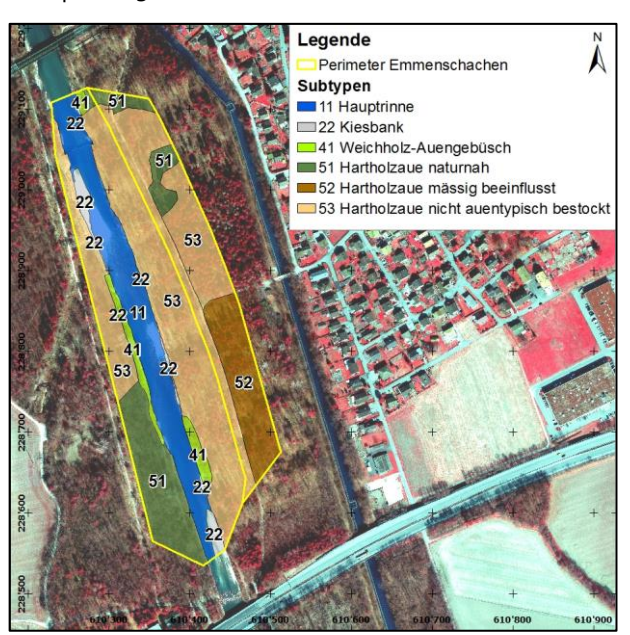


Abbildung 59 Subtypen der terrestrischen Habitate für die Untersuchungsstrecke Emmenschachen 2014.

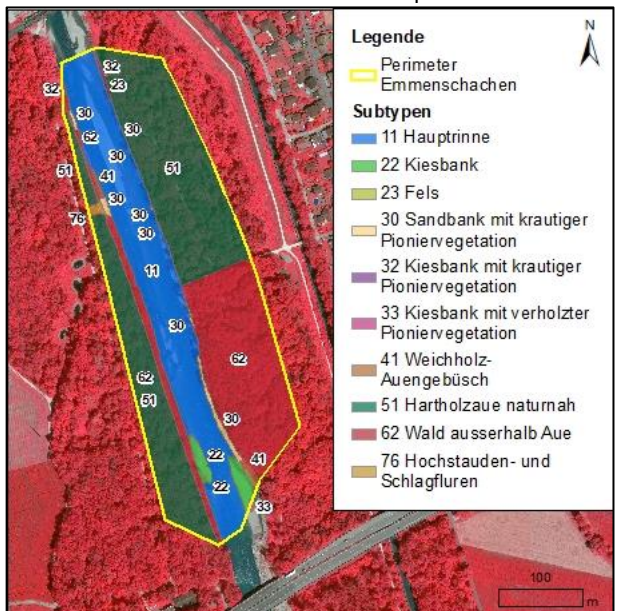


Abbildung 60 Subtypen der terrestrischen Habitate für die Untersuchungsstrecke Emmenschachen 2023.



Abbildung 61 Deckungsgrad der unterschiedlichen terrestrischen Habitate für die Untersuchungsstrecke Emmenschachen 2014.

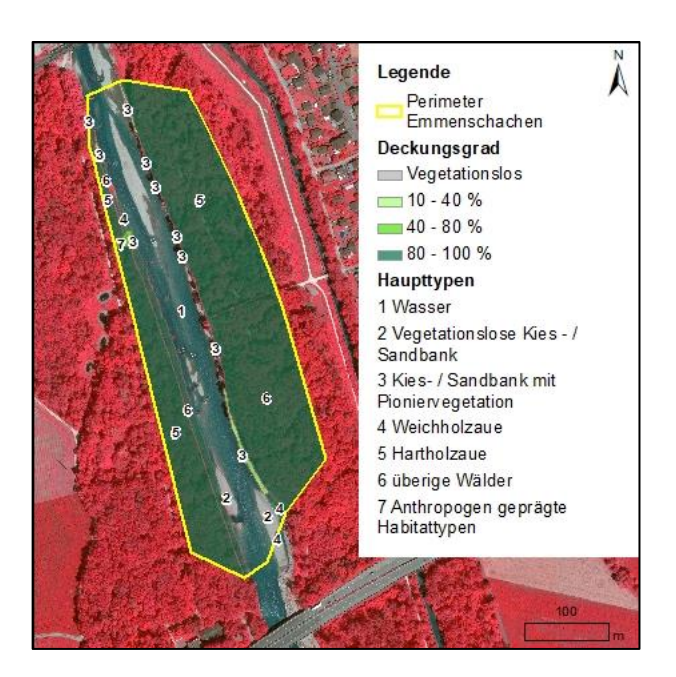


Abbildung 62 Deckungsgrad der unterschiedlichen terrestrischen Habitate für die Untersuchungsstrecke Emmenschachen 2023.

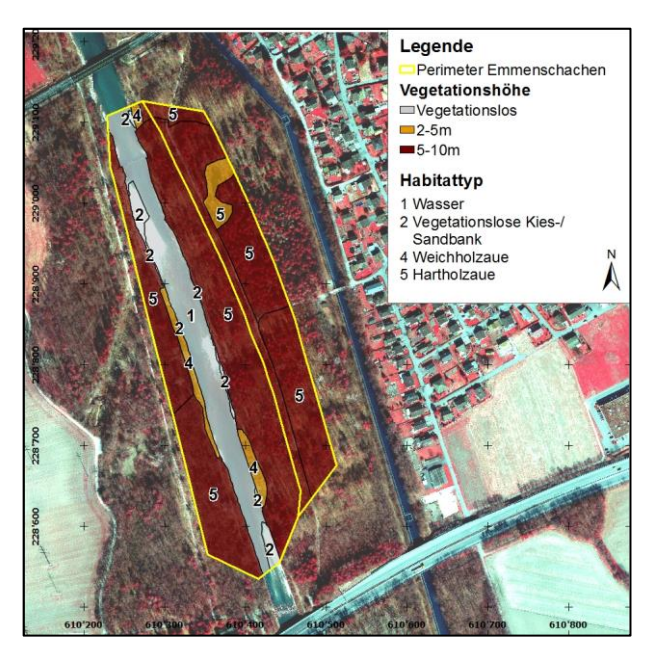


Abbildung 63 Vegetationshöhe der unterschiedlichen terrestrischen Habitate für die Untersuchungsstrecke Emmenschachen 2014.

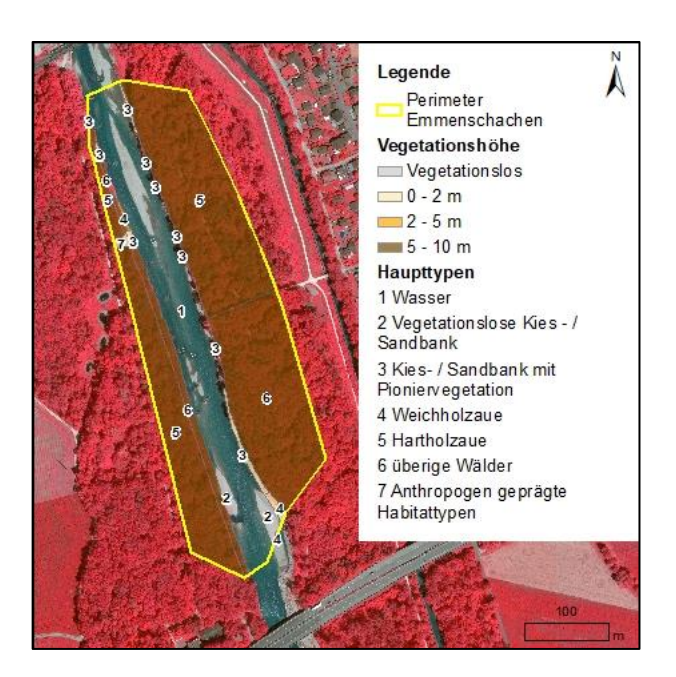


Abbildung 64 Vegetationshöhe der unterschiedlichen terrestrischen Habitate für die Untersuchungsstrecke Emmenschachen 2023.

Landschaftsstrukturmasse Emmenschachen Die Landschaftsstrukturmasse wurde sowohl auf Ebene der Untersuchungsstrecke (landscape level, siehe Tabelle 49) wie auch auf Ebene der codierten Flächen (class level, siehe Tabelle 50) berechnet.

| Jahr | MSI [-] | MPS [ha] | MNN [m] | MPI |
|------|---------|----------|---------|------|
| 2014 | 3.22 | 0.38 | 16.05 | 4.32 |
| 2023 | 1.8 | 0.15 | 73.68 | 6.82 |

Tabelle 49 Landschaftsstrukturmasse auf Ebene der Untersuchungsstrecke Emmenschachen.

| Habitatcode | Anzahl Einzel- flächen | MSI [-] | MPS [ha] | MNN [m] | MPI | | |
|-------------------------|------------------------------|---------|----------|---------|-------|--|--|
| Aquatische Habitattypen | | | | | | | |
| 2014 | | | | | | | |
| Furt | 1 | 2.12 | 0.93 | 0.00 | o | | |
| Lauf | 1 | 1.58 | 0.01 | 0.00 | o | | |
| Flachwasser | 2 | 1.92 | 0.02 | 36.71 | 0.13 | | |
| Lateralkolk | 1 | 1.74 | 0.01 | 0.00 | 0 | | |
| Hinterwasser | 1 | 1.12 | 0.00 | 0.00 | 0 | | |
| Kiesbank | 4 | 2.98 | 0.03 | 43.61 | 0.31 | | |
| 2023 | | | | | | | |
| Furt | 6 | 2.03 | 0.13 | 7.41 | 16.64 | | |
| Gleite | 3 | 1.47 | 0.08 | 29.16 | 1.19 | | |
| Lauf | 3 | 1.52 | 0.01 | 88.11 | 0.08 | | |
| Flachwasser | 7 | 2.19 | 0.03 | 13.66 | 21.49 | | |
| Hinterwasser | 6 | 1.26 | 0.01 | 38.82 | 0.20 | | |
| Rinne | 1 | 1.85 | 0.01 | 15.18 | 0.00 | | |
| Mündungskolk | 1 | 1.54 | 0.00 | 15.18 | 0.00 | | |
| Nebengerinnekolk | 1 | 1.24 | 0.00 | 15.18 | 0.00 | | |

| Bank unbewachsen | 14 | 1.60 | 0.02 | 6.18 | 33.60 |
|--|----|------|------|--------|-------|
| Tümpel | 2 | 1.60 | 0.00 | 131.22 | 0.00 |
| Terrestrische Habitattyp | en | | | | |
| 2014 | | | | | |
| Kiesbank 200 | 5 | 6.78 | 0.02 | 59.06 | 0.53 |
| Weicholzaue 424 | 2 | 2.54 | 0.13 | 29.20 | 1.56 |
| Weicholzaue 434 | 1 | 1.28 | 0.03 | 0.00 | O |
| Hartholzaue 524 | 1 | 1.53 | 0.19 | 0.00 | O |
| Hartholzaue 525 | 1 | 1.97 | 1.63 | 0.00 | O |
| Hartholzaue 535 | 2 | 2.34 | 2.54 | 24.07 | 43.91 |
| 2023 | | | | | |
| Vegetationslose Kiesbank 200 | 3 | 1.34 | 0.05 | 160.51 | 1.02 |
| Vegetationslose Kiesbank 212 | 1 | 1.82 | 0.01 | 435.82 | 0 |
| Vegetationslose Kiesbank 231 | 1 | 1.59 | 0.00 | 435.82 | 0 |
| Kiesbank mit Pioniervegetation 311 | 7 | 2.82 | 0.01 | 14.40 | 0.53 |
| Kiesbank mit Pioniervegetation 321 | 1 | 1.37 | 0.02 | 17.09 | 0 |
| Kiesbank mit Pioniervegetation 333 | 1 | 1.21 | 0.01 | 17.09 | 0 |
| Weichholzaue 433 | 1 | 1.52 | 0.03 | 17.09 | 0 |
| Weichholzaue 434 | 1 | 2.05 | 0.01 | 17.09 | 0 |
| Hartholzaue 535 | 3 | 1.94 | 1.26 | 25.46 | 44.08 |
| übrige Wälder 635 | 3 | 2.97 | 0.80 | 26.91 | 8.22 |
| anthropogen geprägte Habitattypen 723 | 1 | 1.30 | 0.02 | 19.80 | 0 |
| | | | | | |

Tabelle 50 Landschaftsstrukturmasse auf Ebene Habitattyp für die Untersuchungsstrecke Emmenschachen 2014 und 2023.

14.3.2 Schwarzweg

Kartendarstellungen Schwarzweg Die folgenden Kartenprodukte stellen die terrestrischen Habitattypen, bzw. Subtypen sowie Deckungsgrad und Vegetationshöhe dar (Abbildung 65 bis Abbildung 70). Die Kartendarstellungen der aquatischen Habitattypen finden sich in Kapitel 8.3.

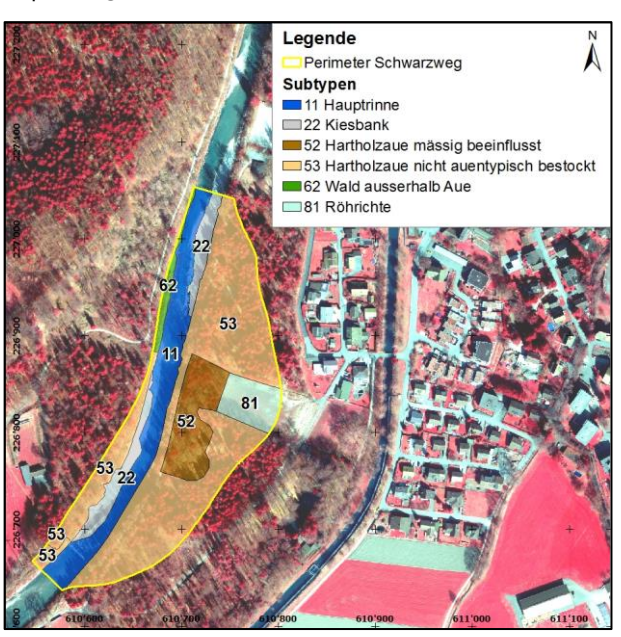


Abbildung 65 Subtypen der terrestrischen Habitate für die Untersuchungsstrecke Schwarzweg 2014.

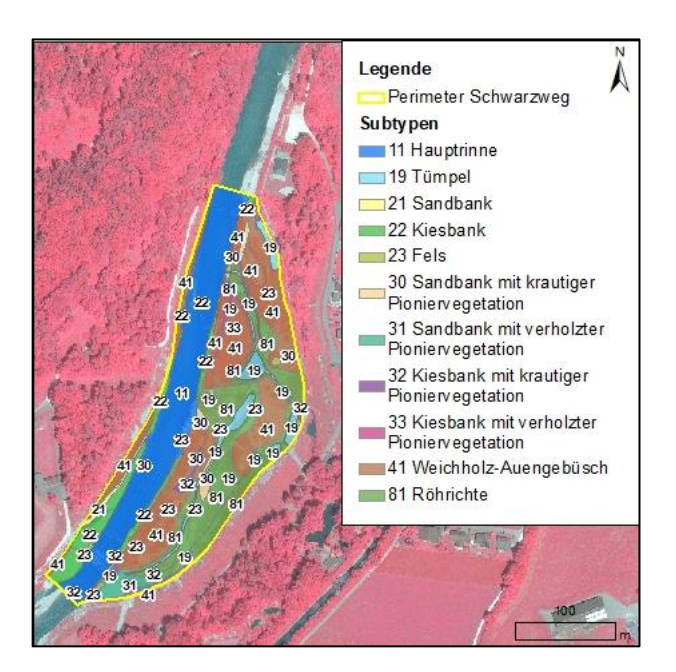


Abbildung 66 Subtypen der terrestrischen Habitate für die Untersuchungsstrecke Schwarzweg 2023.

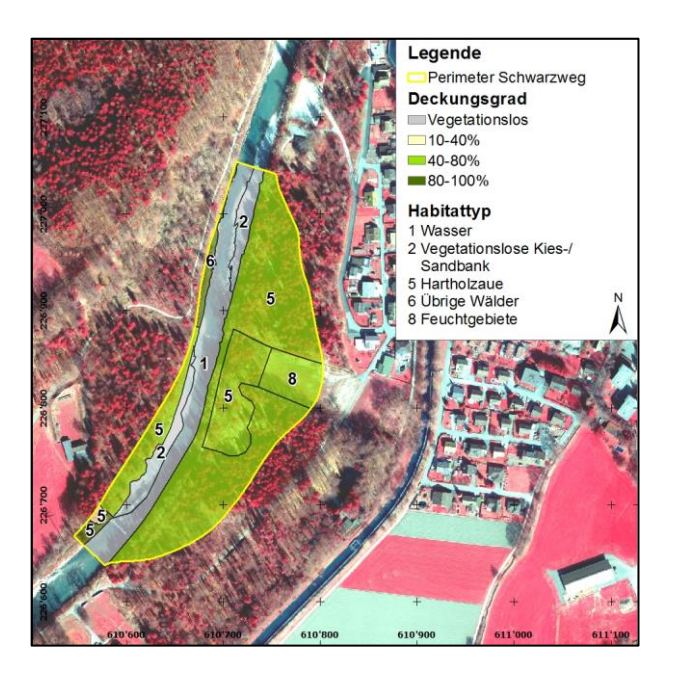


Abbildung 67 Deckungsgrad der unterschiedlichen terrestrischen Habitate für die Untersuchungsstrecke Schwarzweg 2014.

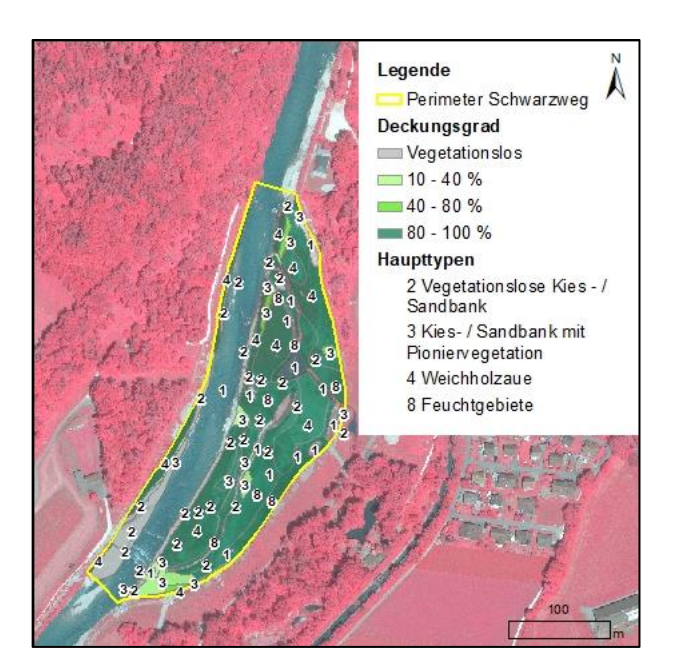


Abbildung 68 Deckungsgrad der unterschiedlichen terrestrischen Habitate für die Untersuchungsstrecke Schwarzweg 2023.

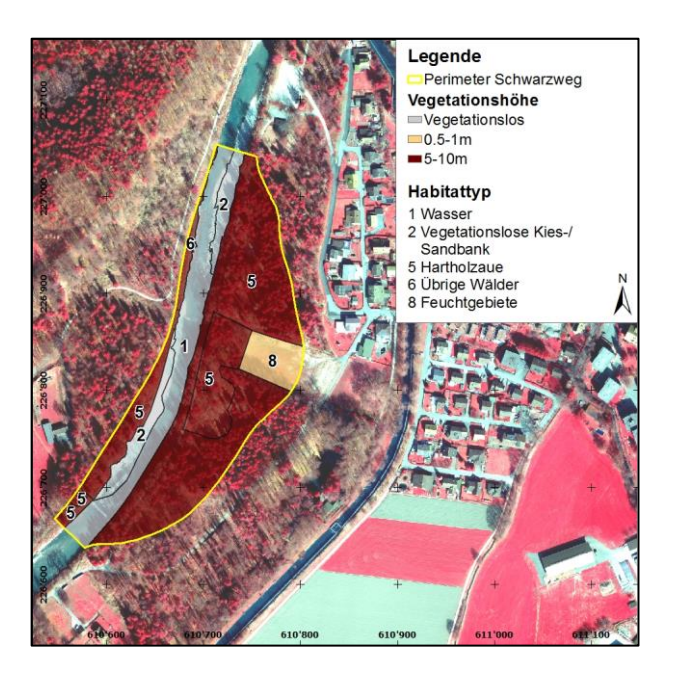


Abbildung 69 Vegetationshöhe der unterschiedlichen terrestrischen Habitate für die Untersuchungsstrecke Schwarzweg 2014.

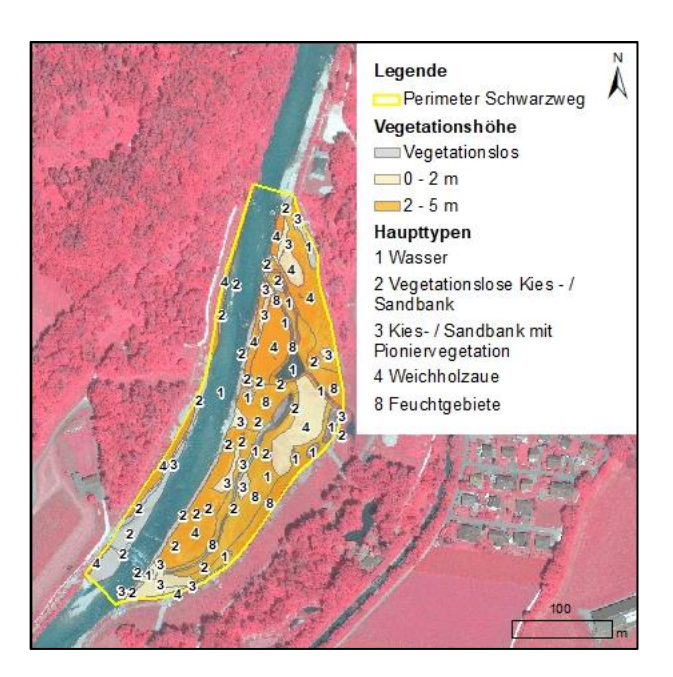


Abbildung 70 Vegetationshöhe der unterschiedlichen terrestrischen Habitate für die Untersuchungsstrecke Schwarzweg 2023.

Landschaftsstrukturmasse Schwarzweg Die Landschaftsstrukturmasse wurde sowohl auf der Ebene der ganzen Untersuchungsstrecke (landscape level, siehe Tabelle 51) wie auch auf Ebene der codierten Flächen (class level, siehe Tabelle 52) berechnet.

| Jahr | MSI [-] | MPS [ha] | MNN [m] | MPI |
|------|---------|----------|---------|-------------------------|
| 2014 | 2.05 | 0.12 | 25.7 | 7.43 |
| 2023 | 2.04 | 0.07 | 37.56 | 1'026'891 ¹⁸ |

Tabelle 51 Landschaftsstrukturmasse auf Ebene der Untersuchungsstrecke Schwarzweg 2014 und 2023.

| Habitatcode | Anzahl Einzel- flächen | MSI [-] | MPS [ha] | MNN [m] | MPI | | |
|-------------------------|------------------------------|---------|----------|---------|--------|--|--|
| Aquatische Habitattypen | | | | | | | |
| 2014 | | | | | | | |
| Furt | | 1.51 | 0.04 | 22.65 | 1.42 | | |
| Schnelle | 3 | 1.44 | 0.02 | 26.95 | 0.42 | | |
| Gleite | 2 | 1.79 | 0.03 | 156.09 | 0 | | |
| Lauf | 7 | 1.58 | 0.03 | 3.80 | 23.88 | | |
| Flachwasser | 8 | 1.88 | 0.01 | 14.84 | 5.32 | | |
| Lateralkolk | 1 | 1.28 | 0.00 | 0.00 | 0 | | |
| Hinterwasser | 1 | 1.27 | 0.00 | 0.00 | 0 | | |
| Kiesbank | 2 | 2.53 | 0.10 | 69.37 | 0 | | |
| Felsgleite | 1 | 2.22 | 0.01 | 0.00 | 0 | | |
| 2023 | | | | | | | |
| Furt | 4 | 2.24 | 0.12 | 3.35 | 355-54 | | |
| Schnelle | 2 | 1.33 | 0.01 | 97.06 | 0.01 | | |
| Gleite | 4 | 1.33 | 0.01 | 53.57 | 0.12 | | |
| Lauf | 2 | 2.20 | 0.01 | 0.00 | 0.00 | | |
| Flachwasser | 12 | 1.72 | 0.01 | 6.32 | 40.12 | | |
| Hinterwasser | 10 | 1.42 | 0.00 | 14.30 | 1.88 | | |
| Rinne | 1 | 2.09 | 0.05 | 3.44 | 0.00 | | |
| Nebengerinnekolk | 1 | 1.34 | 0.01 | 3.44 | 0.00 | | |
| Bank unbewachsen | 13 | 1.73 | 0.01 | 5.97 | 7.75 | | |
| Tümpel | 1 | 1.32 | 0.00 | 6.89 | 0.00 | | |

Der hohe MPI-Wert im Jahr 2023 ist auf die komplexe Anhhäufung der Habitattypen zurückzuführen, weil Flächen des gleichen Typs nur durch kurze Distanzen voneinander entfernt liegen, während die Anzahl der vorgefundenen Subtypen hoch ist. Dies stellt eine Abnahme der Isolation und Fragmentierung der einzelnen Typen dar, da die Distanzen zwischen Flächen des gleichen Typs kleiner wurden. Siehe auch Tabelle 52

| Terrestrische Habitattyp | en | | | | |
|---------------------------------------|----|------|------|--------|------------|
| 2014 | | | | | |
| Kiesbank 200 | 2 | 7.15 | 0.08 | 68.69 | 0 |
| Hartholzaue 515 | 1 | 1.23 | 0.02 | 0.00 | 0 |
| Hartholzaue 525 | 2 | 2.09 | 1.57 | 23.19 | 29.19 |
| Hartholzaue 535 | 1 | 1.52 | 0.05 | 0.00 | 0 |
| Übriger Wald 635 | 1 | 3.45 | 0.09 | 0.00 | 0 |
| Feucht-gebiet 822 | 1 | 1.12 | 0.27 | 0.00 | 0 |
| 2023 | | | | | |
| Vegetationslose Kiesbank 200 | 37 | 1.52 | 0.01 | 12.19 | 51.97 |
| Kiesbank mit Pioniervegetation 311 | 9 | 1.88 | 0.01 | 23.10 | 7.65 |
| Kiesbank mit Pioniervegetation 312 | 2 | 1.18 | 0.00 | 1.31 | 15.16 |
| Kiesbank mit Pioniervegetation 313 | 1 | 1.65 | 0.08 | 1.31 | 0 |
| Kiesbank mit Pioniervegetation 321 | 2 | 2.74 | 0.02 | 221.17 | 0 |
| Kiesbank mit Pioniervegetation 322 | 2 | 1.60 | 0.02 | 95.57 | 0.02 |
| Kiesbank mit Pioniervegetation 332 | 1 | 1.82 | 0.03 | 95.57 | 0 |
| Weichholzaue 433 | 2 | 1.38 | 0.15 | 88.24 | 0.19 |
| Weichholzaue 434 | 8 | 2.75 | 0.15 | 17.64 | 13'575'109 |
| Feuchtgebiete 834 | 5 | 4.62 | 0.20 | 0.69 | 712.25 |
| • | • | | • | | |

Tabelle 52 Landschaftstrukturmasse auf Ebene Habitattyp für die Untersuchungsstrecke Schwarzweg 2014 und 2023.

14.4 Vergleich mit Ausgangszustand

Im Vergleich zur Erhebung im Ausgangszustand 2014 ist anhand der Karten (vgl. Kapitel 14.3.1 und 14.3.2) zu erkennen, dass die Subtypen der terrestrischen Habitate in beiden Untersuchungsstrecken 2023 vielfältiger wurden. Dies widerspiegelt sich auch im Vergleich der Werte für den MPS (Mean Patch Size), da dieser gegenüber 2014 abgenommen hat. Einen Hauptgrund darin liegt in der Reduktion des Hartholzauenanteils. Bezüglich Deckungsgrad und Vegetationshöhe sind die Veränderungen weniger markant. Im Gesamtbild sind im Besonderen die Veränderungen in der Untersuchungsstrecke Schwarzweg erkennbar. Durch die Revitalisierung des Abschnitts wurde eine auentypische Dynamik ermöglicht, wodurch Land- und Gewässerlebensräume ineinander übergehen. Im Gegensatz

dazu fehlt diese Dynamik bei Emmenschachen aufgrund der immer noch bestehenden relativ steilen Böschungen.

14.5 Kurzdiskussion

Kartendarstellungen

Die Auswertungen für die Ausgangserhebung 2014 der beiden Untersuchungsstrecken Emmenschachen und Schwarzweg zeigten einen eher homogenen, strukturarmen Lebensraum. Bei den terrestrischen Habitaten dominierte die Hartholzaue, entsprechend waren hohe Bestände mit relativ hohem Deckungsgrad vorherrschend. Auch die feinere Aufteilung in Subtypen zeigte deutlich, wie vorherrschend die Hartholzaue ist. Allgemein war die Vielfalt an verschiedenen Habitattypen gering, was auf eine eher bescheidene Artenvielfalt von Flora und Fauna schliessen lässt. Im Jahr 2023 waren besonders in der Untersuchungsstrecke Schwarzweg deutliche Veränderungen zu erkennen. Der Lebensraum setzt sich aus vielfältigen Habitat- resp. Subtypen zusammen und bietet Nischen für die Ansprüche verschiedener Pflanzen- und Tierarten. Im Gegensatz dazu hat sich das Gesamtbild der Untersuchungsstrecke Emmenschachen nicht markant verändert. Ein Grund dafür liegt vermutlich in der geringeren Auendynamik, da beide Uferseiten eine relativ steile Böschung aufweisen und fliessende Übergänge von Wasser- zu Landlebensräumen wie bei Schwarzweg weitgehend fehlen.

Landschaftsstrukturmasse Der Vergleich der vier Indexe (vgl. Tabelle 53) zwischen den Erhebungsjahren 2014 und 2023 weisen darauf hin, dass besonders der Lebensraum in der Untersuchungsstrecke Schwarzweg vielfältiger und strukturreicher wurde. Dies widerspiegelt sich besonders beim Vergleich der Werte auf landscape-level.

Der MPS (Mean Patch Size) hat bei beiden Untersuchungsstrecken im 2023 abgenommen. Daraus kann abgeleitet werden, dass mit der Abnahme der dominierenden "Grossflächen" (Hartholzaue bei beiden Untersuchunsstrecken) folglich auch die mittlere Flächengrösse der Habitattypen abnahm und dies eine Erhöhung der Habitatvielfalt widerspiegelt.

Die Abnahme der mittleren Entfernung der verschiedenen Flächen (MNN) bedeutet eine Erhöhung der Vernetzung, eine geringere Fragmentierung und Verinselung und ist somit eine erstrebenswerte Richtgrösse. Die Resultate beider Untersuchungsstrecken auf landscape-level zeigen jedoch, dass der MNN-Index im Vergleich zum Ausgangszustand 2014 zugenommen haben. Betrachtet man aber die Werte auf class-level (Tabelle 49 und Tabelle 51) zeigt sich, dass die Vielfalt an Habitattypen höher, die Distanzen zwischen ihnen dadurch aber auch höher sein kann, jedoch keine Werte bei o.oo liegen. Dies weil gilt, kommt nur eine Fläche vor, hat dies einen Null-Wert zur Folge. Befinden sich die Flächen desselben Typs weiter als 50 m auseinander, liegen sie zudem ausserhalb des Aktionsradius zur Berechnung des Mittleren Proximity-Index (MPI), was ebenfalls einen Null-Wert generiert. Dies wird unterstützt durch den Vergleich der MPI-Werte. Eine Zunahme

des Index steht für eine komplexere Anhäufung von Habitattypen und bedeutet folglich eine Abnahme der Isolation und Fragmentierung. Dies ist besonders auffällig beim Vergleich der Abbildungen der Subtypen von Schwarzweg 2014 und 2023 (Abbildung 65 und Abbildung 66). Aufgrund der Verzahnung verschiedener Lebensräume und einer detaillierten Kartierung ist dieser Wert 2023 ausgesprochen hoch.

| Jahr und | Form | Fläche | Distanz | Eingebundenheit |
|---------------------------|---------|-------------|------------|-------------------------|
| Untersuchungs- strecke | MSI [-] | MPS [ha] | MNN [m] | МРІ |
| 2014 | | | | |
| Emmenschachen | 3.22 | 0.38 | 16.05 | 4.32 |
| Schwarzweg | 2.05 | 0.12 | 25.7 | 7.43 |
| 2023 | | | | |
| Emmenschachen | 1.8 | 0.15 | 73.68 | 6.82 |
| Schwarzweg | 2.04 | 0.07 | 37.56 | 1'026'891 ¹⁹ |

Tabelle 53 Landschaftsstrukturmasse für die beiden Untersuchungsstrecken Emmenschachen und Schwarzweg (landscape level).

Der hohe MPI-Wert im Jahr 2023 ist auf die komplexe Anhhäufung der Habitattypen zurückzuführen, weil Flächen des gleichen Typs nur durch kurze Distanzen voneinander entfernt liegen, während die Anzahl der vorgefundenen Subtypen hoch ist. Dies stellt eine Abnahme der Isolation und Fragmentierung der einzelnen Typen dar, da die Distanzen zwischen Flächen des gleichen Typs kleiner wurden.

15 Fotografische Dokumentation

15.1 Beschrieb

Grundlage

Praxisdokumentation Wirkungskontrolle (BAFU, 2019), Indikatorset 11 «Spezifische Ziele»

Definition

Geografisch eindeutig definierte fotografische Aufnahmen der Strukturen

Begründung

Die Untersuchungsstrecken werden im Laufe der Zeit eine unterschiedliche Entwicklung erfahren. Die Erhebung der anderen Indikatoren wird eher wissenschaftlich geprägte Ergebnisse liefern. Sie sind daher weniger geeignet, den ökologischen Erfolg einer breiten Öffentlichkeit aufzuzeigen. Die fotografische Dokumentation wird die strukturelle Entwicklung aus Sicht des Betrachters festhalten.

15.2 Methode Erhebung und Auswertung

Zu erhebende Daten

Fotos der Untersuchungsstrecken

Vorgehen

Die im Ausgangszustand verwendeten Fotostandorte wurden auch im 1. Projektzustand verwendet (Details vgl. Anhang C).

Erhebungen

Jeder Fotostandort wurde je einmal während Niederwasserabfluss und einmal bei Hochwasser aufgesucht.

- Niederwasser: 7.7.2023 und 11.7.2023 bei einem Restwasserabfluss 2.3 m³/s
- Hochwasser²⁰: 15.11.2023 bei > 100 m³/s

| Untersuchungsstrecken | Erhebungszustand | | |
|-----------------------|------------------|--------------|------------|
| | Niederwasser | Mittelwasser | Hochwasser |
| Emmenspitz | • | | • |
| Emmenschachen | • | | • |
| Schwarzweg | • | | • |
| Papierfabrik | • | | • |
| zusätzliche Standorte | • | | • |

Der genaue Abfluss in der Restwasserstrecke ist nicht bekannt, da unklar ist, ob das Kraftwerk trotz Hochwasser mit der üblichen Ausbauwassermenge lief, oder ob es ausgeschaltet war.

- 147 -

Auswertung

Zusammenstellung der Fotopaare (Foto Ausgangszustand und Foto 1. Projektzustand der beiden Abflüsse) in einer Dokumentation.

15.3 Resultate und Vergleich mit Ausgangszustand

Eine ausführliche fotografische Dokumentation, bei welcher Fotos des Ausgangszustandes mit Fotos des 1. Projektzustandes verglichen werden, befindet sich im Anhang C.

15.4 Kurzdiskussion

Niederwasser

Bei der Betrachtung der Fotopaare bei Niederwasserabfluss (Vergleich Ausgangszustand mit 1. Projektzustand, gleicher Standort und gleiche Blickrichtung) fällt auf, dass die Emme dank den Aufweitungen viel mehr Platz erhielt. Wo früher selbst bei Niederwasser das Gerinne oft beinahe vollständig benetzt war, säumen nun ausgedehnte Kiesbänke oder trockene Felsflächen die Ufer. Die benetzte Breite hat relativ zur gesamten Gerinnebreite deutlich abgenommen. Im Ausgangszustand floss die Emme in einigen Strecken relativ monoton. Auch diesbezüglich sind im Bereich der Aufweitungen deutliche Veränderungen erkennbar, am deutlichsten fällt dies in der Aufweitung oberhalb der Bahnbrücke bei Derendingen auf. Strukturen im Gerinne sind aber auch im 1. Projektzustand mit Ausnahme der Untersuchungsstrecke Emmenschachen immer noch kaum sichtbar.

Hochwasser

Die Erhebung der Fotos bei Hochwasser fand im Ausgangszustand bei nur knapp der Hälfte des Abflusses statt wie bei der Erhebung im 1. Projektzustand. Dank der Verbreiterung wird der doppelte Abfluss jedoch nicht als solcher wahrgenommen. Dass die Überflutungsfläche in der Untersuchungsstrecke Schwarzweg tatsächlich geflutet wurde, zeigte die Erhebung im 1. Projektzustand.

Ausblick

Dass sich die Kiesbänke innert kurzer Zeit verschieben können, wurde im Rahmen der Felderhebungen der Ufer- und Sohlenstrukturen festgestellt. Mit der fotografischen Dokumentation des 2. Projektzustandes wird die eigendynamische Entwicklung in Projektzustand festgehalten werden.

16 Auentypische Pflanzenarten

16.1 Beschrieb

Grundlage

Praxisdokumentation Wirkungskontrolle (BAFU, 2019), Indikator Set 8 Ufervegetation, 8.1 Auen(un)typische Pflanzenarten

Definition

Vorkommen, Häufigkeit und Deckungsgrad ausgewählter Zielarten und invasiver Neophyten

16.2 Methode Erhebung und Auswertung

Zu erhebende Daten

Anzahl Individuen bzw. deren besiedelte Fläche in den potenziellen Auenflächen. Als Zielarten wurden folgende auentypischen Pflanzenarten festgelegt:

- Silber-Weide (*Salix alba*)
- Lavendel-Weide (Salix elaeagnos)
- Rosmarin-Weidenröschen (*Epilobium dodonaei*)
- Sanddorn (Hippophaë rhamnoides)

Sowie folgende invasive Neophyten:

- Japanischer Staudenknöterich (Reynoutria japonica)
- Robinie (*Robinia pseudoacacia*)

Auf explizitem Wunsch der Abteilung Amt für Raumplanung, Kanton Solothurn wurden ab dem Jahr 2023 zusätzlich folgende Arten des Nanocyperions untersucht:

- Borstige Moorbinse (Isolepis setacea)
- Stachelige Flechtbinse (Schoenoplectus mucronatus)
- Gemeines Fettblatt (Pinquicula vulgaris)
- Kröten-Binse (Juncus bufonius)
- Schwarzbraunes Zyperngras (Cyperus fuscus)

Die durch den Kanton Solothurn angesiedelten Arten Deutsche Tamariske (*Myricaria germanica*) und der Zwerg-Rohrkolben (*Typha minima*) wurden während der Begehung erhoben, jedoch nicht in die Wirkungskontrolle inkludiert. Die Daten wurden ebenfalls bei Infospecies gemeldet.

Vorgehen

Die Erhebungen erfolgten in einer Feldkartierung (mehrere Begehungen zwischen Juni und September 2023), die Daten wurden mittels Florapp erhoben.

Innerhalb der fünf Teilperimeter (Emmenspitz, Emmenschachen, Rüti, Schwarzweg und Papierfabrik) wurden sämtliche Individuen, resp. kolonisiere Flächen der Zielarten aufgenommen. Die vollständige Artenliste der Erhebungen ist im Anhang D zu finden, die Daten wurden bei Infospecies eingespiesen.

Auswertung

Im Rahmen der Ausgangserhebung wurde nur eine von vier Arten vorgefunden (*Salix alba*), die im Jahr 2023 zusätzlich untersuchten Pflanzenarten waren bei der Ausgangserhebung im Perimeter noch nicht vorkommend, hierfür wurde die Datenbankabfrage Infospecies vom Juni 2023 mit den Daten älter als 2018 geprüft (Infospecies, 2023). Die Erhebung der invasiven Neophyten im Ausgangszustand fanden im August 2017 statt, jedoch teilweise wenig detailliert und nur in den beiden Teilperimetern Schwarzweg und Papierfabrik. Für die Auswertung wurde gemäss Methodenbeschrieb (BAFU, 2019)vorgegangen und jeweils für die Ausgangslage (nachträglich), als auch für das Aufnahmejahr 2023 das Auswertungsraster ausgefüllt und die standardisierten Werte ermittelt. Pro Pflanzenart wurden standardisierte Richtwerte zwischen o und 1 festgelegt und mit den erhobenen Daten verglichen. Bei den Zielarten ist eine Steigerung der Individuenzahl/kolonisierten Fläche positiv, für Neophyten negativ.

| Name Pflanzenart | Zielart / Neophyt | 0-Richtwert pro km Fliesstrecke | 1- Richtwert pro km Fliesstrecke | Messgrösse |
|---------------------------|----------------------|---------------------------------------|---|---------------------|
| Salix alba | Zielart | 0 | 1000 | Kolonisierte Fläche |
| Salix elaeagnos | Zielart | 0 | 500 | Kolonisierte Fläche |
| Epilobium dodonaei | Zielart | 0 | 50 | Kolonisierte Fläche |
| Hippophae rhamnoides | Zielart | 0 | 100 | Kolonisierte Fläche |
| Isolepis setacea | Zielart | 0 | 20 | Anzahl Individuen |
| Schoenoplectus mucronatus | Zielart | 0 | 40 | Anzahl Individuen |
| Pinguicula vulgaris | Zielart | 0 | 20 | Anzahl Individuen |
| Juncus bufonius | Zielart | 0 | 100 | Anzahl Individuen |
| Cyperus fuscus | Zielart | 0 | 20 | Anzahl Individuen |
| Reynoutria japonica aggr. | Neophyt | 600 | 0 | Kolonisierte Fläche |
| Robinia pseudoacacia | Neophyt | 2000 | 20 | Anzahl Individuen |

Tabelle 54 Zusammenstellung der definierten standardisierten Werte pro Pflanzenart.

16.3 Resultate

Pro Teilperimeter wurden jeweils die standardisierten Werte der Ausgangslage mit deren der 1. Nacherhebung einander gegenübergestellt.

16.3.1 Emmenspitz

| Name Pflanzenart | | |
|---------------------------|--------------|------|
| Zielarten | Ausgangslage | 2023 |
| Salix alba | 0.06 | 0.29 |
| Salix elaeagnos | 0.00 | 0.03 |
| Epilobium dodonaei | 0.00 | 0.00 |
| Hippophae rhamnoides | 0.00 | 0.00 |
| Isolepis setacea | 0.00 | 0.00 |
| Schoenoplectus mucronatus | 0.00 | 0.00 |
| Pinguicula vulgaris | 0.00 | 0.00 |
| Juncus bufonius | 0.00 | 0.00 |
| Cyperus fuscus | 0.00 | 0.00 |

| Neophyten | | |
|---------------------------|---|------|
| Reynoutria japonica aggr. | - | 1.00 |
| Robinia pseudoacacia | - | 0.83 |

Tabelle 55 Standardisierte Werte der auentypischen Pflanzenarten für die Untersuchungsstrecke Emmenspitz

16.3.2 Emmenschachen

| Name Pflanzenart | | |
|---------------------------|--------------|------|
| Zielarten | Ausgangslage | 2023 |
| Salix alba | 0.08 | 0.16 |
| Salix elaeagnos | 0.00 | 0.16 |
| Epilobium dodonaei | 0.00 | 0.00 |
| Hippophae rhamnoides | 0.00 | 0.00 |
| Isolepis setacea | 0.00 | 0.00 |
| Schoenoplectus mucronatus | 0.00 | 0.00 |
| Pinguicula vulgaris | 0.00 | 0.00 |
| Juncus bufonius | 0.00 | 0.00 |
| Cyperus fuscus | 0.00 | 0.00 |
| | | |
| Neophyten | | |
| Reynoutria japonica aggr. | - | 1.00 |
| Robinia pseudoacacia | - | 0.00 |

Tabelle 56 Standardisierte Werte der auentypischen Pflanzenarten für die Untersuchungsstrecke Emmenschachen

16.3.3 Rüti

| Name Pflanzenart | | | |
|---------------------------|--------------|------|--|
| Zielarten | Ausgangslage | 2023 | |
| Salix alba | 0.04 | 0.00 | |
| Salix elaeagnos | 0.00 | 0.14 | |
| Epilobium dodonaei | 0.00 | 0.00 | |
| Hippophae rhamnoides | 0.00 | 0.00 | |
| Isolepis setacea | 0.00 | 0.00 | |
| Schoenoplectus mucronatus | 0.00 | 0.00 | |
| Pinguicula vulgaris | 0.00 | 0.00 | |
| Juncus bufonius | 0.00 | 0.00 | |
| Cyperus fuscus | 0.00 | 0.00 | |

| Neophyten | | |
|---------------------------|---|------|
| Reynoutria japonica aggr. | - | 1.00 |
| Robinia pseudoacacia | - | 0.90 |

Tabelle 57 Standardisierte Werte der auentypischen Pflanzenarten für die Untersuchungsstrecke Rüti

16.3.4 Schwarzweg

| Name Pflanzenart | | | |
|---------------------------|--------------|------|--|
| Zielarten | Ausgangslage | 2023 | |
| Salix alba | 0.10 | 1.00 | |
| Salix elaeagnos | 0.00 | 0.55 | |
| Epilobium dodonaei | 0.00 | 0.00 | |
| Hippophae rhamnoides | 0.00 | 0.00 | |
| Isolepis setacea | 0.00 | 0.11 | |
| Schoenoplectus mucronatus | 0.00 | 0.57 | |
| Pinguicula vulgaris | 0.00 | 0.00 | |
| Juncus bufonius | 0.00 | 1.00 | |
| Cyperus fuscus | 0.00 | 0.46 | |

| Neophyten | | |
|---------------------------|------|------|
| Reynoutria japonica aggr. | 0.96 | 1.00 |
| Robinia pseudoacacia | 0.00 | 0.52 |

Tabelle 58 Standardisierte Werte der auentypischen Pflanzenarten für die Untersuchungsstrecke Schwarzweg

16.3.5 Papierfabrik

| Name Pflanzenart | | |
|---------------------------|--------------|------|
| Zielarten | Ausgangslage | 2023 |
| Salix alba | 0.02 | 1.00 |
| Salix elaeagnos | 0.00 | 0.33 |
| Epilobium dodonaei | 0.00 | 0.00 |
| Hippophae rhamnoides | 0.00 | 0.00 |
| Isolepis setacea | 0.00 | 0.09 |
| Schoenoplectus mucronatus | 0.00 | 0.00 |
| Pinguicula vulgaris | 0.00 | 0.00 |
| Juncus bufonius | 0.00 | 1.00 |
| Cyperus fuscus | 0.00 | 0.00 |

| Neophyten | | |
|---------------------------|------|------|
| Reynoutria japonica aggr. | 0.95 | 0.98 |
| Robinia pseudoacacia | 0.00 | 0.77 |

Tabelle 59 Standardisierte Werte der auentypischen Pflanzenarten für die Untersuchungsstrecke Papierfabrik

16.4 Vergleich mit Ausgangszustand

Im Ausgangszustand konnte nur die Zielart Silberweide *Salix alba* erhoben werden, in eher geringer Zahl. Es fehlte an Pionierlebensräumen, Kiesbänken und Übersarungsflächen. Erfreulicherweise konnten sich im Jahr 2023 diverse Kiesbänke ausbilden und beide Weidenarten in hoher Zahl und in allen Teilperimetern festgestellt werden. Die ebenfalls typischen Kiesbank-Arten *Epilobium dodonaei* und *Hippophae rhamnoides* wurden auch im Jahr 2023 nicht vorgefunden.

Bereits kurz nach Projektumsetzung konnten am Schwarzweg und bei der Papierfabrik erste Pflanzenarten des Nanocyperions entdeckt werden (Schwaller, 2023), was dazu führte, dass diese teilweise seltenen, hoch spezialisierten Arten im Jahr 2023 miterhoben wurden (nur in der Erhebung 2023). Das Ziel, dass Lebensräume für die Entstehung von Weichholzauen und Pionierarten entstehen sollen, konnte mit der Umsetzung des Revitalisierungsprojektes klar verbessert werden.

Neophyten wurden im Jahr 2017 nur beim Schwarzweg und bei der Papierfabrik erhoben. Bei den invasiven Neophyten kann festgestellt werden, dass der Japanische Staudenknöterich im Jahr 2023 nur noch bei der Papierfabrik gefunden werden konnte. Die Robinie ist v.a. im Emmenschachen noch stark vorherrschend, wird aktuell jedoch nicht bekämpft. In den weiteren Perimetern ist die Robinie ebenfalls vertreten.

16.5 Kurzdiskussion

Ausgangszustand:

Erwartungsgemäss kamen die typischen Pionier- bzw. Ruderalpflanzen in den untersuchten Strecken im Ausgangszustand nur beschränkt und in sehr geringer Zahl oder überhaupt (noch) nicht vor. Sie beanspruchen Habitate, welche sich durch die Revitalisierung erst noch einstellen sollten. Als einzige der ausgewählten auentypischen Pflanzenarten konnte die Silber-Weide *Salix alba* kartiert werden.

Erste Nacherhebung:

Am Schwarzweg und bei der Papierfabrik haben sich offene Pionierflächen entwickeln können mit sandigen bis kiesigen Bereichen, durchsetzt mit temporären Wasserstellen, kleinen Rinnsalen, aber auch v.a. im westlichen Bereich am Schwarzweg mit starkem Aufwuchs von Weiden, Schilf und Rohrkolben. Aktuell sind beide Flächen hochinteressant v.a. für Pflanzen des Nanocyperions. Tendenziell ist die Dynamik vermutlich zu schwach, die Flächen wachsen bereits ein und sind teilweise schon fast flächig mit Weiden überwachsen. Dieser Prozess wird voraussichtlich weiter voranschreiten und kleinwüchsige, spezialisierte Pflanzenarten von Kiesbänken und feuchten Ruderalflächen verdrängen. Vermutlich ist die Fläche zu wenig dynamisch eingestellt, regelmässige Überflutungen fehlen. Um den aktuellen Wert erhalten zu können, wäre es erstrebenswert, die Dynamik in beiden Übersarungsflächen leicht zu erhöhen.





Abbildung 71 Fotos Schwarzweg

Links: bereits stark eingewachsene Fläche mit aufkommenden

Weider

Rechts: offene, sandige Fläche, interessant für Arten des

Nanocyperions

Am Emmenspitz, Emmenschachen und Rüti haben dank neuen Kiesbänken und Ruderalflächen die Weiden stark zugenommen, die Flächen sind jedoch immer noch stark von Wald geprägt, Überflutungsflächen fehlen jedoch gänzlich, die neuen Stehgewässer mit neu angelegten und ehemals offenen Umgebungsbereichen sind bereits stark eingewachsen und sind vom Flusssystem abgekoppelt (für Amphibien

ideal, da somit fischfrei). Somit fehlen an diesen drei Standorten die Arten des Nanocyperions.

Invasive Neophyten werden aktuell nur teilweise bekämpft, es wäre wichtig, den japanischen Staudenknöterich vollständig aus dem Projektperimeter zu entfernen. Bei der Robinie, welche zahlreicher vorkommt, ist dies schwieriger umzusetzen. Die Entfernung der Samenbäume und eine jährliche Bekämpfung des Jungwuchses würde sich lohnen, um die erreichten Naturwerte halten zu können. Während der Felderhebung wurden weitere invasive Neophyten beobachtet, u.a. der Kirschlorbeer, sowie der Sommerflieder, vereinzelt auch Goldruten und Springkraut.

17 Bestandserhebung Fische

17.1 Beschrieb

Grundlage Auswertung gemäss Modulstufenkonzept Fische (in Bearbeitung, Veröffentlichung

2024)21

Definition Quantitative Erhebung des Fischbestandes

Begründung Die Förderung aquatischer Strukturen ist gemäss Leitbild eines der wichtigsten

Entwicklungsziele. Davon sollen in erster Linie die Fische profitieren. Im Rahmen der Wirkungskontrolle soll der Ausgangszustand mit dem heutigen Zustand (Projektzustand 1) verglichen werden. Die Erhebungen fanden 2010 und 2023 statt.

17.2 Methode Erhebung und Auswertung

Zu erhebende Daten Es wurden Art, Anzahl, Gewicht und Länge der gefangenen Fische vor und nach der

Umsetzung erhoben.

Vorgehen Fische: Quantitative Bestandeserhebung

Zwei Strecken wurden jeweils vor (2010) und nach (2023) der Revitalisierung quantitativ in zwei Durchgängen abgefischt. Der Startpunkt war in beiden Jahren derselbe, jedoch wurden 2023, nach Absprache mit der kantonalen Fachstelle, beide Strecken um 80 m gekürzt (Abbildung 72), zwecks gleichbleibenden Aufwands (die Strecken waren nach der Revitalisierung deutlich breiter). Die Kürzung birgt kaum ein Risiko des Verlusts an Datenqualität. Die Strecke "Derendingen" liegt oberhalb der Emmebrücke bei Derendingen und die Strecke "Luterbach" oberhalb der Autobahnbrücke zwischen Derendingen und Luterbach (Abbildung 72). Die Bestandeserhebungen wurden in beiden Jahren von der Firma Aquatica GmbH (J. Guthruf) organisiert und durchgeführt.

155

_

²¹ Soll in die Wirkungskontrolle Revitalisierung des BAFU (2022) integriert werden.

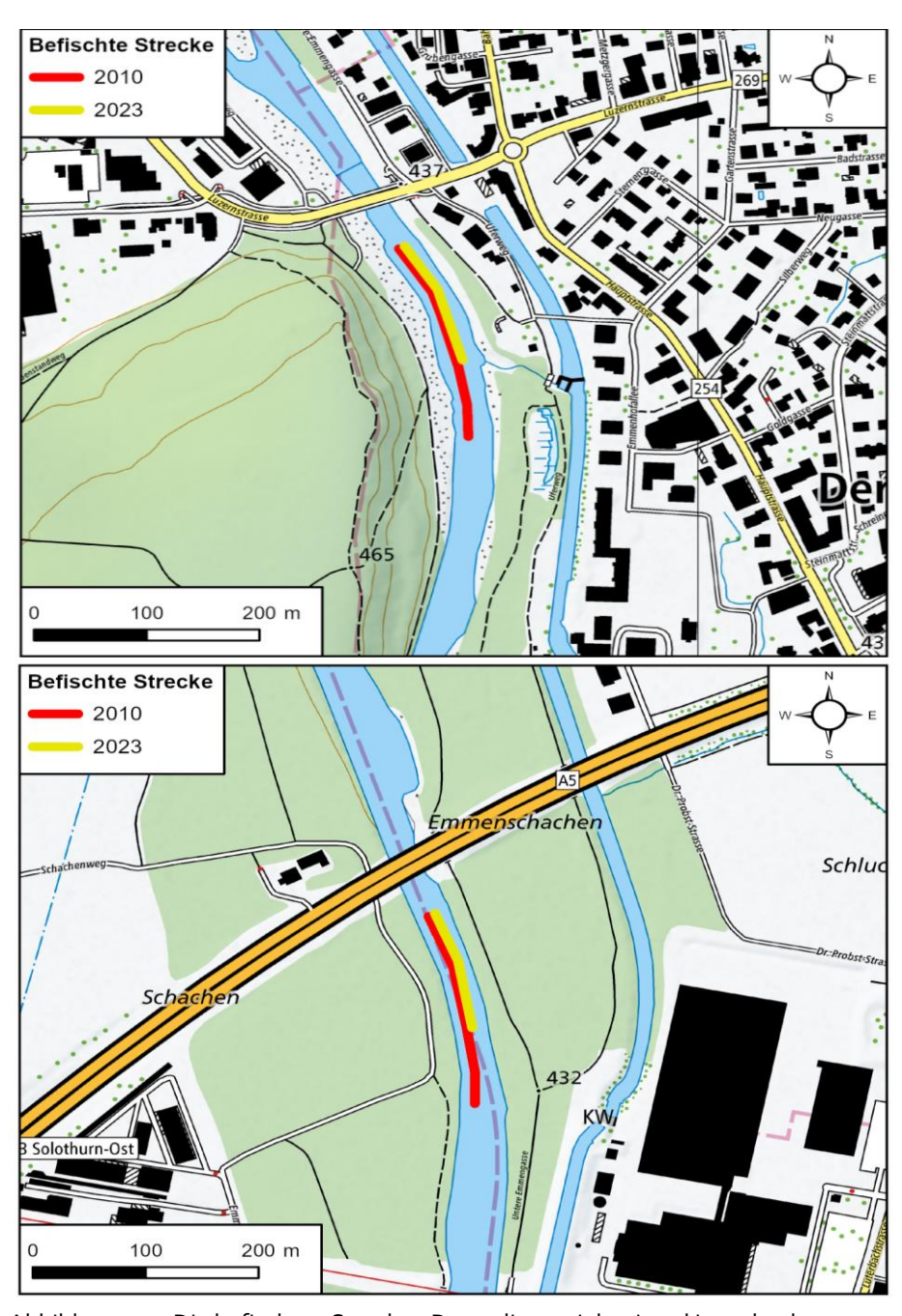


Abbildung 72 Die befischten Strecken Derendingen (oben) und Luterbach (unten) in den verschiedenen Erhebungsjahren (© Hintergrundkarte: Swisstopo).

Erhebungen

| Untersuchungsstrecken | Erhebungszustand | | | | | | |
|-----------------------|------------------|--------|--------|--------|--------------|--------------|------------|
| | Frühling | Sommer | Herbst | Winter | Niederwasser | Mittelwasser | Hochwasser |
| Derendingen | | | • | | • | | |
| Luterbach | | | • | | • | | |

Die Erhebungen erfolgten in beiden Untersuchungsstrecken am 16.10.2023 bei guten Bedingungen (gute Witterung, keine Trübung) und bei minimalem Restwasserabfluss (1.8 m³/s).

Derendingen

Koordinaten (Länge 120 m):

Unteres Streckenende: 2'610'735 / 1'227'567 Oberes Streckenende: 2'610'798 / 1'227'455

Luterbach

Koordinaten (Länge 120 m):

Unteres Streckenende: 2'610'480 / 1'228'413 Oberes Streckenende: 2'610'510 / 1'228'299

Auswertung

Die Daten beider Jahre wurden mit dem auf das Modulstufenkonzept Fische (2024) abgestimmten Tool FishAssess (Version 1-00) ausgewertet und verglichen. Diese Methode legt einen differenzierten Fokus auf das Artenvorkommen und Artendichten entlang der Längszonierung. Bei der Bewertung des Ausgangszustandes war dieser Ansatz noch nicht verfügbar. Der Ansatz enthält eine deutlich präzisere Form der Bewertung und wurde folglich für geeignet befunden den Indikator "Bestandeserhebung Fische" auszuwerten. Für diesen Bericht wurden daher die Daten des Ausgangszustandes (2010) nochmals ausgewertet und mit dem Projektzustand 1 (2023) verglichen – was möglich war, da die Erhebungsmethodik grundsätzlich dieselbe war (quantitative Befischung). Bewertet wurden Artenspektrum, Dominanzverhältnis, Dichte und Biomasse sowie die Populationsstruktur (Längenhäufigkeitsverteilung). Für die Bewertung des Artenspektrums wurde eine Referenzfauna von 13 Arten festgelegt.

17.3 Resultate

Bei den Befischungen 2010 wurden insgesamt 7 Arten gefangen, die, mit Ausnahme der Regenbogenforelle, standorttypisch sind. Nach der Revitalisierung wurden insgesamt 12 Arten nachgewiesen (Tabelle 60). Die gegenüber 2010 zusätzlich nachgewiesenen Arten waren Gründling, Schneider, Rotauge, Schleie, ital. Steinbeisser und Stichling. Der Gründling und der Schneider sind Referenzarten. Das Rotauge und die Schleie sind zwar standorttypisch jedoch keine zwingend zu erwartenden Arten der Referenzfauna. Der ital. Steinbeisser und der Stichling werden als standortfremd betrachtet²². Die einzige Art, die gegenüber 2010 nicht mehr nachgewiesen wurde, ist die Regenbogenforelle. Als gegenüber der Referenzfauna fehlende Arten konnten in beiden Jahren die Äsche, das Bachneunauge und die Nase ausgemacht werden (Tabelle 60).

| Art | Deren | dingen | Luter | bach | St | atus |
|--------------------------|-------|--------|-------|------|-------------|---------------|
| | 2010 | 2023 | 2010 | 2023 | Referenzart | Standortfremd |
| Alet | х | х | | х | х | |
| Äsche | | | | | x | |
| Bachforelle | х | x | х | х | х | |
| Bachneunauge | | | | | х | |
| Barbe | х | х | х | х | х | |
| Ital. Steinbeisser | | | | х | | x |
| Elritze | х | x | х | х | х | |
| Groppe | х | х | х | X | х | |
| Gründling | | х | | х | х | |
| Nase | | | | | х | |
| Regenbogenforelle | х | | | | | x |
| Rotauge | | x | | | х | |
| Schleie | | | | х | х | |
| Schmerle, Bartgrundel | x | x | x | x | x | |
| Schneider | | x | | x | х | |
| Stichling | | x | | x | | х |
| Summe | 7 | 10 | 5 | 11 | 13 | 3 |

Tabelle 60 Artenzusammensetzung 2010 und 2023 im Vergleich zur Referenzfauna.

²² Der ital. Steinbeisser könnte gemäss neuesten Untersuchungen der Eawag bereits seit sehr langer Zeit die einzige Steinbeisser Art in diesen Breitengraden sein. Dementsprechend ist unsicher, ob er tatsächlich standortfremd ist.

Tabelle 61 zeigt die Anteile der jeweiligen Arten am Total der gefangenen Fische. Es gilt zu beachten, dass die befischte Fläche der Abschnitte im Ausgangszustand und im Projektzustand 1 nicht gleich waren. Dies zum einen, weil die Strecke 2023 gekürzt wurde und zum anderen, durch die Änderung der benetzten Fläche infolge der Veränderung der Uferlinie nach der Revitalisierung. Um die Zustände besser vergleichen zu können wurde deshalb die Individuendichte in FishAssess nach (Carle, 1978) geschätzt.

In beiden Abschnitten wurden 2023 deutlich mehr Fische gefangen als im Ausgangszustand. Im Ausgangszustand waren in beiden Abschnitten Elritzen, Schmerlen und Groppen die häufigsten Arten, während dies im Projektzustand 1 im Abschnitt Derendingen auf die Arten Elritze, Schmerle und Schneider und in der Strecke Luterbach Schmerle, Elritze und Barbe zutraf (Tabelle 61).

| Abschnitt | Derendinge | en | | | | |
|---------------------|------------|--------|------------|-----------|--------|------------|
| Jahr | | 2010 | | | 2023 | |
| | Anz. | | | Anz. | | |
| | Individue | Dichte | | Individue | Dichte | |
| | n | [n/ha] | Anteil [%] | n | [n/ha] | Anteil [%] |
| Alet | 19 | 52 | 1.6 | 156 | 892 | 3.3 |
| Atlantische Forelle | | | | | | |
| - Bachforelle | 46 | 137 | 3.8 | 9 | 44 | 0.2 |
| Barbe | 5 | 14 | 0.4 | 89 | 572 | 1.9 |
| Cobite italiano | 0 | 0 | 0.0 | 0 | 0 | 0.0 |
| Elritze | 503 | 1863 | 41.3 | 3150 | 20780 | 67.4 |
| Groppe | 241 | 660 | 19.8 | 20 | 99 | 0.4 |
| Gründling | 0 | 0 | 0.0 | 53 | 320 | 1.1 |
| Regenbogenforelle | 1 | n.a | 0.1 | 0 | 0 | 0.0 |
| Rotauge | 0 | 0 | 0.0 | 5 | 25 | 0.1 |
| Schleie | 0 | 0 | 0.0 | 0 | 0 | 0.0 |
| Schmerle, | | | | | | |
| Bartgrundel | 402 | 1447 | 33.0 | 746 | 5831 | 16.0 |
| Schneider | 0 | 0 | 0.0 | 441 | 2450 | 9.4 |
| Stichling | 0 | 0 | 0.0 | 3 | 15 | 0.1 |
| Total | 1217 | 4173 | 100.0 | 4672 | 31028 | 100.0 |

| Abschnitt | Luterbach | | | | | |
|---------------------|-----------|--------|------------|-----------|--------|------------|
| Jahr | | 2010 | | | 2023 | |
| | Anz. | | | Anz. | | |
| | Individue | Dichte | | Individue | Dichte | |
| | n | [n/ha] | Anteil [%] | n | [n/ha] | Anteil [%] |
| Alet | 0 | 0 | 0.0 | 558 | 3072 | 6.7 |
| Atlantische Forelle | | | | | | |
| - Bachforelle | 7 | 16 | 0.8 | 3 | 15 | 0.0 |
| Barbe | 1 | 2 | 0.1 | 783 | 4553 | 9.4 |
| Cobite italiano | 0 | 0 | 0.0 | 1 | 5 | 0.0 |
| Elritze | 355 | 1300 | 41.4 | 3354 | 22690 | 40.3 |
| Groppe | 88 | 397 | 10.3 | 37 | 268 | 0.4 |
| Gründling | 0 | 0 | 0.0 | 52 | 372 | 0.6 |
| Regenbogenforelle | 0 | 0 | 0.0 | 0 | 0 | 0.0 |
| Rotauge | 0 | 0 | 0.0 | 0 | 0 | 0.0 |
| Schleie | 0 | 0 | 0.0 | 4 | 21 | 0.0 |
| Schmerle, | | | | | | |
| Bartgrundel | 407 | 1519 | 47.4 | 3446 | 28689 | 41.4 |
| Schneider | 0 | 0 | 0.0 | 85 | 480 | 1.0 |
| Stichling | 0 | 0 | 0.0 | 4 | 21 | 0.0 |
| Total | 858 | 3234 | 100.0 | 8327 | 60186 | 100.0 |

Tabelle 61 Total der gefangenen Individuen pro Art, Ihre Anteile am Total und die geschätzte Dichte nach (Carle, 1978).

17.3.1 Bewertung Artenspektrum & Dominanzverhältnis

Abschnitt Derendingen Der Abschnitt Derendingen hat sich gegenüber dem Ausgangszustand (2010) in der Bewertung des Artenspektrums um eine Klasse von "unbefriedigend" auf "mässig" verbessert (Tabelle 62), die Bewertung des Dominanzverhältnisses blieb unverändert bei "sehr gut". Hauptverantwortlich für die bessere Bewertung des Artenspektrums ist der zusätzliche Nachweis von Schneider und Gründling bei den Befischungen 2023. Eine bessere Bewertung wird aufgrund des Fehlens gewisser standorttypischer Arten nicht erreicht (Äsche, Nase, Bachneunauge). Die detaillierten Werte finden sich im Anhang E.

| Abschnitt Derendingen | 2010 | | 20 | 23 |
|---|----------------|--------|-------------|--------|
| | Wert | Klasse | Wert | Klasse |
| Artenspektrum | | | | |
| F1: Beobachtungswert (beobachtete Arten) | 480.2 | | 694.0 | |
| F2: Erwartungswert (erwartete Arten) | 1131.9 | | 1064.1 | |
| Differenz F1/F2 | 651.7 | | 370.1 | |
| Anteil F1 [%] | 42.4 | | 65.2 | |
| Bewertung Artenspektrum (Wert) | 0.260 | | 0.553 | |
| Bewertung Artenspektrum (Beschreibung) | Unbefriedigend | 4 | Mässig | 3 |
| Dominanzverhältnisse | | | | |
| F1: Summe typische Arten [No/ha] | 3332 | | 42962 | |
| F2: Summe atypische Arten [No/ha] | 3 | | 26 | |
| Anteil der typischen Arten | 99.9 % | | 99.9 | |
| Bewertung Dominanzverhältnisse (Wert) | 0.996 | | 0.997 | |
| Bewertung Dominanzverhältnisse (Beschreibung) | Sehr gut | 1 | Sehr gut | 1 |

Tabelle 62 Bewertung des Artenspektrums und des Dominanzverhältnisses nach FishAssess des Abschnittes Derendingen 2010 und 2023.

Abschnitt Luterbach

Der Abschnitt Luterbach hat sich gegenüber dem Ausgangszustand (2010) in der Bewertung des Artenspektrums um zwei Klassen von "schlecht" auf "mässig" deutlich verbessert (Tabelle 63), die Bewertung der Dominanzverhältnisse blieb unverändert "sehr gut". Wie im Abschnitt Derendingen, ist der zusätzliche Nachweis von Alet, Schneider und Gründling bei den Befischungen 2023 Hauptursache für die Verbesserung. Eine bessere Bewertung wird aufgrund des Fehlens gewisser standorttypischer Arten nicht erreicht (Äsche, Nase, Bachneunauge). Die detaillierten Werte finden sich im Anhang E.

| Abschnitt Luterbach | 20: | 10 | 20 | 23 |
|--|----------|--------|-------------|--------|
| | Wert | Klasse | Wert | Klasse |
| Artenspektrum | | | | |
| F1: Beobachtungswert (beobachtete Arten) | 389.5 | | 694.0 | |
| F2: Erwartungswert (erwartete Arten) | 1119.1 | | 1064.1 | |
| Differenz F1/F2 | 729.6 | | 370.1 | |
| Anteil F1 [%] | 34.8 | | 65.2 | |
| Bewertung Artenspektrum (Wert) | 0.162 | | 0.553 | |
| Bewertung Artenspektrum (Beschreibung) | Schlecht | 5 | Mässig | 3 |
| Dominanzverhältnisse | | | | |
| F1: Summe typische Arten [No/ha] | 2013 | | 42962 | |
| F2: Summe atypische Arten [No/ha] | 0 | | 26 | |
| Anteil der typischen Arten | 100 | | 99.9 | |
| Bewertung Dominanzverhältnisse (Wert) | 1.000 | | 0.997 | |
| Bewertung Dominanzverhältnisse (Beschreibung) | Sehr gut | 1 | Sehr gut | 1 |

Tabelle 63 Bewertung des Artenspektrums und des Dominanzverhältnisses nach FishAssess des Abschnittes Luterbach 2010 und 2023.

17.3.2 Bewertung Individuendichte & Biomasse

Abschnitt Derendingen Der Abschnitt Derendingen hat sich gegenüber dem Ausgangszustand (2010) in Bezug auf die Individuendichte deutlich von "schlecht" um 2 Klassen auf "mässig" verbessert. Die Bewertung der Biomasse blieb gleich (Tabelle 64). Die Dichte ist bei Alet, Barbe, Elritzen und Schmerlen gegenüber 2010 deutlich gestiegen. Dies führte trotz der geringeren Dichten von Groppen und Bachforellen gegenüber 2010 zu einer besseren Bewertung. Die grössten Defizite bestehen bei Gründling, Bachforelle und Groppe. Dass sich die Biomassendichte trotz mehr gefangen Fischen nicht verbessert hat, ist hauptsächlich den geringen Biomassen von Gründlingen, Schmerlen und Groppen zuzuschreiben. Die detaillierten Werte finden sich im Anhang E.

| Abschnitt Derendingen | 2010 | | 20 | 23 |
|---|----------|--------|--------|--------|
| | Wert | Klasse | Wert | Klasse |
| Individuendichte | | | | |
| Summe beobachtete Abweichung (Beobachtungsklasse - Erwartungsklasse) | -292.7 | | -215.5 | |
| Summe maximal mögliche Abweichung | -365.2 | | -533.6 | |
| Relative Abweichung | 0.8 | | 0.4 | |
| Bewertung Individuendichte (Wert) | 0.2 | | 0.6 | |
| Bewertung Individuendichte (Beschreibung) | Schlecht | 5 | Mässig | 3 |
| Biomassendichte | | | | |
| Summe beobachtete Abweichung (Beobachtungsklasse -Erwartungsklasse) | -215.2 | | -233.3 | |
| Summe maximal mögliche Abweichung | -365.2 | | -533.6 | |
| Relative Abweichung | 0.59 | | 0.44 | |
| Bewertung Biomassendichte (Wert) | 0.41 | | 0.56 | |
| Bewertung Biomassendichte (Beschreibung) | Mässig | 3 | Mässig | 3 |

Tabelle 64 Bewertung der Individuendichte und Biomasse nach FishAsses des Abschnittes Derendingen 2010 und 2023.

Abschnitt Luterbach

Der Abschnitt Luterbach hat sich gegenüber dem Ausgangszustand (2010) in Bezug auf die Individuendichte deutlich um 3 Klassen von "schlecht" auf "gut" verbessert (Tabelle 70). Hauptursache für die Verbesserung der Individuendichte waren die höheren Dichten von Schmerlen, Barben und Elritzen. Defizite bestehen aktuell bei der Individuendichte von Gründling, Groppe und Bachforelle. Die Individuendichten von Bachforellen und Groppen sind zudem geringer als 2010, jedoch nur in geringem Masse. Die Bewertung der Biomassendichte verbesserte sich um eine

Klasse von "unbefriedigend" auf "mässig" (Tabelle 65). Die detaillierten Werte finden sich im Anhang E.

| Abschnitt Luterbach | 2010 | | 20 | 23 |
|--|----------------|--------|--------|--------|
| | Wert | Klasse | Wert | Klasse |
| Individuendichte | | | | |
| Summe beobachtete Abweichung (Beobachtungsklasse -Erwartungsklasse) | -227.0 | | -160.6 | |
| Summe maximal mögliche Abweichung | -274.5 | | -526.8 | |
| Relative Abweichung | 0.83 | | 0.3 | |
| Bewertung Individuendichte (Wert) | 0.17 | | 0.7 | |
| Bewertung Individuendichte (Beschreibung) | Schlecht | 5 | Gut | 2 |
| Biomassendichte | | | | |
| Summe beobachtete Abweichung (Beobachtungsklasse -Erwartungsklasse) | -209.5 | | -245.1 | |
| Summe maximal mögliche Abweichung | -274.5 | | -519.3 | |
| Relative Abweichung | 0.76 | | 0.47 | |
| Bewertung Biomassendichte (Wert) | 0.24 | | 0.53 | |
| Bewertung Biomassendichte (Beschreibung) | Unbefriedigend | 4 | Mässig | 3 |

Tabelle 65 Bewertung der Individuendichte und Biomasse nach FishAsses des Abschnittes Luterbach 2010 und 2023.

17.3.3 Bewertung Populationsstruktur

Aufgrund der Zuweisung zur unteren Äschenregion, ist gemäss MSK Fische (2024) von den nachgewiesenen Arten lediglich der Schneider für die Bewertung der Populationsstruktur relevant. Der Schneider wurde im Ausgangszustand (2010) jedoch in keiner der beiden Strecken nachgewiesen. Eine Bewertung kann folglich nur für den Projektzustand 1 vorgenommen werden.

Abschnitt Derendingen Der Abschnitt Derendingen erhält den Wert o.67 und damit die Bewertung "gut" (Tabelle 66). o⁺ Fische waren in der Strecke ausreichend vertreten, übrige Juvenile erreichten ein mittleres Vorkommen und von Adulten war ein schwaches Vorkommen vorhanden. Die Längenverteilung des Abschnittes findet sich in Abbildung 73.

| Abschnitt Derendingen | 2010 | 2010 | | |
|--|-----------------|-----------|--------|--|
| | Wert | Wert | Klasse | |
| Populationsstruktur | | | | |
| Bewertung o+-Fische (Wert) | | 1.00 | | |
| Bewertung übrige juvenile Fische (Wert) | | 0.75 | | |
| Bewertung adulte Fische (Wert) | Keine Bewertung | ı möglich | 0.50 | |
| Mittelwert über alle Arten (Wert) | (keine Schne | | 0.75 | |
| Bewertung Populationsstruktur (Wert) | nachgewiesen) | | 0.67 | |
| Bewertung Populationsstruktur (Beschreibung) | | Gut | 2 | |

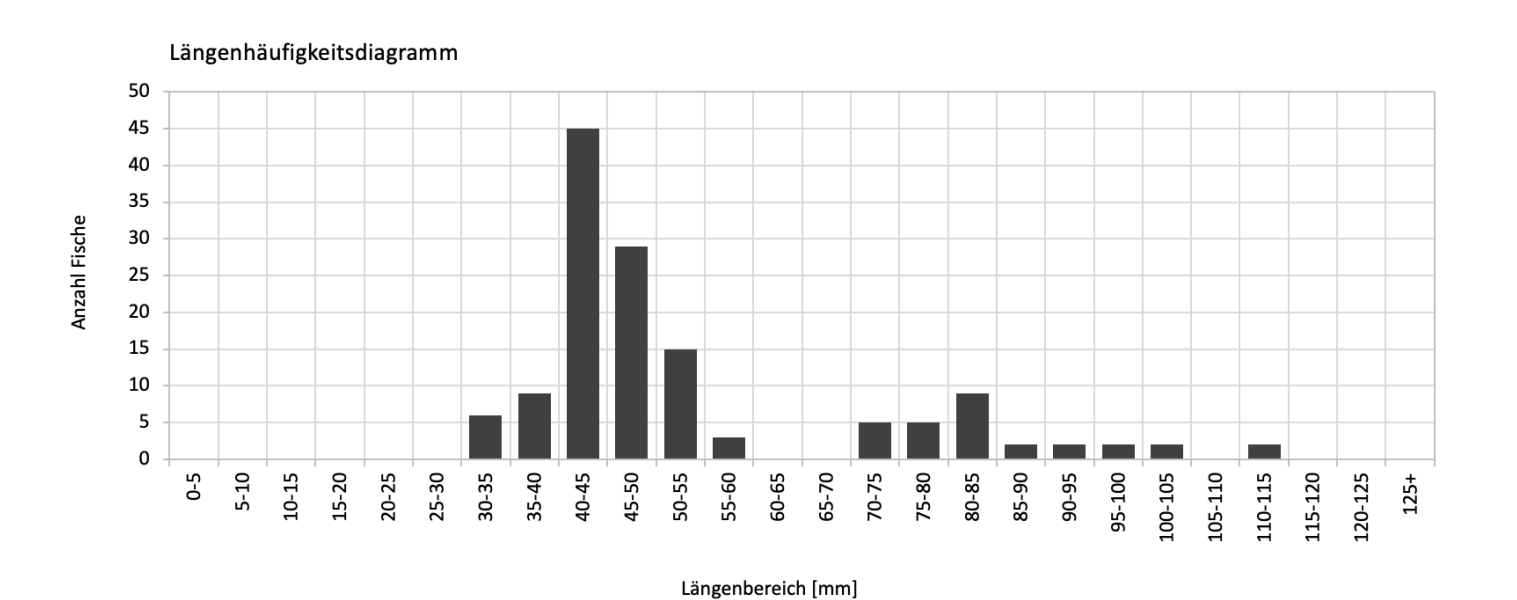
Tabelle 66 Bewertung der Populationsstruktur im Abschnitt Derendingen

Abschnitt Luterbach

Der Abschnitt Luterbach erhält den Wert o.56 und ist so an der oberen Grenze der Bewertung "mässig" (Tabelle 67). o⁺ Fische waren in der Strecke ausreichend vertreten, übrige Juvenile erreichten ein mittleres Vorkommen und von Adulten waren lediglich Einzeltiere vorhanden. Die Verteilung über die verschiedenen Altersklassen ergibt zwar ein gutes Bild, aber die geringe Anzahl an Adulttieren führt zu einer etwas schlechtere Bewertung. Die Längenverteilung des Abschnittes findet sich in Abbildung 74.

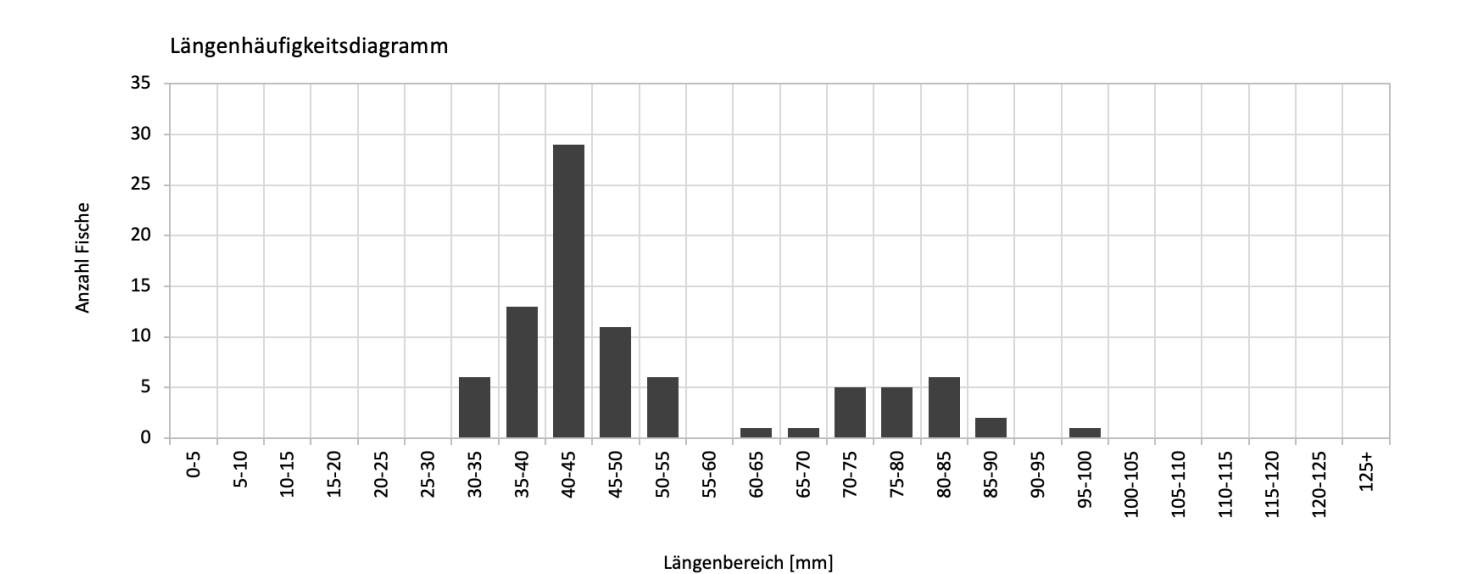
| Abschnitt Luterbach | 2010 | 2010 | | |
|---|-----------------|-----------|--------|--|
| | Wert | Wert | Klasse | |
| Populationsstruktur | | | | |
| Bewertung o+-Fische (Wert) | | | | |
| Bewertung übrige juvenile Fische (Wert) | | 0.75 | | |
| Bewertung adulte Fische (Wert) | Keine Bewertung | g möglich | 0.25 | |
| Mittelwert über alle Arten (Wert) | (keine Schne | | 0.67 | |
| Bewertung Populationsstruktur (Wert) | nachgewiesen) | | 0.56 | |
| Bewertung Populationsstruktur (Beschreibung) | | Mässig | 3 | |

Tabelle 67 Bewertung der Populationsstruktur im Abschnitt Luterbach



Einschätzung Experte Beobachtung Erwartung Mittelwert Artengruppe Bewertung Adulte Fische 0⁺-Fische Übrige Juvenile ΕK Fang BK Fang Mittleres Vorkommen 0.75 Schneider 66.9 43 100.0 497 Ausreichend vertreten 1.00 Schwaches Vorkommen 0.50 0.75

Abbildung 73 Populationsstruktur des Schneiders im Abschnitt Derendingen 2023.



| | Erwartung | Beobachtung | Einschätzung Experte | | | | | | Mittelwert |
|-------------|-----------|-------------|------------------------|------|--------------------------|--|---------------|------|------------|
| Artengruppe | EK Fang | BK Fang | 0 ⁺ -Fische | | Übrige Juvenile | | Adulte Fische | | Bewertung |
| Schneider | 62.2 37 | 97.5 93 | Ausreichend vertreten | 1.00 | Mittleres Vorkommen 0.75 | | Einzeltiere | 0.25 | 0.67 |

Abbildung 74 Populationsstruktur des Schneiders im Abschnitt Luterbach 2023.

17.4 Gesamtbewertung

Abschnitt Derendingen Der Abschnitt verbesserte sich in der Gesamtwertung um eine Klasse von unbefriedigend auf mässig (Tabelle 68). Die dahinterliegenden Zahlenwerte verdeutlichen, dass dieser Sprung gar noch etwas höher als eine Klasse ausfiel. Während im Ausgangszustand eine Gesamtbewertung von 0.28 resultierte, war das Ergebnis des Projektzustands 0.58. Die Bewertung des Projektzustands befindet sich somit nur ganz knapp unterhalb der Klasse «gut» (Klassengrenzen 0.6 – 0.8). Diese Bewertung macht grundsätzlich Sinn, zumal sich jegliche Parameter mit Ausnahme des Dominanzverhältnisses deutlich verbessert haben.

| Abschnitt Derendingen | | 2010 | | | 2023 | | |
|-------------------------------|-------|--------|----------------|-------|--------|----------|--|
| Parameter | Wert | Klasse | Zustand | Wert | Klasse | Zustand | |
| 1a: Artenspektrum | 0.260 | 4 | Unbefriedigend | 0.568 | 3 | Mässig | |
| 1b: Dominanz- verhältnisse | 0.996 | 1 | Sehr gut | 0.997 | 1 | Sehr gut | |
| 2a: Individuendichte | 0.199 | 5 | Schlecht | 0.596 | 3 | Mässig | |
| 2b: Biomassen- dichte | 0.411 | 3 | Mässig | 0.563 | 3 | Mässig | |
| 3: Populations- struktur | | - | | 0.667 | 2 | Gut | |
| Gesamtbewertung | 0.282 | 4 | Unbefriedigend | 0.584 | 3 | Mässig | |

Tabelle 68 Gesamtbewertung nach FishAssess (MSK2024) des Abschnittes Derendingen 2010 und 2023

Abschnitt Luterbach

Der Abschnitt Luterbach verbesserte sich in der Gesamtbewertung um zwei Klassen von schlecht auf mässig (Tabelle 69). Im Ausgangszustand erreichte der Abschnitt damals einen Wert von 0.18. Dieser Wert verbesserte sich deutlich auf 0.58. Die Bewertung des Projektzustands befindet sich somit ebenfalls nur ganz knapp unterhalb der Klasse «gut» (Klassengrenzen 0.6 – 0.8). Eine noch deutlichere Verbesserung im Vergleich zum Abschnitt Derendingen macht in diesem Abschnitt grundsätzlich Sinn, da er im Ausgangszustand repräsentativ für die strukturarme und monotone Restwasserstrecke gewählt wurde.

| Abschnitt Luterbach | 2010 | | | 2023 | | |
|-------------------------------|-------|--------|----------------|-------|--------|----------|
| Parameter | Wert | Klasse | Zustand | Wert | Klasse | Zustand |
| 1a: Artenspektrum | 0.162 | 5 | Schlecht | 0.553 | 3 | Mässig |
| 1b: Dominanz- verhältnisse | 1.000 | 1 | Sehr gut | 0.997 | 1 | Sehr gut |
| 2a: Individuendichte | 0.173 | 5 | Schlecht | 0.695 | 2 | Gut |
| 2b: Biomassen- dichte | 0.237 | 4 | Unbefriedigend | 0.528 | 3 | Mässig |
| 3: Populations- struktur | | | - | 0.556 | 3 | Mässig |
| Gesamtbewertung | | 5 | Schlecht | 0.578 | 3 | Mässig |

Tabelle 69 Gesamtbewertung des Abschnitts Luterbach in den Jahren 2010 und 2023.

17.5 Kurzdiskussion

Beide Abschnitte verbesserten sich beim Parameter Artenspektrum, die Strecke Luterbach sogar um zwei Klassen. Dabei ist vor allem der Nachweis von Schneider und Gründling erfreulich, diese Arten fehlten 2010. Ungeachtet dessen besteht weiteres Verbesserungspotential, es fehlen immer noch weitere typische Arten wie die Äsche, das Bachneunauge und die Nase. Beide Strecken wiesen sowohl im Ausgangszustand als auch im Projektzustand kaum standortfremde Arten auf, weshalb das Dominanzverhältnis jeweils als sehr gut angesehen werden kann. Bei der Bewertung der Individuendichte fand ebenfalls eine deutliche Verbesserung statt. Der Abschnitt Luterbach erreichte die Bewertung gut, der Abschnitt Derendingen liegt genau auf der Grenze von mässig zu gut. Die geschätzten Dichten [n/ha] von Alet, Barbe, Elritze und Schneider sind in beiden Abschnitten stark gestiegen (Anhang E) und entsprechen im Projektzustand in etwa den Erwartungswerten eines natürlichen Referenzzustandes. Die Dichte der Groppen ging jedoch zurück. In beiden betrachteten Zuständen waren die Dichten von Forellen, Groppen, Gründlingen und Rotaugen nicht ideal. Rotaugen konnten zudem nur vereinzelt in der Strecke Derendingen nachgewiesen werden. Die Schleie hingegen nur in der Strecke Luterbach. Die Anteile der verschiedenen Altersklassen in der Populationsstruktur des Schneiders entsprechen einer natürlichen Verteilung, allerdings ist die Anzahl Individuen pro Altersklasse noch zu tief. Da der Schneider erst wieder 2023 nachgewiesen wurde, bleibt abzuwarten, ob sich die Zahlen noch erhöhen oder sich schon in diesem Bereich stabilisiert haben.

Der Eindruck einer geringen Dichte der Bachforellen konnte durch eine im Februar 2024 durchgeführte qualitative Abfischung der beiden Ufer von Luterbach bis Derendingen (durchgeführt durch Aquatiqa GmbH, Streckenlänge 1800 m) bestärkt

werden. Auch dort konnten nur 10 Bachforellen gefangen werden – allerdings mit einer grossen Längenvarianz (123 – 514 mm).

Insgesamt konnte eine Steigerung in allen Parametern ausgemacht werden, was sich auch in der Gesamtbewertung niederschlägt. Das Artenspektrum des Ausgangszustands mit fehlenden Arten wie z.B. dem Schneider und dem geringen Vorkommen an Barben spricht für einen Rhithralisierungseffekt (Erhöhung der Fliessgeschwindigkeit durch Begradigung und Einengung) durch die damalige starke Kanalisierung. Demgegenüber zeigt sich die Emme in den betrachteten Strecken im Projektzustand deutlich vielfältiger was die Strömungs-, Breiten- und Tiefenvariabilitäten anbelangt. Die Folge ist, dass das Artenspektrum und auch die Dichteverhältnisse eine deutliche Verschiebung hin zu einer für diese Fischregion typischen Fischfauna ergeben hat. Aktuell ist gerade bei Grossfischarten (Forellen, Alet, Barben) noch ein Defizit bezüglich grossen Individuen auszumachen (das schlägt sich insbesondere auch bei einem Vergleich der Individuendichten und Biomassen dieser Arten nieder). Gerade die strukturbezogene Forelle findet im Projektzustand nur stellenweise grössere Deckungsstrukturen vor (was dennoch eine Verbesserung gegenüber dem Ausgangszustand darstellt). Bei der Befischung in der Strecke Derendingen 2023 fiel auf, dass sich im Kolk unterhalb der Blockschwelle in der Mitte der Strecke kaum grössere Fische befanden, obwohl es die Ausprägung des Habitats erwarten liesse. Eine mögliche Ursache dafür könnte die gezielte Befischung der Kolke durch Sportangler sein. Gleichzeitig könnte aber auch die steigende Wassertemperatur ein Problem für die kaltwasserliebenden Arten Forelle und Groppe darstellen und für die eher niedrigen Dichten verantwortlich sein.

18 Vorkommen Amphibien

18.1 Beschrieb

Grundlage

Praxisdokumentation Wirkungskontrolle (BAFU, 2019), Indikatorset 11 «Spezifische Ziele»

Definition

Vorkommen und Häufigkeit verschiedener Amphibienarten

Begründung

Die Förderung aquatischer Strukturen ist gemäss Leitbild eines der wichtigsten Entwicklungsziele. Davon sollen auch die Pionierarten unter den Amphibien profitieren.

18.2 Methode Erhebung und Auswertung

Vorgeschichte

Im Jahr 2012 erfolgte eine Bestandserhebung im Emmenspitz und im Emmenschachen. Im Rahmen des *Projekts Hochwasserschutz und Revitalisierung Emme Wehr Biberist bis Aare* wurden im Emmenspitz im Juli 2019 vier neue Stehgewässer und zwei neue Altläufe erstellt. Im Emmenschachen wurden im Februar 2019 und bei der Papierfabrik im Mai 2018 jeweils vier neue Stehgewässer erstellt. Bei der Papierfabrik zusätzlich zwei neue Überflutungsflächen. In diesen neuen Gewässern, in den 2012 bereits untersuchten Gewässern und in drei bestehenden Stehgewässern beim Schwarzweg erfolgten im Frühjahr/ Sommer 2023 Bestandserhebungen. Im Vergleich zu 2012 wurde die untersuchte Wasserfläche damit um ca. 1 ha von 0.7 ha auf 1.7 ha vergrössert. Die Lage der untersuchten Gewässer ist den Plänen im Anhang F zu entnehmen. In den Jahren 2021 und 2022 erfolgten durch den Kanton Solothurn, Amt für Raumplanung, Ansiedlungsversuche. Bei der Überflutungsfläche M12 wurden im 2021/2022 Gelbbauchunken (Juvenile, Larven, Laichballen) aus der Kiesgrube Deitingen und im 2021 Kreuzkröten (Laichschnüre, Larven) aus der Flutmulde Selzach angesiedelt.

Die folgenden Ausführungen fassen die wichtigsten Erkenntnisse der zweiten Bestandserhebung und der Entwicklung der Amphibienpopulationen zwischen den beiden Erhebungsjahren zusammen.

Zu erhebende Daten

Abundanz der verschiedenen Amphibienarten, gesondert nach Adulttiere, Juvenile, Larven und Laich.

Die Erfassungen 2023 wurden nach gleicher Methodik durchgeführt wie die Erfassung des Ausgangszustandes 2012 (Beat Schlüchter, 2012). Die Daten der beiden Erhebungen wurden miteinander verglichen.

Zwei Tagbegehungen (o6.03 und 31.03.2023) zur Erfassung von Amphibien. Vier Nachtbegehungen (18.04, 23.04., 19.6. und 22.06.2023) zur visuellen und akustischen Erfassung von Amphibien. Pro Gewässer ergibt das im Schnitt 1 Tagbegehung und 2 Nachtbegehungen.

Auf den beiden Überflutungsflächen M8 & M12 nistet teilweise der Flussuferläufer. Daher wurde M8 nur randlich betreten und bei M12 wurde jeweils vorgängig mit der Rangerin geklärt, ob die Fläche betreten werden darf.

An zwei Zeitpunkten wurden während drei aufeinanderfolgenden Nächten (04.04. bis 06.04.2023 sowie 03.05. bis 05.05.2023) Molchfallen in den Gewässern platziert. Die gefangenen Tiere wurden jeden Morgen registriert und anschliessend wieder freigelassen. Im April wurden 13 Fallen verwendet, im Mai 15 Fallen. Pro Gewässer wurden 0-4 Molchfallen platziert. Die Lage der Molchfallen ist den Plänen im Anhang F zu entnehmen. Jeder Standort wurde einmal während den drei Nächten aufgenommen.





Abbildung 75 Fotos einer installierten Molchfalle im Untersuchungsgewässer (links) und deren Ausbeute (v.a. Berg (rechts).

Grünfrösche (*Pelophylax sp.*) können aus Distanz nur bestimmt werden, wenn sie deutlich rufen. Daher war es nicht immer auszumachen, ob es sich bei den Grünfröschen vor Ort um Seefrösche (*Pelophylax ridibundus*) oder andere Grünfroscharten (*Pelophylax sp.*) handelte. Nicht sicher bestimmbare Grünfrösche wurden daher der Kategorie "Grünfrosch unbestimmt (*Pelophylax sp.*)" zugeordnet.

Untersuchungsstrecken Die Amphibien wurden an den vier Standorten Emmenspitz, Emmenschachen, Schwarzweg und Papierfabrik in insgesamt 22 Gewässer erfasst (vgl. Pläne im Anhang F).

Erhebungen für die Wirkungskontrolle

| Gebiet | Untersuchung | sgewässer An | Erhebungen | | | |
|--------------------|-------------------|--------------------|------------------|---------------------|-----------------------|---------------|
| | | Bestehend / Neu | Gewässertyp | # Begehungen Tag | # Begehungen Nacht | # Molchfallen |
| Emmen- spitz | Altlauf | bestehend | Altlauf alt | 1 | 2 | 2 |
| | Bach | bestehend | Bach | 2 | 2 | 0 |
| | М33а | neu | Altlauf neu | 1 | 2 | 2 |
| | M33b | neu | Altlauf neu | 1 | 2 | 4 |
| | М33с | neu | Weiher | 1 | 2 | 2 |
| | M33d | neu | Weiher | 1 | 2 | 2 |
| | М33е | neu | Weiher | 1 | 2 | 0 |
| | M ₃₃ f | neu | Weiher | 1 | 2 | 1 |
| Emmen- schachen | Kleinweiher | bestehend | Weiher | 1 | 2 | 1 |
| | М35а | neu | Weiher | 1 | 2 | 0 |
| | M35b | neu | Weiher | 1 | 2 | 1 |
| | М35с | neu | Weiher | 1 | 2 | 1 |
| | M ₃₅ d | neu | Weiher | 1 | 2 | 1 |
| Schwarz- weg | S1 | bestehend | Weiher | 1 | 0 | 0 |
| | S ₂ | bestehend | Weiher | 1 | 0 | 0 |
| | S ₃ | bestehend | Weiher | 1 | 0 | 0 |
| | M12 | neu | Tümpellandschaft | 1 | 2 | 2 |
| | М13а | neu | Weiher | 1 | 2 | 2 |
| | M13b | neu | Weiher | 1 | 2 | 2 |
| | М13с | neu | Weiher | 1 | 2 | 2 |
| | M13d | neu | Weiher | 1 | 2 | 2 |
| Papier- fabrik | M8 | neu | Tümpellandschaft | 1 | 2 | 1 |

Auswertung

Vergleich der Projektzustände mit dem Ausgangszustand

18.3 Resultate

Im Gebiet wurden 5 Amphibienarten nachgewiesen (siehe Tabelle 70 sowie Abbildung 77 und Abbildung 78. Die Seefrösche wurden analog Erhebung Ausgangslage den Grünfröschen unbestimmt zugeordnet.

| Untersuchungs -gewässer | Abundanz Amphibienarten | | | | | | |
|----------------------------|--------------------------------------|-------------------------------------|-----------------------|-------------------------------|------------------------------------|---|--|
| | Fadenmolch Lissotriton helveticus | Bergmolch Ichthyosaura alpestris | Erdkröte Bufo bufo | Grasfrosch Rana temporaria | Seefrosch Pelophylax ridibundus | Grünfrosch unbestimmt Pelophylax sp. | |
| Altlauf | 3 Ad | | | | | 4 Ad 2 Juv. | |
| Bach | | | | 4 L | | 6 Ad 4 Juv. | |
| M33a | | | | | | 9 Ad | |
| M ₃₃ b | | | | | | 2 Ad 1 Juv. | |
| M33c | 8 Ad | 3 Ad | | 1 Ad 7 L | 1 Ad | 41 Ad 12 Juv. 1'000 Lv | |
| M ₃₃ d | 2 Ad | | | | 1 Ad | 24 Ad 4 Juv. 400 Lv | |
| М33е | | | | | | 21 Ad 3 Juv. 550 Lv | |
| M ₃₃ f | 7 Ad | | | | | 9 Ad 2 Juv. 30 Lv | |

| Kleinweiher | 4 Ad | 1 Ad | 2 Ad | 200 Lv | | 2 Ad 15 Juv. |
|-------------------|-------|--------------|-------|-------------------------|------|------------------------------|
| M ₃₅ a | 1 Ad | 1 Ad 1 Lv | | 4 Ad 450 Lv 16 L | 1 Ad | 17 Ad 11 Juv. |
| M35b | 4 Ad | 2 Ad | 10 Ad | | | 14 Ad 16 Juv. |
| M35c | 3 Ad | 2 Ad | | 2 Ad | | 11 Ad 8 Juv. |
| M35d | 15 Ad | 1 Ad | | 2 Ad 2 Juv. 10 Lv | | 16 Ad 7 Juv. |
| S1 | | | | | | ı Ad |
| S ₂ | | | | | | |
| S ₃ | | | | | | 5 Ad 3 Juv. |
| M12 | 1 Ad | | 1 Ruf | 1 Ad 25 Lv | 1 Ad | 27 Ad 10 Juv. 4'080 Lv |
| M13a | 7 Ad | 2 Ad | | 1 Ad | 1 Ad | 4 Ad |
| M13b | 5 Ad | 1 Ad | | | | 3 Ad |
| М13с | 7 Ad | | | | | 6 Ad 1 Lv |
| M13d | 2 Ad | 1 Ad | | 3 Ad | 1 Ad | 4 Ad 30 Lv |
| M8 | | | | 2 Ad 150 Lv | | 7 Ad 9 Juv. 10 Lv |

Tabelle 70 Abundanz der Amphibien nach Gewässer. Aufgeführt ist jeweils die grösste Anzahl auf einer Begehung festgestellter Adulttiere (Ad), Juvenile (Juv), Larven (Lv) und Laich (L).

In den Altläufen (alt und neu) sowie in den Weihern S1-S3 war die Diversität der Amphibien im Vergleich zu den übrigen Weihern kleiner. Es konnten fast nur Grün-/Wasserfrösche nachgewiesen werden. Von den Weihergruppen M13, M33 und M35 weist die Weihergruppe M35 (mit dem Kleinweiher) die grösste Diversität und die grösste Anzahl Tiere aus.

Abgesehen vom Weiher S2 konnte der Grün-/Wasserfrosch in allen Gewässern nachgewiesen werden. Mit bis zu 41 Adulten und 4'000 Larven in einem Gewässer in grosser Zahl (durchschnittlich 10 Ad pro Gewässer).

Molche konnten in beinahe allen Gewässern nachgewiesen werden. Der auentypische Fadenmolch (Rote Liste: Verletzlich) in deutlich höherer Dichte als der Bergmolch (o-15 Ad vs. o-3 Ad pro Gewässer).

Einen sicheren Nachweis des nicht einheimischen Seefroschs wurde im Altlauf gemacht. Es kann nicht ausgeschlossen werden, dass es sich bei den weiteren Grünfröschen im Altarm und im Kleinweiher um Seefrösche handelt.

Fortpflanzung

Der Grasfrosch hat sich im Bach, im Weiher M33c, in der Weihergruppe M35, im Kleinweiher und in den Überflutungsflächen M8 & M12 fortgepflanzt. Im Kleinweiher und der Weihergruppe M35 (Emmenschachen) in grösserer Zahl. Im Weiher M35a konnte eine Larve des Bergmolchs nachgewiesen werden und der Grün-/Wasserfrosch hat sich in praktisch allen Gewässern fortgepflanzt.

Molchfallen

In den Molchfallen konnten mehrheitlich Fadenmolche registriert werden. Zusätzlich Bergmolche, Larven des Grasfrosches (+ 2 Ad) und Grün-/Wasserfrösche (Larven & Adulte). Bei den Fadenmolchen wurden fast doppelt so viele Männchen wie Weibchen registriert (89 m vs. 50 w). Bei den Bergmolchen war es genau umgekehrt, allerdings in viel kleinerer Anzahl (4 m vs. 7 w).

In der Weihergruppe M13 konnten alle vier in Molchfallen gefundenen Amphibienarten nachgewiesen werden. Im Altlauf M33a, in den Weihern M33c, M33d und M35b sowie im Altlauf alt konnten sehr wenige bis gar keine Amphibien nachgewiesen werden.

Weitere Tiere

In vielen Gewässern konnten neben Amphibien weitere Tiere wie Wasserinsekten (Rückenschwimmer, Klein- und Grosslibellenlarven, Ruderwanze, Wasserskorpion, Köcherfliegenlarve, Gelbrandkäfer, Taumelkäfer, Stabwanze), (Ringelnatter), Krebstiere (Bachflohkrebs, Flusskrebs) und Mollusken (Wasserschnecke) nachgewiesen werden. Speziell erwähnen wir die erfreuliche Beobachtung des Edelkrebses und die weniger erfreuliche Beobachtung der Rot-/Gelbwangenschmuckschildkröte im neuen Altlauf M33a. Leider konnte die Schildkröte nicht eingefangen werden. Zusätzlich wurden im neuen Altlauf M33a und den beiden Überflutungsflächen M8 & M12 diverse Fische nachgewiesen.

Ansiedlungen

Im Rahmen der Bestandserhebungen 2023 konnten keine Gelbbauchunken oder Kreuzkröten nachgewiesen werden.

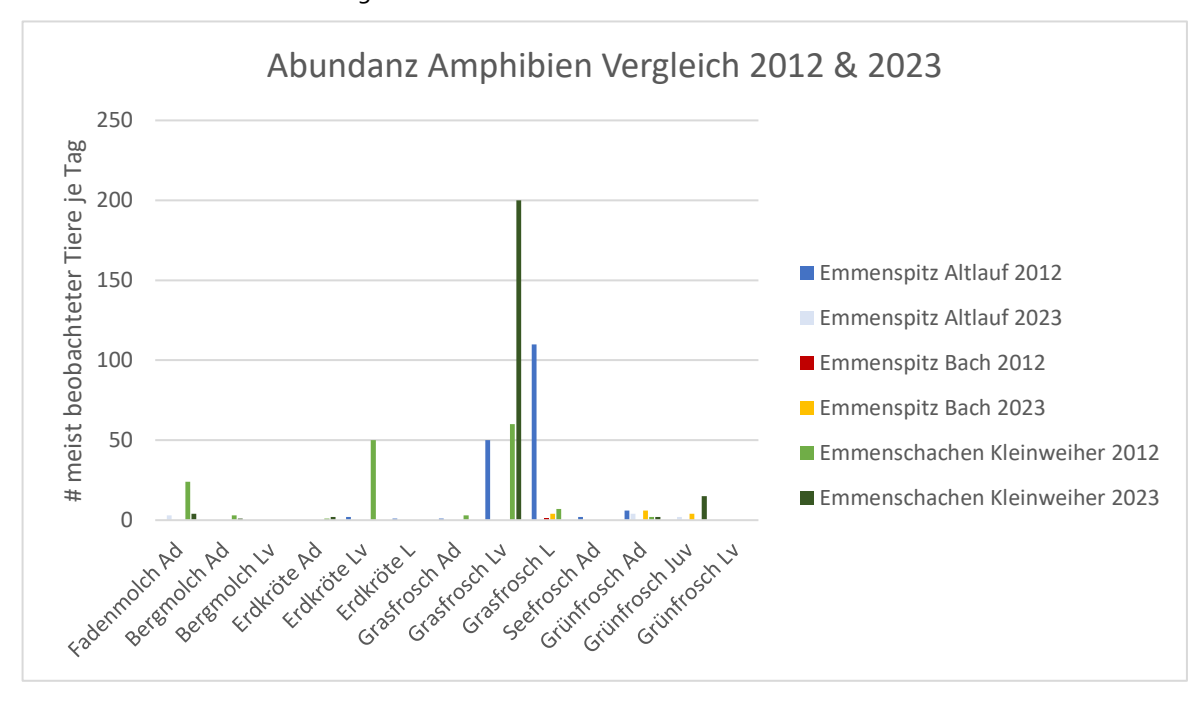


Abbildung 77 Abundanz Adulttiere (Ad), Juvenile (Juv), Larven (Lv) und Laich (L). Vergleich 2012 & 2023.

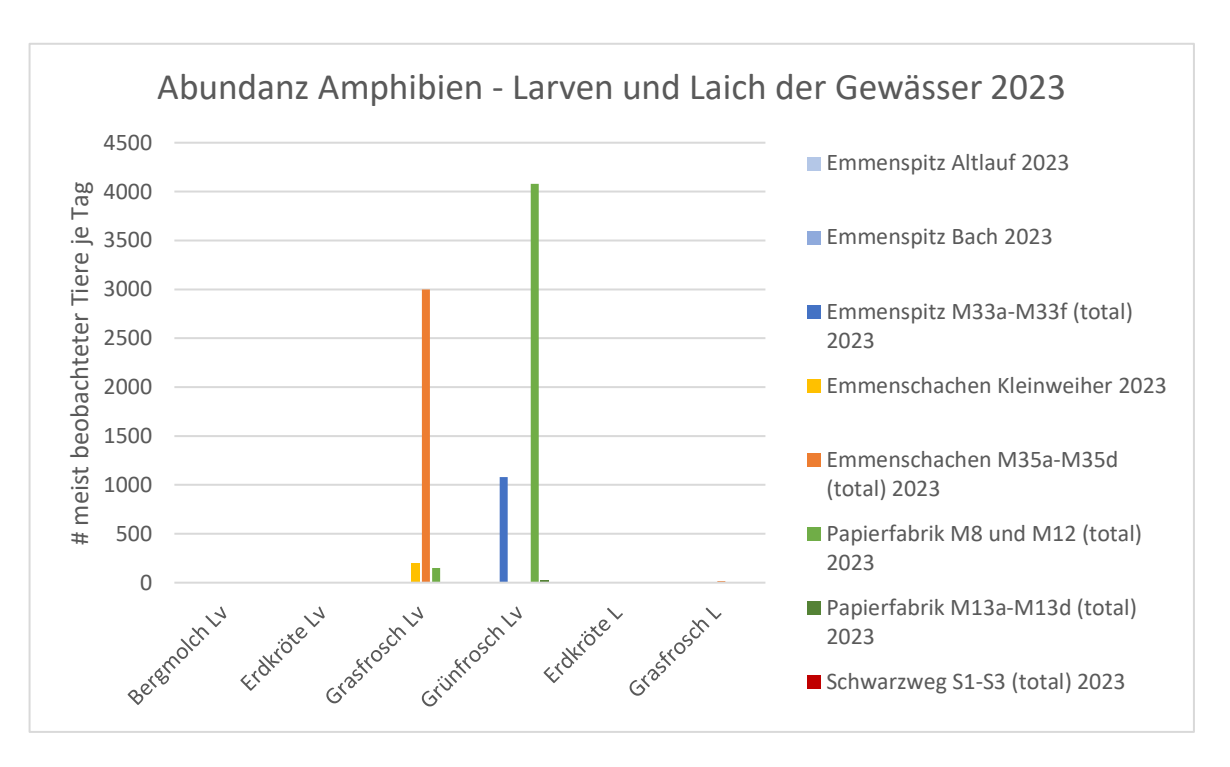


Abbildung 76 Abundanz Larven (Lv) und Laich (L) der 2023 untersuchten Gewässer.

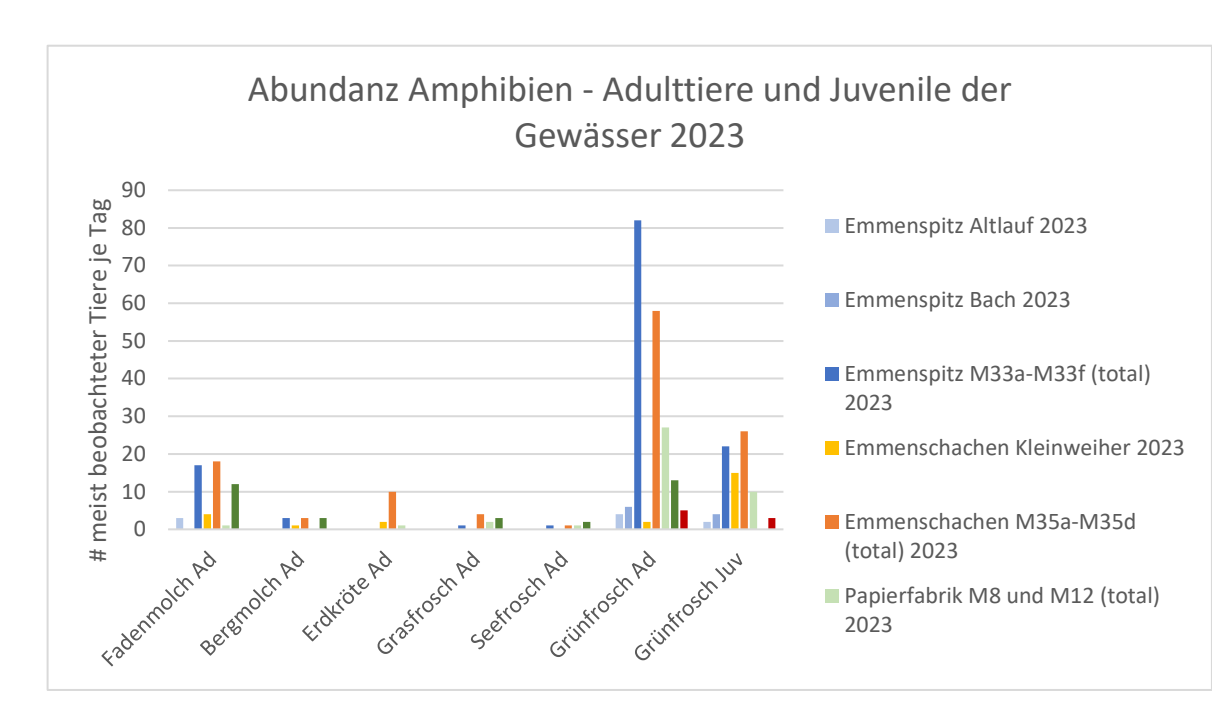


Abbildung 78 Abundanz Adulttiere (Ad) und Juvenile (Juv) der 2023 untersuchten Gewässer.

18.4 Vergleich mit Ausgangszustand

Im 2023 konnten die gleichen Amphibienarten wie 2012 nachgewiesen werden. Die Anzahl der Fadenmolche und Grün-/Wasserfrösche ist dabei (vor allem bei den Grün-/Wasserfröschen stark) angestiegen.

Im Bach konnte wie bereits 2012 Laich des Grasfroschs nachgewiesen werden. Im 2023 zusätzlich Grün-/Wasserfrösche. Der Altlauf war im Vergleich zu 2012 artenärmer, dafür wurde im 2023 der Fadenmolch neu nachgewiesen. Im Kleinweiher konnten die gleichen Arten wie 2012 nachgewiesen werden, allerdings abgesehen vom Grün-/Wasserfrosch und Grasfröschen in kleinerer Anzahl.

Die Erdkröten im Altlauf alt konnten im 2023 nicht mehr nachgewiesen werden. Am Kleinweiher und im neu erstellten Weiher M35b konnten sie dafür im 2023 nachgewiesen werden.

Die Wasserfläche des untersuchten Gebiets war im 2023 ca. 1 ha grösser als im 2012, was generell zu einer erhöhten Individuenzahl bei fast allen Arten führte.

18.5 Kurzdiskussion

Datenlage

Die Gewässer waren zum Teil schlecht zugänglich und stark bewachsene Ufer erschwerten die Aufnahme. Daher ist nicht auszuschliessen, dass Einzeltiere oder Molche im Altarm übersehen wurden. Dass eine zusätzlich vorkommende Art übersehen wurde, ist aber unwahrscheinlich.

Die bestehenden Gewässer im Bereich Emmenspitz (v.a. Bachlauf, Altarm und Kleinweiher) sind im Vergleich zum Jahr 2012 teilweise stark eingewachsen, daher ist es nicht verwunderlich, dass dort im Jahr 2023 weniger Tiere aufgefunden wurden. Der Kleinweiher ist teilweise stark verlandet, ein Ausbaggern von 50% der Wasserfläche und ein gezieltes Auslichten von einzelnen schattenspendenden Bäumen würde diesen stark aufwerten.

Im Jahr 2012 wurde der Fadenmolch als Zielart für die Ausrichtung der Gewässer definiert. Sein Vorkommen in grösserer Zahl in den neu erstellten sowie den bereits vorhandenen Gewässern zeugt von der geglückten Förderung und Lebensraumaufwertung. Die beinahe doppelt so hohe Anzahl an registrierten Männchen im Vergleich zu den Weibchen lässt sich mit der Paarungszeit, in welcher die Männchen aktiver sind, erklären.

Der neue Altlauf sowie die beiden Überflutungsflächen wiesen Fischbesatz auf. Das Vorkommen von Fischen in Laichgewässern kann den Fortpflanzungserfolg von Amphibien beträchtlich reduzieren. Dies wird durch die geringere Diversität und Anzahl in den Altläufen im Vergleich zu den Weihergruppen sichtbar. Erfreulicherweise sind die Fische nicht in den vom Gewässer abgetrennten Weihern beobachtet worden.

neue Stehgewässer

Die neu erstellten Stehgewässer (M13, M33 und M35) wurden von den Amphibien, v.a. den Faden- und Bergmolchen sowie Gras- und Grün-/Wasserfröschen besiedelt. Die Weihergruppe M35 zusätzlich durch die Erdkröte. Die Weiher sind insgesamt für Amphibien gut zugänglich und besonnt. Hier zeigt sich ein Unterschied zu den Weihern S1-3 am Schwarzweg, welche stark zugewachsen sind und wo wenige Arten/Tiere nachgewiesen werden konnten.



Abbildung 79 Fotos eines offenen Weihers (M₃₅, links) und eines eingewachsenen Gewässers (M₁₃, rechts).

Pflegeregime Stehgewässer

Generell wachsen die Stehgewässer (bis auf M₃₅, welches optimal unterhalten wird) stark ein, dies kann künftig zu einer Abnahme der Amphibiendichte und Diversität führen. Will man die Lebensraumqualität für Amphibien beibehalten oder sogar erhöhen ist ein speziell darauf ausgerichtetes Pflegeregime unumgänglich. Wir raten dazu die Weiher jährlich oder mindestens alle 3 Jahre randlich mittels Mahd

auszulichten. Die geschnittenen Äste können jeweils am Weiherrand zu Asthaufen aufgeschichtet werden und so den Amphibien als wichtiger Überwinterungs- und Versteckplatz dienen.

Fazit

Als wichtiges Entwicklungsziel der Renaturierung wurde die Förderung von aquatischen Strukturen u.a. für Amphibien festgelegt. Durch das Projekt konnte die Wasserfläche der Stehgewässer von 0.7 auf 1.7 ha vergrössert werden. Neben einem neuen Altarm entstanden zahlreiche Stehgewässer, diese wurden grösstenteils im Waldareal und relativ gross und tief umgesetzt (so dass sie auch im Winter wasserführen). Die Überflutungsflächen am Schwarzweg und bei der Papiermühle bilden regelmässig neue temporär wasserführende Senken und können somit auch Pionierarten anlocken. Die Erhebungen im Jahr 2023 zeigen, dass sich zwar keine neuen Amphibienarten ansiedeln konnten. Dennoch lassen sich Veränderungen feststellen:

- Im Jahr 2012 wurde der Fadenmolch als Zielart für die Ausrichtung der Gewässer definiert. Sein Vorkommen in grösserer Zahl in den neu erstellten sowie den bereits vorhandenen Gewässern zeugt von der geglückten Förderung und Lebensraumaufwertung.
- Der neue Altlauf sowie die beiden Überflutungsflächen wiesen teilweise Fischbesatz auf, was nicht erstaunt. Das Vorkommen von Fischen in Laichgewässern kann aber den Fortpflanzungserfolg von Amphibien beträchtlich reduzieren. Dies wird durch die geringere Diversität und Anzahl in den Altläufen im Vergleich zu den Weihergruppen sichtbar. Altläufe dienen dennoch durch stellenweise flachere, fast Teichartige Ausbuchtungen als wertvoller Lebensraum für Amphibien, durch Vegetation (v.a. Wasserpflanzen wie Schilf, Rohrkolben oder auch Wald-Simse) und Kleinstrukturen (wie Baumstämme und Asthaufen) sind bereits heute in den Altläufen genügend Versteckplätze vor Prädatoren vorhanden.
- Die neu erstellten Stehgewässer (M13, M33 und M35) wurden von den Amphibien, v.a. den Faden- und Bergmolchen sowie Gras- und Grün-/Wasserfröschen besiedelt. Die Weihergruppe M35 zusätzlich durch die Erdkröte. Die Weiher sind insgesamt für Amphibien gut zugänglich und besonnt.
- Generell sind eher Weiher entstanden, welche zur F\u00f6rderung von h\u00e4ufigen Arten dienen, der Bewuchs um die Weiher ist stetig zunehmend. Wichtig ist, dass die Weiher regelm\u00e4ssig ausgelichtet werden, damit die Qualit\u00e4t f\u00fcr Amphibien erhalten werden kann.

Ausblick Erfassungen Da die vorkommenden Amphibienarten erst nach mehreren Jahren geschlechtsreif werden, können vertieftere Rückschlüsse auf einen Erfolg der Umgestaltung erst bei späteren Erhebungen gezogen werden.

19 Gesamtdiskussion

19.1 Beurteilung Projektzustand

Nachfolgend werden die betrachteten Abschnitte zusammenfassend beschrieben:

Emmenschachen

Überflutungsdynamik: Das Gerinne ist immer noch verhältnismässig schmal und die Uferböschungen steil. Der benetzte Bereich ist daher bei Hochwasser nicht deutlich grösser als bei mittlerem Abfluss. Das neu geschaffene ungesicherte Ufer könnte dies hier in Zukunft ändern.

Uferlinie: Durch die Verbreiterung des Gerinnes teilt sich das Wasser auf zwei ständig durchflossene Arme auf, welche Kiesbänke in der Gerinnemitte ausgebildet haben.

Sohlenstruktur: Es sind heterogene Sohlenstrukturen vorhanden. Furten mit geeignetem Laichsubstrat für Bachforellen und Äschen kommen reichlich vor. Es gibt Flachwasserzonen, selbst bei erhöhtem Abfluss. Gegenüber dem Ausgangszustand verbessert sich die Bewertung um eine Klasse. Im Ausgangszustand wies die Sohlenstruktur eine geringe Dynamik auf (Veränderung des Sohlenstrukturtyps auf 21 % der benetzten Fläche zwischen 2011 und 2014).

Uferstruktur: Die Uferstruktur wurde wie schon im Ausgangszustand als «sehr gut» bewertet. Alle sieben möglichen Uferstrukturtypen kommen vor, wobei Flachufer, Steilufer und Fels dominieren. Die Uferlinie ist hier gänzlich ohne Verbauung. Die Dynamik der Uferstruktur kann für den Ausgangszustand mit dem Maximum bewertet werden. Zwischen 2011 und 2014 gab es Verschiebungen der Uferlinie von mehr als 20 Metern und Änderungen im Uferstrukturtyp.

Laichhabitat Bachforelle/Äsche: Wie schon im Ausgangszustand finden hier Bachforellen und Äschen ausgedehnte, als Laichhabitat optimale bzw. geeignete Flächen vor. Bei minimalem Restwasserabfluss ist für die Äsche der Emmenschachen der einzige Standort mit geeignetem bzw. optimalem Laichhabitat.

Mosaik Auenformationen: Die Vielfalt der Auenformationen hat sich seit 2013 deutlich erhöht. Der Anteil Pionierformationen hat sich aber in diesem Zeitraum kaum verändert hat; die Untersuchungsstrecke ist somit nicht als naturnaher gegenüber dem Ausgangszustand zu bezeichnen.

Landschaftsstrukturmasse: Die Veränderungen in der Untersuchungsstrecke Emmenschachen sind aufgrund der fehlenden Dynamik durch die relativ steile Böschung beidseitig des Fliessgewässers wenig markant, was sich in der dominierenden Fläche der Hartholzaue niederschlägt.

Auentypische Pflanzenarten: Dank neuen Kiesbänken und Ruderalflächen haben einige typische Auenpflanzen seit der Ausgangserhebung stark zugenommen (*Salix*

alba und salix elaeagnos). Der Emmenschachen ist immer noch stark von Wald geprägt, und es fehlt an Überflutungsflächen und Pionierlebensräumen, wie auch in den Abschnitten Emmenspitz und Rüti. Die neuen Stehgewässer sind bereits stark eingewachsen. Von den Neopyhten ist die Robinie hier noch stark vorherrschend, sie wird aktuell nicht bekämpft.

Vorkommen Amphibien: Im Emmenschachen selbst konnten die gleichen Arten wie 2012 nachgewiesen werden. Die Individuenzahl war allerdings geringer, abgesehen von Grün-/Wasserfrosch und Grasfrosch. Der Emmenspitz war im Vergleich zu 2012 artenärmer, jedoch nun neu mit Fadenmolch (Altlauf) und Grün-/Wasserfrosch (Bach).

Schwarzweg

Überflutungsdynamik: Die maschinelle Aufweitung wird bei höheren Abflüssen (gemäss Raumplanungsbericht (Kissling & Zbinden AG, IUB Engineering, 2015) an durchschnittlich 9 Tagen pro Jahr) durchströmt. Ob sich unter diesen Bedingungen eine dynamische Aue entwickeln wird, werden die nächsten Jahre und Jahrzehnte zeigen.

Uferlinie: Bei mittlerem Abfluss ähnelt die Uferlinie stark dem Ausgangzustand, da sich die Emme in den anstehenden Felsen eingegraben hat.

Sohlenstruktur: Es sind heterogene Sohlenstrukturen vorhanden, selbst bei erhöhtem Abfluss. Gegenüber dem Ausgangszustand bleibt die Bewertung unverändert. Im Ausgangszustand wies die Sohlenstruktur nur eine geringe Dynamik auf (Veränderung des Sohlenstrukturtyps auf 21 % der benetzten Fläche zwischen 2011 und 2014).

Uferstruktur: Gegenüber dem Ausgangszustand verbesserte sich die Bewertung um eine Klasse auf «sehr gut». Alle sieben möglichen Uferstrukturtypen kommen vor, wobei Flachufer, Steilufer und Fels dominieren. Eine raue Verbauung kommt nur auf max. 7 % der Uferlinie vor (lockerer Blocksatz) auf, eine glatte Verbauung auf max. 8 %. Die Dynamik der Uferstruktur wird für den Ausgangszustand mit dem Maximum bewertet, da die Verschiebungen der Uferlinie zwischen 2011 und 2014 grösser als der Mindestwert von 3 m waren und sich der Uferstrukturtyp änderte.

Laichhabitat Bachforelle/Äsche: Die Flächen an optimalem bzw. geeignetem Laichhabitat ist deutlich geringer als im Emmenschachen. Das Laichhabitat wird für die Bachforelle für beide Abflüsse als optimal bzw. geeignet bewertet, für die Äsche nur bei erhöhtem Abfluss.

Mosaik Auenformation: Der Abschnitt entwickelt sich zunehmend zu einem naturnahen Auenlebensraum, da die Pionierformationen gegenüber dem Ausgangszustand deutlich zugenommen haben. Die Anzahl der Habitattypen hat während dieser Zeit aber nur geringfügig zugenommen.

Landschaftsstrukturmasse: Der Lebensraum wurde vielfältiger und strukturreicher. Der Standort profitiert von der Dynamik der Emme, wodurch Übergänge zwischen Land- und Gewässerlebensräumen entstehen konnten.

Auentypische Pflanzenarten: Dank den offenen Pionierflächen mit temporären Wasserstellen und kleinen Rinnsalen konnten sich erste Pflanzenarten des Nanocyperions ansiedeln, teilweise seltene und hoch spezialisierte Arten. Mit der Umsetzung des Revitalisierungsprojektes entstanden Lebensräume für Weichholzauen und Pionierarten. Es zeigt sich jedoch die Tendenz, dass die Flächen wegen der fehlenden Dynamik einwachsen und kleinwüchsige, spezialisierte Pflanzenarten von Kiesbänken und feuchten Ruderalflächen verdrängen. Um den aktuellen Wert zu erhalten, müsste die Dynamik in der Überflutungsfläche leicht erhöht werden.

Papierfabrik

Überfltungsdynamik: Die maschinelle Aufweitung wird bei höheren Abflüssen (gemäss Raumplanungsbericht (Kissling & Zbinden AG, IUB Engineering, 2015) an durchschnittlich 40 Tagen pro Jahr) durchströmt. Ob sich unter diesen Bedingungen eine dynamische Aue entwickeln wird, werden die nächsten Jahre und Jahrzehnte zeigen.

Uferlinie: Bei mittlerem Abfluss ähnelt die Uferlinie stark dem Ausgangzustand, da sich die Emme in den anstehenden Felsen eingegraben hat.

Sohlenstruktur: Es sind heterogene Sohlenstrukturen vorhanden. Flachwasserzonen kommen selbst bei erhöhtem Abfluss noch reichlich vor. Gegenüber dem Ausgangszustand verschlechtert sich die Bewertung um eine Klasse (Wegfall einer Rampe, die flussabwärts heterogene Sohlenstrukturen bildete). Im Ausgangszustand wies diese Strecke die grösste Dynamik der Sohlenstruktur auf (Veränderung des Sohlenstrukturtyps auf 49 % der Fläche zwischen 2011 und 2014).

Uferstruktur: Wie schon im Ausgangszustand wird die Uferstruktur als «sehr gut» bewertet. Alle sieben möglichen Uferstrukturtypen kommen vor, wobei Flachufer, Steilufer und Fels dominieren. Eine raue Verbauung kommt nur auf max. 7 % der Uferlinie vor (lockerer Blocksatz) auf, glatte Verbauungen sind nicht mehr vorhanden. Die Dynamik der Uferstruktur wird für den Ausgangszustand mit dem Maximum bewertet, da die Verschiebungen der Uferlinie zwischen 2011 und 2014 grösser als der Mindestwert von 3 m waren und sich der Uferstrukturtyp änderte.

Laichhabitat Bachforelle/Äsche: Die Fläche an optimalem bzw. geeignetem Laichhabitat ist deutlich geringer als im Emmenschachen und auch geringer als im Schwarzweg. Das Laichhabitat wird für die Bachforelle für beide Abflüsse als optimal bzw. geeignet bewertet, für die Äsche nur bedingt geeignet. Gegenüber dem Ausgangszustand verschlechtert sich insbesondere die Eignung des Laichhabitats für Äschen.

Auentypische Pflanzenarten: Dank den offenen Pionierflächen mit temporären Wasserstellen und kleinen Rinnsalen konnten sich erste Pflanzenarten des Nanocyperions ansiedeln, teilweise seltene und hoch spezialisierte Arten. Mit der Umsetzung des Revitalisierungsprojektes entstanden Lebensräume für Weichholzauen und Pionierarten. Es zeigt sich jedoch die Tendenz, dass die Flächen wegen der fehlenden Dynamik einwachsen und kleinwüchsige, spezialisierte Pflanzenarten von Kiesbänken und feuchten Ruderalflächen verdrängen. Um den aktuellen Wert zu erhalten, müsste die Dynamik in der Überflutungsfläche leicht erhöhen werden. Der Japanische Staudenknöterich kommt nur noch hier vor. Es wäre wichtig und mit einfachen Mitteln möglich, ihn vollständig aus dem Projektperimeter zu entfernen. Die Robinie ist schwieriger zu bekämpfen, sie kommt zahlreicher vor als noch im Ausgangszustand, wurde jedoch seither auch nicht bekämpft.

Gesamte Strecke

Wassertemperatur: Die Erwartung, dass bei Niederwasser prinzipiell eine Erhöhung der Wassertemperatur entlang der Untersuchungsstrecke im Sommer zu erwarten ist, konnten die erhobenen Messwerte bestätigen. Diese Aussage deckt sich auch mit dem Befund, dass im Fischbestand Kaltwasserarten weitgehend fehlen. Auch hier wird die zweite Erhebung des Projektzustandes wertvolle Ergebnisse liefern.

Wassertiefe und Fliessgeschwindigkeit: In allen revitalisierten Abschnitten zeigt sich im Nachher-Zustand eine Verbesserung gegenüber dem Vorher-Zustand. Die Strukturelemente generieren lokal hohe Wassertiefen (Kolke) und Bereiche mit besonders geringen Fliessgeschwindigkeiten, was zu einer hohen Variabilität bei der Wassertiefe und der Fliessgeschwindigkeit führt.

Fotodokumentation: Die Emme hat 2023 deutlich mehr Platz und fliesst weniger monoton als im Ausgangszustand. Es sind jedoch nicht viele Strukturen im Gerinne erkennbar.

Geschiebehaushalt: Es wurde ein grosses Potenzial für Geschiebeumlagerungen und Seitenerosionsprozesse geschaffen.

Es wurden 11 Arten gefangen, davon 9 standorttypische. Neu wurden Schneider und Gründling nachgewiesen. Weitere standorttypische Arten fehlen immer noch, wie die Äsche, das Bachneunauge und die Nase. Auffällig ist der geringe Anteil der Bachforellen an der Gesamtfischdichte. In beiden untersuchten Abschnitten (Derendingen und Luterbach) verbesserte sich die Gesamtbewertung der Fische.

Amphibien

Die Wasserfläche der untersuchten Stehgewässer vergrösserte sich zwischen Ausgangs- und Projektzustand um das 2.5-fache (0.7 ha auf 1.7 ha), da 16 neue Amphibiengewässer geschaffen wurden. Dies führte zu einer höheren Individuenzahl bei fast allen Arten, vor allem bei Fadenmolch und Grün-/Wasserfrosch.

Fische

19.2 Vergleich Ausgangs- und Projektzustand

Resultate

Tabelle 76 zeigt die Entwicklung der Indikatoren als Übersicht. Es sind die erhobenen Werte für die Erhebung des Ausgangszustands (2014/2015) sowie des Projektzustandes (2023/2024) dargestellt. Hellgrün hinterlegte Werte zeigen eine Verbesserung, rote eine Verschlechterung der ermittelten Werte. Gleichbleibende Werte sind nicht farblich hinterlegt.

In der Tendenz zeigen die Resultate nach der Umsetzung der Revitalisierungsmassnahmen eine verbesserte Situation:

| | 2014/2015 | 2023/2024 |
|---|---|---|
| Überflutungsdynamik | - | |
| Emmenschachen | 0.15 | 0.19 |
| Schwarzweg | 0.20 | 0.73 |
| Papierfabrik | 0.19 | 0.74 |
| Uferlinie | 3 | , 1 |
| Emmenschachen | 0.02 | 0.51 |
| Schwarzweg | 0.01 | 0.21 |
| Papierfabrik | 0.03 | 0.08 |
| Geschiebehaushalt | 0.6 | 0.9 |
| Wassertemperatur | | |
| Biberist | Zustandklasse 3 | Zustandklasse 3 |
| Luterbach | Zustandklasse 3 | Zustandklasse 3 |
| Wassertiefe und | | J |
| Fliessgeschwindigkeit | | |
| Emmenschachen | Wassertiefe 0.28 Fliessgeschwindigkeit 0.30 HMID 4.2 Mittlere benetzte Breite 29.6 | Wassertiefe 0.42 Fliessgeschwindigkeit 0.49 HMID 7.8 Mittlere benetzte Breite 38.4 |
| Schwarzweg | Wassertiefe 0.49 Fliessgeschwindigkeit 0.49 HMID 6.5 Mittlere benetzte Breite 18.8 | Wassertiefe 0.34 Fliessgeschwindigkeit 0.55 HMID 8.7 Mittlere benetzte Breite 23.2 |
| Papierfabrik | Wassertiefe 0.26 Fliessgeschwindigkeit 0.54 HMID 5.5 Mittlere benetzte Breite 24.3 | Wassertiefe 0.31 Fliessgeschwindigkeit 0.59 HMID 7.8 Mittlere benetzte Breite 22.8 |
| Sohlenstruktur | | |
| Emmenschachen | 0.25 | 0.5 |
| Schwarzweg | 0.5 | 0.5 |
| Papierfabrik | 0.5 | 0.25 |
| Dynamik der Sohlenstruktur Kein Vergleich möglich – braucht 2. Projektzustand | | 2. Projektzustand |
| Uferstruktur | | |
| Emmenschachen | o.86 | 0.88 |

| Schwarzweg | 0.68 | 0.98 |
|--------------------------------|---|--|
| | | |
| Papierfabrik | 0.83 | 0.99 |
| Dynamik der Uferstruktur | Kein Vergleich möglich – braucht : | 2. Projektzustand |
| Laichhabitat Bachforelle/Äsche | \\(\)\\\\\\\\\\\\\\\\\\\\\\\\\\\\\\\\\ | \\(\lambda \) \\ \\ \\ \\ \\ \\ \\ \\ \\ \\ \\ \\ |
| Emmenschachen | WUA in % bei Abfluss 1.8 m/s: Bachforelle 63 | WUA in % bei Abfluss 1.8 m/s: Bachforelle 36 |
| | Äsche 28 | Äsche 16 |
| Emmenschachen | WUA in % bei Abfluss 6.2 m/s: Bachforelle 76 | WUA in % bei Abfluss 6.2 m/s: Bachforelle 58 |
| | Äsche 61 | Äsche 37 |
| Schwarzweg | WUA in % bei Abfluss 1.8 m/s: | WUA in % bei Abfluss 1.8 m/s: |
| | Bachforelle 13 Äsche 5 | Bachforelle 21 Äsche 5 |
| Schwarzweg | WUA in % bei Abfluss 6.2 m/s: | WUA in % bei Abfluss 6.2 m/s: |
| | Bachforelle 23 Äsche 16 | Bachforelle 36 Äsche 16 |
| Papierfabrik | | WUA in % bei Abfluss 1.8 m/s: |
| • | Bachforelle 37 | Bachforelle 15 |
| Papierfabrik | Äsche 22 WUA in % bei Abfluss 6.2 m/s: | Äsche 2 WUA in % bei Abfluss 6.2 m/s: |
| r apieriaurik | Bachforelle 25 | Bachforelle 21 |
| | Äsche 16 | Äsche 7 |
| Mosaik Auenformationen | | |
| Emmenschachen | 3 | Anteil Auenformation 0.84 |
| Schwarzweg | Anteil Pionierformation 0.00 Anteil Auenformation 0.56 | Anteil Pionierformation 0.00 Anteil Auenformation 0.59 |
| Schwarzweg | Anteil Pionierformation 0.00 | Anteil Pionierformation 1.00 |
| Landschaftsstrukturmasse | | |
| Emmenschachen | Form 3.22 | Form 1.8 |
| | Fläche 0.38 Distanz 16.05 | Fläche 0.15 Distanz 73.68 |
| | Eingebundenheit 4.32 | Eingebundenheit 6.82 |
| Schwarzweg | Form 2.05 | Form 2.04 |
| | Fläche 0.12 Distanz 25.7 | Fläche 0.07 Distanz 37.56 |
| | Eingebundenheit 7.43 | Eingebundenheit 1'026'891 |
| Auentypische Pflanzenarten | | |
| Emmenspitz | | Zunahme (Salix alba) |
| Emmenschachen | | Zunahme (Salix alba + |
| Rüti | | elaeagnos) Zunahme Salix elaeagnos, |
| | | Abnahme Salix alba |
| Schwarzweg | | Zunahme fast aller Zielarten |
| Papierfabrik | | Zunahme 4 Zielarten von 9 |
| Bestandeserhebung Fische | | |
| Luterbach | Bewertung «schlecht» | Bewertung «mässig» |
| Derendingen | Bewertung «unbefriedigend» | Bewertung «mässig» |
| Vorkommen Amphibien | | |
| ' Allgemein | | Mehr Individuen dank grösserer |
| 3 | | Wasserfläche |
| Emmenspitz (Altlauf) | | Mehr Fadenmolche Rückgang Artenvielfalt |
| Emmenspitz (Aiddol) | | Nachweis Fadenmolch |
| _ | Erdkröten | Keine Erdkröten mehr |
| Emmenspitz (Bach) | Laich Grasfrosch | Laich Grasfrosch Nachweis Grün-/Wasserfrösche |
| | | ivactiweis Grott-/wasserrosche |

| Emmenschachen (Kleinweiher) | Gleiche Artenvielfalt, |
|-----------------------------|------------------------|
| | weniger Individuen |
| | Nachweis Erdkröte |
| Papierfabrik | Neue Gewässer, neue |
| | Vorkommen |

Tabelle 71 Resultate der Messungen pro Indikator im Ausgangs- und 1. Projektzustand

Defizite

Die mittels Indikatoren aufgezeigten Verbesserungen bedeuten jedoch nicht für alle Aspekte, dass die Massnahmen vor Ort effektiv zu einer ökologischen Verbesserung geführt haben.

- Beispielsweise fehlen standorttypische Fischarten wie die Äsche, das Bachneunauge und die Nase immer noch. Der Indikator "Laichhabitat Äsche" zeigt, dass ausser im Emmenschachen weniger Laichhabitate vorhanden sind als im Ausgangszustand. Hier besteht noch Verbesserungspotential.
- Invasive Neophyten könnten sich teilweise vermehrt ausbreiten (vgl. Robinie unter "Auentypische Pflanzenarten").
- Obwohl geeignetes Laichsubstrat grösstenteils reichlich vorhanden ist, sind die Zwischenräume stellenweise stark mit Sand durchsetzt. Die Eignung dieser Fläche als Laichhabitat für Bachforellen und Äschen dürfte geringer ausfallen als die ermittelten Werte ausweisen. Der Sand stammt vermutlich aus dem anstehenden Felsen. Wird der Sand mit der Zeit ausgewaschen, reduziert sich der Sandanteil in der Gewässersohle.

Risiken

Zudem bestehen folgende Risiken:

- Die Überflutungsflächen Schwarzweg und Papierfabrik wachsen stark zu, was sich negativ auswirken kann, bspw. auf das Vorkommen von Amphibien und auf auentypische Pflanzenarten (Nanocyperion). Ob zukünftige Hochwasser ausreichen werden, um die aufkommenden Sträucher und Bäume wegzuspülen und sich die typische Pioniervegetation halten kann, wird sich zeigen.
- Die untersuchten Amphibiengewässer wachsen mit der Zeit zu. Sie müssen unterhalten und regelmässig ausgelichtet werden und den ökologischen Wert für Tiere und Pflanzen zu erhalten.
- Im Abschnitt Emmenschachen konnten bisherige Hochwasser die neu geschaffenen ungesicherten Ufer nicht wirksam verändern. Hier ist Geduld gefragt.

19.3 Schlussfolgerungen

Gesamthaft betrachtet gehen die Resultate in die richtige Richtung. Die im Ausgangszustand ausgewiesenen Defizite konnten im Allgemeinen verbessert werden.

Definitive Schlussfolgerungen über Prozesse wie Seitenerosion, Sohlendynamik oder Veränderungen in der auentypischen Pflanzenarten können erst mit der nächsten Aufnahme gezogen werden. Auch die Resultate anderer Indikatoren wie Wassertemperatur, Fischbestand oder Amphibienvorkommen zeigen, dass mit einer weiteren Untersuchung zu einem späteren Zeitpunkt genauere Aussagen zum Erfolg möglich sind (z. B. werden die beobachteten vorkommenden Amphibienarten erst nach einigen Jahren geschlechtsreif). Gerade im Emmenschachen ist es wichtig, die Qualität der Vernetzung nochmals zu erheben, sobald grössere Abflüsse einen deutlichen Uferabtrag verursacht haben.

Die 1. Erhebung des Ausgangszustandes lässt aber schon jetzt darauf schliessen, dass ein grosses Potenzial geschaffen wurde.

Die zweite Erhebung des Projektzustandes ist 10 Jahre nach der ersten Erhebung des Projektzustandes geplant, also im Jahr 2033 oder 2034.

20 Literaturverzeichnis

- Gostner, W., Scheidegger, Peter, C. A., Alp, M., Karpati, T., Werth, S. (2011). Erhaltung und Förderung der Biodiversität von Fliessgewässern. Wasser Energie Luft 103.
- Arend K. K. (1999). *Macrohabitat identification. In: Bain, M. B., Stevenson, N. J.*Aquatic Habitat Assessment Common Methods. American Fisheries Society.
- BAFU. (2019). Weber, C., Sprecher, L., Åberg, U., Thomas, G., Baumgartner, S., Haertel-Borer, S. Zusammenfassung und Inhalt. In: Wirkungskontrolle Revitalisierung Gemeinsam lernen für die Zukunft. Bern: Bundesamt für Umwelt BAFU.
- Baumann P, Kirchhofer A, Schälchli U. (2012). Sanierung Schwall/Sunk Strategische Planung. Ein Modul der Vollzugshilfe Renaturierung der Gewässer. BAFU, Umwelt-Vollzug 1203.
- Beat Schlüchter, B. L. (2012). Emmenschachen Luterbach Amphibienerfassung 2012. Amt für Raumplanung Kanton Solothurn.
- Binderheim, E., Göggel, W. (2007). *Methoden zur Untersuchung und Beurteilung der Fliessgewässer: Äusserer Aspekt.* BAFU Umwelt-Vollzug 0701.
- Brown S. K., Buja K. R., Jury S. H., Monaco M. E., Banner A. (2000). *Habitat suitability index models for eight fish and invertebrate species in Casco and Sheepscot Bays, Maine*. North American Journal of Fisheries Management 20; 408-435.
- Carle, F. L. (1978). A new method for estimating population size from removal data. *Biometrics* 34, 621-830.
- Delarze, R., & Gonseth, Y. (2008). Lebensräume der Schweiz. Ott Verlag.
- Dübendorfer et al. (2011). Expertenbericht zu einem Modul Temperatur im Rahmen des Modul-Stufen-Konzepts. BAFU.
- Dübendorfer, C. et al. (2011). Expertenbericht zu einem Modul Temperatur im Rahmen des Modul-Stufen-Konzepts. BAFU.
- Frey, M., Schmid, M., Wüest, A. (2003). *Einfluss von Aufweitungen auf das Temperaturregime der Thur.* EAWAG.
- Geist, D. R., Murray, C. J., Hanrahan, T. P., Xie, Y. (2008). A model of the effects of flow fluctuations on fall Chinook salmon spawning habitat availability in the Columbia River. *North American Journal of Fisheries Management*, 28(6), S. 1894-1910.

- Gostner, W., Schleiss, A. (2011). *Der hydromorphologische Index der Diversität.*Wasser Energie Luft 103.
- Guthruf. (2002). Emme unterhalb Biberist Untersuchung der Restwasserproblematik. Fischereibiologisches Gutachten. Amt für Umwelt des Kantons Solothurn.
- Guthruf. J. (2002). Emme unterhalb Biberist Untersuchung der Restwasserproblematik. Fischereibiologisches Gutachten. Amt für Umwelt des Kantons Solothurn.
- Hunziker, R., Dönni, W., & Kaufmann, G. (2011). Hochwasserschutz und Revitalisierung Emme Bauprojekt Biberist/Gerlafingen. Erfolgskontrolle: Konzept und Zustand von Massnahmen. Amt für Umwelt des Kantons Solothurn.
- Hunziker, R., Dönni, W., Kaufmann, G. (2012). *Leitbild Emme. Von der Kantonsgrenze Bern-Solothurn bis zur Mündung in die Aare.* Amt für Umwelt des Kantons Solothurn.
- IC Infraconsult; Fischwerk; Impuls; HZP. (2015). *Erfolgskontrolle, Erhebung Ausgangszustand*. Bern.
- Infospecies. (2023). www.infospecies.ch.
- Infraconsult, Hunziker, Zarn & Partner, Fischwerk. (2015). Fachgutachten Gewässerraum, Entwurf vom 01.05.2015 Hochwasserschutz und Revitalisierung Emme, Wehr Biberist bis Aare. Amt für Umwelt des Kantons Solothurn.
- Infraconsult, Impuls und Fischwerk. (2014). Konzept Erfolgskontrolle.

 Hochwasserschutz und Revitalisierung Emme, Wehr Biberist bis Aare. Amt für Umwelt des Kantons Solothurn.
- Jorde, K., Schneider, M. (2010). Kapitel 5 Habitatsimulationsmodelle und Funktionsweisen. In B.-U. Weimar (Hrsg.), Durchgängigkeit und Habitatmodellierung von Fliessgewässern. Wiederherstellen der Durchgängigkeit, Funktionskontrolle von Wanderhilfen, Habitate und ihre Beschreibung, Weiterbildendes Studium "Wasser und Umwelt" (1. Ausg., S. 159-168). Verlag der Bauhaus-Universität Weimar.
- Kissling & Zbinden AG, IUB Engineering. (2015). *Raumplanungsbericht & Technischer Bericht*. Auflageprojekt. Bern: AfU Kt. SO.
- MeteoSchweiz. (2015). «2014 Tag für Tag. Temperatur Niederschlag Sonnenscheindauer». Bundesamt für Meteorologie und Klimatologie MeteoSchweiz.

- MeteoSchweiz. (2024). *«Klimabulletin Jahr 2023»*. Bundesamt für Meteorologie und Klimatologie MeteoSchweiz.
- Requena, P., von Pfuhlstein, M. (2011). Erfolgskontrolle der morphologischen Entwicklungen bei Flussaufweitungen Erfahrungen aus der Praxis.
 «Wasser Energie Luft» (103. Jg. 2011, Heft 2), S. 128-132.
- Rey, P. H. (2019). *Die Äsche (Thymallus thymallus) im Seerhein Gefährdung und mögliche Fördermassnahmen.* Expertise zuhanden der Jagd- und Fischereiverwaltung Thurgau.
- Riedl, C., Peter, A. (Juli 2013). Timing of brown trout spawning in Alpine rivers with special consideration of egg burial depth. *Ecology of Freshwater Fish* (22), S. 384-397.
- Schneider, J., & Korte, E. (2005). Strukturelle Verbesserungen von Fliessgewässern für Fische, "Gemeinnützige Fortbildungsgesellschaft für Wasserwirtschaft und Landschaftsentwicklung mbH. (GfG, Hrsg.) Mainz.
- Schwaller, T. (Juni 2023). Mündliche Auskunft. (Impuls, Interviewer)
- Stucki P. (2010). Methoden zur Untersuchung und Beurteilung der Fliessgewässer:

 Makrozoobenthos Stufe F (flächendeckend). BAFU Umwelt-Vollzug 1026.
- Thielen, et al. (2003). «Directives de terrain».
- Thielen, R., Perrottet, N., Cosandey, A. C., Roulier, C. (2002). *Cartographie des zones alluviales. Clés de photo-interprétation.* Services conseil Zones alluviales. Yverdon-les-Bains.
- Toepfer, C. S., Fisher, W. L., Warde W. D. (2000). A multistage approach to estimate fish abundance in streams using geographic information systems. *North American Journal of Fisheries Managment*(20), S. 634-645.
- Versuchsanstalt für Wasserbau, Hydrologie und Glaziologie ETH Zürich (VAW) und das Geographische Insitut der Universität Bern (GIUB). (1987). *Emme 2050*.

 Baudirektion des Kantons Bern (Tiefbauamt) und des Baudepartements des Kantons Solothurn (Amt für Wasserwirtschaft).
- Weber, C. S. (2019). Wirkungskontrolle Revitalisierung Gemeinsam lernen für die Zukunft. Bern: BAFU.
- Woodget, A. C. (2014). Quantifying submerged fluvial topography using hyperspatial resolution UAS imagery and structure from motion photogrammetry. *Earth Surface Processes and Landforms, Volume 40*.
- Woolsey, S. et al. (2005). Handbuch für die Erfolgskontrolle be Fliessgewässerrevitalisierungen. EAWAG.

- Woolsey, S.; Weber, Ch.; Gonser, T.; Hoehn, E.; Hostmann, M.; Junker, B.; Roulier, Ch.; Schweizer, St.; Tiegs, S.; Tockner, K.; Peter, A. (2005). *Handbuch für die Erfolgskontrolle bei Fliessgewässerrevitalisierungen*. EAWAG.
- Wyrick, J. R., Senter, A. E., Pasternack, G. B. (2014). Revealing the natural complexity of fluvial morphology through 2D hydrodynamic delineation of river landforms. *Geomorphology*(210), S. 14-22.

| Hochwasserschutz und Revitalisierung Emme Solothurn, Wehr Biberist bis Aare | |
|---|----------|
| Erhebung 1. Projektzustand, Erfolgskontrolle Emme | Anhang A |
| | |
| | |
| | |
| | |
| | |
| | |
| | |
| | |
| | |
| | |
| | |
| Anhang A | |
| | |
| | |
| | |
| Bestimmungstabelle Mesohabitate | |

Schnell fliessende Mesohabitate

Turbulent: weisses (schäumendes) Wasser

| Furt (Rausche, Ri | ffle) | |
|-------------------|--|--|
| Turbulenz | mittel; kein/wenig Weisswasser, | |
| Turbulenz | hoch bei verengtem Quer- schnitt; Wellen, die die Was- seroberfläche nicht brechen | · (a) |
| Mittl. Flgeschw. | mittel; 0.2-0.5 m/s | 20, |
| Tiefe | <0.5 m | |
| Korngrösse | 0.2-25 cm; grössere Steine sub- mers oder teilweise emers | |
| Gefälle | 1-4 % | |
| Beschrieb | gerades oder konvexes Längen- profil | |
| Schnelle | | |
| Turbulenz | beträchtlich; Weisswasser; Wellen brechen Wasseroberfläche | NA AND |
| Mittl. Flgschw. | hoch; >0.5 m/s | |
| Tiefe | <0.5 m | 0 0000 |
| Korngrösse | >6 cm; grössere Steine emers | The state of the s |
| Gefälle | 4-7 % | in a single sing |
| Beschrieb | oft Stufen und kleine Kolke hinter grösseren Steinen; planares Längenprofil | |
| Kaskade | | |
| Turbulenz | hoch; v. a. Weisswasser | |
| Mittl. Flgschw. | hoch; >0.5 m/s | |
| Korngrösse | >25 cm oder anstehender Fels | |
| Gefälle | >7 % | |
| Beschrieb | Serie kleinerer Abstürze/Stufen und Kolke; gestuftes Längen- profil | |
| Stufe (Absturz, V | Vasserfall) | |
| Turbulenz | hoch; Weisswasser | |
| Mittl. Flgschw. | ± frei fallend über eine vertikale Kante | |
| Korngrösse | - | 2000 |
| Gefälle | ≤100 % | |
| Beschrieb | Wasserfall | may |
| Schussrinne | | . , , , |
| Turbulenz | turbulent | The state of the s |
| Mittl. Flgschw. | hoch | |
| Korngrösse | anstehende Fels, wenig oder nicht emers | |
| Gefälle | 2-30 % | |
| Beschrieb | enge Felsenrinnen | |

FISCHWERK 1

Nicht turbulent: kein weisses (schäumendes) Wasser

| Gleite | | |
|-----------------|--|--|
| Turbulenz | keine | |
| Mittl. Flgschw. | <0.5 m/s; gleichförmig | |
| Tiefe | relativ seicht (0.1-0.3 m bzw. ≤0.05* mittlere Breite) | |
| Korngrösse | <6 cm; grössere Steine submers oder teilweise emers | |
| Gefälle | <1 % | |
| Beschrieb | breites Gewässerbett ohne Talweg; gewöhnlich den Übergang zwischen Kolk und Riffle bildend; keine grös- seren Fliesshindernisse | |
| Lauf (Rinner) | | schneller Lauf |
| Turbulenz | gering | gering-mittel |
| Mittl. Flgschw. | realtiv hoch | hoch |
| Tiefe | tiefer als Furt und Gleite (>0.5 m) | relativ tief |
| Korngrösse | variabel; >1.5 cm | variabel Beschrieb v. a. bei höheren Abflüssen, nimmt einen Grossteil der |
| Gefälle | >4 % | variabel Gerinnebreite ein |
| Beschrieb | kommt über eindeutigem Talweg vor; uniformes Gewässerbett; keine grösseren Fliesshindernisse | |
| Felsgleite | | |
| Turbulenz | keine | |
| Mittl. Flgschw. | gleichförmig | and the state of t |
| Tiefe | seicht | |
| Korngrösse | glatter, anstehender Fels | |
| Gefälle | variabel | |
| Flachwasser | | |
| Turbulenz | keine | |
| Mittl. Flgschw. | gering bis stehend | |
| Tiefe | <0.2 m | |
| Korngrösse | >6 cm | |
| Gefälle | gering | |
| Beschrieb | gewöhnlich in Begleitung von Fur- ten; entlang des Ufers oder einer Kiesbank | |

FISCHWERK 2

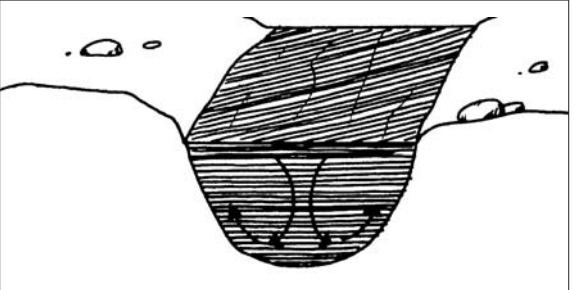
Langsam fliessende Mesohabitate

Erosionskolke (Tiefe >0.50 m bei Gerinnesohlenbreite ≤5 m, >1.00 m bei Gerinnesohlenbreite >5 m)

| Zentralkolk | ζ | |
|--------------|---|----------------|
| Lage | Hauptströmung | |
| Auslöser | Verengung des Gewässerquer- schnitts | 0000 |
| Korngrösse | sehr variabel | |
| Längsschnitt | tiefster Punkt in der Mitte oder oben | |
| Querschnitt | tiefster Punkt in der Mitte | |
| Beschrieb | der Kolk nimmt >60 % der Wasserspiegelbreite ein | |
| Lateralkolk | | |
| Lage | ufernah | و مو م |
| Auslöser | teilweise Blockierung des Gewässerbetts (Steine, Fels, Baumstamm, Wurzelstock) engt den Querschnitt von einer Seite her ein | |
| Korngrösse | variabel | 1//00° |
| Längsschnitt | tiefster Punkt in der Mitte oder oben | |
| Querschnitt | tiefster Punkt entlang des Hinder- nisses | |
| Beschrieb | der Kolk nimmt i. a. <60 % der Wasserspiegelbreite ein | |
| Hinterwass | er (Kehrwasser) | |
| Lage | ufernah | ^ _ |
| Auslöser | Erosionswirbel unterhalb eines Hindernisses (Steine, Baumstamm, Wurzelstock) am Gewässerrand | |
| Korngrösse | <25 cm, Sand | |
| Längsschnitt | tiefster Punkt in der Mitte oder oben | THINING AND AS |
| Querschnitt | tiefster Punkt in der Mitte | 200 |
| Beschrieb | tief, bei Niederwasser nicht durch- strömt | ././ |
| | | |

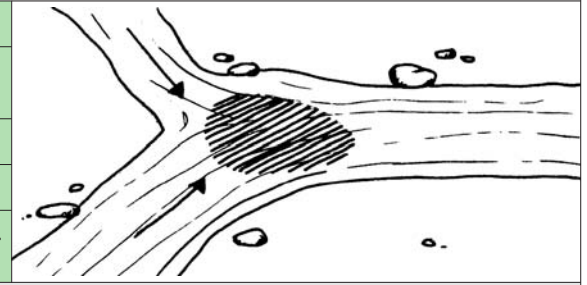
FISCHWERK 3

| Hauptströmung |
|--|
| starke Querschnittverengung in geradem Abschnitt |
| sehr grobkörnig, Wände oft anstehender Fels |
| uniform, lang und eng |
| uniform, U-förmig |
| rasch und gleichförmig fliessend, tief |
| |



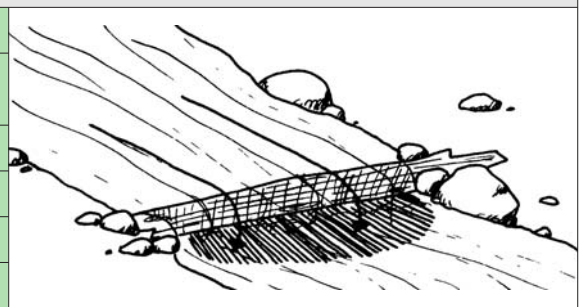
Mündungskolk

| Lage | Hauptströmung |
|--------------|---|
| Auslöser | Zusammentreffen zweier o. mehrerer Gewässerrinnen |
| Längsschnitt | tiefster Punkt in der Mitte |
| Querschnitt | tiefster Punkt in der Mitte |
| Beschrieb | höhere Strömung/Turbulenz als die meisten and. Pooltypen |
| | |



Stufenkolk/Becken

| Lage | Hauptströmung |
|--------------|---|
| Auslöser | vertikaler Fall des Wassers über ein die ±ganze Breite umfassendes Hindernis |
| Korngrösse | sehr verschieden |
| Längsschnitt | tiefster Punkt in der Mitte |
| Querschnitt | tiefster Punkt in der Mitte |
| Beschrieb | oft gross und tief, >1 m |
| | |



Tümpel

| Lage | meist ufernah, isoliert vom Hauptstrom |
|------------|--|
| Korngrösse | variabel |
| Beschrieb | kolk- oder flachwasserartig |



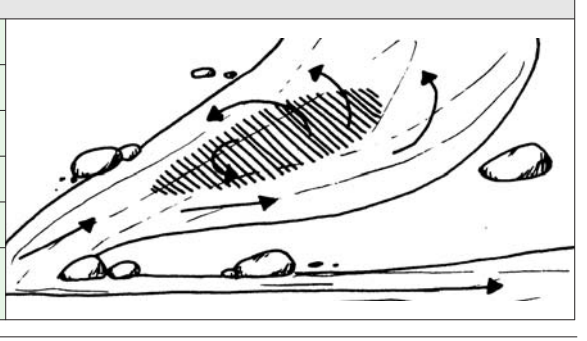
Staukolke (entstanden durch Aufstau)

| Staukolk | |
|--------------|---|
| Lage | Hauptströmung |
| Auslöser | Aufstauung unterhalb eines ±die ganze Breite umfass. Hind. (Baumst., Erdrutsch, Wehr) |
| Korngrösse | <1 cm, Sand |
| Längsschnitt | tiefster Punkt oben |
| Querschnitt | tiefster Punkt variabel |
| Beschrieb | temporär |
| | |



Nebengerinnekolk

| Lage | ufernah | | | | |
|--------------|--|--|--|--|--|
| Auslöser | slöser Geschiebeablagerung | | | | |
| Korngrösse | <1.5 cm, Sand, Silt | | | | |
| Längsschnitt | gsschnitt tiefster Punkt unten | | | | |
| Querschnitt | tiefster Punkt in der Mitte | | | | |
| Beschrieb | ausserh. des Hauptgerinnes, evtl. isoliert u. austrocknend | | | | |



Anhang B

Laichhabitat Bachforelle/Äsche

Anforderungen an das Laichhabitat

Laichhabitat

Bachforellen und Äschen legen ihre Eier in Laichgruben im Kiesbett. Gute Laichplätze zeichnen sich in erster Linie durch ein geeignetes Substrat der Gewässersohle aus. Der Anteil an Sand und Silt sollte nicht mehr als 10 % betragen. Zudem darf die Kolmation nicht zu stark sein. Das geeignete Substrat sollte in ausreichender Mächtigkeit vorkommen.

Ausreichend hohe Fliessgeschwindigkeiten gewährleisten, dass der Kies des Laichplatzes von Feinstoffen befreit ist. Ist der Feinstoffanteil im Kies zu hoch, nimmt die Durchlässigkeit des Kieses ab und die Versorgung der Eier mit Sauerstoff ist nicht mehr gesichert. Bezüglich der Wassertiefe sind Bachforellen und Äschen flexibler als bei den anderen beiden Habitatparametern. Zudem benötigen beide Arten genügend Deckung als Sicht- und Strömungsschutz während der Ruhephasen zwischen den Laichakten.

Optimale Laichhabitate liegen in den Übergängen zwischen einem Kolk (Deckung/Strömungsschutz) und einer Furt oder einer Schnelle. Generell werden seicht überströmte Kiesbänke als Laichplätze bevorzugt.

Erhebungsmethodik

Vorgehen

Das dominierende Substrat wurde flächendeckend erfasst²³. Die Klassifizierung der Substrate erfolgte nach (Stucki P, 2010) (Tabelle 77). In den Strecken Papierfabrik und Schwarzweg kam weicher Fels (verdichtetes Substrat) vor, welcher sich mit dem Fuss zerstören liess. Dieser weiche Fels wurde dennoch als «Fels» erfasst. Die Berechnung der Wassertiefen und Fliessgeschwindigkeiten erfolgte durch die Firma Hunziker, Zarn & Partner (siehe Kapitel 7).

| Substrattyp | Beschrieb | Korngrösse [cm] |
|-------------|----------------------------|-----------------|
| Megalithal | Fels | - |
| Megalithal | Mobile Blöcke | >40 |
| Makrolithal | Grosse Steine | 20-40 |
| Mesolithal | Kleine und mittlere Steine | 6-20 |
| Mikrolithal | Grobkies | 2.5-6 |
| Akal | Feinkies | 0.25-2.5 |
| Psammal | Sand | 0.1-0.25 |
| Pelal | Schluff | <0.1 |
| Xylal | Totholz | - |
| Phytal | Algen | - |

Tabelle 72 Definition der Substrattypen (verändert nach Stucki 2010).

²³ Die Einmessung erfolgte mit einem GPS mit einer Genauigkeit von ca. 70 cm. Bei kleinen Erhebungslücken entlang des Ufers wurde die Substratklasse extrapoliert.

Bewertung

Die Bewertung der artspezifischen Habitateignung erfolgte mittels eines zweidimensionalen PHABSIM-Modellansatzes²⁴. Er basiert auf einer Verknüpfung von hydraulischen und biologischen Parametern. Mit Hilfe des 2D-Modells wurden die tiefengemittelten Fliessgeschwindigkeiten²⁵ (siehe Kapitel 7) und Wassertiefen für Abflüsse von 1.8 m³/s und 6.2 m³/s berechnet. Die Ergebnisse für die drei Parameter wurden in ein Raster mit einer Zellgrösse von 0.25 x 0.25 m überführt.

Die Verknüpfung der Fliessgeschwindigkeiten, der Wassertiefe und des Substrates mit den biologischen Parametern erfolgt idealerweise über so genannte Eignungskurven («suitability curves»). Sie beschreiben mit Hilfe eines Eignungsindexes (Werte von o = ungeeignet bis 1 = optimal), wie gut die Ansprüche bezüglich eines einzelnen Habitatparameters erfüllt sind. Anstelle von Eignungskurven wurde mit 4 Eignungsklassen gearbeitet (Tabelle 78). So konnten die Ausdehnung und Lage der potenziell geeigneten Flächen bezüglich Fliessgeschwindigkeit, Tiefe und Substrat berechnet werden.

| Eignungsklasse | Umschreibung | Eignungsindex |
|----------------|------------------|---------------|
| 0 | ungeeignet | 0.0-0.1 |
| 0.2 | bedingt geeignet | 0.1-0.3 |
| 0.6 | geeignet | 0.3-0.8 |
| 1 | optimal | 0.8-1 |

Tabelle 73 Definition der verwendeten Eignungsklassen (abgeändert nach (Brown S. K., Buja K. R., Jury S. H., Monaco M. E., Banner A., 2000))

Herleitung der Eignungsklassen Es wurden dieselben Eignungsklassen wie für die Auswertung des Ausgangszustandes verwendet (Tabelle 79).

²⁴ PHABSIM bedeutet «physical habitat simulation». Es ist Teil der «Instream flow incremetal methology» (IFIM), die in den 1980er und 1990er Jahren in den USA entwickelt wurde. Die Methodik hat sich seither auch in Europa etabliert. Sie basierte ursprünglich auf einer eindimensionalen Modellierung der Wassertiefen und Fliessgeschwindigkeiten. Inzwischen wurde sie mit einem deutlich aussagekräftigeren zweidimensionalen Ansatz erweitert.

²⁵ Mittlere Fliessgeschwindigkeit in der Wassersäule.

| + | Parameter | Eignungsklasse | | | | | | | | |
|-------------|--------------------------------|--|---------------------|-----------------------|-------------|--|--|--|--|--|
| Art | Umschreibung | 0 (ungeeignet) | 0.2 (bed. geeignet) | 0.6 (geeignet) | 1 (optimal) | | | | | |
| | Fliessgeschwindigkeit [m/s] | <0.10 >0.80 | 0.10-0.15 | 0.15-0.25 0.5-0.65 | 0.25-0.5 | | | | | |
| elle | | >0.80 | 0.03-0.8 | 0.5-0.65 | | | | | | |
| Bachforelle | Wassertiefe [m] | <0.10 | - | 0.1-0.15 | >0.15 | | | | | |
| Вас | | _ | - | _ | | | | | | |
| | Substrat | Pelal, Psammal | Mesolithal | Akal | Mikrolithal | | | | | |
| | Fliessgeschwindigkeit [m/s] | <0.20 | 0.20-0.25 | 0.25-0.35 | 0.35-0.5 | | | | | |
| | | >0.75 | 0.65-0.75 | 0.5-0.65 | | | | | | |
| | Wassertiefe [m] | <0.15 | 0.15-0.25 | 0.25-0.5 | >0.50 | | | | | |
| Äsche | | _ | - | _ | | | | | | |
| Ä | Substrat | Pelal, Psammal, Mesolithal, Makrolithal, Megalithal | Akal | - | Mikrolithal | | | | | |

Tabelle 74 Für die Modellierung des Habitatangebotes für die Bachforelle und Äsche verwendete Eignungsklassen

Berechnung der Potenzialflächen Aus den Eignungsklassen der 3 Parameter (Einzeleignungen) erfolgte für jede Rasterzelle durch Aggregation die Bewertung der Gesamteignung. Aufgrund der Empfehlungen in (Jorde, K., Schneider, M., 2010) wurde als Aggregationsmethode das geometrische Mittel gewählt. Dadurch ist gewährleistet, dass die Gesamteignung o ergibt, wenn ein einzelner Habitatparameter ungeeignet (= 0) ist. Da die Wassertiefe von untergeordneter Bedeutung ist, wurde sie lediglich mit einem Drittel gewichtet²⁶.

Eine adulte Bachforelle benötigt zum Laichen, aber auch ausserhalb der Laichzeit, eine minimale Habitatfläche. Diese kann umso kleiner sein, je grösser ihre Qualität ist (Tabelle 8o). Sämtliche Teilflächen einer Eignungsklasse, die kleiner als die minimale Habitatfläche waren, wurden deshalb nicht weiter berücksichtigt. Sie erhielten die Eignungsklasse o. Analog zur Auswertung des Ausgangszustandes wurde auch für die Äsche die minimalen Habitatflächen der Bachforelle verwendet. Gemäss (Rey, 2019) müsste man aber grössere Werte verwenden. Eine Mindestfläche von 20 m² pro Laichplatz wird angegeben.

Das potenzielle Habitatangebot wurde als integraler Wert berechnet, der sowohl die nutzbare Fläche als auch ihre Eignung als Lebensraum berücksichtigt. Hierfür wurden die Rasterflächen einer Eignungsklasse aufsummiert, die Flächensummen

²⁶ Die Wassertiefe wurde mit 1/3 gewichtet, die Fliessgeschwindigkeit und das Substrat jedoch mit 1.

nach ihrer Eignung gewichtet (d.h. mit ihrem Eignungswert 1, 0.6, 0.2 oder 0 multipliziert) und zur so genannten "weighted usable area" (WUA) addiert. Sind alle Einzelflächen optimal geeignet (Eignungsklasse 1) entspricht die WUA der gesamten Gerinnefläche²⁷.

| Eignungsklasse | Laichhabitat |
|----------------|------------------|
| 0 | _ |
| 0.2 | 9 m² |
| 0.6 | 5 m ² |
| 1 | 2 m ² |

Tabelle 75 Definition der minimal notwendigen Fläche für eine Bachforelle (Baumann P, Kirchhofer A, Schälchli U, 2012)

Das Modell, als vereinfachtes Abbild der realen Natur, geht davon aus, dass die Einzelparameter unabhängig sind. Es gibt aber eine grosse Abhängigkeit zwischen Tiefe und Fliessgeschwindigkeit, und die Fliessgeschwindigkeit bestimmt das Substrat (Korngrösse). Die Habitatwahl der Fische ist unzweifelhaft ein multivariater Prozess. Sie basiert also auf mehreren interagierenden Habitatvariablen. Das verwendete Modell kann diese Komplexität nicht berücksichtigen und liefert nur eine Annäherung.

Sohlensubstrat

Emmenschachen

Das Gerinne wurde von ausgedehnten Grobkiesflächen dominiert (Abbildung 80).

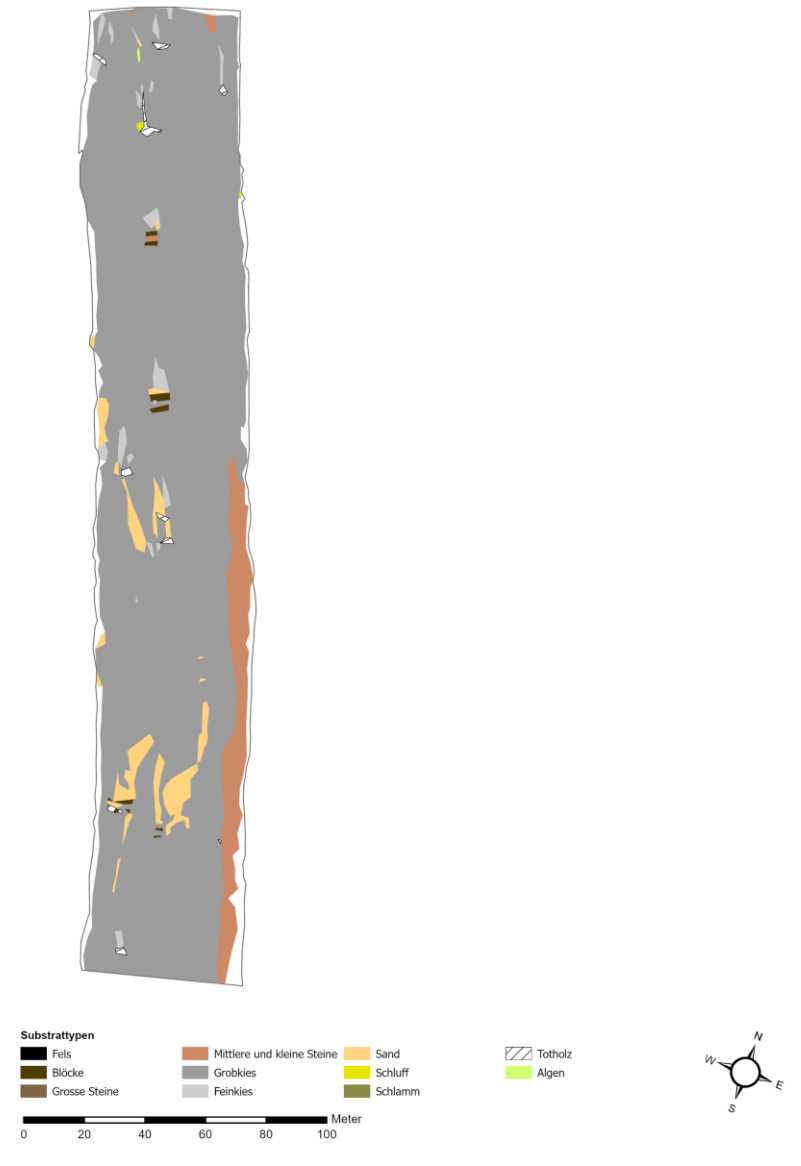


Abbildung 80 Verteilung der Substrattypen in der Untersuchungsstrecke Emmenschachen am 6.3.2023.

Schwarzweg

Grobkies sowie Steine dominierten in der Untersuchungsstrecke Schwarzweg (Abbildung 81). Gegen das Ufer hin kamen Felsflächen vor, welche grösstenteils aus verfestigtem Sand bestanden.

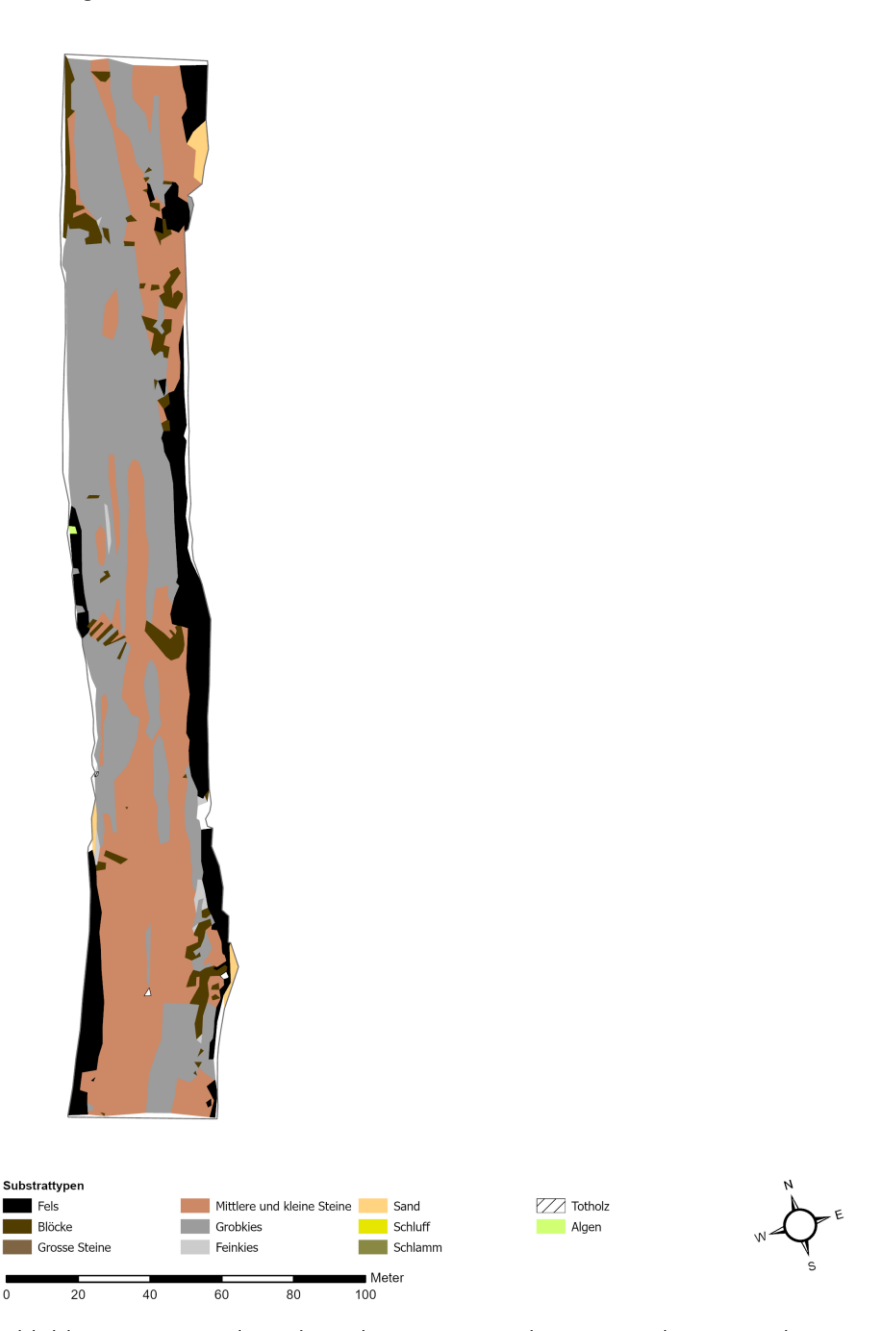


Abbildung 81 Verteilung der Substrattypen in der Untersuchungsstrecke Schwarzweg am 7.3.2023.

Papierfabrik

Grobkies und Steine dominierten (Abbildung 82). Zudem kamen grössere Felsflächen vor, welche zum Teil aus verdichtetem Sand bestanden.

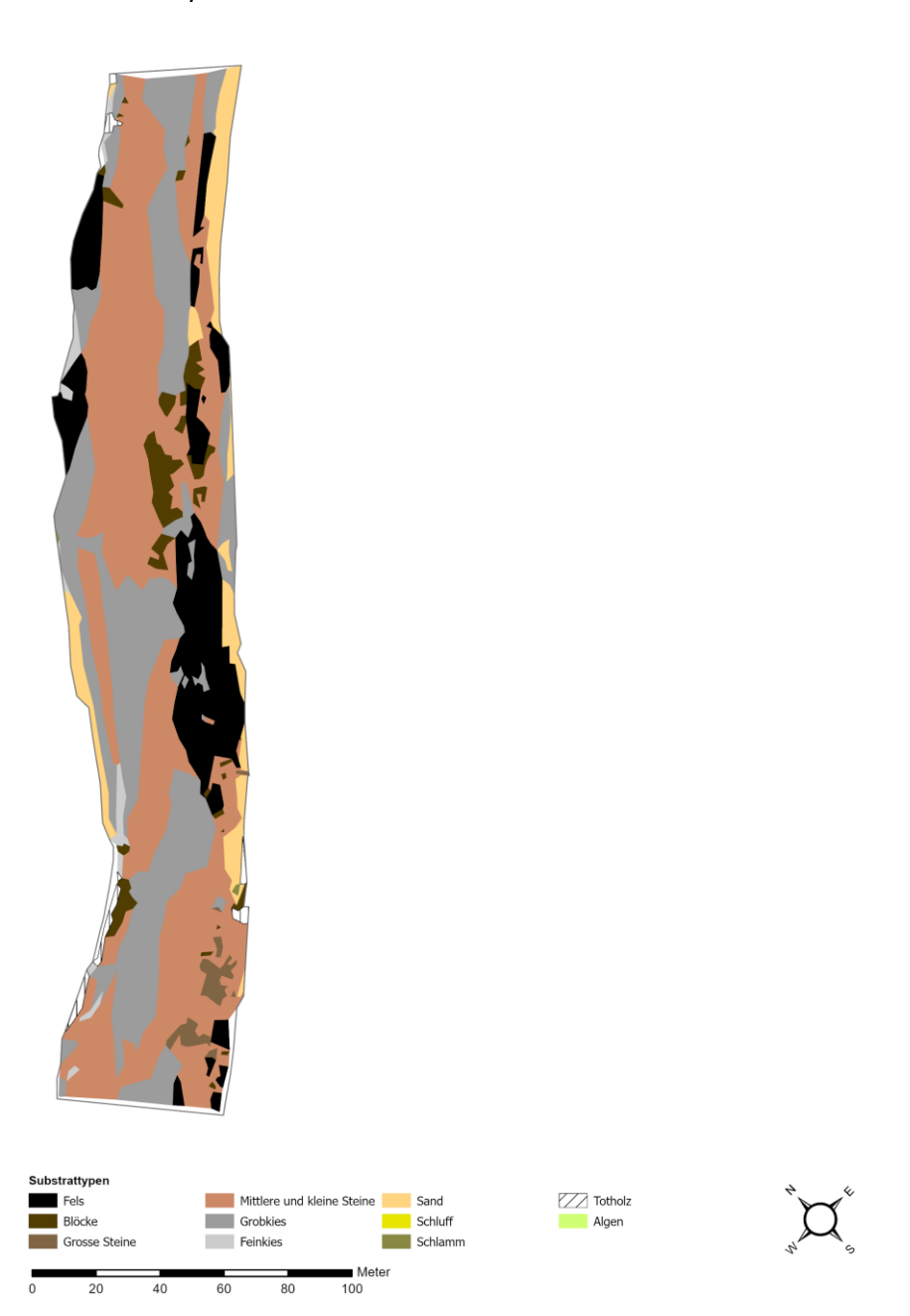


Abbildung 82 Verteilung der Substrattypen in der Untersuchungsstrecke Papierfabrik am 23.3.2023.

Sandanteil

Emmenschachen

Ein Grossteil der Substratflächen war mit Sand durchsetzt, wobei sich dieser bei Berührung rasch verflüchtigte (Abbildung 83; Abbildung 84).

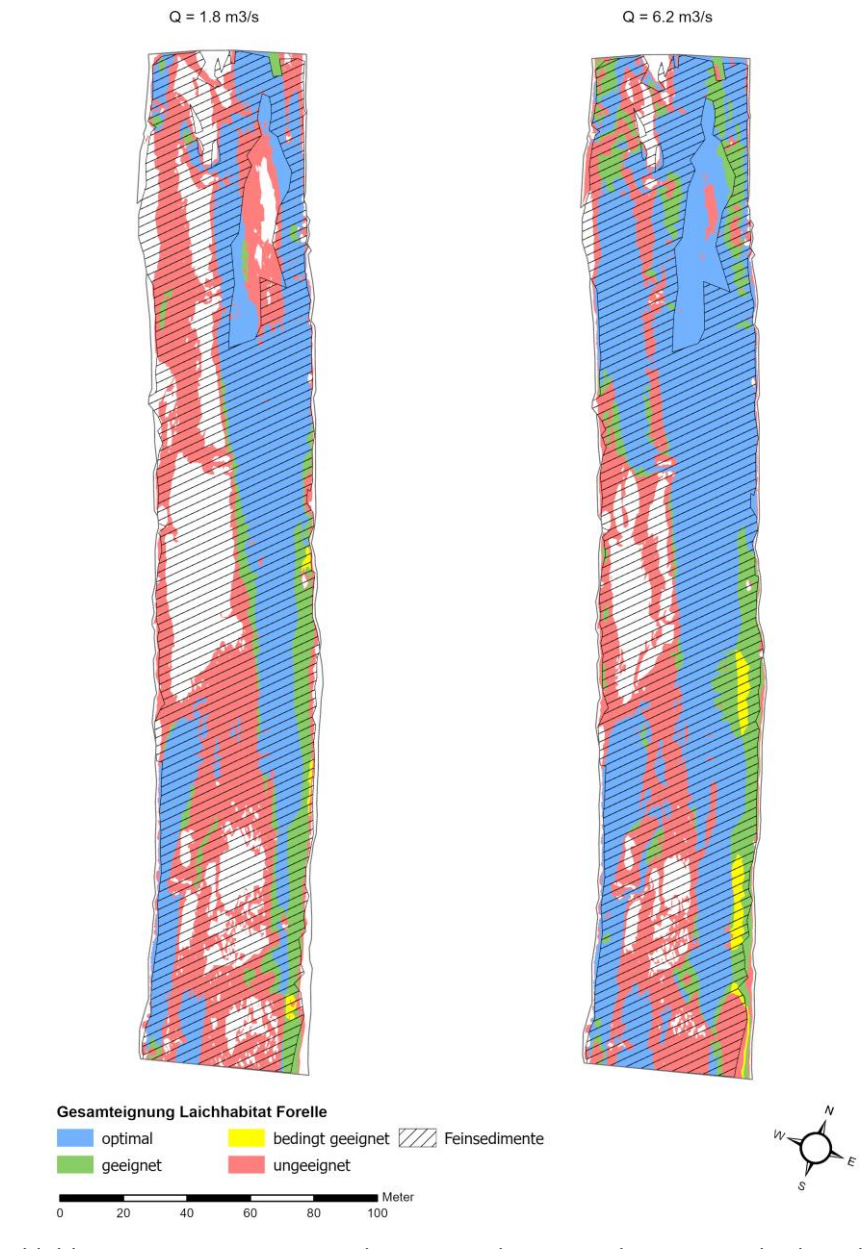


Abbildung 83 Gesamteignung der Untersuchungsstrecke Emmenschachen als Laichhabitat für die Bachforelle. Lage der Feinsedimente (Sandanteil >= 5 %).



Abbildung 84 Gesamteignung der Untersuchungsstrecke Emmenschachen als Laichhabitat für die Äsche. Lage der Feinsedimente (Sandanteil >= 5 %).

Schwarzweg

Ein Grossteil der Fläche war mit Sand durchsetzt, wobei sich dieser bei Berührung rasch verflüchtigte (Abbildung 85; Abbildung 86).



Abbildung 85 Gesamteignung der Untersuchungsstrecke Schwarzweg als Laichhabitat für die Bachforelle. Lage der Feinsedimente (Sandanteil >= 5 %).



Abbildung 86 Gesamteignung der Untersuchungsstrecke Schwarzweg als Laichhabitat für die Äsche. Lage der Feinsedimente (Sandanteil >= 5 %).

Papierfabrik

Ein Grossteil der Fläche war mit Sand durchsetzt, wobei sich dieser bei Berührung rasch verflüchtigte (Abbildung 87; Abbildung 88).

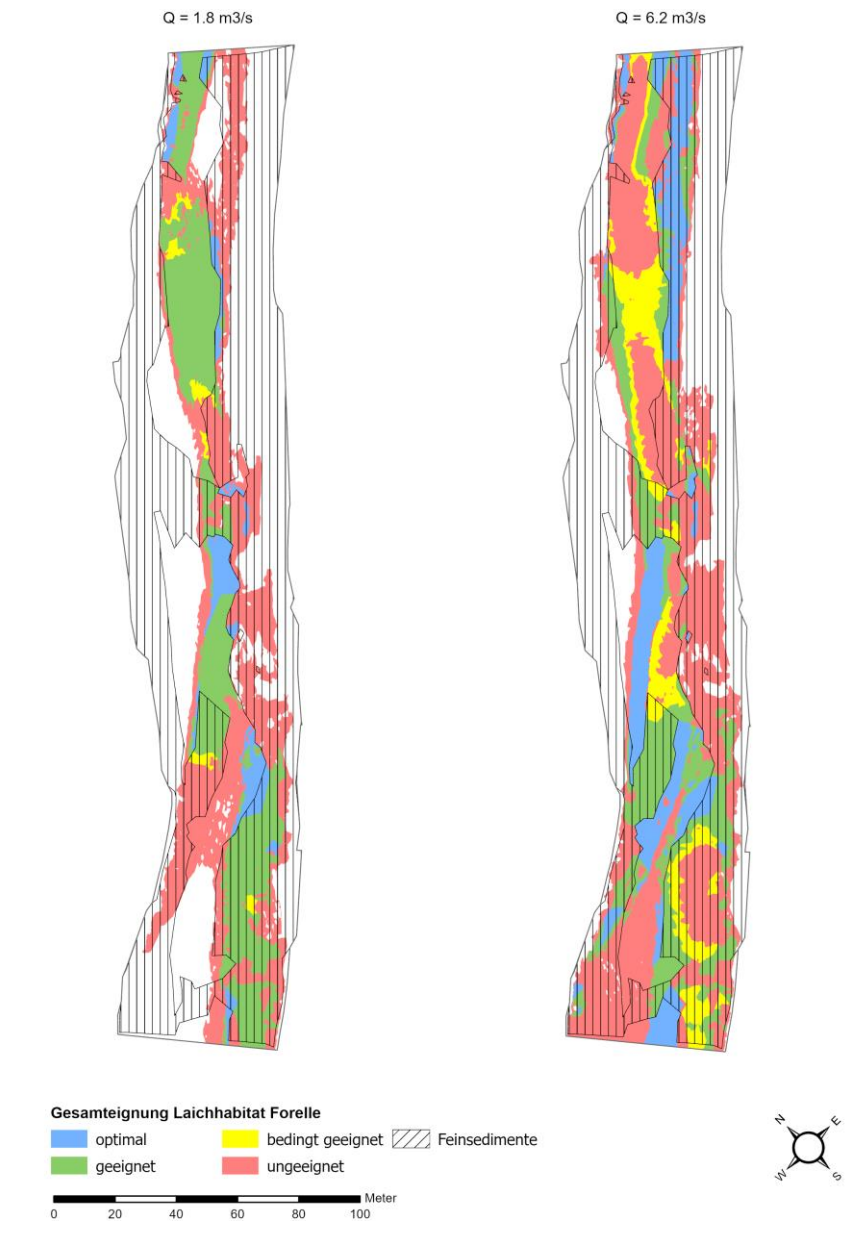


Abbildung 87 Gesamteignung der Untersuchungsstrecke Papierfabrik als Laichhabitat für die Bachforelle. Lage der Feinsedimente (Sandanteil >= 5 %).

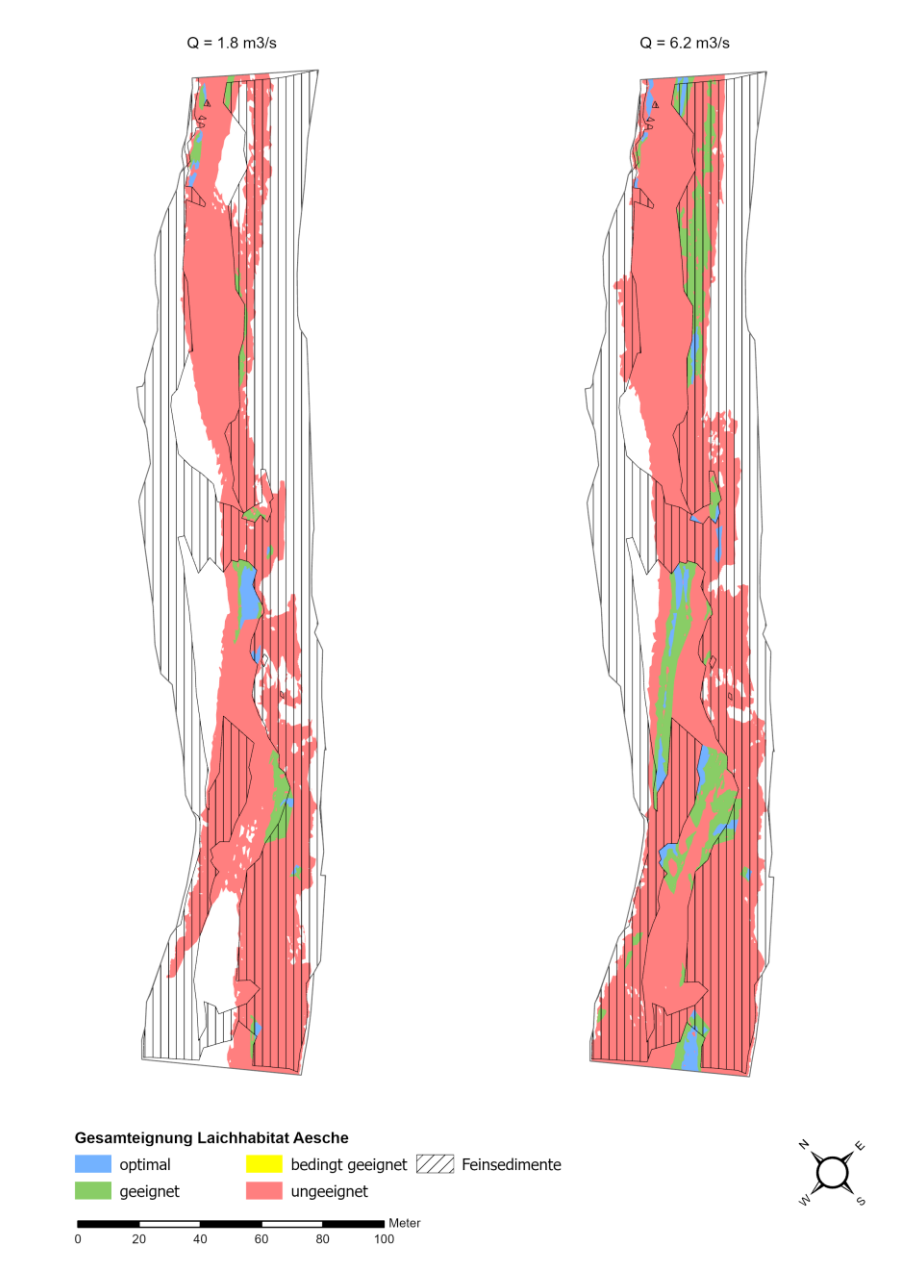


Abbildung 88 Gesamteignung der Untersuchungsstrecke Papierfabrik als Laichhabitat für die Äsche. Lage der Feinsedimente (Sandanteil >= 5 %).

Eignung als Laichhabitat

| Emmenschachen | | | | | | | |
|---------------|-----------------------|---------|---------|---------------------------------|-------------|------------|-------------|
| Art | Parameter | Abfluss | Eignun | Eignung [% Fläche Gerinnesohle] | | | Gesamt- |
| | | [m³/s] | | | | | fläche [m²] |
| | | | optimal | geeignet | bed. geeig. | ungeeignet | |
| | Substrat | 1 | 86.7 | 1.4 | 7.6 | 4.3 | 16′417 |
| | Fliessgeschwindigkeit | 1.8 | 30.6 | 22.9 | 8.3 | 12.5 | 16′419 |
| elle | | 6.2 | 37.2 | 33.1 | 9.9 | 8.3 | 16′419 |
| Bachforelle | Wassertiefe | 1.8 | 35.7 | 8.4 | 0.0 | 30.3 | 16′419 |
| Back | | 6.2 | 61.6 | 8.9 | 0.0 | 18.1 | 16′419 |
| | Gesamteignung | 1.8 | 31.5 | 7.8 | 0.3 | 60.4 | 16′418 |
| | | 6.2 | 51.2 | 11.3 | 1.2 | 36.4 | 16′418 |
| | Substrat | - | 86.7 | 0.0 | 1.4 | 11.9 | 16′417 |
| | Fliessgeschwindigkeit | 1.8 | 14.3 | 19.8 | 11.0 | 29.2 | 16′419 |
| | | 6.2 | 25.5 | 36.8 | 10.0 | 16.1 | 16′419 |
| Äsche | Wassertiefe | 1.8 | 2.5 | 18.2 | 15.0 | 38.6 | 16′419 |
| Ä | | 6.2 | 14.6 | 29.9 | 17.1 | 26.9 | 16′419 |
| | Gesamteignung | 1.8 | 3.7 | 19.9 | 0.0 | 76.4 | 16′418 |
| | | 6.2 | 17.6 | 31.6 | 0.0 | 50.8 | 16′418 |

Tabelle 76 Eignung der Untersuchungsstrecke Emmenschachen als Laichhabitat für Bachforelle und Äsche.

| Sch | Schwarzweg | | | | | | | |
|-------------|-----------------------|-------------------|---------|---------------------------------|-------------|------------|------------------------|--|
| Art | Parameter | Abfluss [m³/s] | Eignun | Eignung [% Fläche Gerinnesohle] | | | Gesamt- fläche [m²] | |
| | | [111 /3] | optimal | geeignet | bed. geeig. | ungeeignet | nache (m) | |
| | Substrat | _ | 40.2 | 0.6 | 38.4 | 20.9 | 10′712 | |
| | Fliessgeschwindigkeit | 1.8 | 21.0 | 20.3 | 9.6 | 12.0 | 10′712 | |
| alle | | 6.2 | 26.6 | 25.1 | 17.4 | 14.6 | 10′712 | |
| 3achforelle | Wassertiefe | 1.8 | 36.5 | 7.6 | 0.0 | 19.5 | 10′712 | |
| Back | | 6.2 | 66.8 | 6.5 | 0.0 | 10.5 | 10′712 | |
| | Gesamteignung | 1.8 | 9.1 | 19.2 | 3.1 | 68.6 | 10′713 | |
| | | 6.2 | 22.6 | 20.6 | 6.9 | 49.8 | 10′713 | |
| | Substrat | - | 40.2 | 0.0 | 0.6 | 59.2 | 10′712 | |
| | Fliessgeschwindigkeit | 1.8 | 12.4 | 18.1 | 8.6 | 23.7 | 10′712 | |
| | | 6.2 | 19.7 | 26.7 | 14.2 | 23.0 | 10′712 | |
| Äsche | Wassertiefe | 1.8 | 4.4 | 18.3 | 13.8 | 27.2 | 10′712 | |
| Ä | | 6.2 | 18.2 | 35.6 | 13.0 | 17.0 | 10′712 | |
| | Gesamteignung | 1.8 | 1.8 | 5.6 | 0.0 | 92.6 | 10′713 | |
| | | 6.2 | 7.2 | 15.5 | 0.0 | 77.3 | 10′713 | |

Tabelle 77 Eignung der Untersuchungsstrecke Schwarzweg als Laichhabitat für Bachforelle und Äsche.

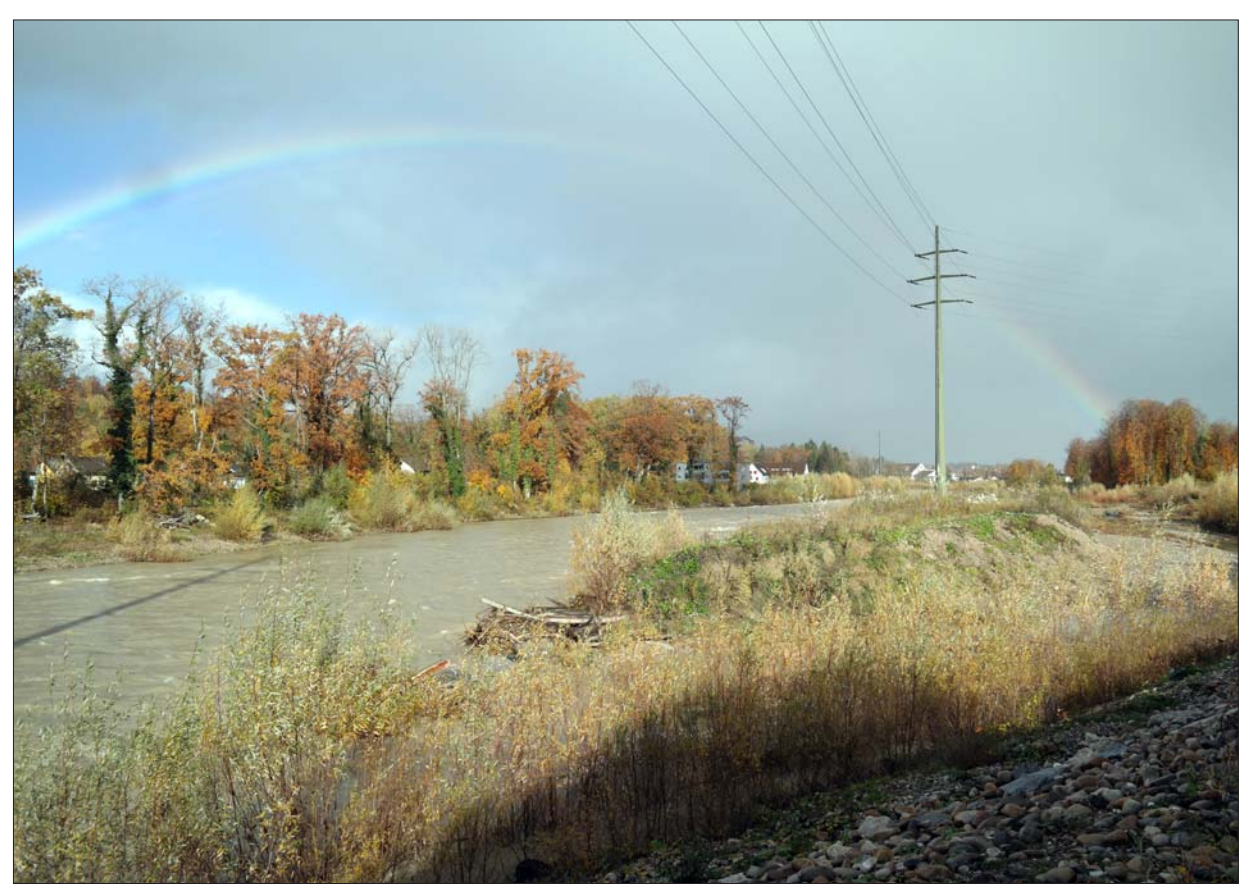
| Papierfabrik | | | | | | | |
|--------------|-----------------------|-------------------|---------|---------------------------------|-------------|------------|------------------------|
| Art | Parameter | Abfluss [m³/s] | Eignun | Eignung [% Fläche Gerinnesohle] | | | Gesamt- fläche [m²] |
| | | [/3] | optimal | geeignet | bed. geeig. | ungeeignet | nache [m] |
| | Substrat | 1 | 28.8 | 1.3 | 44.0 | 25.9 | 15'799 |
| | Fliessgeschwindigkeit | 1.8 | 18.2 | 12.2 | 5.3 | 10.2 | 15′801 |
| alle | | 6.2 | 18.5 | 19.9 | 14.0 | 14.7 | 15′801 |
| Sachforelle | Wassertiefe | 1.8 | 29.5 | 4.9 | 0.0 | 12.1 | 15'801 |
| Back | | 6.2 | 48.4 | 5.5 | 0.0 | 13.2 | 15'801 |
| | Gesamteignung | 1.8 | 3.8 | 17.8 | 0.9 | 77.5 | 15′799 |
| | | 6.2 | 11.1 | 14.4 | 7.4 | 67.1 | 15′798 |
| | Substrat | 1 | 28.8 | 0.0 | 1.3 | 69.9 | 15'799 |
| | Fliessgeschwindigkeit | 1.8 | 10.7 | 14.0 | 4.5 | 16.9 | 15'801 |
| | | 6.2 | 11.2 | 19.5 | 12.3 | 24.1 | 15'801 |
| Äsche | Wassertiefe | 1.8 | 3.3 | 15.9 | 10.3 | 17.1 | 15′801 |
| Ä | | 6.2 | 15.2 | 23.3 | 10.0 | 18.7 | 15′801 |
| | Gesamteignung | 1.8 | 0.9 | 2.0 | 0.0 | 97.1 | 15′799 |
| | | 6.2 | 2.0 | 7.9 | 0.0 | 90.1 | 15′799 |

Tabelle 78 Eignung der Untersuchungsstrecke Papierfabrik als Laichhabitat für Bachforelle und Äsche.

Anhang C

Anhang C

Fotografische Dokumentation Fischwerk, 2023



Untersuchungsstrecke Papierfabrik am 15.11.2023

Erfolgskontrolle Erhebung I. Projektzustand **Fotografische Dokumentation**

31.5.2024

FISCHWERK

FISCHBIOLOGIE • GEWÄSSERÖKOLOGIE • GEOINFORMATIK

Neustadtstrasse 7, 6003 Luzern T 041 210 20 15

INFO@FISCHWERK.CH

WWW.FISCHWERK.CH

1 Problemstellung und Auftrag

Mit dem Indikator 'Fotografische Dokumentation' soll die optische Entwicklung der Untersuchungsstrecken festgehalten werden. Von den im Ausgangszustand verwendeten Fotostandorten zwischen Biberist und der Mündung in die Aare wurden auch im 1. Projektzustand bei Niederwasserabfluss sowie bei Hochwasser Fotos gemacht.

2 Vorgehen

Die Fotos wurden am 7.7.2023 und 11.7.2023 (sonnig) bei 2.3 m³/s Restwasserabfluss und am 15.11.2023 (wechselhaftes Wetter) bei abnehmendem Hochwasser (135 m³/s am Morgen bis 107 m³/s am späteren Nachmittag bei Messstation Emme Wiler) aufgenommen¹. Die Hochwasserspitze lag in der Nacht auf den 15.11.2023 bei circa 358 m³/s bei der Messstation Emme, Wiler, was in etwa einem Hochwasser mit 4 bis 5-jähriger Wiederkehrperiode entspricht. Aufgrund des Hochwassers war der Zugang zu vielen Fotostandorten erschwert. Von einigen Standorten konnte bei Hochwasser keine Erhebung gemacht werden. Weitere Fotostandorte mussten bei Hochwasser leicht verschoben werden.

Basierend auf den Koordinaten, der Beschreibung des Fotostandortes und der Bilder des Ausgangszustandes wurde versucht das Stativ möglichst gleich zu platzieren wie im Ausgangszustand. Das Stativ wurde mit der Wasserwaage ausbalanciert. Die Fotos wurden möglichst in dieselben Richtungen wie im Ausgangszustand gemacht (Elevation, Deklination, Neigung). Pro Fotostandort wurde in verschiedene Richtungen fotografiert. Sämtliche Aufnahmen wurden mit einer Brennweite von 18 mm gemacht. Die Ausgabegrösse der JPEG-Dateien betrug 2976x1984 Pixel (5.9 Megapixel), die Auflösung 350x350 ppi (Pixel/Zoll). Es wurden total 164 Aufnahmen bei Niederwasserabfluss respektive 395 Aufnahmen bei Hochwasserabfluss gemacht.

Alle Bilddateien pro Standort wurden in einem nach folgendem System benannten Ordner gespeichert: Untersuchungsstrecke_Nummer Fotostandort_Abfluss_Datum. Bsp.: SW2_HW_20231115 = Schwarzweg, 2. Fotostandort bei Hochwasser am 15.11.2023.

Abkürzungen der Untersuchungsstrecken: EZ = Emmenspitz, EC = Emmenschachen, SW = Schwarzweg, PF = Papierfabrik. Abkürzungen der zusätzlichen Fotostandorte: BB = Bahnbrücke, PD = Pockenhaus Derendingen, AB = Brücke bei Derendingen (fälschlicherweise als Autobahnbrücke bezeichnet im Bericht des Ausgangszustandes).

Fotostandort: pinker Punkt = Standort; blau Linie = Blickrichtung; pinke Etikette = Standortbezeichnung (Abkürzung Untersuchungsstrecke/Nummer Fotostandorte)

3 Vergleich

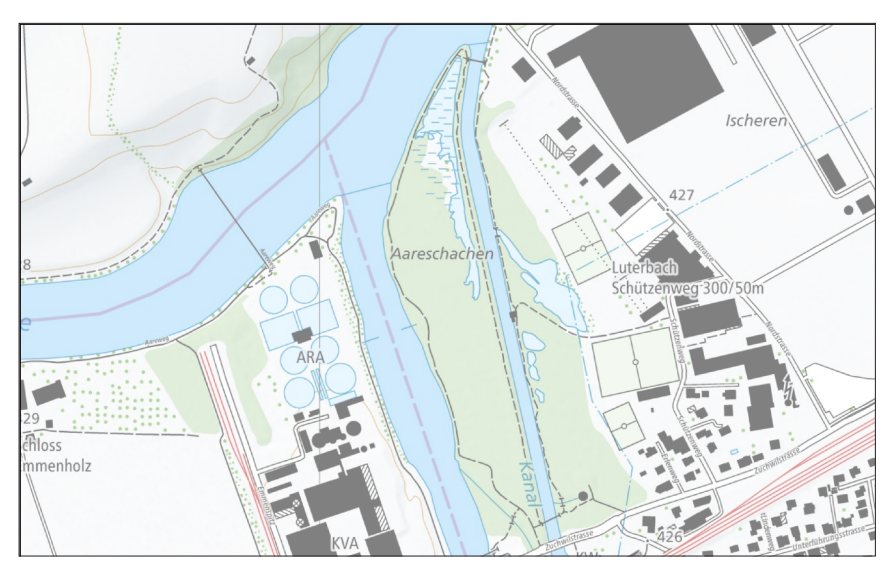
Für den Vergleich des Ausgangszustandes mit dem 1. Projektzustand wurden Fotopaare mit guter Aussagekraft gesucht (Abb. 1 bis Abb. 25). Nachfolgend werden nur diese gezeigt. Falls gute Fotos vorhanden waren, wurde jeweils der Ausgangszustand mit dem 1. Projektzustand sowohl bei Niederwasserabfluss als auch bei Hochwasserabfluss verglichen. Die Niederwasseraufnahmen im Ausgangszustand wurden am 25.8.2014 bei 2.3 m³/s und am 27.11.2014 bei 1.8 m³/s erhoben. Der Abfluss ist somit vergleichbar mit demjenigen des 1. Projektzustandes (2.3 m³/s). Die Hochwassererhebungen im Ausgangszustand fanden jedoch mit 63 m³/s (Morgen) bis 43 m³/s (Abend) bei einem deutlich geringeren Abfluss statt als im 1. Projektzustand (135 m³/s bis 107 m³/s).

Die eigenen Fotoerhebungen wurden ergänzt durch Orthofotos der Jahre 2011 (Ausgangszstand bei 1.8 m³/s in Restwasserstrecke; Kanton Solothurn, Flugdaten 24.3.2011, 8.4.2011, 9.4.2011) und 2021 (1. Projektzustand; Swisstopo, Flugdatum und Abfluss nicht bekannt).

FISCHWERK 2

1

Der genaue Abfluss in der Restwasserstrecke ist nicht bekannt, da unklar ist ob das Kraftwerk trotz Hochwasser mit der üblichen Ausbauwassermenge lief oder ob es ausgeschaltet war.



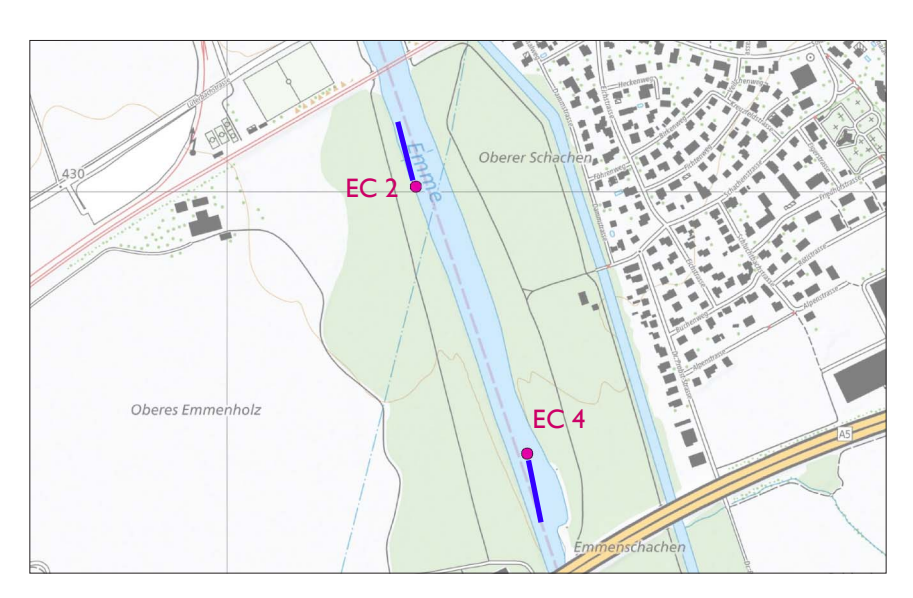
Emmenspitz

Abb. 1 Untersuchungsgebiet Emmenspitz. Hintergrundkarte © Swisstopo





Abb. 2 Orthofoto des Untersuchungsgebietes Emmenspitz in den Jahren 2011 (links) und 2021 (rechts). Blick auf die neu geschaffenen Initialgerinne und den neuen Altarm. Hintergrundkarten © Kanton Solothurn / Swisstopo



Emmenschachen

Abb. 3 Lage der Fotostandorte im Untersuchungsgebiet Emmenschachen inklusive Blickrichtung. Hintergrundkarte © Swisstopo





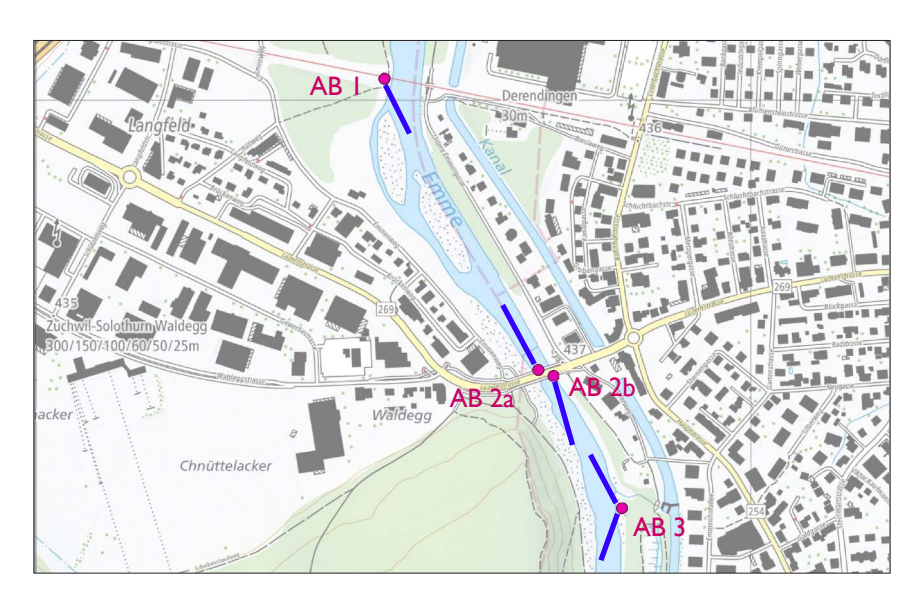
Abb. 4 Orthofoto des Untersuchungsgebietes Emmenschachen in den Jahren 2011 (links) und 2021 (rechts). Blick auf die neue Aufweitung der Emme. Hindergrundkarten © Kanton Solothurn / Swisstopo



Abb. 5 Oben: Fotostandort EC2 bei Niedrigwasserabfluss. Blick flussabwärts in die aufgeweitete und strukturierte Strecke der Emme. Links: 25.8.2014 / Rechts: 7.7.2023



Abb. 6 Oben: Fotostandort EC4 bei Niedrigwasserabfluss. Blick flussaufwärts in die aufgeweitete Strecke der Emme. Links: 25.8.2014 / Rechts: 7.7.2023 Unten: Bei Hochwasser. Standort etwas in Richtung Ufer hin verschoben. Links: 5.5.2015 / Rechts: 15.11.2023



Brücke bei Derendingen

Abb. 7 Lage der Fotostandorte im Bereich der Brücke bei Derendingen inklusive Blickrichtung. Hintergrundkarte © Swisstopo





Abb. 8 Orthofoto des Gebietes Autobahnbrücke in den Jahren 2011 (links) und 2021 (rechts). Blick auf die neue Aufweitung der Emme. Hintergrundkarten © Kanton Solothurn / Swisstopo



Abb. 9 Oben: Fotostandort AB1 bei Niedrigwasserabfluss. Blick flussaufwärts in die aufgeweitete Strecke der Emme. Links: 27.11.2015 / Rechts: 7.7.2023 Unten: Bei Hochwasser. Links: 5.5.2015 / Rechts: 15.11.202



Abb. 10 Oben: Fotostandort AB2a bei Niedrigwasserabfluss. Blick flussabwärts in die aufgeweitete Strecke der Emme und die ehemalige Schwelle. Links: 27.11.2014 / Rechts: 7.7.2023



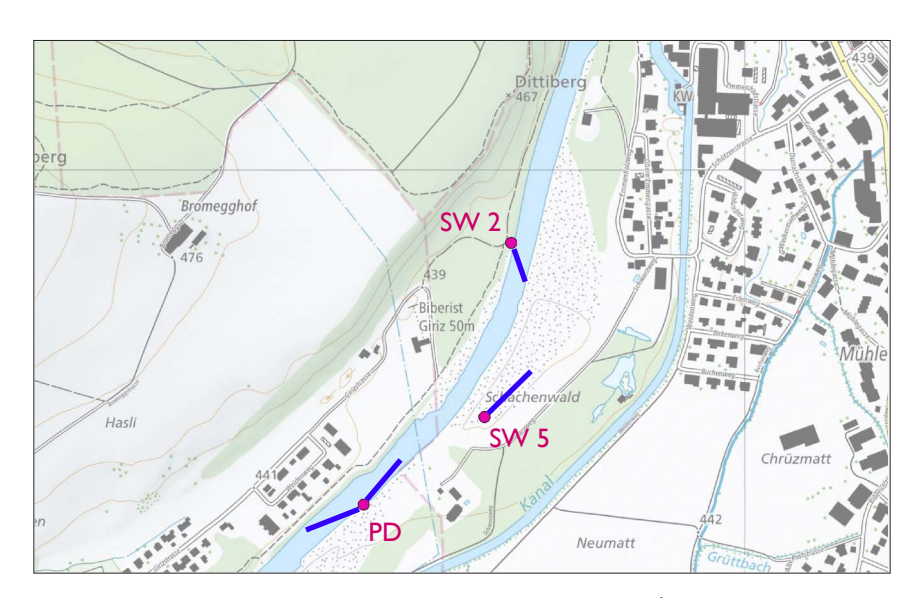
Abb. 11 Oben: Fotostandort AB2b bei Niedrigwasserabfluss. Blick flussaufwärts in die aufgeweitete Strecke der Emme. Links: 27.11.2014 / Rechts: 7.7.2023 Unten: Bei Hochwasser. Links: 5.5.2015 / Rechts: 15.11.2023



Abb. 12 Oben: Fotostandort AB3 bei Niedrigwasserabfluss. Blick flussabwärts in die aufgeweitete Strecke der Emme. Links: 27.11.2014 / Rechts: 7.7.2023 Unten: Bei Hochwasser. Links: 5.5.2015 / Rechts: 15.11.2023



Abb. 13 Oben: Fotostandort AB3 bei Niederwasserabfluss. Blick flussaufwärts auf die Emme. Links: 27.11.2014 / Rechts: 7.7.2023 Unten: Bei Hochwasser. Links: 5.5.2015 / Rechts: 15.11.2023



Schwarzweg / Pockenhaus Derendingen

Abb. 14 Lage der Fotostandorte im Gebiet Schwarzweg / Pockenhaus Derendingen inklusive Blickrichtung. Hintergrundkarte © Swisstopo





Abb. 15 Orthofoto des Untersuchungsgebietes Schwarzweg in den Jahren 2011 (links) und 2021 (rechts). Blick auf die neu geschaffene Überflutungsfläche. Hintergrundkarten © Kanton Solothurn / Swisstopo



Abb. 16 Oben: Fotostandort SW2 bei Niederwasserabfluss. Blick auf die Emme im unteren Bereich der neu geschaffenen Überflutungsfläche. Links: 25.8.2014 / Rechts: 11.7.2023

Unten: Bei Hochwasser. Links: 5.5.2015 / Rechts: 15.11.2023





Abb. 17 Oben: Fotostandort SW5 bei Niederwasserabfluss. Blick in den oberen Bereich der neu geschaffenen Überflutungsfläche. 7.7.2023 Unten: Bei Hochwasser. Wenige Stunden zuvor floss hier noch Wasser durch. 15.11.2023



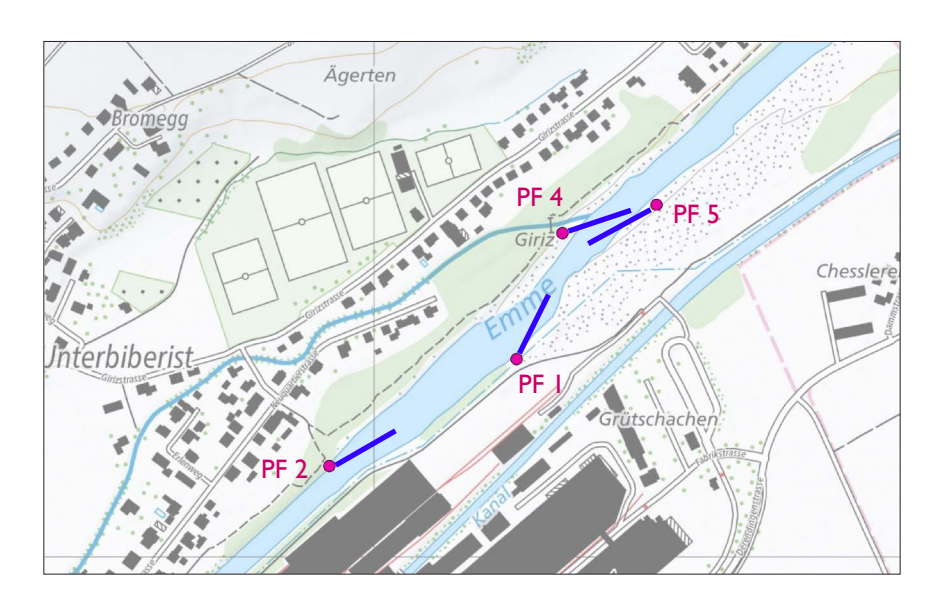


Abb. 18 Fotostandort PD bei Niederwasserabfluss. Blick flussabwärts in die verbreiterte Strecke der Emme. Links: 27.11.2014 / Rechts: 7.7.2023





Abb. 19 Fotostandort PD Niederwasserabfluss. Blick flussaufwärts in die verbreiterte Strecke der Emme. Links: 27.11.2014 / Rechts: 7.7.2023



Papierfabrik

Abb. 20 Lage der Fotostandorte im Untersuchungsgebiet Papierfabrik inklusive Blickrichtung. Hintergrundkarte © Swisstopo





Abb. 21 Orthofoto des Untersuchungsgebietes Papierfabrik in den Jahren 2011 (links) und 2021 (rechts). Blick auf die neue Gerinneaufweitung der Emme. Hintergrundkarten © Kanton Solothurn / Swisstopo



Abb. 22 Fotostandort PF 1 bei Hochwasserabfluss am 15.11.2023. Blick flussabwärts in die aufgeweitete Strecke der Emme, bei welcher der Mast bei Hochwasser auf einer Insel zu liegen kommt.



Abb. 23 Oben: Fotostandort PF2 bei Niederwasserabfluss. Blick flussabwärts in die aufgeweitete Strecke der Emme. Links: 25.8.2014 / Rechts: 11.7.2023 Unten: Bei Hochwasser. Links: 5.5.2015 / Rechts: 15.11.2023



Abb. 24 Oben: Fotostandort PF4 bei Niederwasserabfluss. Blick flussabwärts auf den Mündungsbereich des Biberenbach in der aufgeweiteten Emmenstrecke. Links: 25.8.2014 / Rechts: 11.7.2023

Unten: Bei Hochwasser. Links: 5.5.2015 / Rechts: 15.11.2023







Abb. 25 Oben: Fotostandort PF5 bei Niederwasserabfluss. Blick flussaufwärts auf die aufgeweitete Strecke der Emme. Der blaue Pfeil zeigt die Mündung des Biberenbach. Links: 25.8.2014 / Rechts: 11.7.2023

Unten: Fotostandort PF5 bei Hochwasser. Links: 5.5.2015

| Hochwasserschutz und Revitalisierung Emme Solothurn, Wehr Biberist bis Aare | |
|---|----------|
| Erhebung 1. Projektzustand,Erfolgskontrolle Emme | Anhang D |
| | |
| | |
| | |
| | |
| | |
| | |
| | |
| | |
| | |
| | |
| | |
| Anhang D | |
| | |
| | |
| | |

Auentypische Pflanzenarten: Artenliste



| March | | | | | | | | | | | |
|--|---------------|----------|------------------|---------------------------------|--------------------------------|------------|------------|----------|-------|--------------------------|-----------------------|
| Emerication Person Columber | NAME | obs id | | | taxon no isfs municipality nam | e x | V | | | | supplements abundance |
| Emerged and 19,000 19,00 | | | | | | | | | | | |
| Employable of Prince 1,000 | | | | | | | | | | | |
| Emmerschaftler | | | | | | | | | | | |
| Emergrachien March Col. 2002 0611 19890 Sports providences 34600 Lucrisonh 201003, 71 120010 Sports 108000 Sports providences 19800 S | | | | | | | | | | | |
| Filmensprincher 1989 10,000 10, | | | | | | | | | | | |
| Emmercharies 1988 1987 1987 1988 | | | | | | | | | | | |
| Emmerancheten 1999-1999 100000 Policies processoration 1 | | | | | | | | | | | |
| Emmerand-side New 1 | | | | | | | | | | | |
| Emmerandarian Paterian Display | | | | | | | | | | | |
| Emmeranchame seasure 06.09.003.09.03. 1080000 Robrins passubascials is 34600 Listefauch 2000.00.00.00.00.00.00.00.00.00.00.00.00 | | | | | | | | | M 1 | | |
| Emmersprache ##### 06.00 (200 00 100 | | | | | | | | | | | |
| Emmeranden 1997 120010.00 3 + M | | | | | | | | | M 2 | | |
| Emmerandente ###### 0.06.202.00 144 103800 Robins percebascosa 34600 Lefenshri 2400000 1200000 13 + M 1 Nyferesger Nasa 19 nz 1 1 1 1 1 1 1 1 1 | Emmenschachen | ####### | 05.09.2023 09:41 | 1038500 Robinia pseudoacacia L. | 346500 Luterbach | 2610314.14 | 1229023.7 | 4.9 + | M 1 | Nyffenegger Nadja | 0.5m2 |
| Emmerscharten. #### 650 0202 0945 108800 Robins psycularizations L. 34600 Luteriauch 26103162 128900.08 3 + M 1 Nyffenogen Node 6 m² Emmerscharten. ##### 650 0202 0945 108800 Robins psycularizations L. 34600 Luteriauch 3810164 129900.08 3 + M 1 Nyffenogen Node 6 m² Emmerscharten. ##### 650 0202 0945 108800 Robins psycularizations L. 34600 Luteriauch 3810164 129900.08 3 + M 1 Nyffenogen Node 6 m² Emmerscharten. ##### 650 0202 0945 108800 Robins psycularization L. 34600 Luteriauch 2810184 129900.08 1 M 1 Nyffenogen Node 6 m² Emmerscharten. ##### 650 0202 0945 108800 Robins psycularization L. 34600 Luteriauch 2810184 129900.08 1 M 1 Nyffenogen Node 6 m² Emmerscharten. ##### 650 0202 0945 108800 Robins psycularization L. 34600 Luteriauch 281000.09 129900.09 | | | | | | 2610307.73 | 1229018.08 | 3 + | M 1 | | 10 m2 |
| Emmerschaftler Market G. G. C. C. C. C. C. C. | Emmenschachen | ####### | 05.09.2023 09:44 | 1038500 Robinia pseudoacacia L. | 346500 Luterbach | 2610307.86 | 1229016.95 | 3 + | M 1 | Nyffenegger Nadja | 4 m2 |
| Emmerschaften ###### 50,0202 0949 198500 Robins pseudoscapes I. 34600 Luterbach | Emmenschachen | ####### | 05.09.2023 09:45 | 1038500 Robinia pseudoacacia L. | 346500 Luterbach | 2610315.78 | 1229020.64 | 4.9 + | M 1 | Nyffenegger Nadja | 0.5 m2 |
| Emmerscharben erwinder (50,0202.09.55) 138800 Robins neurodesceids L. 346000 Luterbach 2010.15.00 Robins neurodesceids L. | Emmenschachen | ####### | 05.09.2023 09:47 | 1038500 Robinia pseudoacacia L. | 346500 Luterbach | 2610316.42 | 1228999.08 | 3 + | M 1 | Nyffenegger Nadja | 6 m2 |
| Emmercharden | Emmenschachen | ####### | 05.09.2023 09:49 | 1038500 Robinia pseudoacacia L. | 346500 Luterbach | 2610316.6 | 1228995.69 | 3 + | M 1 | Nyffenegger Nadja | 0.5 m2 |
| Emmerschachen Mayerer 50,9 2020 305 108800 Robins pseudoscacia 34600 Lumbach 2819317 71 720986 10 4 4 M 1 Melmersogen Majera 1 M 1 Melmersogen Majera Ma | Emmenschachen | ####### | 05.09.2023 09:50 | 1038500 Robinia pseudoacacia L. | 346500 Luterbach | | | | | Nyffenegger Nadja | 0.5 m2 |
| Emmencadardam | Emmenschachen | ####### | 05.09.2023 09:50 | 1038500 Robinia pseudoacacia L. | 346500 Luterbach | 2610319.65 | 1228992.54 | | | Nyffenegger Nadja | 8 m2 |
| Emmenschachen Wessell (20, 00, 20, 23, 1001 1038500 Robins pseudoscania L 34600 Luterbath 261033, 177 122866.01 4.9 + M 1 Nyffensger Nedig 1 m2 Emmenschachen 261034, 20, 102850, 20, 20, 20, 20, 20, 20, 20, 20, 20, 2 | | | | 1038500 Robinia pseudoacacia L. | 346500 Luterbach | | | | M 4 | Nyffenegger Nadja | 75 m2 |
| Emmenschachen Emmenschache | | | | | | | | | | | • |
| Emmenschachen ###### | | | | | 346500 Luterbach | | 1228966.01 | | | | |
| Emmenschachen #################################### | | | | | | | | | | | |
| Emmenschachen #################################### | | | | | | | | | | | |
| Emmenschachen ######## 05/09/2023-10:11 1038900 Robins reseudoscacia L 346500 Luterbach 2610368-19 1228865.55 14 + M 2 Nufferesoper Nordia 50 m2 | | | | | | | | | | | |
| Emmenschachen ####### 05.09.2023 10:13 1938500 Robnin pseudoscopial L. 346500 Luferbach 261034 F.B. 128885.5 14 + M 2 Niffenopor Natia 25 m2 | | | | | | | | | | | |
| Emmenshachen ####### 65.09.2023 10:22 10:38500 Robinia pseudoacacia L. 346500 Luterbach 26:1038.76 12:2886.52 6 + M | | | | | | | | | | | |
| Emmenschachen ####### 05.09.2023 10:32 1038500 Robins pseudoaceaia L 34600 Luterbach 2610382.81 26103 | | | | | | | | | | | |
| Emmerschachen ####### 05.09.2023 10.31 10.36560 Primus laurocerasus L 332400 Luterbach 26103316.8 6 + M M 3 Nyffenogger Nadia 2 m | | | | | | | | | | | |
| Emmenschachen ####### 05.09.2023 1033 1 038500 Robinis pseudoacacia L 346500 Luterbach 2610397.27 1228821.87 4.9 + M 2 Nyferengger Nadia 5 0.5 m.2 | | | | | | | | | | | |
| Emmenschachen ####### 05.09.2023 10.23 10.38500 Robhina pseudoscacia L. 346500 Luterhach 2610391.2 1228789.86 | | | | | | | | | | | |
| Emmenschachen ###### 05.09.2023 1042 1038500 Robinia pseudoacacia L. 34500 Luterbach 261039.66 1228778.16 4.9 + M 1 Nyffenegor Nadja 0.5 m.2 Emmenschachen ####### 05.09.2023 1055 1038500 Robinia pseudoacacia L. 34500 Luterbach 261039.65 1228782.81 5 + M 1 Nyffenegor Nadja 0.04 m² Emmenschachen ######## 05.09.2023 1101 1038500 Robinia pseudoacacia L. 34500 Luterbach 261049.52 1228707.16 4.7 + M 1 Nyffenegor Nadja 0.04 m² Emmenschachen ######## 05.09.2023 1101 1038500 Robinia pseudoacacia L. 34500 Luterbach 261049.54 122883.85 3 + M 3 Nyffenegor Nadja 30 m² Emmenschachen #################################### | | | | | | | | <u> </u> | | | |
| Emmenschachen ####### 05.09.2023 1055 1038500 Robins pseudoacacia L. 346500 Luterbach 2610405.2 1228723.81 5 + M | | | | | | | | | | | |
| Emmenschachen ####### 05.09.2023 11.055 1038500 Robinis pseudoacacial L. 346500 Luterbach 261046.52 1228732.81 5 + M 1 Nyffeneger Nadia 0.04 m2 Emmenschachen ######## 05.09.2023 11.01 1038500 Robinis pseudoacacial L. 346500 Luterbach 261042.45 1228683.85 3 + M 3 Nyffeneger Nadia 30 m2 Emmenschachen ######## 05.09.2023 11.01 1038500 Robinis pseudoacacial L. 346500 Luterbach 261043.03 1228667.93 4.14 M 1 Nyffenegger Nadia 10 m2 Emmenschachen ######## 05.09.2023 11.09 1038500 Robinis pseudoacacial L. 346500 Luterbach 261043.03 1228667.93 4.14 M 2 Nyffenegger Nadia 25 m2 Emmenschachen ######## 05.09.2023 11.01 1038500 Robinis pseudoacacial L. 346500 Luterbach 261046.64 1228619.99 16 + M 3 Nyffenegger Nadia 25 m2 Emmenschachen ######### 05.09.2023 11.30 1038500 Robinis pseudoacacial L. 346500 Zuthwil 261039.52 1228608.27 4.9 + M 5 Nyffenegger Nadia Ganzer Uferberich Emmenschachen ######## 05.09.2023 11.30 1038500 Robinis pseudoacacial L. 346500 Zuthwil 261037.75 122862.09 4.9 + M 5 Nyffenegger Nadia Ganzer Uferberich Emmenschachen ######## 05.09.2023 11.31 1038500 Robinis pseudoacacial L. 346500 Zuthwil 261034.12 1228769.8 5 + M 5 Nyffenegger Nadia Ganzer Uferberich Emmenschachen ######## 05.09.2023 11.30 1038500 Robinis pseudoacacial L. 346500 Zuthwil 261034.12 1228769.8 5 + M 5 Nyffenegger Nadia Ganzer Uferberich Emmenschachen ######## 05.09.2023 11.30 1038500 Robinis pseudoacacial L. 346500 Zuthwil 261034.12 1228769.8 5 + M 5 Nyffenegger Nadia Ganzer Uferberich Emmenschachen #################################### | | | | | | | | | ••• | | |
| Emmenschachen ####### 05.09.2023 11:05 1038500 Robinia pseudoscacia L. 346500 Luterbach 2610419.29 1228707.18 4.7 + M 1 N/fenegoer Nadia 3 m2 | | | | | | | | | | | |
| Emmenschachen ####### 05.09.2023 11:01 1038500 Robinia pseudoacacia L 346500 Luterbach 26104340 1228687.93 1 M 1 Nffeneoger Nadia 30 m2 Emmenschachen ####### 05.09.2023 11:09 1038500 Robinia pseudoacacia L 346500 Luterbach 2610436.05 1228641.94 4.17 + M 2 Nffeneoger Nadia 25 m2 Emmenschachen ####### 05.09.2023 11:01 1038500 Robinia pseudoacacia L 346500 Luterbach 2610436.05 1228641.94 4.17 + M 2 Nffeneoger Nadia 25 m2 Emmenschachen ####### 05.09.2023 11:01 1038500 Robinia pseudoacacia L 346500 Luterbach 2610436.05 122864.94 4.17 + M 5 Nffeneoger Nadia 25 m2 Emmenschachen ####### 05.09.2023 11:01 1038500 Robinia pseudoacacia L 346500 Zuchwil 2610367.87 122862.09 4.9 + M 5 Nffeneoger Nadia Ganzer Uferbereich Emmenschachen ####### 05.09.2023 11:01 1038500 Robinia pseudoacacia L 346500 Zuchwil 2610343.12 122867.98 5 + M 5 Nffeneoger Nadia Ganzer Uferbereich Emmenschachen ####### 05.09.2023 11:03 1038500 Robinia pseudoacacia L 346500 Zuchwil 2610343.12 122867.98 5 + M 5 Nffeneoger Nadia Ganzer Uferbereich Emmenschachen ####### 05.09.2023 11:03 1038500 Robinia pseudoacacia L 346500 Zuchwil 2610343.12 122867.98 5 + M 2 Nffeneoger Nadia Ganzer Uferbereich Emmenschachen ####### 05.09.2023 11:03 1038500 Robinia pseudoacacia L 346500 Zuchwil 2610233.41 1228893.54 4.9 + M 2 Nffeneoger Nadia Ganzer Uferbereich Emmenschachen ####### 05.09.2023 11:05 11:05 Robinia pseudoacacia L 346500 Zuchwil 2610283.41 122867.98 5 + M 2 Nffeneoger Nadia Ganzer Uferbereich ###### 05.09.2023 11:05 11:05 Robinia pseudoacacia L 346500 Zuchwil 2610283.41 122867.98 7 + M 1 1 Alina Kumann Emmenschachen ####### 05.09.2023 11:05 11:05 Robinia pseudoacacia L 346500 Zuchwil 2610283.81 1228682.09 7 + M 1 1 Alina Kumann Emmenschachen ###### 05.09.2023 11:05 11:05 Robinia pseudoacacia L 346500 Zuchwil 2610283.09 7 122802.09 7 + M 1 1 Alina Kumann Emmenschachen ####### 05.09.2023 08:04 11:05 Robinia pseudoacacia L 346500 Zuchwil 2610283.09 7 122801.09 7 + M 1 1 Alina Kumann Emmenschachen ######## 05.09.2023 08:04 11:05 Robinia pseudoacacia L 346500 Luterb | | | | | | | | | | | |
| Emmenschachen ####### 05.09,2023 11:09 1038500 Robhina pseudoacacia L. 346500 Luterbach 2610436.03 1228661.93 4.14 + M 2 Nyffenegger Madija 50 m2 Emmenschachen #################################### | | | | | | | | | | | |
| Emmenschachen ####### 50.99.2023 11:30 1038500 Robinia pseudosacaia L. 346500 Luterbach 2610436.6 1228819.99 16 + M 3 NVfeneqger Nadia 25 m2 Emmenschachen ####### 50.99.2023 11:30 1038500 Robinia pseudosacaia L. 346500 Zuchwil 2610395.28 122808.27 4.9 + M 5 NVfeneqger Nadia Ganzer Uferberich Emmenschachen ####### 50.99.2023 11:30 1038500 Robinia pseudosacaia L. 346500 Zuchwil 2610395.75 1228662.09 4.9 + M 5 NVfeneqger Nadia Ganzer Uferberich Emmenschachen ####### 50.99.2023 11:47 1038500 Robinia pseudosacaia L. 346500 Zuchwil 2610343.12 1228759.8 5 + M 5 NVfeneqger Nadia Ganzer Uferberich Emmenschachen ####### 50.99.2023 11:47 1038500 Robinia pseudosacaia L. 346500 Zuchwil 2610343.12 1228759.8 5 + M 5 NVfeneqger Nadia Ganzer Uferberich Emmenschachen ####### 50.99.2023 11:38 1038500 Robinia pseudosacaia L. 346500 Zuchwil 2610343.12 1228759.8 5 + M 5 NVfeneqger Nadia Ganzes Uferselte Emmenschachen ####### 50.99.2023 11:38 1038500 Robinia pseudosacaia L. 346500 Zuchwil 2610343.77 122882.16 4.48 + M 1 NVfeneqger Nadia 25 m2 NVfeneqger Nadia 25 | | | | | | | | | | | |
| Emmenschachen ####### 05.09 2023 11:32 1038500 Robinia pseudoacacia L. 346500 Zuchwil 2610365.28 1228662.7 4.9 + M 5 Nyffenegger Nadja Ganzer Uferbereich Emmenschachen ####### 05.09 2023 11:39 1038500 Robinia pseudoacacia L. 346500 Zuchwil 2610377.75 1228662.09 4.9 + M 5 Nyffenegger Nadja Ganzer Uferbereich Emmenschachen ####### 05.09 2023 11:47 1038500 Robinia pseudoacacia L. 346500 Zuchwil 2610377.75 1228662.09 4.9 + M 5 Nyffenegger Nadja Ganzer Uferbereich Emmenschachen ####### 05.09 2023 11:47 1038500 Robinia pseudoacacia L. 346500 Zuchwil 2610243.11 1228758.9 5 + M 5 Nyffenegger Nadja Ganzer Uferbereich Emmenschachen ####### 05.09 2023 11:38 1038500 Robinia pseudoacacia L. 346500 Zuchwil 2610263.41 1228955.34 4.9 + M 2 Nyffenegger Nadja Ganzer Uferbereich Emmenschachen ###### 05.09 2023 11:38 1135 Robinia pseudoacacia L. 346500 Zuchwil 2610373.87 122862.16 4.48 + M 1 Alina Kurmann Emmenschachen ####### 05.09 2023 11:38 1135 Robinia pseudoacacia L. 346500 Zuchwil 2610373.87 122862.16 4.48 + M 1 Alina Kurmann Emmenschachen ####### 05.09 2023 11:39 11:35 Robinia pseudoacacia L. 346500 Zuchwil 2610373.87 122862.55 9 7 + M 1 Alina Kurmann Emmenschachen ####### 05.09 2023 11:35 Robinia pseudoacacia L. 346500 Luterbach 2610379.99 1229307.87 4.3 + M 2 Alina Kurmann Emmenschachen ####### 05.09 2023 19:30 Sobinia pseudoacacia L. 346500 Luterbach 2610379.99 1229307.87 4.3 + M 2 Alina Kurmann Emmenschachen ####### 05.09 2023 18:40 Sobinia pseudoacacia L. 346500 Luterbach 2610391.74 1229021.98 13 + M 2 Alina Kurmann Emmenschachen ####### 05.09 2023 18:40 Sobinia pseudoacacia L. 346500 Luterbach 2610396.75 122908.09 4 14 + M 2 Alina Kurmann Emmenschachen ####### 05.09 2023 18:43 Sobinia pseudoacacia L. 346500 Luterbach 2610396.75 122908.09 4 14 + M 2 Alina Kurmann Emmenschachen ####### 05.09 2023 18:53 1135 Robinia pseudoacacia L. 346500 Luterbach 2610396.75 122908.09 4 14 + M 2 Alina Kurmann Emmenschachen ######## 05.09 2023 18:53 1135 Robinia pseudoacacia L. 346500 Luterbach 2610380.01 122908.00 4 14 + M 2 Alina Kurm | | | | | | | | | | | |
| Emmenschachen ####### 05.09_2023 11:30 1038500 Robinia pseudoacacia L 346500 Zuchwil 2610397.75 1228662.09 4.9 + M 5 Nyfenegger Nadja Ganzer Uferbereich Emmenschachen ###### 05.09_2023 11:37 1038500 Robinia pseudoacacia L 346500 Zuchwil 2610377.75 1228662.09 4.9 + M 5 Nyfenegger Nadja Ganzer Uferbereich Emmenschachen ###### 05.09_2023 11:37 1038500 Robinia pseudoacacia L 346500 Zuchwil 2610343.12 1228759.8 5 + M 5 Nyfenegger Nadja Ganzer Uferbereich Emmenschachen ####### 05.09_2023 11:38 1038500 Robinia pseudoacacia L 346500 Zuchwil 2610263.41 1228935.34 4.9 + M 2 Nyfenegger Nadja Ganzer Uferbereich Emmenschachen ###### 05.09_2023 11:38 1135 Robinia pseudoacacia L 346500 Zuchwil 2610373.87 122862.16 4.48 + M 1 Alina Kurmann Emmenschachen ###### 05.09_2023 11:38 1135 Robinia pseudoacacia L 346500 Zuchwil 2610373.87 122865.59 7 + M 1 Alina Kurmann Emmenschachen ###### 05.09_2023 11:39 1135 Robinia pseudoacacia L 346500 Zuchwil 2610379.99 1229037.87 4.3 + M 2 Alina Kurmann Emmenschachen ###### 05.09_2023 09:25 1135 Robinia pseudoacacia L 346500 Zuchwil 2610379.99 1229037.87 4.3 + M 2 Alina Kurmann Emmenschachen ###### 05.09_2023 09:30 1135 Robinia pseudoacacia L 346500 Luterbach 2610379.99 1229037.87 4.3 + M 2 Alina Kurmann Emmenschachen ###### 05.09_2023 09:30 1135 Robinia pseudoacacia L 346500 Luterbach 2610379.99 1229037.87 4.3 + M 2 Alina Kurmann Emmenschachen ###### 05.09_2023 09:30 1135 Robinia pseudoacacia L 346500 Luterbach 2610379.91 1229037.87 4.3 + M 2 Alina Kurmann Emmenschachen ###### 05.09_2023 08:40 1135 Robinia pseudoacacia L 346500 Luterbach 2610379.91 1229037.87 4.3 + M 1 Alina Kurmann Emmenschachen ###### 05.09_2023 08:41 1135 Robinia pseudoacacia L 346500 Luterbach 261039.91 1122907.07 4.26 + M 2 Alina Kurmann Emmenschachen ###### 05.09_2023 08:55 1135 Robinia pseudoacacia L 346500 Luterbach 261039.65 122908.90 4.48 + M 2 Alina Kurmann Emmenschachen ###### 05.09_2023 08:55 1135 Robinia pseudoacacia L 346500 Luterbach 261039.65 122908.08 4.48 + M 2 Alina Kurmann Emmenschachen ####### 05.09_2023 | | | | | | | | | | | |
| Emmenschachen ###### 05.09.2023 11:39 1038500 Robinia pseudoacacia L 346500 Zuchwil 261037.75 1228652.09 4.9 + M 5 Nyffenegger Nadja Ganzer Uferbereich 261037.05 1038500 Robinia pseudoacacia L 346500 Zuchwil 2610343.12 1228759.8 5 + M 5 Nyffenegger Nadja Ganzer Uferbereich 2610379.37 1228052.16 4.8 + M 2 Nyffenegger Nadja 25 m2 25 | | | | | | | | | | | |
| Emmenschachen ####### 05.09 2023 11.47 | | | | | | | | | | | |
| Emmenschachen ####### 05.09.2023 12:38 1038500 Robinia pseudoacacia L. 346500 Zuchwil 2610263.41 1228935.34 4.9 + M 2 Niffenegger Nadja 25 m2 Emmenschachen ######## 05.09.2023 11:38 1135 Robinia pseudoacacia L. 346500 Zuchwil 2610373.87 1228622.16 4.48 + M 1 Alina Kurmann Emmenschachen ######## 05.09.2023 11:38 1135 Robinia pseudoacacia L. 346500 Zuchwil 2610364.56 1228639.14 3.93 + M 2 Alina Kurmann Emmenschachen ######## 05.09.2023 09:25 1135 Robinia pseudoacacia L. 346500 Zuchwil 2610352.32 1228655.59 7 + M 1 Alina Kurmann | | | | | | | | | M 5 | | |
| Emmenschachen ####### 05.09.2023 11:38 | | | | | | | | | | | |
| Emmenschachen ####### 05.09.2023 11:38 1135 Robinia pseudoacacia L. 346500 Zuchwil 2610352.32 1228655.59 7 + M 1 Alina Kurmann | | | | | | | | | | | |
| Emmenschachen ###### 05.09.2023 11:39 1135 Robinia pseudoacacia L. 346500 Zuchwil 2610352.32 1228655.59 7 + M 1 Alina Kurmann | | | | | | | | | | | |
| Emmenschachen ####### 05.09.2023 09:25 | | | | | | | | | | | |
| Emmenschachen ###### 05.09.203 08:40 1135 Robinia pseudoacacia L. 346500 Luterbach 2610296.7 1229111.62 13 + M 1 Alina Kurmann 2410290.003 08:40 1135 Robinia pseudoacacia L. 346500 Luterbach 261039.67 122908.94 14 + M 2 Alina Kurmann 24103.003 08:51 1135 Robinia pseudoacacia L. 346500 Luterbach 2610319.61 1229077.07 4.26 + M 2 Alina Kurmann 24103.003 08:51 1135 Robinia pseudoacacia L. 346500 Luterbach 2610319.61 1229077.07 4.26 + M 2 Alina Kurmann 24103.003 08:51 1135 Robinia pseudoacacia L. 346500 Luterbach 2610326.52 122908.30 4.48 + M 2 Alina Kurmann 24103.003 08:51 1135 Robinia pseudoacacia L. 346500 Luterbach 2610336.52 122908.30 4.48 + M 3 Alina Kurmann 24103.003 09:01 1135 Robinia pseudoacacia L. 346500 Luterbach 2610336.51 122908.03 4.48 + M 3 Alina Kurmann 24103.003 09:01 1135 Robinia pseudoacacia L. 346500 Luterbach 2610360.04 1229075.01 4.07 + M 1 Alina Kurmann 24103.003 09:01 1135 Robinia pseudoacacia L. 346500 Luterbach 2610360.04 1229075.01 4.07 + M 1 Alina Kurmann 24103.003 09:01 1135 Robinia pseudoacacia L. 346500 Luterbach 2610360.04 1229075.07 + M 1 Alina Kurmann 24103.003 09:01 1135 Robinia pseudoacacia L. 346500 Luterbach 2610360.04 1229075.07 + M 1 Alina Kurmann 24103.003 09:01 1135 Robinia pseudoacacia L. 346500 Luterbach 2610360.04 1229075.07 7 + M 1 Alina Kurmann 24103.003 09:01 1135 Robinia pseudoacacia L. 346500 Luterbach 2610360.04 1229045.77 7 + M 1 Alina Kurmann 24103.003 09:01 1135 Robinia pseudoacacia L. 346500 Luterbach 2610360.04 1229045.77 7 + M 1 Alina Kurmann 24103.003 09:01 1135 Robinia pseudoacacia L. 346500 Luterbach 2610360.04 1229031.33 8 + M 1 Alina Kurmann 24103.003 09:01 1135 Robinia pseudoacacia L. 346500 Luterbach 2610360.04 1229031.33 8 + M 1 Alina Kurmann 24103.003 09:01 1135 Robinia pseudoacacia L. 346500 Luterbach 2610360.04 1229031.33 8 + M 1 Alina Kurmann 24103.003 09:01 1135 Robinia pseudoacacia L. 346500 Luterbach 2610360.04 1229031.33 8 + M 1 Alina Kurmann 24103.003 09:01 1135 Robinia pseudoacacia L. 346500 Luterbach 2610360.04 1229031.33 8 + M 1 Alina Kurm | | | | | | | | | M 2 | | |
| Emmenschachen ####### 05.09.2023 08:40 1135 Robinia pseudoacacia L. 346500 Luterbach 2610296.7 1229111.62 13 + M 1 Alina Kurmann | Emmenschachen | ####### | 05.09.2023 09:30 | 1135 Robinia pseudoacacia L. | 346500 Luterbach | 2610391.74 | 1229021.98 | 13 + | M 2 | Alina Kurmann | |
| Emmenschachen ###### 05.09.203 08:51 | | | | | | | | | M 1 | | |
| Emmenschachen ###### 05.09.2023 08:53 1135 Robinia pseudoacacia L. 346500 Luterbach 2610326.52 1229083.08 4.48 + M 2 Alina Kurmann 3 Alina Kurmann 4 Alina Kurmann 5 Alina Kur | Emmenschachen | ####### | 05.09.2023 08:42 | 1135 Robinia pseudoacacia L. | 346500 Luterbach | 2610296.75 | 1229080.94 | | | Alina Kurmann | |
| Emmenschachen ###### 05.09.2023 08:55 1135 Robinia pseudoacacia L. 346500 Luterbach 2610380.01 1229078.01 4.07 + M M 1 Alina Kurmann Emmenschachen ###### 05.09.2023 09:13 1135 Robinia pseudoacacia L. 346500 Luterbach 2610360.01 1229075.01 4.07 + M M 1 Alina Kurmann Emmenschachen ####### 05.09.2023 09:13 1135 Robinia pseudoacacia L. 346500 Luterbach 2610383.01 1229059.8 4.73 + M M 1 Alina Kurmann Emmenschachen ####### 05.09.2023 09:17 1135 Robinia pseudoacacia L. 346500 Luterbach 2610358.15 1229045.77 7 + M 1 Alina Kurmann Emmenschachen ####### 05.09.2023 09:18 1135 Robinia pseudoacacia L. 346500 Luterbach 2610358.15 1229045.77 7 + M 1 Alina Kurmann Emmenschachen ####### 12.09.2023 09:18 1135 Robinia pseudoacacia L. 362800 Luterbach 2610358.15 1229045.77 7 + M 1 Alina Kurmann Emmenschachen ###### 12.09.2023 10:01 1040540 Salix alba L. 362800 Zuchwil 2610232.38 1229045.77 | Emmenschachen | ####### | 05.09.2023 08:51 | 1135 Robinia pseudoacacia L. | 346500 Luterbach | 2610319.61 | 1229077.07 | | | Alina Kurmann | |
| Emmenschachen ####### 05.09.2023 09:09 1135 Robinia pseudoacacia L. 346500 Luterbach 2610360.04 1229075.01 4.07 + M 1 Alina Kurmann Emmenschachen ####### 05.09.203 09:13 1135 Robinia pseudoacacia L. 346500 Luterbach 2610368.15 1229045.77 7 + M 1 Alina Kurmann Emmenschachen ####### 05.09.2023 09:18 1135 Robinia pseudoacacia L. 346500 Luterbach 2610369.04 1229045.77 7 + M 1 Alina Kurmann Emmenschachen ####### 05.09.2023 09:18 1135 Robinia pseudoacacia L. 346500 Luterbach 2610369.04 1229045.77 7 + M 1 Alina Kurmann Emmenschachen ######## 05.09.2023 09:18 1135 Robinia pseudoacacia L. 346500 Luterbach 2610369.04 1229045.77 7 + M 1 Alina Kurmann Emmenschachen ######## 12.09.2023 10:01 1040540 Salix alba L. 362800 Luterbach 2610232.38 1229069.97 1.6 + M 1 Schmocker-Flück Daniela 5 Emmenschachen | | | | | 346500 Luterbach | | | | | | |
| Emmenschachen ####### 05.09.2023 09:13 1135 Robinia pseudoacacia L. 346500 Luterbach 2610363.01 1229059.8 4.73 + M 1 Alina Kurmann Emmenschachen ####### 05.09.2023 09:17 1135 Robinia pseudoacacia L. 346500 Luterbach 2610358.15 1229045.77 7 + M 1 Alina Kurmann Emmenschachen ####### 12.09.2023 09:59 1040540 Salix alba L. 362800 Zuchwil 2610250.3 1229069.97 1.6 + M 1 Schmocker-Flück Daniela 2 Emmenschachen ####### 12.09.2023 10:01 1040540 Salix alba L. 362800 Zuchwil 2610264.55 1229060.23 9 + M 1 Schmocker-Flück Daniela 2 Emmenschachen ####### 12.09.2023 10:02 1040540 Salix alba L. 362800 Zuchwil 2610264.55 1229060.23 9 + M 1 Schmocker-Flück Daniela 5 Emmenschachen ####### 12.09.2023 10:02 1040540 Salix alba L. 362800 Zuchwil 2610250.17 1229038.41 1.6 + M 1 Schmocker-Flück Daniela 5 Emmenschachen <td< td=""><td></td><td></td><td></td><td></td><td></td><td></td><td></td><td></td><td></td><td></td><td></td></td<> | | | | | | | | | | | |
| Emmenschachen ###### 12.09.2023 09:17 | | | | | | | | | | | |
| Emmenschachen ###### 05.09.2023 09:18 | | | | | | | | | | | |
| Emmenschachen ####### 12.09.203 09.59 1040540 Salix alba L. 362800 Zuchwil 2610232.38 1229096.97 1.6 + M 1 Schmocker-Flück Daniela 2 Emmenschachen ####### 12.09.2023 10:01 1040540 Salix alba L. 362800 Luterbach 2610264.55 1229060.23 9 + M 1 Schmocker-Flück Daniela 5 Emmenschachen ####### 12.09.2023 10:00 1040540 Salix alba L. 362800 Zuchwil 2610251.7 122903.344 1.6 + M 1 Schmocker-Flück Daniela 5 Emmenschachen ####### 12.09.2023 10:03 1040540 Salix alba L. 362800 Zuchwil 2610251.7 122903.344 1.6 + M 1 Schmocker-Flück Daniela 5 Emmenschachen ####### 12.09.2023 10:05 1040540 Salix alba L. 362800 Zuchwil 2610251.7 122903.84 1.6 + M 1 Schmocker-Flück Daniela 1 Emmenschachen ####### 12.09.2023 10:05 1040710 Salix elaeagnos Scop. 364000 Zuchwil 2610271.49 1228968.99 1.6 + M 2 Schmocker-Flück Daniela 6 | | | | | | | | | | | |
| Emmenschachen ###### 12.09.2023 10:01 1040540 Salix alba L. 362800 Luterbach 2610264.55 1229060.23 9 + M 1 Schmocker-Flück Daniela 5 Emmenschachen ####### 12.09.2023 10:02 1040540 Salix alba L. 362800 Zuchwil 2610250.17 1229033.44 1.6 + M 1 Schmocker-Flück Daniela 5 Emmenschachen ####### 12.09.2023 10:03 1040540 Salix alba L. 362800 Zuchwil 2610250.17 1229038.44 1.6 + M 1 Schmocker-Flück Daniela 5 Emmenschachen ######## 12.09.2023 10:05 1040710 Salix aleagqnos Scop. 364000 Zuchwil 2610271.49 1228968.99 1.6 + M 2 Schmocker-Flück Daniela 6 | | | | | | | | | | | |
| Emmenschachen ####### 12.09.2023 10:02 | | | | | | | | | | | |
| Emmenschachen ####### 12.09.2023 10:03 1040540 Salix alba L. 362800 Zuchwil 2610244.87 1229028.61 1.8 + M 1 Schmocker-Flück Daniela 1 Emmenschachen ######## 12.09.2023 10:05 1040710 Salix elaeagnos Scop. 364000 Zuchwil 2610271.49 1228968.99 1.6 + M 2 Schmocker-Flück Daniela 6 | | | | | | | | | | | |
| Emmenschachen ###### 12.09.2023 10:05 1040710 Salix elaeagnos Scop. 364000 Zuchwil 2610271.49 1228968.99 1.6 + M 2 Schmocker-Flück Daniela 6 | | | | | | | | | | | |
| | | | | | | | | | | | |
| Emmenschachen ####### 12.09.2023 10.00 1040540 Sailx alba L. 362800 Zuchwii 2610282.24 1228959.01 1.5 + M 1 Schmocker-Flück Daniela 1 | | | | | | | | | | | |
| | ⊏mmenschachen | ######## | 12.09.2023 10:06 | 1040540 Salix alda L. | 362800 Zuchwil | 2610282.24 | 1228959.01 | 1.5 + | ıvı 1 | Scrimocker-Fluck Daniela | I |

Hochwasserschutz und Revitalisierung Emme - Wehr Biberist bis Aare Erfolgskontrolle - Erhebung 1. Projektzustand Anhang D - Auentypische Pflanzenarten: Artenliste



| NAME | also id data ta | kon taxon id taxon taxon name | taxon no isfs municipality nar | | | | unit abundance code cover v observers supplements abundance |
|------------------------------|--|---|--------------------------------------|--|----------------------------|-------------------|--|
| Emmonschacher | n ####### 12.09.2023 10:07 | 1040540 Salix alba L. | 362800 Zuchwil | ne x v 2610288.97 1228934 | | esence count M | unit abundance code cover v observers supplements abundance 1 Schmocker-Flück Daniela 2 |
| | n ###### 12.09.2023 10:08 | 1040540 Salix alba L. 1040540 Salix alba L. | 362800 Zuchwil | 2610294.18 1228918 | | M | 1 Schmocker-Flück Daniela 2 |
| | n ####### 12.09.2023 10:08 | 1040540 Salix alba L. | 362800 Luterbach | 2610320.48 1228897 | | M | 1 Schmocker-Flück Daniela 1 |
| | n ###### 12.09.2023 10:09 | 1040710 Salix elaeagnos Scop. | 364000 Luterbach | 2610326.17 1228890 | | M | 1 Schmocker-Flück Daniela 1 |
| | n ###### 12.09.2023 10:09 | 1040540 Salix alba L. | 362800 Zuchwil | 2610309.92 1228872 | | M | 1 Schmocker-Flück Daniela 1 |
| | n ###### 12.09.2023 10:13 | 1040540 Salix alba L. | 362800 Zuchwil | 2610357.29 1228709 | | M | 1 Schmocker-Flück Daniela 3 |
| | n ###### 12.09.2023 10:13 | 1040710 Salix elaeagnos Scop. | 364000 Zuchwil | 2610356.16 1228709 | | M | 1 Schmocker-Flück Daniela 2 |
| | n ###### 12.09.2023 10:14 | 1040540 Salix alba L. | 362800 Zuchwil | 2610360.58 1228706 | | М | 1 Schmocker-Flück Daniela 1 |
| | n ###### 12.09.2023 10:15 | 1040540 Salix alba L. | 362800 Zuchwil | 2610364.78 122868 | | M | 1 Schmocker-Flück Daniela 4 |
| | n ###### 12.09.2023 10:15 | 1040540 Salix alba L. | 362800 Zuchwil | 2610388.2 12286 | | M | 1 Schmocker-Flück Daniela 2 |
| | n ###### 26.06.2023 12:27 | 1040710 Salix elaeagnos Scop. | 364000 Luterbach | 2610348.53 1228907 | | M | 1 Schmocker-Flück Daniela Indi 2 |
| | n ###### 26.06.2023 12:39 | 1040540 Salix alba L. | 362800 Luterbach | 2610407.63 1228735 | | М | 1 Schmocker-Flück Daniela Indi 10 |
| Emmenschachen | n ###### 26.06.2023 12:43 | 1040710 Salix elaeagnos Scop. | 364000 Luterbach | 2610430.71 1228678 | 8.54 1.7 + | M | 1 Schmocker-Flück Daniela Indi 2 |
| Emmenschachen | n ###### 26.06.2023 12:44 | 1040540 Salix alba L. | 362800 Luterbach | 2610437.58 1228646 | 6.68 1.5 + | M | 1 Schmocker-Flück Daniela Indi 15 |
| Emmenschachen | n ###### 26.06.2023 12:46 | 1040710 Salix elaeagnos Scop. | 364000 Luterbach | 2610440.5 1228640 | 0.02 1.6 + | M | 1 Schmocker-Flück Daniela Ind 5 |
| Emmenschachen | n ###### 26.06.2023 12:48 | 1040540 Salix alba L. | 362800 Luterbach | 2610452.4 1228619 | 9.84 1.5 + | M | 3 Schmocker-Flück Daniela I di 51-100 |
| Emmenschachen | n ###### 26.06.2023 12:49 | 1040710 Salix elaeagnos Scop. | 364000 Luterbach | 2610453.54 1228616 | 6.88 1.6 + | M | 1 Schmocker-Flück Daniela Indi 5 |
| Emmenspitz | ###### 05.09.2023 13:12 | 1038500 Robinia pseudoacacia L. | 346500 Luterbach | 2610137.17 1229537 | | M | 1 Nyffenegger Nadja 1 m2 |
| Emmenspitz | ###### 05.09.2023 13:13 | 1038500 Robinia pseudoacacia L. | 346500 Luterbach | 2610130.06 1229558 | | M | 1 Nyffenegger Nadja 0.5 m2 |
| Emmenspitz | ###### 05.09.2023 13:13 | 1038500 Robinia pseudoacacia L. | 346500 Luterbach | 2610125.93 1229557 | | M | 1 Nyffenegger Nadja 1 m2 |
| Emmenspitz | ###### 05.09.2023 13:19 | 1038500 Robinia pseudoacacia L. | 346500 Luterbach | 2610085.22 1229669 | | M | 1 Nyffenegger Nadja 1 m2 |
| Emmenspitz | ###### 05.09.2023 13:22 | 1038500 Robinia pseudoacacia L. | 346500 Luterbach | 2610089.1 1229720 | | M | 1 Nyffenegger Nadja 1 m2 |
| Emmenspitz | ###### 05.09.2023 13:22 | 1038500 Robinia pseudoacacia L. | 346500 Luterbach | 2610102.81 1229745 | | M | 2 Nyffenegger Nadja 20 m2 |
| Emmenspitz | ###### 05.09.2023 13:35 | 1038500 Robinia pseudoacacia L. | 346500 Luterbach | 2610129.5 1229822 | | М | 1 Nyffenegger Nadja 0.5 m2 |
| Emmenspitz | ###### 05.09.2023 13:41 | 1038500 Robinia pseudoacacia L. | 346500 Luterbach | 2610171.68 1229490 | | M | 1 Nyffenegger Nadja 2 m2 |
| Emmenspitz | ###### 05.09.2023 13:42 | 1038500 Robinia pseudoacacia L. | 346500 Luterbach | 2610170.07 1229480 | | M | 1 Nyffenegger Nadja 0.5 m2 |
| Emmenspitz | ###### 05.09.2023 13:13 | 1135 Robinia pseudoacacia L. | 346500 Luterbach | 2610147.94 122955 | | M | 1 Alina Kurmann |
| Emmenspitz | ###### 05.09.2023 13:14 | 1135 Robinia pseudoacacia L. | 346500 Luterbach | 2610128.63 122956 | | М | 1 Alina Kurmann |
| Emmenspitz | ###### 05.09.2023 13:15 | 1135 Robinia pseudoacacia L. | 346500 Luterbach | 2610122.47 1229566 | | M | 1 Alina Kurmann |
| Emmenspitz | ###### 05.09.2023 13:18 | 1135 Robinia pseudoacacia L. | 346500 Luterbach | 2610087.33 1229657 | | M | 2 Alina Kurmann |
| Emmenspitz | ###### 05.09.2023 13:19 | 1135 Robinia pseudoacacia L. | 346500 Luterbach | 2610081.57 1229675 | | M | 1 Alina Kurmann |
| Emmenspitz | ####### 05.09.2023 13:21 | 1135 Robinia pseudoacacia L. | 346500 Luterbach | 2610086.3 1229706 | | M | 2 Alina Kurmann |
| Emmenspitz | ###### 05.09.2023 13:24 ###### 05.09.2023 13:42 | 1135 Robinia pseudoacacia L. | 346500 Luterbach | 2610112.71 1229789 | | M M | 2 Alina Kurmann 1 Alina Kurmann |
| Emmenspitz Emmenspitz | ####### 05.09.2023 13:42 | 1135 Robinia pseudoacacia L. 1135 Robinia pseudoacacia L. | 346500 Luterbach 346500 Luterbach | 2610169.42 1229488 2610182.12 1229493 | | M | 1 Alina Kurmann 1 Alina Kurmann |
| Emmenspitz | ####### 26.06.2023 13:47 | 1040710 Salix elaeagnos Scop. | 364000 Luterbach | 2610095.81 1229747 | | M | 1 Schmocker-Flück Daniela Indi 1 |
| Emmenspitz | ####### 26.06.2023 11:39 | 1040710 Salix elaeagrios Scop. | 362800 Luterbach | 2610095.81 1229747 | | M | 3 Schmocker-Flück Daniela Indi 1 |
| Emmenspitz | ####### 26.06.2023 11:48 | 1040540 Salix alba L. | 362800 Luterbach | 2610182.32 1229478 | | M | 4 Schmocker-Flück Daniela Indi: 101-250 |
| Papierfabrik | ####### 31.08.2023 11.48 | 1038500 Robinia pseudoacacia L. | 346500 Biberist | 2610465.03 1226482 | | M | 1 Nyffenegger Nadja 0.5 |
| Papierfabrik | ####### 31.08.2023 08:27 | 1135 Robinia pseudoacacia L. | 346500 Biberist | 2610193.09 1226239 | | M | 1 Alina Kurmann |
| Papierfabrik | ####### 31.08.2023 08:30 | 1135 Robinia pseudoacacia L. | 346500 Biberist | 2610194.09 1226247 | | M | 1 Alina Kurmann |
| Papierfabrik | ####### 31.08.2023 08:32 | 1135 Robinia pseudoacacia L. | 346500 Biberist | 2610195.54 1226249 | | M | 1 Alina Kurmann |
| Papierfabrik | ####### 31.08.2023 08:33 | 1135 Robinia pseudoacacia L. | 346500 Biberist | 2610209.21 1226253 | | M | 1 Alina Kurmann |
| Papierfabrik | ####### 31.08.2023 08:34 | 1135 Robinia pseudoacacia L. | 346500 Biberist | 2610221.37 1226267 | | M | 1 Alina Kurmann |
| Papierfabrik | ####### 31.08.2023 08:35 | 1135 Robinia pseudoacacia L. | 346500 Biberist | 2610227.43 1226272 | | M | 1 Alina Kurmann |
| Papierfabrik | ####### 31.08.2023 08:36 | 1135 Robinia pseudoacacia L. | 346500 Biberist | 2610223.53 122627 | | M | 1 Alina Kurmann |
| Papierfabrik | ####### 31.08.2023 08:37 | 1135 Robinia pseudoacacia L. | 346500 Biberist | 2610232.33 1226269 | | M | 1 Alina Kurmann |
| Papierfabrik | ###### 31.08.2023 08:37 | 1135 Robinia pseudoacacia L. | 346500 Biberist | 2610239.02 1226273 | | М | 1 Alina Kurmann |
| Papierfabrik | ###### 31.08.2023 08:38 | 1135 Robinia pseudoacacia L. | 346500 Biberist | 2610231.47 1226284 | | М | 1 Alina Kurmann |
| Papierfabrik | ###### 31.08.2023 08:38 | 1135 Robinia pseudoacacia L. | 346500 Biberist | 2610237.42 1226299 | 9.17 1 + | М | 1 Alina Kurmann |
| Papierfabrik | ###### 31.08.2023 08:40 | 1135 Robinia pseudoacacia L. | 346500 Biberist | 2610257.03 1226296 | | М | 1 Alina Kurmann |
| Papierfabrik | ###### 31.08.2023 08:41 | 1135 Robinia pseudoacacia L. | 346500 Biberist | 2610260.28 1226313 | | М | 1 Alina Kurmann |
| Papierfabrik | ###### 31.08.2023 08:42 | 1135 Robinia pseudoacacia L. | 346500 Biberist | 2610266.9 1226315 | | М | 1 Alina Kurmann |
| Papierfabrik | ###### 31.08.2023 08:42 | 1135 Robinia pseudoacacia L. | 346500 Biberist | 2610273.97 1226312 | | М | 1 Alina Kurmann |
| Papierfabrik | ###### 31.08.2023 08:44 | 1135 Robinia pseudoacacia L. | 346500 Biberist | 2610273.41 1226298 | | М | 2 Alina Kurmann |
| Papierfabrik | ###### 31.08.2023 08:45 | 1135 Robinia pseudoacacia L. | 346500 Biberist | 2610281.29 1226308 | | М | 1 Alina Kurmann |
| Papierfabrik | ###### 31.08.2023 08:46 | 494 Reynoutria japonica Houtt. | 343200 Biberist | 2610281.1 1226306 | | M | 1 Alina Kurmann |
| Papierfabrik | ###### 31.08.2023 08:46 | 1135 Robinia pseudoacacia L. | 346500 Biberist | 2610285.67 1226312 | | М | 1 Alina Kurmann |
| Papierfabrik | ###### 31.08.2023 08:47 | 1135 Robinia pseudoacacia L. | 346500 Biberist | 2610296.45 1226318 | | M | 1 Alina Kurmann |
| Papierfabrik | ###### 31.08.2023 08:47 | 1135 Robinia pseudoacacia L. | 346500 Biberist | 2610299.18 1226325 | | M | 1 Alina Kurmann |
| Papierfabrik | ####### 31.08.2023 08:48 | 1135 Robinia pseudoacacia L. | 346500 Biberist | 2610305.03 1226330 | | M | 1 Alina Kurmann |
| Papierfabrik | ###### 31.08.2023 08:55 | 1135 Robinia pseudoacacia L. | 346500 Biberist | 2610307.4 1226369 | | M | 1 Alina Kurmann |
| Papierfabrik | ###### 31.08.2023 08:55 | 1135 Robinia pseudoacacia L. | 346500 Biberist | 2610312.31 1226372 | | M | 1 Alina Kurmann |
| | 04 05 5555 55 5 | | | | 7.11 4.03 + | M | 1 Alina Kurmann |
| Papierfabrik | ####### 31.08.2023 08:56 | 1135 Robinia pseudoacacia L. | 346500 Biberist | 2610317.62 1226377 | | ** | |
| Papierfabrik Papierfabrik | ###### 31.08.2023 08:57 | 1135 Robinia pseudoacacia L. | 346500 Biberist | 2610324.26 1226387 | 7.05 3.86 + | M | 1 Alina Kurmann |
| Papierfabrik | | | | | 7.05 3.86 + 9.71 3.82 + | M M M | |



| Procedure 11.0 x 2010 1.0 x 10 | | | | | | | | | |
|--|--------------|--------------------------|------------------------------|-----------------|------------|------------|--------|---------------------------------------|--|
| Pace-Field | NAME | | | | | | | | over v observers supplements abundance |
| Specificial Proceedings 1,000,000,000 115 Reference processors 1,000,000 1,000 | Papierfabrik | ###### 31.08.2023 08:58 | 1135 Robinia pseudoacacia L. | 346500 Biberist | 2610340.55 | 1226394.87 | | - | Alina Kurmann |
| Description | Papierfabrik | ###### 31.08.2023 08:59 | 1135 Robinia pseudoacacia L. | 346500 Biberist | 2610344.53 | 1226401.38 | 3.84 + | M 2 | Alina Kurmann |
| Dependent | Papierfabrik | ###### 31.08.2023 08:59 | 1135 Robinia pseudoacacia L. | 346500 Biberist | 2610350.72 | 1226401.61 | 3.87 + | M 1 | Alina Kurmann |
| Dependent | Papierfabrik | ###### 31.08.2023 09:00 | 1135 Robinia pseudoacacia L. | 346500 Biberist | 2610353.27 | 1226411.67 | 3.89 + | M 1 | Alina Kurmann |
| Poperform | Papierfabrik | ###### 31.08.2023 09:00 | 1135 Robinia pseudoacacia L. | 346500 Biberist | 2610359.49 | 1226414.77 | 4.05 + | M 1 | Alina Kurmann |
| Paperhaint | Papierfabrik | ###### 31.08.2023 09:01 | 1135 Robinia pseudoacacia L. | 346500 Biberist | 2610372.46 | 1226424.9 | 3.56 + | M 1 | Alina Kurmann |
| Paperhatinal | Papierfabrik | ###### 31.08.2023 09:02 | 1135 Robinia pseudoacacia L. | 346500 Biberist | 2610381.16 | 1226429.13 | 3.52 + | M 1 | Alina Kurmann |
| Paperfords | Papierfabrik | ###### 31.08.2023 09:02 | 1135 Robinia pseudoacacia L. | 346500 Biberist | 2610386.95 | 1226431.2 | 3.63 + | M 1 | Alina Kurmann |
| Paperlination | Papierfabrik | ###### 31.08.2023 09:03 | 1135 Robinia pseudoacacia L. | 346500 Biberist | 2610395.07 | 1226439.16 | 3.84 + | M 1 | Alina Kurmann |
| Paperlination | Papierfabrik | ###### 31.08.2023 09:04 | 1135 Robinia pseudoacacia L. | 346500 Biberist | 2610409.59 | 1226447.96 | 3.94 + | M 1 | Alina Kurmann |
| Paper lack | | | | | | 1226404.23 | 3.81 + | M 1 | Alina Kurmann |
| Paperfinals | | ###### 31.08.2023 09:06 | | | | | | M 1 | Alina Kurmann |
| Pageriariak Researce 10,0020 017 1135 Robinis pseudoscocia 34600 Bhorder 2010477-5 120640.06 3.49 M 1 Alna Kurmann Pageriariak American 10,0020 017 1135 Robinis pseudoscocia 3400 Bhorder 2010477-5 1206407-5 1 | Papierfabrik | ###### 31.08.2023 09:06 | 1135 Robinia pseudoacacia L. | 346500 Biberist | 2610394.26 | 1226396.95 | 4.2 + | M 1 | Alina Kurmann |
| Page-fields | Papierfabrik | ###### 31.08.2023 09:09 | 1135 Robinia pseudoacacia L. | 346500 Biberist | 2610452.46 | 1226472.93 | 3.62 + | M 1 | Alina Kurmann |
| Paperficials | Papierfabrik | ###### 31.08.2023 09:17 | 1135 Robinia pseudoacacia L. | 346500 Biberist | 2610432.41 | 1226480.66 | 3.49 + | M 1 | Alina Kurmann |
| Paperfalsh | | ###### 31.08.2023 09:17 | 1135 Robinia pseudoacacia L. | 346500 Biberist | 2610427.54 | 1226486.38 | 4.15 + | M 1 | Alina Kurmann |
| Paperfalsity Review 12-02-02311-132 1-04-05-05 State 1-04-05-05-05-05-05-05-05-05-05-05-05-05-05- | Papierfabrik | ###### 31.08.2023 09:23 | 1135 Robinia pseudoacacia L. | 346500 Biberist | 2610453.34 | 1226471.91 | 5.26 + | M 1 | Alina Kurmann |
| Paperfields | Papierfabrik | ###### 12.09.2023 11:38 | | 364000 Biberist | 2610169.47 | 1226220.71 | 1.7 + | M 1 | Schmocker-Flück Daniela 1 |
| Paperfation | | | | | | | | M 2 | |
| Paperfaliek Reverse 120,9020 1143 1040560 Sale shale Sale200 Behrist 2010011.66 1202034.65 1.4 + M | | | | | | | | M 1 | |
| Paperfacik Reverse 120 2021 144 104071 Sale eleasance Sco. 24600 Behret 20102167 120224 15 1.5 + M | | ###### 12.09.2023 11:43 | | | | | 1.4 + | M 1 | Schmocker-Flück Daniela |
| Paperfaliak sersense 12,09,003 11.48 10.004604 Jannas bindinas L. 21000 Beenst 2910440,05 12.004149 1.3 + M 1 Schmooter-Fluck Damiels | | | | | | | 1.5 + | M 2 | |
| Paperficials Reservent 12.00 2023 11:51 5040740 Salts abbs L. 352000 Beherist 2510246.98 1226266.96 1.4 + 1 1 5chmocker-Pluck Dannels | | | | | | | | | |
| Paperfalisk Revenue 12.09.0231 15.5 10.0470 Indexing seatence (L.) R. Br. 216000 Bherist 261048.6 1.26268.6 1.4 + 1 1 Schmooker-Flück Daniela Paperfalisk Revenue 12.09.0231 15.6 10.0490 Junicus burbrinas L. 216000 Bherist 26104.2 12.0268.2 1.3 + M 1 Schmooker-Flück Daniela Paperfalisk Revenue 12.09.0231 12.0 10.0490 Junicus burbrinas L. 216000 Bherist 26104.3 1.3 + M 1 Schmooker-Flück Daniela Paperfalisk Revenue 12.09.0231 12.0 10.0490 Junicus burbrinas L. 218000 Bherist 261068.2 12.0267.8 1.4 + M 1 Schmooker-Flück Daniela Paperfalisk Revenue 12.09.0231 12.0 10.0490 Junicus burbrinas L. 218000 Bherist 261068.2 12.0267.8 1.4 + M 1 Schmooker-Flück Daniela Paperfalisk Revenue 12.09.0231 12.0 10.0490 Salu alba L. 362000 Bherist 261068.2 12.0267.8 1.4 + M 1 Schmooker-Flück Daniela Paperfalisk Revenue 12.09.0231 12.0 10.0490 Salu alba L. 362000 Bherist 261068.8 12.0268.2 12.0268.9 1.4 + M 1 Schmooker-Flück Daniela Paperfalisk Revenue 12.09.0231 12.1 10.0490 Junicus burbrinas L. 362000 Bherist 261068.8 12.0268.8 1.5 + M 1 Schmooker-Flück Daniela Paperfalisk Revenue 12.09.0231 12.1 10.0490 Salu alba L. 362000 Bherist 261068.8 12.0268.8 1.5 + M 1 Schmooker-Flück Daniela Paperfalisk Revenue 12.09.0231 12.1 10.0490 Salu alba L. 362000 Bherist 261068.8 1.5 + M 1 Schmooker-Flück Daniela Paperfalisk Revenue 12.09.0231 12.1 10.0490 Salu alba L. 362000 Bherist 261068.8 1.5 + M 1 Schmooker-Flück Daniela Paperfalisk Revenue 12.09.0231 12.2 10.0490 Salu alba L. 362000 Bherist 261068.8 1.5 + M 1 Schmooker-Flück Daniela Paperfalisk Revenue 12.09.0231 12.3 10.0490 Salu alba L. 362000 Bherist 261068.8 1.5 + M 1 Schmooker-Flück Daniela Paperfalisk Revenue 12.09.0231 12.3 10.0490 Salu alba L. 36200 Bherist 261068.8 1.26268.8 1.7 + M 1 Schmooke | | | | | | | | | |
| Expendiable Resease 10,00,0023 11,56 10,0040 Junica buforias | | | | | | | | | |
| Paperfatrik ####### 12,00 (2023 11:50 1004440 Junous bufomius L 218200 Bherist 2610(25) 83 1282628.47 1.3 + M 1 Schmocker-Fluck Deniela Paperfatrik ####### 12,00 (2023 12:02 1004440 Junous bufomius L 218200 Bherist 2610(25) 83 128270.9 1.6 + M 1 Schmocker-Fluck Deniela Paperfatrik ####### 12,00 (2023 12:04 1004440 Junous bufomius L 218200 Bherist 2610(25) 83 128270.9 1.6 + M 1 Schmocker-Fluck Deniela Paperfatrik ################################### | | | | | | | | M 1 | |
| Paperfacion | | | | | | | | M 1 | |
| Paperfelicity Paperfelicit | | | | | | | | | |
| Papelerfabrik Reverset 12.09.2023 12-09 104046 Sink abs L 362800 Beherit 2610265.25 126274.98 1.5 + M 1 Schmooter-Fluck Daniels Papelerfabrik Reverset 12.09.2023 12-09 1040540 Sink abs L 362800 Beherit 2610286.41 126202.99 1.4 + M 1 Schmooter-Fluck Daniels Papelerfabrik Reverset 12.09.2023 12-10 1040540 Sink abs L 362800 Beherit 2610286.41 126202.52 1.9 + M 1 Schmooter-Fluck Daniels Papelerfabrik Reverset 12.09.2023 12-10 1040540 Sink abs L 362800 Beherit 261029.80 1.5 + M 1 Schmooter-Fluck Daniels Papelerfabrik Reverset 12.09.2023 12-10 1040540 Sink abs L 362800 Beherit 261029.80 1.5 + M 1 Schmooter-Fluck Daniels Papelerfabrik Reverset 12.09.2023 12-10 1040540 Sink abs L 362800 Beherit 261029.80 1.5 + M 1 Schmooter-Fluck Daniels Papelerfabrik Reverset 12.09.2023 12-10 1040540 Sink abs L 362800 Beherit 261029.80 1.5 + M 1 Schmooter-Fluck Daniels Papelerfabrik Reverset 12.09.2023 12-10 1020640 Sink abs L 362800 Beherit 261029.80 126280.71 1.7 + I 1 Schmooter-Fluck Daniels Papelerfabrik Reverset 12.09.2023 12-21 102080 Mytoria germanica (L) Dev. 26700 Beherit 261029.80 126280.71 1.7 + I 1 Schmooter-Fluck Daniels Papelerfabrik Reverset 12.09.2023 12-21 102080 Mytoria germanica (L) Dev. 26700 Beherit 261029.80 126280.71 1.7 + I 1 Schmooter-Fluck Daniels Papelerfabrik Reverset 12.09.2023 12-23 102040 Junus buforius L 21800 Beherit 261029.80 1.7 + M 1 Schmooter-Fluck Daniels Papelerfabrik Reverset 12.09.2023 12-33 102040 Junus buforius L 21800 Beherit 261029.80 126280.80 1.7 + M 1 Schmooter-Fluck Daniels Papelerfabrik Reverset 12.09.2023 12-44 102040 Junus buforius L 21800 Beherit 261029.80 126280.80 1.3 + M 1 Schmooter-Fluck Daniels Papelerfabrik Reverset 12.09.2023 12-54 1040640 Sink abs L 362800 Beherit 261029.80 1.228340 1.3 + M 1 Schmooter-Fluck D | | | | | | | | M 1 | |
| Paperfelarik ####### 12.09.2023 12:09 1046540 Salk valba . | | | | | | | | | |
| Paperfathink ####### 12/09.2023 12/12 104/0540 Salks alba L. 362/00 Biberist 261/0286 41 12/28/29.99 1.4 + M 1 Schmocker-Flück Danniela | | | | | | | | | |
| Paperfabrix ###### 1209.2031 12:1 104940 Juncus bufonus L. 21800 Biberist 2610289.85 128289.85 12.9 m M 1 Schmocker-Pück Danniela Paperfabrix ################################### | | | | | | | | | |
| Expertablisk | | | | | | | | | |
| Paperfabrix ####### 12.09.2023 12:16 1040540 Salix alba L. 362800 Beheris 2610255.72 122808.88 1.5 + M 1 Schmocker-Fluck Daniela Paperfabrix ######## 12.09.2023 12:21 1029800 Myricaria germanica (L.) Desv. 267500 Beheris 2610254.89 1228280.71 1.7 + I 1 Schmocker-Fluck Daniela Paperfabrix ####### 12.09.2023 12:21 1029800 Myricaria germanica (L.) Desv. 267500 Beheris 2610254.89 1228280.71 1.7 + I 1 Schmocker-Fluck Daniela Paperfabrix ######## 12.09.2023 12:23 1040540 Salix alba L. 261020 Beheris 2610254.81 122827.84 1228280.89 1.7 + M 1 Schmocker-Fluck Daniela Paperfabrix ################################### | | | | | | | | | |
| Paperfabrib ####### 12.09.203 12:16 1040540 Salix alba L. 362800 Beheris 261027.44 122686.83 16 + M 4 Schmocker-Fluck Daniela Paperfabrix ######## 12.09.203 12:25 1040540 Salix alba L. 362800 Beheris 261023.91 122627.38 1.3 + M 1 Schmocker-Fluck Daniela Paperfabrix ################################### | | | | | | | | | |
| Paperfabrix ####### 12.09.2023 12.21 10.2980 Myficaria germanica (L.) Desv. 267500 Biberist 2610287.89 12.26280.71 1.7 + 1 Schmocker-Fluck Daniela Paperfabrix ####### 12.09.2023 12.31 10.2494 Junicus bufonius L. 218200 Biberist 2610287.54 12.26289.98 1.7 + M 1 Schmocker-Fluck Daniela Paperfabrix ######## 12.09.2023 12.43 10.2494 Junicus bufonius L. 218200 Biberist 261028.69 12.26289.98 1.7 + M 1 Schmocker-Fluck Daniela Paperfabrix ######## 12.09.2023 12.43 10.2494 Junicus bufonius L. 218200 Biberist 2610328.69 12.26283.47 1.4 + M 1 Schmocker-Fluck Daniela Paperfabrix ################################### | | | | | | | | | |
| Paperfabrik | | | | | | | | I 1 | |
| Papierfabrik ###### 12,09,2023 1223 1024494 Junous bufonius L. 218200 Biberis 261028,69 126286,99 126289,93 1.8 + M 1 Schmocker-Flück Daniela Papierfabrik ###### 12,09,2023 1243 1024494 Junous bufonius L. 218200 Biberis 2610320,62 1265324 1.3 + M 1 Schmocker-Flück Daniela Papierfabrik ###### 12,09,2023 1243 1040540 Salik alba L. 362800 Biberis 261037,67 126533,47 1.4 + M 1 Schmocker-Flück Daniela Papierfabrik ###### 12,09,2023 1244 1040540 Salik alba L. 362800 Biberis 261037,67 126533,47 1.4 + M 2 Schmocker-Flück Daniela Papierfabrik ###### 12,09,2023 1245 1024940 Junous bufonius L. 218200 Biberis 261032,67 126533,49 1.7 + M 1 Schmocker-Flück Daniela Papierfabrik ###### 12,09,2023 1255 1040640 Salik alba L. 362800 Biberis 261032,67 126533,49 1.7 + M 2 Schmocker-Flück Daniela Papierfabrik ###### 12,09,2023 1255 1040640 Salik alba L. 362800 Biberis 261023,69 126540,30 1.4 + M 2 Schmocker-Flück Daniela Papierfabrik ###### 12,09,2023 1300 1040640 Salik alba L. 362800 Biberis 261023,89 126540,30 1.4 + M 2 Schmocker-Flück Daniela Papierfabrik ###### 12,09,2023 1300 1040640 Salik alba L. 362800 Biberis 261035,99 126403,55 1.4 + M 2 Schmocker-Flück Daniela Papierfabrik ###### 12,09,2023 1300 1040640 Salik alba L. 362800 Biberis 261035,99 126403,55 1.4 + M 2 Schmocker-Flück Daniela Papierfabrik ####### 12,09,2023 1300 1040710 Salik elaeagnos Scop. 364000 Biberis 261035,27 1262837,3 1.2 + M 1 Schmocker-Flück Daniela Papierfabrik ####### 12,09,2023 1304 1024940 Junous bufonius L. 218200 Biberis 2610372,44 126379,3 1.2 + M 1 Schmocker-Flück Daniela Papierfabrik #################################### | | | | | | | | M 1 | |
| Papierfabrik ######## 12.09.2023 12.34 10.24940 Juncus bufonius L. 218.200 Biberist 26 10.286.86 12.266.294.31 1.8 + M 1 Schmocker-Flück Daniela Papierfabrik ####### 12.09.2023 12.43 10.24940 Juncus bufonius L. 218.200 Biberist 26 10.391.74 12.263.24.37 1.4 + M 1 Schmocker-Flück Daniela Papierfabrik ####### 12.09.2023 12.45 10.04540 Salix alba L. 36.200 Biberist 26 10.391.74 12.263.24.37 1.4 + M 1 Schmocker-Flück Daniela Papierfabrik ####### 12.09.2023 12.45 10.04540 Juncus bufonius L. 218.200 Biberist 26 10.392.67 1.228.300.86 2 + M 2 Schmocker-Flück Daniela Papierfabrik ####### 12.09.2023 12.45 10.04540 Juncus bufonius L. 218.200 Biberist 26 10.397.68 12.263.34 4 1.7 + M 1 Schmocker-Flück Daniela Papierfabrik ####### 12.09.2023 12.57 10.04540 Juncus bufonius L. 218.200 Biberist 26 10.397.68 12.263.34 9 1.7 + M 2 Schmocker-Flück Daniela Papierfabrik ######## 12.09.2023 12.57 10.04540 Juncus bufonius L. 36.200 Biberist 26 10.038.69 1 1.4 + M 2 Schmocker-Flück Daniela Papierfabrik ######## 12.09.2023 12.57 10.04710 Salix elasagnos Scop. 36.4000 Biberist 26 10.036.69 1 12.263.40.02 1.3 + M 1 Schmocker-Flück Daniela Papierfabrik ######## 12.09.2023 13.00 10.04540 Salix alba L. 36.200 Biberist 26 10.036.89 1 12.263.00 1.3 + M 2 Schmocker-Flück Daniela Papierfabrik ######## 12.09.2023 13.00 10.04540 Salix alba L. 36.200 Biberist 26 10.036.81 1.7 + M 1 Schmocker-Flück Daniela Papierfabrik ######## 12.09.2023 13.00 10.04540 Juncus bufonius L. 218.200 Biberist 26 10.037.24 1 12.26379.3 1.2 + M 1 Schmocker-Flück Daniela Papierfabrik #################################### | | | | | | | | | |
| Papierlabrik ######## 12.09.2023 124:43 104:0540 Salx alba L 362:00 Biberist 26103197.4 12629324 1.3 + M 1 Schmooker-Flück Daniela Papierlabrik ######## 12.09.2023 124:44 104:0540 Salix alba L 362:00 Biberist 26103197.4 126930.86 2 + M 1 Schmooker-Flück Daniela Papierlabrik ######## 12.09.2023 124:44 104:0540 Salix alba L 362:00 Biberist 2610326.17 1226334.08 2 + M 1 Schmooker-Flück Daniela Papierlabrik ######## 12.09.2023 12:55 104:0540 Salix alba L 362:00 Biberist 2610327.88 128:334.04 1.7 + M 1 Schmooker-Flück Daniela Papierlabrik ######### 12.09.2023 12:55 104:0540 Salix alba L 362:00 Biberist 2610293.69 1226340.63 1.4 + M 2 Schmooker-Flück Daniela Papierlabrik #################################### | | | | | | | | | |
| Papierfabrik ######## 1209-2023 121-43 1040540 Salix alba L. 362800 Bberist 261039.74 1226324.37 1.4 + M 1 Schmocker-Fück Daniela Papierfabrik ####### 1209-2023 121-54 1040540 Salix alba L. 362800 Bberist 2610327.68 1226334.94 1.7 + M 1 Schmocker-Fück Daniela Papierfabrik ######## 1209-2023 121-55 1040540 Salix alba L. 362800 Bberist 2610327.68 1226334.94 1.7 + M 1 Schmocker-Fück Daniela Papierfabrik ######## 1209-2023 121-57 1040540 Salix alba L. 362800 Bberist 2610237.68 1226334.94 1.7 + M 1 Schmocker-Fück Daniela Papierfabrik ######## 1209-2023 121-57 1040710 Salix elasagnos Scop. 364000 Bberist 2610261.88 1226340.02 1.3 + M 1 Schmocker-Fück Daniela Papierfabrik ####### 1209-2023 1300 1040540 Salix alba L. 362800 Bberist 2610355.89 122640.35 5. 1.4 + M 2 Schmocker-Fück Daniela Papierfabrik ####### 1209-2023 1300 1040540 Salix alba L. 362800 Bberist 2610355.89 12640.35 5. 1.4 + M 1 Schmocker-Fück Daniela Papierfabrik ####### 1209-2023 1300 1040540 Salix alba L. 362800 Bberist 2610352.78 122633.3 12 + M 1 Schmocker-Fück Daniela Papierfabrik ######## 1209-2023 1304 1040540 Salix alba L. 362800 Bberist 2610372.44 1226379.3 12 + M 1 Schmocker-Fück Daniela Papierfabrik ######## 1209-2023 1300 1040540 Salix alba L. 218200 Bberist 2610372.44 1226379.3 12 + M 1 Schmocker-Fück Daniela Papierfabrik ######### 1209-2023 1310 1040540 Salix alba L. 218200 Bberist 2610372.44 1226379.3 12 + M 1 Schmocker-Fück Daniela Papierfabrik ######## 1209-2023 1310 1040540 Salix alba L. 218200 Bberist 2610352.78 1226356.29 1.2 + M 1 Schmocker-Fück Daniela Papierfabrik ######## 1209-2023 1310 1040540 Salix alba L. 218200 Bberist 2610352.78 1226356.29 1.2 + M 1 Schmocker-Fück Daniela Papierfabrik #################################### | | | | | | | 1.0 1 | | |
| Papierfabrik ####### 12.09.2023 1244 1040540 Salix alba L. 362800 Biberist 2610327.68 1226340.63 1.7 + M 1 2 Schmooker-Flück Daniela Papierfabrik ####### 12.09.2023 12.55 1040540 Salix alba L. 362800 Biberist 2610327.68 1226340.63 1.4 + M 2 Schmooker-Flück Daniela Papierfabrik ####### 12.09.2023 12.57 1040710 Salix elaeagnos Scop. 364000 Biberist 2610281.89 1226340.02 1.3 + M 1 Schmooker-Flück Daniela Papierfabrik ####### 12.09.2023 13.00 1040540 Salix alba L. 362800 Biberist 2610365.89 1226403.55 1.4 + M 2 Schmooker-Flück Daniela Papierfabrik ####### 12.09.2023 13.00 1040540 Salix alba L. 362800 Biberist 2610355.89 1226403.55 1.4 + M 2 Schmooker-Flück Daniela Papierfabrik ####### 12.09.2023 13.00 1040540 Salix alba L. 362800 Biberist 2610365.99 1226403.55 1.4 + M 1 Schmooker-Flück Daniela Papierfabrik ####### 12.09.2023 13.04 1040940 Junous bufonius L. 212000 Biberist 2610362.17 1226403.19 1.7 + M 1 Schmooker-Flück Daniela Papierfabrik #################################### | | | | | | | | | |
| Papierfabrik ###### 12,09,2023 12.45 1024940 Juncus bufonius L. 218200 Biberist 2610327.68 1226334.9 | | | | | | | | | |
| Papierfabrik | | | | | | | | | |
| Papierfabrik ####### 12,09 2023 13:00 1040710 Salix elaeagnos Scop. 364000 Biberist 2610355.98 1226403.50 1.3 + M 1 Schmocker-Flück Daniela Papierfabrik ###### 12,09 2023 13:00 1040710 Salix elaeagnos Scop. 364000 Biberist 2610355.98 1226403.19 1.7 + M 1 Schmocker-Flück Daniela Papierfabrik ###### 12.09 2023 13:00 1040710 Salix elaeagnos Scop. 364000 Biberist 2610352.98 1226403.19 1.7 + M 1 Schmocker-Flück Daniela Papierfabrik ###### 12.09 2023 13:04 10404540 Salix alba L. 362800 Biberist 2610372.44 1226379.3 1.2 + M 1 Schmocker-Flück Daniela Papierfabrik ###### 12.09 2023 13:04 10404540 Salix alba L. 362800 Biberist 2610372.44 1226379.3 1.2 + M 1 Schmocker-Flück Daniela Papierfabrik ####### 12.09 2023 13:01 1024940 Juncus bufonius L. 218200 Biberist 2610352.68 1226356.29 1.2 + M 1 Schmocker-Flück Daniela Papierfabrik ####### 12.09 2023 13:10 1024940 Juncus bufonius L. 218200 Biberist 2610352.68 1226356.29 1.2 + M 1 Schmocker-Flück Daniela Papierfabrik ####### 12.09 2023 13:11 1040710 Salix elaeagnos Scop. 364000 Biberist 2610395.78 1226356.29 1.2 + M 1 Schmocker-Flück Daniela Papierfabrik ####### 12.09 2023 13:14 1040540 Salix alba L. 362800 Biberist 2610395.78 1226356.29 1.2 + M 1 Schmocker-Flück Daniela Papierfabrik ####### 12.09 2023 13:14 1040540 Salix alba L. 362800 Biberist 2610396.66 1226401.95 1.4 + M 2 Schmocker-Flück Daniela Papierfabrik ####### 12.09 2023 13:15 1040710 Salix elaeagnos Scop. 364000 Biberist 2610396.66 1226401.95 1.4 + M 2 Schmocker-Flück Daniela Papierfabrik ####### 12.09 2023 13:25 1040540 Salix alba L. 362800 Biberist 261041.65 1226403.99 1.4 + M 2 Schmocker-Flück Daniela Papierfabrik ######## 12.09 2023 13:25 1040540 Salix alba L. 362800 Biberist 261041.89 1226458.81 1.9 + M 2 Schmocker-Flück Daniela Papierfabrik #################################### | | | | | | | | | |
| Papierfabrik ####### 12.09.2023 13:00 1040540 Salix alba L 362800 Biberist 2610355.98 1226403.55 1.4 + M 2 Schmocker-Flück Daniela Papierfabrik ####### 12.09.2023 13:00 1040710 Salix elaeagnos Scop. 364000 Biberist 2610362.17 1226403.19 1.7 + M 1 Schmocker-Flück Daniela Papierfabrik ####### 12.09.2023 13:04 1040540 Salix alba L. 362800 Biberist 2610372.44 1226379.3 1.2 + M 1 Schmocker-Flück Daniela Papierfabrik ####### 12.09.2023 13:09 1040540 Salix alba L. 362800 Biberist 2610372.44 1226379.3 1.2 + M 1 Schmocker-Flück Daniela Papierfabrik ####### 12.09.2023 13:09 1040540 Salix alba L. 218200 Biberist 2610352.78 1226357.6 1.3 + M 1 Schmocker-Flück Daniela Papierfabrik ####### 12.09.2023 13:10 1024940 Juncus bufonius L. 218200 Biberist 2610352.78 1226356.29 1.2 + M 1 Schmocker-Flück Daniela Papierfabrik ####### 12.09.2023 13:10 1040710 Salix elaeagnos Scop. 364000 Biberist 2610352.78 1226356.29 1.2 + M 1 Schmocker-Flück Daniela Papierfabrik ####### 12.09.2023 13:14 1040540 Salix alba L. 362800 Biberist 2610352.78 1226356.29 1.2 + M 1 Schmocker-Flück Daniela Papierfabrik ####### 12.09.2023 13:14 1040540 Salix alba L. 362800 Biberist 2610352.78 1226356.29 1.2 + M 1 Schmocker-Flück Daniela Papierfabrik ###### 12.09.2023 13:16 1040710 Salix elaeagnos Scop. 364000 Biberist 2610352.78 1226401.95 1.4 + M 2 Schmocker-Flück Daniela Papierfabrik ####### 12.09.2023 13:22 1040540 Salix alba L. 362800 Biberist 2610416.56 1226401.95 1.4 + M 2 Schmocker-Flück Daniela Papierfabrik ###### 12.09.2023 13:28 1040540 Salix alba L. 362800 Biberist 2610416.56 1226401.95 1.4 + M 2 Schmocker-Flück Daniela Papierfabrik ###### 12.09.2023 13:28 1040540 Salix alba L. 362800 Biberist 2610416.05 1226477.21 1.2 + M 1 Schmocker-Flück Daniela Papierfabrik ######## 12.09.2023 13:39 1 | | | | | | | | ··· - | |
| Papierfabrik ####### 12,09,2023 13:04 1040710 Salix elaeagnos Scop. 364000 Biberist 2610372.44 1226379.3 1.2 + M 1 Schmocker-Flück Daniela Papierfabrik ####### 12,09,2023 13:04 1040540 Salix alba L. 362800 Biberist 2610372.44 1226379.3 1.2 + M 1 Schmocker-Flück Daniela Papierfabrik ####### 12,09,2023 13:04 1040540 Salix alba L. 362800 Biberist 2610372.44 1226379.3 1.2 + M 1 Schmocker-Flück Daniela Papierfabrik ###### 12,09,2023 13:09 1024940 Juncus bufonius L. 218200 Biberist 2610358.21 1226357.6 1.3 + M 1 Schmocker-Flück Daniela Papierfabrik ###### 12,09,2023 13:10 1040710 Salix elaeagnos Scop. 364000 Biberist 2610352.78 1226356.29 1.2 + M 1 Schmocker-Flück Daniela Papierfabrik ###### 12,09,2023 13:14 1040540 Salix alba L. 362800 Biberist 2610352.78 126356.29 1.2 + M 1 Schmocker-Flück Daniela Papierfabrik ###### 12,09,2023 13:14 1040540 Salix alba L. 362800 Biberist 2610390.99 126391.57 1.4 + M 5 Schmocker-Flück Daniela Papierfabrik ###### 12,09,2023 13:22 1040710 Salix elaeagnos Scop. 364000 Biberist 2610390.99 126391.57 1.4 + M 2 Schmocker-Flück Daniela Papierfabrik ###### 12,09,2023 13:22 1040710 Salix elaeagnos Scop. 364000 Biberist 2610404.99 126440.99 1.4 + M 2 Schmocker-Flück Daniela Papierfabrik ###### 12,09,2023 13:22 1040710 Salix elaeagnos Scop. 364000 Biberist 2610410.55 1226478.13 1.3 + M 2 Schmocker-Flück Daniela Papierfabrik ####### 12,09,2023 13:28 1040540 Salix alba L. 362800 Biberist 2610410.55 1226478.13 1.3 + M 2 Schmocker-Flück Daniela Papierfabrik ###### 12,09,2023 13:28 1040540 Salix alba L. 362800 Biberist 2610410.95 1226478.13 1.3 + M 2 Schmocker-Flück Daniela Papierfabrik ###### 12,09,2023 13:33 1040540 Salix alba L. 362800 Biberist 2610410.95 1226478.13 1.3 + M 4 Schmocker-Flüc | | | | | | | | | |
| Papierfabrik ####### 12.09.2023 13:04 1024940 Juncus bufonius L. 218200 Biberist 2610372.44 1226379.3 1.2 + M 1 Schmocker-Flück Daniela Papierfabrik ####### 12.09.2023 13:09 104940 Juncus bufonius L. 218200 Biberist 2610358.21 1226357.6 1.3 + M 1 Schmocker-Flück Daniela Papierfabrik ###### 12.09.2023 13:10 1024940 Juncus bufonius L. 218200 Biberist 2610358.21 1226357.6 1.3 + M 1 Schmocker-Flück Daniela Papierfabrik ###### 12.09.2023 13:10 104940 Juncus bufonius L. 218200 Biberist 2610352.78 1226356.29 1.2 + M 1 Schmocker-Flück Daniela Schmocker-Flück Daniela Papierfabrik ####### 12.09.2023 13:10 104940 Juncus bufonius L. 218200 Biberist 2610352.78 1226356.29 1.2 + M 1 Schmocker-Flück Daniela Papierfabrik ####### 12.09.2023 13:14 1040740 Salix eleaganos Scop. 364000 Biberist 261039.99 1226391.57 1.4 + M 5 Schmocker-Flück Daniela Papierfabrik ####### 12.09.2023 13:22 1040740 Salix eleaganos Scop. 364000 Biberist 2610396.66 1226401.95 1.4 + M 2 Schmocker-Flück Daniela Papierfabrik ####### 12.09.2023 13:25 1040740 Salix eleaganos Scop. 364000 Biberist 2610416.56 1226401.95 1.4 + M 2 Schmocker-Flück Daniela Papierfabrik ####### 12.09.2023 13:25 1040740 Salix eleaganos Scop. 364000 Biberist 2610416.56 1226403.89 1.4 + M 2 Schmocker-Flück Daniela Papierfabrik ####### 12.09.2023 13:25 1040740 Salix eleaganos Scop. 364000 Biberist 2610416.56 1226403.89 1.4 + M 2 Schmocker-Flück Daniela Papierfabrik ####### 12.09.2023 13:28 1040740 Salix eleaganos Scop. 364000 Biberist 2610410.5 1226478.13 1.3 + M 2 Schmocker-Flück Daniela Papierfabrik ####### 12.09.2023 13:28 1040740 Salix eleaganos Scop. 364000 Biberist 2610410.5 1226478.13 1.3 + M 2 Schmocker-Flück Daniela Papierfabrik ######## 12.09.2023 13:36 1040740 Salix eleaganos Scop. 364000 Biberist 2610410.5 1226478.21 1.2 + M 1 Schmocker-Flück Daniela Papierfabrik ### | | | | | | | | | |
| Papierfabrik ####### 12.09.2023 13:04 1040540 Salix alba L 362800 Biberist 2610352.44 1226379.3 1.2 + M 1 Schmocker-Flück Daniela Papierfabrik ###### 12.09.2023 13:10 1024940 Juncus bufonius L. 218200 Biberist 2610352.78 1226356.29 1.2 + M 1 Schmocker-Flück Daniela Papierfabrik ###### 12.09.2023 13:10 1040710 Salix elaeagnos Scop. 364000 Biberist 2610352.78 1226356.29 1.2 + M 1 Schmocker-Flück Daniela Papierfabrik ####### 12.09.2023 13:11 1040710 Salix elaeagnos Scop. 364000 Biberist 2610352.78 1226356.29 1.2 + M 1 Schmocker-Flück Daniela Papierfabrik ####### 12.09.2023 13:14 1040540 Salix alba L. 362800 Biberist 2610396.66 1226401.95 1.4 + M 2 Schmocker-Flück Daniela Papierfabrik ####### 12.09.2023 13:16 1040710 Salix elaeagnos Scop. 364000 Biberist 2610396.66 1226401.95 1.4 + M 2 Schmocker-Flück Daniela Papierfabrik ####### 12.09.2023 13:22 1040710 Salix elaeagnos Scop. 364000 Biberist 2610496.66 1226401.95 1.4 + M 2 Schmocker-Flück Daniela Papierfabrik ####### 12.09.2023 13:22 1040710 Salix elaeagnos Scop. 364000 Biberist 2610405.66 1226401.95 1.4 + M 2 Schmocker-Flück Daniela Papierfabrik ####### 12.09.2023 13:25 1040710 Salix elaeagnos Scop. 364000 Biberist 2610405.66 1226401.95 1.4 + M 2 Schmocker-Flück Daniela Papierfabrik ####### 12.09.2023 13:25 1040710 Salix elaeagnos Scop. 364000 Biberist 2610405.61 1226430.89 1.4 + M 2 Schmocker-Flück Daniela Papierfabrik ####### 12.09.2023 13:28 1040540 Salix alba L. 362800 Biberist 261041.05 1226478.13 1.3 + M 2 Schmocker-Flück Daniela Papierfabrik ####### 12.09.2023 13:38 1040540 Salix elaeagnos Scop. 364000 Biberist 2610411.05 1226477.21 1.2 + M 1 Schmocker-Flück Daniela Papierfabrik ####### 12.09.2023 13:36 1040540 Salix alba L. 362800 Biberist 261041.95 1226477.21 1.2 + M 1 Schmocker-Flück Daniela Papierfabrik ####### 12.09.2023 13:36 1040540 Salix alba L. 362800 Biberist 2610413.95 1226477.21 1.2 + M 1 Schmocker-Flück Daniela Papierfabrik ####### 12.09.2023 13:34 1040540 Salix alba L. 362800 Biberist 261043.95 1226473.24 1.4 + M 1 Schmocker-Flück Daniela Pa | | | | | | | | | |
| Papierfabrik ####### 12.09.2023 13:10 1024940 Juncus bufonius L. 21820 Biberist 2610352.78 1226356.29 1.2 + M 1 Schmocker-Flück Daniela Papierfabrik ####### 12.09.2023 13:10 1040710 Salix elaeagnos Scop. 364000 Biberist 2610352.78 1226356.29 1.2 + M 1 Schmocker-Flück Daniela Papierfabrik ###### 12.09.2023 13:14 1040710 Salix elaeagnos Scop. 364000 Biberist 2610352.78 1226356.29 1.2 + M 1 Schmocker-Flück Daniela Papierfabrik ###### 12.09.2023 13:14 1040710 Salix elaeagnos Scop. 364000 Biberist 2610390.99 1226391.57 1.4 + M 5 Schmocker-Flück Daniela Schmocker-Flück Daniela Papierfabrik ####### 12.09.2023 13:14 1040710 Salix elaeagnos Scop. 364000 Biberist 2610396.66 1226401.95 1.4 + M 2 Schmocker-Flück Daniela Papierfabrik ####### 12.09.2023 13:22 1040710 Salix elaeagnos Scop. 364000 Biberist 2610416.56 1226430.89 1.4 + M 2 Schmocker-Flück Daniela Papierfabrik ####### 12.09.2023 13:25 1040540 Salix alba L. 362800 Biberist 2610411.05 1226478.13 1.3 + M 2 Schmocker-Flück Daniela Papierfabrik ####### 12.09.2023 13:28 1040710 Salix elaeagnos Scop. 364000 Biberist 2610411.05 1226477.21 1.2 + M 1 Schmocker-Flück Daniela Papierfabrik ####### 12.09.2023 13:28 1040710 Salix elaeagnos Scop. 364000 Biberist 2610411.05 1226477.21 1.2 + M 1 Schmocker-Flück Daniela Papierfabrik ####### 12.09.2023 13:31 1040540 Salix alba L. 218200 Biberist 261041.95 1226477.21 1.2 + M 1 Schmocker-Flück Daniela Papierfabrik ####### 12.09.2023 13:33 1040540 Salix alba L. 362800 Biberist 261047.95 1226473.24 1.4 + M 6 Schmocker-Flück Daniela Papierfabrik ####### 12.09.2023 13:33 1040540 Salix alba L. 362800 Biberist 261047.95 1226475.34 1.4 + M 6 Schmocker-Flück Daniela Papierfabrik ####### 12.09.2023 13:34 1040540 Salix alba L. 362800 Biberist 261047.95 1226475.93 1.2 + M 1 Schmocker-Flück Daniela Papierfabrik ######## 12.09.2023 13:47 | | | | | | | | | |
| Papierfabrik ###### # 12.09.2023 13:10 | | | | | | | | | |
| Papierfabrik ####### 12.09.2023 13:10 1040710 Salix elaeagnos Scop. 364000 Biberist 2610395.78 1226362.29 1.2 + M 1 Schmocker-Flück Daniela Papierfabrik ####### 12.09.2023 13:14 1040710 Salix elaeagnos Scop. 364000 Biberist 2610390.99 1226391.57 1.4 + M 2 Schmocker-Flück Daniela Papierfabrik ####### 12.09.2023 13:26 1040710 Salix elaeagnos Scop. 364000 Biberist 2610390.66 1226401.95 1.4 + M 2 Schmocker-Flück Daniela Papierfabrik ####### 12.09.2023 13:22 1040710 Salix elaeagnos Scop. 364000 Biberist 2610416.56 1226430.89 1.4 + M 2 Schmocker-Flück Daniela Papierfabrik ####### 12.09.2023 13:25 1040540 Salix alba L. 362800 Biberist 261041.05 1226478.13 1.3 + M 2 Schmocker-Flück Daniela Papierfabrik ####### 12.09.2023 13:28 1040540 Salix alba L. 362800 Biberist 261041.05 1226478.13 1.3 + M 2 Schmocker-Flück Daniela Papierfabrik ####### 12.09.2023 13:28 1040710 Salix elaeagnos Scop. 364000 Biberist 2610411.05 1226478.13 1.3 + M 2 Schmocker-Flück Daniela Papierfabrik ####### 12.09.2023 13:28 1040710 Salix elaeagnos Scop. 364000 Biberist 2610411.05 1226477.21 1.2 + M 1 Schmocker-Flück Daniela Papierfabrik ####### 12.09.2023 13:31 1040540 Salix alba L. 218200 Biberist 2610418.92 1226456.84 1.6 + M 1 Schmocker-Flück Daniela Papierfabrik ####### 12.09.2023 13:33 1040540 Salix alba L. 362800 Biberist 2610472.95 1226473.24 1.4 + M 6 Schmocker-Flück Daniela Papierfabrik ####### 12.09.2023 13:33 1040540 Salix alba L. 362800 Biberist 2610472.95 1226473.24 1.4 + M 6 Schmocker-Flück Daniela Papierfabrik ####### 12.09.2023 13:34 1040540 Salix alba L. 362800 Biberist 261042.95 1226475.93 1.5 + M 1 Schmocker-Flück Daniela Papierfabrik ####### 12.09.2023 13:47 1040540 Salix alba L. 362800 Biberist 261042.75 1226475.93 1.2 + I 1 Schmocker-Flück Daniela Papierfabrik ####### 12.09.2023 13:47 1040540 Salix alba L. 362800 Biberist 261042.87 1226475.93 1.2 + I 1 Schmocker-F | | | | | | | | | |
| Papierfabrik ###### 12.09.2023 13:14 1040540 Salix alba L. 362800 Biberist 2610390.99 1226391.57 1.4 + M 5 Schmocker-Flück Daniela Papierfabrik ####### 12.09.2023 13:16 1040710 Salix elaeagnos Scop. 364000 Biberist 2610390.99 1226391.57 1.4 + M 2 Schmocker-Flück Daniela Papierfabrik ####### 12.09.2023 13:22 1040710 Salix elaeagnos Scop. 364000 Biberist 2610390.66 1226401.95 1.4 + M 2 Schmocker-Flück Daniela Papierfabrik ####### 12.09.2023 13:25 1040540 Salix alba L. 362800 Biberist 2610416.56 12640.89 1.4 + M 2 Schmocker-Flück Daniela Papierfabrik ####### 12.09.2023 13:25 1040540 Salix alba L. 362800 Biberist 2610404.29 1226445.51 1.9 + M 2 Schmocker-Flück Daniela Papierfabrik ####### 12.09.2023 13:28 1040540 Salix alba L. 362800 Biberist 2610411.05 1226478.13 1.3 + M 2 Schmocker-Flück Daniela Papierfabrik ####### 12.09.2023 13:33 1040710 Salix elaeagnos Scop. 364000 Biberist 2610411.05 1226477.21 1.2 + M 1 Schmocker-Flück Daniela Papierfabrik ####### 12.09.2023 13:33 1040710 Salix alba L. 362800 Biberist 2610418.92 122645.84 1.6 + M 1 Schmocker-Flück Daniela Papierfabrik ####### 12.09.2023 13:33 1040540 Salix alba L. 362800 Biberist 261041.92 1226473.24 1.4 + M 6 Schmocker-Flück Daniela Papierfabrik ####### 12.09.2023 13:34 1040540 Salix alba L. 362800 Biberist 2610472.95 1226473.24 1.4 + M 6 Schmocker-Flück Daniela Papierfabrik ####### 12.09.2023 13:34 1040540 Salix alba L. 362800 Biberist 2610472.95 1226473.24 1.4 + M 6 Schmocker-Flück Daniela Papierfabrik ####### 12.09.2023 13:41 1040540 Salix alba L. 362800 Biberist 2610442.95 122652.86 1.5 + M 1 Schmocker-Flück Daniela Papierfabrik ####### 12.09.2023 13:41 1040540 Salix alba L. 362800 Biberist 2610442.7 1226475.93 1.2 + I 1 Schmocker-Flück Daniela Papierfabrik ####### 12.09.2023 13:43 1040540 Salix alba L. 362800 Biberist 261042.87 1226495.66 1.3 + M 1 Schmocker-Flück Daniela Papierfabrik ####### 12.09.2023 13:49 1040540 Salix alba L. 362800 Biberist 261042.89 1226528.66 1.6 + M 1 Schmocker-Flück Daniela | | | | | | | | | |
| Papierfabrik ###### 12.09.2023 13:16 1040710 Salix elaeagnos Scop. 364000 Biberist 2610496.66 1226401.95 1.4 + M 2 Schmocker-Flück Daniela Papierfabrik ####### 12.09.2023 13:22 1040710 Salix elaeagnos Scop. 364000 Biberist 2610416.56 1226430.89 1.4 + M 2 Schmocker-Flück Daniela Papierfabrik ####### 12.09.2023 13:25 1040540 Salix alba L. 362800 Biberist 2610404.29 1226445.51 1.9 + M 2 Schmocker-Flück Daniela Papierfabrik ####### 12.09.2023 13:28 1040540 Salix alba L. 362800 Biberist 2610410.5 1226478.13 1.3 + M 2 Schmocker-Flück Daniela Papierfabrik ####### 12.09.2023 13:28 1040540 Salix alba L. 362800 Biberist 2610411.05 1226478.13 1.3 + M 2 Schmocker-Flück Daniela Papierfabrik ####### 12.09.2023 13:31 1024940 Juncus bufonius L. 218200 Biberist 2610418.92 1226456.64 1.6 + M 1 Schmocker-Flück Daniela Papierfabrik ####### 12.09.2023 13:33 1040540 Salix alba L. 362800 Biberist 261047.29 1226473.24 1.4 + M 6 Schmocker-Flück Daniela Papierfabrik ####### 12.09.2023 13:39 1040540 Salix alba L. 362800 Biberist 261048.35 122650.79 1.8 + M 4 Schmocker-Flück Daniela Papierfabrik ####### 12.09.2023 13:41 1040540 Salix alba L. 362800 Biberist 2610443.35 122650.79 1.8 + M 1 Schmocker-Flück Daniela Papierfabrik ####### 12.09.2023 13:41 1040540 Salix alba L. 362800 Biberist 2610443.35 1226500.79 1.8 + M 1 Schmocker-Flück Daniela Papierfabrik ####### 12.09.2023 13:43 1029660 Myricaria germanica (L.) Desv. 267500 Biberist 2610443.35 1226500.79 1.8 + M 1 Schmocker-Flück Daniela Papierfabrik ####### 12.09.2023 13:47 1040540 Salix alba L. 362800 Biberist 2610442.47 1226475.33 1.2 + I 1 1 Schmocker-Flück Daniela Papierfabrik ####### 12.09.2023 13:43 1040540 Salix alba L. 362800 Biberist 2610442.47 1226475.33 1.2 + I 1 1 Schmocker-Flück Daniela Papierfabrik ####### 12.09.2023 13:47 1040540 Salix alba L. 362800 Biberist 261042.89 1226556.64 1.6 + M 1 Schmocker-Flück Daniela Papierfabrik ####### 12.09.2023 13:49 1040540 Salix alba L. 362800 Biberist 261042.69 1226528.66 1.6 + M 1 Schmocker-Flück Daniela | | | | | | | | | |
| Papierfabrik ####### 12.09.2023 13.22 1040710 Salix elaeagnos Scop. 364000 Biberist 2610416.56 1226430.89 1.4 + M 2 Schmocker-Flück Daniela Papierfabrik ####### 12.09.2023 13.25 1040540 Salix alba L. 362800 Biberist 261041.05 1226478.13 1.3 + M 2 Schmocker-Flück Daniela Papierfabrik ####### 12.09.2023 13.28 1040540 Salix alba L. 362800 Biberist 2610411.05 1226478.13 1.3 + M 2 Schmocker-Flück Daniela Papierfabrik ####### 12.09.2023 13.28 1040710 Salix elaeagnos Scop. 364000 Biberist 2610411.05 1226477.21 1.2 + M 1 Schmocker-Flück Daniela Papierfabrik ####### 12.09.2023 13.31 1024940 Juncus bufonius L. 218200 Biberist 2610418.92 1226456.84 1.6 + M 1 Schmocker-Flück Daniela Papierfabrik ####### 12.09.2023 13.36 1040540 Salix alba L. 362800 Biberist 2610418.92 1226456.84 1.6 + M 1 Schmocker-Flück Daniela Papierfabrik ####### 12.09.2023 13.39 1040540 Salix alba L. 362800 Biberist 261048.24 1226512.91 1.5 + M 4 Schmocker-Flück Daniela Papierfabrik ####### 12.09.2023 13.34 1040540 Salix alba L. 362800 Biberist 2610448.24 1226512.91 1.5 + M 4 Schmocker-Flück Daniela Papierfabrik ####### 12.09.2023 13.34 1040540 Salix alba L. 362800 Biberist 2610448.24 1226512.91 1.5 + M 4 Schmocker-Flück Daniela Papierfabrik ####### 12.09.2023 13.34 1040540 Salix alba L. 362800 Biberist 2610443.93 1226507.99 1.8 + M 1 Schmocker-Flück Daniela Papierfabrik ####### 12.09.2023 13.47 1040540 Salix alba L. 362800 Biberist 2610442.7 1226475.93 1.2 + I 1 Schmocker-Flück Daniela Papierfabrik ####### 12.09.2023 13.47 1040540 Salix alba L. 362800 Biberist 261042.87 1226475.93 1.2 + I 1 Schmocker-Flück Daniela Papierfabrik ####### 12.09.2023 13.47 1040540 Salix alba L. 362800 Biberist 261042.89 1226528.86 1.5 + M 1 Schmocker-Flück Daniela Papierfabrik ####### 12.09.2023 13.44 1040540 Salix alba L. 362800 Biberist 261042.89 1226528.86 1.6 + M 1 Schmocker-Flück Daniela Papierfabrik ####### 12.09.2023 13.44 1040540 Salix alba L. 362800 Biberist 261042.89 1226528.86 1.6 + M 1 Schmocker-Flück Daniela | | | | | | | | | |
| Papierfabrik ####### 12.09.2023 13:25 1040540 Salix alba L. 362800 Biberist 2610404.29 1226445.51 1.9 + M 2 Schmocker-Flück Daniela Papierfabrik ####### 12.09.2023 13:28 1040540 Salix alba L. 362800 Biberist 2610411.05 1226478.13 1.3 + M 2 Schmocker-Flück Daniela Papierfabrik ####### 12.09.2023 13:28 1040710 Salix eleaegnos Scop. 36400 Biberist 2610411.05 1226478.13 1.3 + M 1 Schmocker-Flück Daniela Papierfabrik ####### 12.09.2023 13:31 1024940 Juncus bufonius L. 218200 Biberist 2610418.92 1226456.84 1.6 + M 1 Schmocker-Flück Daniela Papierfabrik ####### 12.09.2023 13:36 1040540 Salix alba L. 362800 Biberist 2610472.95 1226473.24 1.4 + M 6 Schmocker-Flück Daniela Papierfabrik ####### 12.09.2023 13:39 1040540 Salix alba L. 362800 Biberist 2610472.95 1226473.24 1.4 + M 6 Schmocker-Flück Daniela Papierfabrik ####### 12.09.2023 13:34 1040540 Salix alba L. 362800 Biberist 2610482.48 1226512.91 1.5 + M 4 Schmocker-Flück Daniela Papierfabrik ####### 12.09.2023 13:41 1040540 Salix alba L. 362800 Biberist 2610443.35 1226500.79 1.8 + M 1 Schmocker-Flück Daniela Papierfabrik ####### 12.09.2023 13:41 1040540 Salix alba L. 362800 Biberist 2610443.35 1226500.79 1.8 + M 1 Schmocker-Flück Daniela Papierfabrik ####### 12.09.2023 13:41 1040540 Salix alba L. 362800 Biberist 2610424.7 1226475.93 1.2 + I 1 Schmocker-Flück Daniela Papierfabrik ####### 12.09.2023 13:43 1029860 Myricaria germanica (L.) Desv. 267500 Biberist 261042.47 1226475.93 1.2 + I 1 Schmocker-Flück Daniela Papierfabrik ####### 12.09.2023 13:49 1040540 Salix alba L. 362800 Biberist 261042.28 122649.66 1.3 + M 1 Schmocker-Flück Daniela Papierfabrik ####### 12.09.2023 13:49 1040540 Salix alba L. 362800 Biberist 261042.86 122649.66 1.6 + M 1 Schmocker-Flück Daniela | | | | | | | | | |
| Papierfabrik ####### 12.09.2023 13:28 | | | | | | | | | |
| Papierfabrik ###### 12.09.2023 13:28 1040710 Salix elaeagnos Scop. 364000 Biberist 2610411.05 1226477.21 1.2 + M 1 Schmocker-Flück Daniela Papierfabrik ####### 12.09.2023 13:31 1024940 Juncus bufonius L. 218200 Biberist 2610418.92 1226456.84 1.6 + M 1 Schmocker-Flück Daniela Papierfabrik ####### 12.09.2023 13:36 1040540 Salix alba L. 362800 Biberist 2610472.95 1226473.24 1.4 + M 6 Schmocker-Flück Daniela Papierfabrik ####### 12.09.2023 13:39 1040540 Salix alba L. 362800 Biberist 2610482.48 1226512.91 1.5 + M 4 Schmocker-Flück Daniela Papierfabrik ####### 12.09.2023 13:41 1040540 Salix alba L. 362800 Biberist 2610482.48 1226512.91 1.5 + M 4 Schmocker-Flück Daniela Papierfabrik ####### 12.09.2023 13:43 1040540 Salix alba L. 362800 Biberist 2610442.47 1226475.93 1.2 + I 1 Schmocker-Flück Daniela Papierfabrik ####### 12.09.2023 13:43 102960 Mylicaria germanica (L.) Desv. 267500 Biberist 2610472.47 1226475.93 1.2 + I 1 Schmocker-Flück Daniela Papierfabrik ####### 12.09.2023 13:47 1040710 Salix elaeagnos Scop. 364000 Biberist 2610472.8 1226495.66 1.3 + M 1 Schmocker-Flück Daniela Papierfabrik ####### 12.09.2023 13:49 1040540 Salix alba L. 362800 Biberist 2610492.69 122658.66 1.6 + M 3 Schmocker-Flück Daniela | | | | | | | | | |
| Papierfabrik ###### # 12.09.2023 13.31 | | | | | | | | | |
| Papierfabrik ####### 12.09.2023 13:36 | | | | | | | | | |
| Papierfabrik ####### 12.09.2023 13:39 1040540 Salix alba L. 362800 Biberist 2610482.48 1226512.91 1.5 + M 4 Schmocker-Flück Daniela Papierfabrik ######## 12.09.2023 13:41 1040540 Salix alba L. 362800 Biberist 2610443.35 1226500.79 1.8 + M 1 Schmocker-Flück Daniela Papierfabrik ####### 12.09.2023 13:43 1029860 Myricaria germanica (L.) Desv. 267500 Biberist 2610442.7 1226475.93 1.2 + I 1 Schmocker-Flück Daniela Papierfabrik ####### 12.09.2023 13:47 1040710 Salix elaeagnos Scop. 364000 Biberist 2610472.28 1226495.66 1.3 + M 1 Schmocker-Flück Daniela Papierfabrik ####### 12.09.2023 13:49 1040540 Salix alba L. 362800 Biberist 2610492.69 1226528.86 1.6 + M 3 Schmocker-Flück Daniela | | | | | | | | | |
| Papierfabrik ###### 12.09.2023 13.41 1040540 Salix alba L. 362800 Biberist 2610443.35 1226500.79 1.8 + M 1 Schmocker-Flück Daniela Papierfabrik ####### 12.09.2023 13.43 1029860 Myricaria germanica (L.) Desv. 267500 Biberist 2610472.47 1226475.93 1.2 + I 1 Schmocker-Flück Daniela Papierfabrik ####### 12.09.2023 13.47 1040710 Salix elaeagnos Scop. 364000 Biberist 2610472.89 1226495.66 1.3 + M 1 Schmocker-Flück Daniela Papierfabrik ####### 12.09.2023 13.49 1040540 Salix alba L. 362800 Biberist 2610492.69 1226528.86 1.6 + M 3 Schmocker-Flück Daniela | | | | | | | | | |
| Papierfabrik ####### 12.09.2023 13:43 1029860 Myricaria germanica (L.) Desv. 267500 Biberist 2610424.7 1226475.93 1.2 + I 1 Schmocker-Flück Daniela 2 Papierfabrik ####### 12.09.2023 13:47 1040710 Salix elaeagnos Scop. 364000 Biberist 2610472.28 1226495.66 1.3 + M 1 Schmocker-Flück Daniela Papierfabrik ####### 12.09.2023 13:49 1040540 Salix alba L. 362800 Biberist 2610492.69 1226528.86 1.6 + M 3 Schmocker-Flück Daniela | | | | | | | | | |
| Papierfabrik ###### 12.09.2023 13:47 1040710 Salix elaeagnos Scop. 364000 Biberist 2610472.28 1226495.66 1.3 + M 1 Schmocker-Flück Daniela Papierfabrik ####### 12.09.2023 13:49 1040540 Salix alba L. 362800 Biberist 2610492.69 1226528.86 1.6 + M 3 Schmocker-Flück Daniela | | | | | | | | | |
| Papierfabrik ###### 12.09.2023 13:49 1040540 Salix alba L. 362800 Biberist 2610492.69 1226528.86 1.6 + M 3 Schmocker-Flück Daniela | | | | | | | | · · · · · · · · · · · · · · · · · · · | |
| | | | | | | | | | |
| рарепартк ####### 12.09.2023 13:51 1040540 Salix alba L. 362800 Bibenst 2610482.89 1226586.11 16 + М 11 Schmocker-Flück Daniela | | | | | | | | | |
| | Papiertabrik | ####### 12.09.2023 13:51 | 1040540 Salix alba L. | 362800 Biberist | 2610482.89 | 1226586.11 | 16 + | м 11 | Schmocker-Fluck Daniela |



| NAME | obs id date tax | kon taxon id taxon taxon name | taxon no isfs municipality nam | 10 Y | V | vy procision proson | co count | unit abundance code cover v observers supplements abundance |
|--------------------------|--|---|--|--------------------------|--------------------------|---------------------|----------|---|
| Rüti | ###### 31.08.2023 15:24 | 1038500 Robinia pseudoacacia L. | 346500 Zuchwil | 2610487.81 | 1227924.68 | 4.7 + | M | 1 Nyffenegger Nadja 0.25 m2 |
| Rüti | ###### 31.08.2023 15:25 | 1038500 Robinia pseudoacacia L. | 346500 Zuchwil | 2610487.81 | 1227924.68 | 3.02 + | М | 1 Nyffenegger Nadja 0.25 m2 |
| Rüti | ###### 31.08.2023 15:33 | 1038500 Robinia pseudoacacia L. | 346500 Luterbach | 2610538.2 | 1227978.66 | 3 + | M | 1 Nyffenegger Nadja 1.5 m2 |
| Rüti | ###### 31.08.2023 15:34 | 1135 Robinia pseudoacacia L. | 346500 Luterbach | 2610540.17 | | 9 + | M | 1 Alina Kurmann |
| Rüti | ###### 31.08.2023 15:26 | 1135 Robinia pseudoacacia L. | 346500 Zuchwil | 2610488.65 | | 3.74 + | M | 1 Alina Kurmann |
| Rüti | ###### 31.08.2023 15:28 | 1135 Robinia pseudoacacia L. | 346500 Zuchwil | 2610497.64 | | 3.39 + | M | 1 Alina Kurmann |
| Rüti | ####### 31.08.2023 15:14 | 1135 Robinia pseudoacacia L. | 346500 Zuchwil | 2610519.9 | | 4.03 + | M | 1 Alina Kurmann |
| Rüti | ####### 31.08.2023 15:17 | 1135 Robinia pseudoacacia L. | 346500 Zuchwil | | 1227879.09 | 4.01 + | M | 1 Alina Kurmann 1 Alina Kurmann |
| Rüti Rüti | ####### 31.08.2023 15:22 ####### 31.08.2023 15:24 | 1135 Robinia pseudoacacia L. 1135 Robinia pseudoacacia L. | 346500 Zuchwil 346500 Zuchwil | 2610484.4 2610486.17 | | 3.61 + 3.68 + | M | 1 Alina Kurmann 1 Alina Kurmann |
| Rüti | ####### 31.08.2023 15:11 | 1135 Robinia pseudoacacia L. | 346500 Zuchwil | 2610517.95 | 1227922.43 | 4.08 + | M | 1 Alina Kurmann |
| Rüti | ####### 26.06.2023 13:17 | 1040710 Salix elaeagnos Scop. | 364000 Luterbach | 2610540.16 | 1227970.2 | 1.5 + | M | 2 Schmocker-Flück Daniela Ind 5 |
| Schwarzweg | ###### 20.09.2023 15:04 | 1014390 Cyperus fuscus L. | 129800 Derendingen | 2610726.65 | 1226960.63 | 4.7 + | l I | 2 Nyffenegger Nadja |
| Schwarzweg | ###### 20.09.2023 15:28 | 1014390 Cyperus fuscus L. | 129800 Derendingen | 2610728.98 | 1226959.35 | 4.9 + | - 1 | 1 Nyffenegger Nadja |
| Schwarzweg | ###### 20.09.2023 15:50 | 1014390 Cyperus fuscus L. | 129800 Derendingen | 2610733.78 | 1226941.78 | 4.7 + | 1 | 1 Nyffenegger Nadja |
| Schwarzweg | ###### 31.08.2023 11:09 | 1038500 Robinia pseudoacacia L. | 346500 Derendingen | 2610696.09 | 1226750.38 | 4.7 + | M | 1 Nyffenegger Nadja 0.5 m2 |
| Schwarzweg | ###### 31.08.2023 13:20 | 1038500 Robinia pseudoacacia L. | 346500 Derendingen | 2610746.82 | 1226825.2 | 4.7 + | М | 1 Nyffenegger Nadja 0.3 m2 |
| Schwarzweg | ###### 31.08.2023 13:20 | 1038500 Robinia pseudoacacia L. | 346500 Derendingen | 2610746.82 | 1226825.2 | 4.9 + | M | 1 Nyffenegger Nadja 0.01 m2 |
| Schwarzweg | ###### 31.08.2023 13:24 | 1038500 Robinia pseudoacacia L. | 346500 Derendingen | 2610757.43 | 1226835.25 | 4.7 + | M | 1 Nyffenegger Nadja 0.5 m2 |
| Schwarzweg | ###### 31.08.2023 13:41 | 1135 Robinia pseudoacacia L. | 346500 Derendingen | 2610747.98 | | 5 + | M | 2 Alina Kurmann |
| Schwarzweg | ###### 31.08.2023 13:42 | 1135 Robinia pseudoacacia L. | 346500 Derendingen | 2610758.52 | | 4 + | M | 2 Alina Kurmann |
| Schwarzweg | ###### 31.08.2023 13:43 | 1135 Robinia pseudoacacia L. | 346500 Derendingen | 2610763.9 | 1226961.8 | 3.95 + | M | 2 Alina Kurmann |
| Schwarzweg | ####### 31.08.2023 13:45 | 1135 Robinia pseudoacacia L. | 346500 Derendingen | 2610759.23 | 1226940.7 | 3 + | M | 2 Alina Kurmann |
| Schwarzweg | ####### 31.08.2023 13:45 | 1135 Robinia pseudoacacia L. | 346500 Derendingen | 2610761.37 | 1226948.44 | 3.92 + | M M | 1 Alina Kurmann 1 Alina Kurmann |
| Schwarzweg | ####### 31.08.2023 13:51 | 1135 Robinia pseudoacacia L. | 346500 Derendingen | 2610768.72 | | 4 + | M | 1 Alina Kurmann 1 Alina Kurmann |
| Schwarzweg Schwarzweg | ###### 31.08.2023 13:55 ###### 31.08.2023 13:56 | 1135 Robinia pseudoacacia L. 1135 Robinia pseudoacacia L. | 346500 Derendingen 346500 Derendingen | 2610774.42 2610776.92 | | 1 + | M | 1 Alina Kurmann 1 Alina Kurmann |
| Schwarzweg | ####### 31.08.2023 13:17 | 1135 Robinia pseudoacacia L. 1135 Robinia pseudoacacia L. | 346500 Derendingen | 2610777.47 | 1226939.6 | 3.77 + | M | 3 Alina Kurmann |
| Schwarzweg | ####### 31.08.2023 13:31 | 1135 Robinia pseudoacacia L. | 346500 Derendingen | 2610734.62 | 1226960.36 | 4 + | M | 1 Alina Kurmann |
| Schwarzweg | ###### 31.08.2023 13:36 | 1135 Robinia pseudoacacia L. | 346500 Derendingen | 2610739.19 | 1226985.2 | 3.72 + | M | 3 Alina Kurmann |
| Schwarzweg | ###### 31.08.2023 12:39 | 1135 Robinia pseudoacacia L. | 346500 Derendingen | 2610698.17 | | 3.69 + | M | 1 Alina Kurmann |
| Schwarzweg | ###### 31.08.2023 12:50 | 1135 Robinia pseudoacacia L. | 346500 Derendingen | 2610704.29 | 1226854.44 | 3.54 + | M | 2 Alina Kurmann |
| Schwarzweg | ###### 31.08.2023 12:52 | 1135 Robinia pseudoacacia L. | 346500 Derendingen | 2610706.56 | 1226843.55 | 3.72 + | М | 1 Alina Kurmann |
| Schwarzweg | ###### 31.08.2023 12:56 | 1135 Robinia pseudoacacia L. | 346500 Derendingen | 2610710.9 | 1226863.15 | 3.18 + | M | 1 Alina Kurmann |
| Schwarzweg | ###### 31.08.2023 12:57 | 1135 Robinia pseudoacacia L. | 346500 Derendingen | 2610714.17 | 1226876.81 | 1 + | М | 1 Alina Kurmann |
| Schwarzweg | ###### 31.08.2023 12:58 | 1135 Robinia pseudoacacia L. | 346500 Derendingen | 2610719.21 | 1226880.01 | 3.63 + | M | 1 Alina Kurmann |
| Schwarzweg | ###### 31.08.2023 13:00 | 1135 Robinia pseudoacacia L. | 346500 Derendingen | 2610730.44 | 1226866.93 | 4 + | | 1 Alina Kurmann |
| Schwarzweg | ###### 31.08.2023 13:07 | 1135 Robinia pseudoacacia L. | 346500 Derendingen | 2610736.49 | 1226879.6 | 3.59 + | M | 2 Alina Kurmann |
| Schwarzweg | ###### 31.08.2023 13:09 | 1135 Robinia pseudoacacia L. | 346500 Derendingen | 2610750.64 | 1226895.97 | 1 + | M | 1 Alina Kurmann |
| Schwarzweg | ####### 31.08.2023 13:09 | 1135 Robinia pseudoacacia L. | 346500 Derendingen | 2610748.94 | 1226902.77 | 2.96 + | M | 2 Alina Kurmann |
| Schwarzweg | ####### 31.08.2023 13:10 | 1135 Robinia pseudoacacia L. | 346500 Derendingen | 2610747.17 | | 3 + | M | 1 Alina Kurmann |
| Schwarzweg | ####### 31.08.2023 13:11 ####### 31.08.2023 13:12 | 1135 Robinia pseudoacacia L. 1135 Robinia pseudoacacia L. | 346500 Derendingen 346500 Derendingen | 2610731.91 2610721.61 | 1226907.23 1226912.49 | 3.77 + 3.76 + | M | 1 Alina Kurmann 2 Alina Kurmann |
| Schwarzweg Schwarzweg | ####### 31.08.2023 13:14 | 1135 Robinia pseudoacacia L. 1135 Robinia pseudoacacia L. | 346500 Derendingen | 2610724.7 | 1226930.16 | 4.97 + | M | 3 Alina Kurmann |
| Schwarzweg | ###### 31.08.2023 13:14 | 1135 Robinia pseudoacacia L. | 346500 Derendingen | 2610682.34 | 1226929.29 | 11 + | M | 1 Alina Kurmann |
| Schwarzweg | ###### 31.08.2023 13:15 | 1135 Robinia pseudoacacia L. | 346500 Derendingen | 2610684.27 | 1226943.04 | 11 + | M | 1 Alina Kurmann |
| Schwarzweg | ###### 31.08.2023 13:16 | 1135 Robinia pseudoacacia L. | 346500 Derendingen | 2610733.46 | 1226931.05 | 3.77 + | M | 1 Alina Kurmann |
| Schwarzweg | ###### 31.08.2023 11:15 | 1135 Robinia pseudoacacia L. | 346500 Derendingen | 2610633.4 | | 11 + | M | 1 Alina Kurmann |
| Schwarzweg | ###### 31.08.2023 11:23 | 1135 Robinia pseudoacacia L. | 346500 Derendingen | 2610697.28 | 1226790.4 | 3.34 + | M | 1 Alina Kurmann |
| Schwarzweg | ###### 31.08.2023 11:24 | 1135 Robinia pseudoacacia L. | 346500 Derendingen | 2610701.46 | 1226790.81 | 4.22 + | M | 1 Alina Kurmann |
| Schwarzweg | ###### 31.08.2023 10:48 | 1135 Robinia pseudoacacia L. | 346500 Derendingen | 2610669.93 | 1226679.28 | 6.3 + | М | 1 Alina Kurmann |
| Schwarzweg | ###### 31.08.2023 10:54 | 1135 Robinia pseudoacacia L. | 346500 Derendingen | 2610676.55 | | 3.53 + | M | 1 Alina Kurmann |
| Schwarzweg | ###### 31.08.2023 10:58 | 1135 Robinia pseudoacacia L. | 346500 Derendingen | 2610657.56 | | 3.32 + | M | 1 Alina Kurmann |
| Schwarzweg | ###### 31.08.2023 11:00 | 1135 Robinia pseudoacacia L. | 346500 Derendingen | | 1226696.91 | 3.26 + | M | 1 Alina Kurmann |
| Schwarzweg | ###### 31.08.2023 11:03 | 1135 Robinia pseudoacacia L. | 346500 Derendingen | 2610655.45 | | 1 + | M | 1 Alina Kurmann |
| Schwarzweg | ###### 31.08.2023 11:04 | 1135 Robinia pseudoacacia L. | 346500 Derendingen | 2610666.52 | | 5 + | M | 1 Alina Kurmann |
| Schwarzweg | ####### 31.08.2023 11:04 | 1135 Robinia pseudoacacia L. | 346500 Derendingen | 2610658.03 | 1226707.61 | 1 + | M | 1 Alina Kurmann |
| Schwarzweg | ####### 31.08.2023 11:06 ####### 31.08.2023 11:08 | 1135 Robinia pseudoacacia L. | 346500 Derendingen | 2610657.44 | 1226714.86 1226725.96 | 4.64 + 4.64 + | M M | 1 Alina Kurmann |
| Schwarzweg | ####### 19.07.2023 11:08 | 1135 Robinia pseudoacacia L. | 346500 Derendingen | 2610666.3 | | | M | 1 Alina Kurmann |
| Schwarzweg | ####### 19.07.2023 16:49 ####### 19.07.2023 09:51 | 1040710 Salix elaeagnos Scop. 1024770 Isolepis setacea (L.) R. Br. | 364000 Derendingen | 2610737.34 2610751.85 | 1226818.17 1227039.07 | 1.5 + | IVI | 1 Schmocker-Flück Daniela 1 Schmocker-Flück Daniela |
| Schwarzweg Schwarzweg | ####### 19.07.2023 09:55 | 1024970 Isolepis setacea (L.) R. Br. 1024940 Juncus bufonius L. | 216300 Derendingen 218200 Derendingen | | 1227039.07 | 1.6 + | - | 1 Schmocker-Flück Daniela 1 Schmocker-Flück Daniela |
| Schwarzweg | ####### 19.07.2023 09.55 | 1024940 Juncus bufonius L. | 218200 Derendingen | 2610746.55 | | 1.9 + | 1 | 1 Schmocker-Flück Daniela 1 Schmocker-Flück Daniela |
| Schwarzweg | ###### 19.07.2023 09:58 | 1040710 Salix elaeagnos Scop. | 364000 Derendingen | 2610759.08 | | 1.5 + | M | 1 Schmocker-Flück Daniela |
| Schwarzweg | ###### 19.07.2023 09:59 | 1040540 Salix alba L. | 362800 Derendingen | 2610758.83 | 1227010.00 | 1.4 + | M | 4 Schmocker-Flück Daniela |
| Schwarzweg | ###### 19.07.2023 10:01 | 1024940 Juncus bufonius L. | 218200 Derendingen | 2610751.77 | | 1.4 + | 1 | 3 Schmocker-Flück Daniela |
| Schwarzweg | ###### 19.07.2023 10:07 | 1040540 Salix alba L. | 362800 Derendingen | | 1227005.18 | 1.5 + | М | 11 Schmocker-Flück Daniela |
| | | | | | | | | |



| NAME | obs id date ta | exon taxon id taxon taxon name | | | | | | | shaaman a | |
|--------------------------|--|--|---|--------------------------|--------------------------|--------------------|----------|---------------------------|--|----------------------|
| Schwarzweg | ####### 19.07.2023 10:17 | 1040710 Salix elaeagnos Scop. | taxon no isfs municipality nam 364000 Derendingen | | 1226994.44 | xy precision prese | M | unit abundance code cover | Schmocker-Flück Daniela | upplements abundance |
| Schwarzweg | ###### 19.07.2023 10:18 | 1040540 Salix alba L. | 362800 Derendingen | 2610771.13 | 1226984.44 | 2.1 + | M | | Schmocker-Flück Daniela | |
| Schwarzweg | ###### 19.07.2023 10:31 | 1040540 Salix alba L. | 362800 Derendingen | 2610754.49 | 1226977.18 | 1.4 + | М | | Schmocker-Flück Daniela | |
| Schwarzweg | ###### 19.07.2023 10:32 | 1040540 Salix alba L. | 362800 Derendingen | 2610736.67 | 1226979.56 | 1.4 + | М | | Schmocker-Flück Daniela | |
| Schwarzweg | ###### 19.07.2023 10:38 | 1040710 Salix elaeagnos Scop. | 364000 Derendingen | 2610774.59 | 1226966.29 | 3.3 + | М | 1 | Schmocker-Flück Daniela | |
| Schwarzweg | ###### 19.07.2023 10:47 | 1040710 Salix elaeagnos Scop. | 364000 Derendingen | 2610774.6 | 1226959.43 | 1.4 + | М | 3 12 | Schmocker-Flück Daniela | |
| Schwarzweg | ###### 19.07.2023 10:48 | 1040540 Salix alba L. | 362800 Derendingen | 2610775.36 | 1226961.1 | 1.5 + | M | | Schmocker-Flück Daniela | |
| Schwarzweg | ###### 19.07.2023 10:58 | 1024940 Juncus bufonius L. | 218200 Derendingen | 2610776.03 | 1226937.38 | 2 + | 1 | 2 | Schmocker-Flück Daniela | |
| Schwarzweg | ###### 19.07.2023 11:04 | 1024940 Juncus bufonius L. | 218200 Derendingen | 2610781.58 | 1226939.62 | 1.4 + | 1 | | Schmocker-Flück Daniela | |
| Schwarzweg | ###### 19.07.2023 11:05 | 1040540 Salix alba L. | 362800 Derendingen | 2610778.67 | 1226941.28 | 1.5 + | M | | Schmocker-Flück Daniela | |
| Schwarzweg | ###### 19.07.2023 11:08 | 1024940 Juncus bufonius L. | 218200 Derendingen | 2610785.4 | 1226925.35 | 1.6 + | | | Schmocker-Flück Daniela | |
| Schwarzweg | ###### 19.07.2023 11:13 | 1024940 Juncus bufonius L. | 218200 Derendingen | 2610786.42 | 1226919.43 | 1.5 + | | | Schmocker-Flück Daniela | |
| Schwarzweg | ###### 19.07.2023 11:14 | 1024940 Juncus bufonius L. | 218200 Derendingen | 2610782.75 | 1226922.76 | 1.7 + | -! | | Schmocker-Flück Daniela | |
| Schwarzweg | ####### 19.07.2023 11:16 | 1024940 Juncus bufonius L. | 218200 Derendingen | 2610780.11 | 1226914.41 | 1.8 + | | | Schmocker-Flück Daniela | |
| Schwarzweg | ####### 19.07.2023 11:18 | 1024940 Juncus bufonius L. | 218200 Derendingen | | 1226917.95 | 1.7 + | | | Schmocker-Flück Daniela | |
| Schwarzweg | ####### 19.07.2023 11:19 | 1024940 Juncus bufonius L. | 218200 Derendingen | 2610786.57 | 1226906.83 | 1.8 + | | | Schmocker-Flück Daniela | |
| Schwarzweg Schwarzweg | ###### 19.07.2023 11:20 ###### 19.07.2023 11:24 | 1024940 Juncus bufonius L. 1024940 Juncus bufonius L. | 218200 Derendingen 218200 Derendingen | 2610788.09 2610777.46 | 1226902.38 1226916.26 | 1.6 + | | | Schmocker-Flück Daniela Schmocker-Flück Daniela | |
| | ####### 19.07.2023 11:24 | | | | | 1.4 + | _ | | Schmocker-Flück Daniela | |
| Schwarzweg Schwarzweg | ####### 19.07.2023 11:25 | 1024940 Juncus bufonius L. 1024940 Juncus bufonius L. | 218200 Derendingen 218200 Derendingen | 2610773.31 2610774.34 | 1226901.8 1226895.5 | 1.4 + | | | Schmocker-Flück Daniela | |
| Schwarzweg | ####### 19.07.2023 11:26 | 1024940 Juncus bufonius L. 1024940 Juncus bufonius L. | 218200 Derendingen 218200 Derendingen | | 1226895.5 | 1.5 + | - | | Schmocker-Flück Daniela | |
| Schwarzweg | ####### 19.07.2023 11:32 | 1024940 Juncus bufonius L. | 218200 Derendingen | 2610791.92 | 1226881.08 | 1.5 + | | | Schmocker-Flück Daniela | |
| Schwarzweg | ####### 19.07.2023 11:33 | 1024940 Juncus bufonius L. | 218200 Derendingen | 2610789.52 | 1226880.52 | 2.1 + | i | | Schmocker-Flück Daniela | |
| Schwarzweg | ###### 19.07.2023 11:33 | 1040540 Salix alba L. | 362800 Derendingen | 2610782.57 | 1226882.55 | 1.1 + | M | | Schmocker-Flück Daniela | |
| Schwarzweg | ###### 19.07.2023 11:38 | 1024940 Juncus bufonius L. | 218200 Derendingen | 2610790.03 | 1226875.7 | 1.4 + | T. | | Schmocker-Flück Daniela | |
| Schwarzweg | ###### 19.07.2023 11:40 | 1024940 Juncus bufonius L. | 218200 Derendingen | 2610785.76 | 1226863.84 | 1.5 + | i | | Schmocker-Flück Daniela | |
| Schwarzweg | ###### 19.07.2023 11:46 | 1040710 Salix elaeagnos Scop. | 364000 Derendingen | 2610792.22 | 1226856.25 | 1.3 + | M | | Schmocker-Flück Daniela | |
| Schwarzweg | ###### 19.07.2023 11:52 | 1024940 Juncus bufonius L. | 218200 Derendingen | 2610785.77 | 1226856.8 | 1.4 + | ı | | Schmocker-Flück Daniela | |
| Schwarzweg | ###### 19.07.2023 11:56 | 1040540 Salix alba L. | 362800 Derendingen | 2610798.53 | 1226856.45 | 1.4 + | М | 11 13 | Schmocker-Flück Daniela | |
| Schwarzweg | ###### 19.07.2023 12:04 | 1024940 Juncus bufonius L. | 218200 Derendingen | 2610801.32 | 1226852.01 | 1.6 + | 1 | 2 | Schmocker-Flück Daniela | |
| Schwarzweg | ###### 19.07.2023 13:00 | 1040710 Salix elaeagnos Scop. | 364000 Derendingen | 2610783.97 | 1226805.28 | 1.3 + | М | 1 | Schmocker-Flück Daniela | |
| Schwarzweg | ###### 19.07.2023 13:02 | 1048270 Typha minima Hoppe | 432300 Derendingen | 2610785.36 | 1226805.28 | 1.5 + | M | | Schmocker-Flück Daniela | |
| Schwarzweg | ###### 19.07.2023 13:08 | 1040540 Salix alba L. | 362800 Derendingen | 2610782.58 | 1226805.83 | 1.3 + | M | 13 13 | Schmocker-Flück Daniela | |
| Schwarzweg | ###### 19.07.2023 13:20 | 1024940 Juncus bufonius L. | 218200 Derendingen | 2610788.72 | 1226834.94 | 1.3 + | | | Schmocker-Flück Daniela | |
| Schwarzweg | ###### 19.07.2023 13:21 | 1040710 Salix elaeagnos Scop. | 364000 Derendingen | 2610784.81 | 1226832.52 | 1.3 + | M | | Schmocker-Flück Daniela | |
| Schwarzweg | ###### 19.07.2023 13:23 | 1024940 Juncus bufonius L. | 218200 Derendingen | 2610780.88 | 1226841.59 | 1.5 + | | | Schmocker-Flück Daniela | |
| Schwarzweg | ###### 19.07.2023 13:30 | 1024940 Juncus bufonius L. | 218200 Derendingen | 2610764.93 | 1226789.5 | 1.8 + | | | Schmocker-Flück Daniela | |
| Schwarzweg | ###### 19.07.2023 13:34 | 1048270 Typha minima Hoppe | 432300 Derendingen | 2610762.4 | 1226788.2 | 1.5 + | M | | Schmocker-Flück Daniela | |
| Schwarzweg | ###### 19.07.2023 13:38 | 1024940 Juncus bufonius L. | 218200 Derendingen | 2610753.56 | 1226790.77 | 1.6 + | - !. | | Schmocker-Flück Daniela | |
| Schwarzweg | ####### 19.07.2023 13:39 | 1040540 Salix alba L. | 362800 Derendingen | 2610745.35 | 1226791.13 | 1.3 + | M | | Schmocker-Flück Daniela | |
| Schwarzweg Schwarzweg | ###### 19.07.2023 13:40 ###### 19.07.2023 13:42 | 1024940 Juncus bufonius L. 1024940 Juncus bufonius L. | 218200 Derendingen 218200 Derendingen | 2610738.92 2610744.86 | 1226785.74 1226778.34 | 1.8 + | - | | Schmocker-Flück Daniela Schmocker-Flück Daniela | |
| Schwarzweg | ###### 19.07.2023 13:42 | 1048270 Typha minima Hoppe | 432300 Derendingen | 2610743.6 | 1226777.41 | 1.4 + | M | | Schmocker-Flück Daniela 1: | 2 triobo |
| Schwarzweg | ###### 19.07.2023 13:48 | 1024940 Juncus bufonius L. | 218200 Derendingen | 2610743.4 | 1226767.76 | 1.9 + | I | | Schmocker-Flück Daniela | uiebe |
| Schwarzweg | ####### 19.07.2023 13:57 | 1024940 Juncus bufonius L. | 218200 Derendingen | 2610740.7 | 1226778.52 | 1.7 + | <u> </u> | | Schmocker-Flück Daniela | |
| Schwarzweg | ####### 19.07.2023 13.37 | 1040540 Salix alba L. | 362800 Derendingen | 2610760.79 | 1226770.96 | 1.5 + | M | | Schmocker-Flück Daniela E | ntlana höschuna |
| Schwarzweg | ####### 19.07.2023 14:19 | 1024940 Juncus bufonius L. | 218200 Derendingen | 2610735.42 | 1226761.09 | 1.7 + | 1 | | Schmocker-Flück Daniela | g boothang |
| Schwarzweg | ####### 19.07.2023 14:13 | 1040710 Salix elaeagnos Scop. | 364000 Derendingen | 2610733.44 | 1226753.29 | 1.6 + | М | | Schmocker-Flück Daniela | |
| Schwarzweg | ###### 19.07.2023 14:22 | 1024940 Juncus bufonius L. | 218200 Derendingen | 2610731.65 | | 1.5 + | i i | | Schmocker-Flück Daniela | |
| Schwarzweg | ####### 19.07.2023 14:26 | 1040540 Salix alba L. | 362800 Derendingen | 2610713.85 | 1226744.94 | 1.2 + | M | | Schmocker-Flück Daniela | |
| Schwarzweg | ###### 19.07.2023 14:28 | 1024940 Juncus bufonius L. | 218200 Derendingen | 2610714.87 | 1226740.12 | 1.4 + | 1 | | Schmocker-Flück Daniela | |
| Schwarzweg | ###### 19.07.2023 14:31 | 1024940 Juncus bufonius L. | 218200 Derendingen | 2610718.04 | 1226735.49 | 1.5 + | 1 | | Schmocker-Flück Daniela | |
| Schwarzweg | ###### 19.07.2023 14:37 | 1024940 Juncus bufonius L. | 218200 Derendingen | 2610714.91 | 1226720.48 | 1.5 + | 1 | | Schmocker-Flück Daniela | |
| Schwarzweg | ###### 19.07.2023 14:42 | 1024940 Juncus bufonius L. | 218200 Derendingen | 2610685.28 | 1226688.18 | 1.4 + | 1 | 1 | Schmocker-Flück Daniela | |
| Schwarzweg | ###### 19.07.2023 14:43 | 1024940 Juncus bufonius L. | 218200 Derendingen | 2610687.44 | 1226682.07 | 1.3 + | T | | Schmocker-Flück Daniela | |
| Schwarzweg | ###### 19.07.2023 14:48 | 1024940 Juncus bufonius L. | 218200 Derendingen | 2610653.99 | 1226669.78 | 1.4 + | | | Schmocker-Flück Daniela | |
| Schwarzweg | ###### 19.07.2023 14:48 | 1024940 Juncus bufonius L. | 218200 Derendingen | 2610656.02 | 1226664.78 | 1.6 + | - 1 | | Schmocker-Flück Daniela | |
| Schwarzweg | ###### 19.07.2023 14:50 | 1040710 Salix elaeagnos Scop. | 364000 Derendingen | 2610651.36 | 1226654.96 | 1.3 + | M | | Schmocker-Flück Daniela | |
| Schwarzweg | ###### 19.07.2023 14:56 | 1040540 Salix alba L. | 362800 Derendingen | 2610634.18 | 1226656.04 | 1.3 + | M | | Schmocker-Flück Daniela | |
| Schwarzweg | ###### 19.07.2023 14:57 | 1040540 Salix alba L. | 362800 Derendingen | 2610613.49 | 1226645.81 | 1.4 + | M | | Schmocker-Flück Daniela B | ischung, bäume |
| Schwarzweg | ###### 19.07.2023 14:58 | 1040710 Salix elaeagnos Scop. | 364000 Derendingen | 2610595.81 | 1226644.67 | 1.4 + | M | | Schmocker-Flück Daniela | |
| Schwarzweg | ####### 19.07.2023 15:02 | 1040710 Salix elaeagnos Scop. | 364000 Derendingen | 2610623.44 | 1226663.06 | 1.4 + | M | | Schmocker-Flück Daniela S | rauch |
| Schwarzweg | ####### 19.07.2023 15:06 | 1040540 Salix alba L. | 362800 Derendingen | 2610652.46 | 1226677.01 | 1.4 + | M | | Schmocker-Flück Daniela | |
| Schwarzweg | ####### 19.07.2023 15:12 | 1024940 Juncus bufonius L. | 218200 Derendingen | 2610694.11 | 1226695.43 | 1.5 + | N/ | | Schmocker-Flück Daniela | rough |
| Schwarzweg Schwarzweg | ###### 19.07.2023 15:15 ###### 19.07.2023 15:16 | 1040710 Salix elaeagnos Scop. 1040540 Salix alba L. | 364000 Derendingen 362800 Derendingen | 2610681.82 2610680.17 | 1226718.2 1226721.71 | 1.4 + 1.4 + | M M | | Schmocker-Flück Daniela S Schmocker-Flück Daniela B | |
| Schwarzweg | ####### 19.07.2023 15:16 | 1040540 Salix alba L. 1024940 Juncus bufonius L. | 218200 Derendingen | 2610680.17 | | 2.1 + | IVI | | Schmocker-Flück Daniela | Jachung zur ennne |
| Conwaizweg | ###### 15.07.2025 15.21 | 102-70-90 Julicus Dulotilus L. | 2 10200 Deterioringen | 2010030.09 | 1220131.31 | Z.1 T | - | | Commoditer fuck Dailleld | |

Hochwasserschutz und Revitalisierung Emme - Wehr Biberist bis Aare Erfolgskontrolle - Erhebung 1. Projektzustand Anhang D - Auentypische Pflanzenarten: Artenliste

| | |) |
|------|----------|------|
| IMP | ULS | AG |
| Wald | | |
| Land | scha | ft |
| | ver o Fo | hren |

| NAME | obs id date | taxon taxon id taxon taxon name | taxon no isfs municipality name | x | ٧ | xy precision prese | ence count | unit abundance code cove | r v observers | supplements abundance |
|------------|------------------------|--|---------------------------------|------------|------------|--------------------|------------|--------------------------|-------------------------|-----------------------|
| Schwarzweg | ###### 19.07.2023 15:2 | 4 1024940 Juncus bufonius L. | 218200 Derendingen | 2610691.89 | 1226738.41 | 1.5 + | 1 | 2 | Schmocker-Flück Daniela | |
| Schwarzweg | ###### 19.07.2023 15:2 | 7 1040710 Salix elaeagnos Scop. | 364000 Derendingen | 2610681.66 | 1226737.1 | 1.8 + | M | 3 | Schmocker-Flück Daniela | |
| Schwarzweg | ###### 19.07.2023 15:3 | 8 1024940 Juncus bufonius L. | 218200 Derendingen | 2610702.43 | 1226775.12 | 1.3 + | 1 | 1 | Schmocker-Flück Daniela | |
| Schwarzweg | ###### 19.07.2023 15:4 | 1 1024940 Juncus bufonius L. | 218200 Derendingen | 2610708.03 | 1226750.11 | 1.7 + | 1 | 2 | Schmocker-Flück Daniela | |
| Schwarzweg | ###### 19.07.2023 15:4 | 2 1024940 Juncus bufonius L. | 218200 Derendingen | 2610708.42 | 1226743.63 | 1.2 + | 1 | 2 | Schmocker-Flück Daniela | |
| Schwarzweg | ###### 19.07.2023 15:4 | 4 1040540 Salix alba L. | 362800 Derendingen | 2610705.91 | 1226736.95 | 1.2 + | M | 11 13 | Schmocker-Flück Daniela | Strauch |
| Schwarzweg | ###### 19.07.2023 15:4 | 4 1024940 Juncus bufonius L. | 218200 Derendingen | 2610707.3 | 1226736.03 | 1.3 + | l l | 3 | Schmocker-Flück Daniela | |
| Schwarzweg | ###### 19.07.2023 15:5 | 0 1024940 Juncus bufonius L. | 218200 Derendingen | 2610701.52 | 1226722.12 | 1.4 + | 1 | 1 | Schmocker-Flück Daniela | |
| Schwarzweg | ###### 19.07.2023 15:5 | 5 1024940 Juncus bufonius L. | 218200 Derendingen | 2610718.85 | 1226778.11 | 1.4 + | - 1 | 3 | Schmocker-Flück Daniela | |
| Schwarzweg | ###### 19.07.2023 15:5 | 5 1040540 Salix alba L. | 362800 Derendingen | 2610717.2 | 1226778.11 | 1.3 + | M | 12 13 | Schmocker-Flück Daniela | Sträucher |
| Schwarzweg | ###### 19.07.2023 15:5 | 7 1024940 Juncus bufonius L. | 218200 Derendingen | 2610723.64 | 1226782.75 | 1.4 + | 1 | 3 | Schmocker-Flück Daniela | |
| Schwarzweg | ###### 19.07.2023 16:0 | 0 1040540 Salix alba L. | 362800 Derendingen | 2610730.18 | 1226797.96 | 1.2 + | M | 12 15 | Schmocker-Flück Daniela | Sträucher |
| Schwarzweg | ###### 19.07.2023 16:0 | 2 1024940 Juncus bufonius L. | 218200 Derendingen | 2610710.7 | 1226814.23 | 1.7 + | 1 | 3 | Schmocker-Flück Daniela | |
| Schwarzweg | ###### 19.07.2023 16:0 | 3 1040540 Salix alba L. | 362800 Derendingen | 2610695.29 | 1226813.83 | 1.2 + | M | 11 13 | Schmocker-Flück Daniela | Hügel, Sträucher |
| Schwarzweg | ###### 19.07.2023 16:0 | 8 1040540 Salix alba L. | 362800 Derendingen | 2610705.48 | 1226833.86 | 1.3 + | M | 11 16 | Schmocker-Flück Daniela | Hügel, Sträucher |
| Schwarzweg | ###### 19.07.2023 16:2 | 4 1042240 Schoenoplectus mucronatus (L.) Pall | a 378300 Derendingen | 2610719.18 | 1226805.54 | 1.2 + | 1 | 1 | Schmocker-Flück Daniela | |
| Schwarzweg | ###### 19.07.2023 16:4 | 9 1040540 Salix alba L. | 362800 Derendingen | 2610739.11 | 1226819.65 | 1.6 + | M | 13 16 | Schmocker-Flück Daniela | |
| Schwarzweg | ###### 19.07.2023 16:5 | 5 1042240 Schoenoplectus mucronatus (L.) Pall | a 378300 Derendingen | 2610787.12 | 1226812.14 | 1.4 + | 1 | 1 | Schmocker-Flück Daniela | |
| Schwarzweg | ###### 19.07.2023 16:5 | 8 1042240 Schoenoplectus mucronatus (L.) Pall | a 378300 Derendingen | 2610787.99 | 1226817.7 | 1.4 + | 1 | 1 | Schmocker-Flück Daniela | |
| Schwarzweg | ###### 19.07.2023 17:0 | 7 1042240 Schoenoplectus mucronatus (L.) Pall | a 378300 Derendingen | 2610789 | 1226819.19 | 1.3 + | 1 | 1 | Schmocker-Flück Daniela | |
| Schwarzweg | ###### 19.07.2023 17:1 | 0 1042240 Schoenoplectus mucronatus (L.) Pall | a 378300 Derendingen | 2610772.63 | 1226788.77 | 1.4 + | Н | 1 | Schmocker-Flück Daniela | |
| Schwarzweg | ###### 19.07.2023 17:2 | 2 1042240 Schoenoplectus mucronatus (L.) Pall | a 378300 Derendingen | 2610790.49 | 1226831.42 | 1.4 + | Н | 1 | Schmocker-Flück Daniela | |
| Schwarzweg | ###### 19.07.2023 17:2 | 3 1042240 Schoenoplectus mucronatus (L.) Pall | a 378300 Derendingen | 2610790.49 | 1226831.42 | 1.3 + | Н | 1 | Schmocker-Flück Daniela | |
| Schwarzweg | ###### 19.07.2023 17:2 | 4 1042240 Schoenoplectus mucronatus (L.) Pall | a 378300 Derendingen | 2610792.03 | 1226820.3 | 1.3 + | Н | 1 | Schmocker-Flück Daniela | |

Anhang E

Bestandeserhebung Fische

Details zur Auswertung der Parameter Artenspektrum & Dominanzverhältnis sowie Individuen- und Biomassendichten des Indikators Bestandeserhebung Fische. Sämtliche Abbildungen sind Screenshots aus der Anwendung FishAssess, welche auf die Methodik des Modulstufenkonzepts Fische ausgelegt ist.

Definition Artenspektrum

| ı | 1 | l | | nde | A | |
|---|-----|-----|----|-----|----|-----|
| ٦ | /OF | кот | me | nae | AL | cen |

| Artengruppe | Standorttypisch | Vorkommen | IA | EK _{GEWICHTET} | N _o /ha |
|-------------------|--|--|--|--|---|
| Alet | Ja | zwingend | Nein | 86.4 | 52 |
| Forellen | Ja | zwingend | Ja | 70.0 | 126 |
| Barben | Ja | zwingend | Ja | 75.6 | 14 |
| Elritzen | Ja | zwingend | Nein | 75.8 | 1378 |
| Groppe | Ja | zwingend | Ja | 84.4 | 660 |
| Regenbogenforelle | Nein | nicht zwingend | Nein | 0.0 | 3 |
| Schmerle | Ja | zwingend | Nein | 88.0 | 1102 |
| | Alet Forellen Barben Elritzen Groppe Regenbogenforelle | Alet Ja Forellen Ja Barben Ja Elritzen Ja Groppe Ja Regenbogenforelle Nein | Alet Ja zwingend Forellen Ja zwingend Barben Ja zwingend Elritzen Ja zwingend Groppe Ja zwingend Regenbogenforelle Nein nicht zwingend | Alet Ja zwingend Nein Forellen Ja zwingend Ja Barben Ja zwingend Ja Elritzen Ja zwingend Nein Groppe Ja zwingend Ja Regenbogenforelle Nein nicht zwingend Nein | Alet Ja zwingend Nein 86.4 Forellen Ja zwingend Ja 70.0 Barben Ja zwingend Ja 75.6 Elritzen Ja zwingend Nein 75.8 Groppe Ja zwingend Ja 84.4 Regenbogenforelle Nein nicht zwingend Nein 0.0 |

Zusätzlich zu erwartende Arten

| Fischart | Artengruppe | Standorttypisch | Vorkommen | IA | EK GEWICHTET |
|--------------|-------------|-----------------|-----------|------|---------------------|
| Aesche | Aesche | Ja | zwingend | Ja | 166.7 |
| Nase | Nasen | Ja | zwingend | Ja | 117.5 |
| Bachneunauge | Neunaugen | Ja | zwingend | Ja | 147.2 |
| Gruendling | Gruendlinge | Ja | zwingend | Nein | 86.4 |
| Schneider | Schneider | Ja | zwingend | Ja | 133.9 |
| | | | | | |

IA: Indikatorart

EK_G: Erwartungsklasse gewichtet

Definition Artenspektrum

Vorkommende Arten

| Fischart | Artengruppe | Standorttypisch | Vorkommen | IA | EK _{GEWICHTET} | N _o /ha |
|-----------------------------------|-------------|-----------------|----------------|------|--------------------------------|--------------------|
| Alet | Alet | Ja | zwingend | Nein | 86.4 | 769 |
| Atlantische Forelle - Bachforelle | Forellen | Ja | zwingend | Ja | 70.0 | 44 |
| Barbe | Barben | Ja | zwingend | Ja | 75.6 | 439 |
| Elritze | Elritzen | Ja | zwingend | Nein | 75.8 | 15526 |
| Groppe | Groppe | Ja | zwingend | Ja | 84.4 | 99 |
| Gruendling | Gruendlinge | Ja | zwingend | Nein | 86.4 | 261 |
| Rotauge | Rotauge | Ja | nicht zwingend | Nein | 7.5 | 25 |
| Schmerle, Bartgrundel | Schmerle | Ja | zwingend | Nein | 88.0 | 3677 |
| Schneider | Schneider | Ja | zwingend | Ja | 133.9 | 2174 |
| Stichling | Stichling | Nein | | Nein | 0.0 | 15 |
| | | | | | | |

Zusätzlich zu erwartende Arten

| Fischart | Artengruppe | Standorttypisch | Vorkommen | IA | EK _{GEWICHTET} |
|--------------|-------------|-----------------|----------------|----|-------------------------|
| Aesche | Aesche | Ja | zwingend | Ja | 166.7 |
| Nase | Nasen | Ja | zwingend | Ja | 117.5 |
| Bachneunauge | Neunaugen | Ja | nicht zwingend | Ja | 73.6 |
| | | | | | |
| | | | | | |
| | | | | | |
| | | | | | |

IA: Indikatorart

EK_G: Erwartungsklasse gewichtet

Abbildung 89 Artenspektrum des Abschnittes Derendingen im Ausgangszustand 2010 (oben) und dem Projektzustand 1 2023 (unten); IA = Indikatorart, EK = Erwartungsklasse

Definition Artenspektrum

| Vorkommende Arten | | | | Zusätzlich zu erwarte | nde Arten | | | | | | | |
|-----------------------------------|-------------|-----------------|-----------|-----------------------|-------------------------|--------------------|---------------------------------------|-------------|-----------------|-----------|------|-----------------|
| Fischart | Artengruppe | Standorttypisch | Vorkommen | IA | EK _{GEWICHTET} | N _o /ha | Fischart | Artengruppe | Standorttypisch | Vorkommen | IA | EK _G |
| Atlantische Forelle - Bachforelle | Forellen | Ja | zwingend | Ja | 60.0 | 16 | Gruendling | Gruendlinge | Ja | zwingend | Nein | : |
| Barbe | Barben | Ja | zwingend | Ja | 93.3 | 2 | Alet | Alet | Ja | zwingend | Nein | |
| Elritze | Elritzen | Ja | zwingend | Nein | 67.5 | 833 | Schneider | Schneider | Ja | zwingend | Ja | 1 |
| Groppe | Groppe | Ja | zwingend | Ja | 76.7 | 207 | Aesche | Aesche | Ja | zwingend | Ja | 1 |
| Schmerle, Bartgrundel | Schmerle | Ja | zwingend | Nein | 92.0 | 955 | Nase | Nasen | Ja | zwingend | Ja | 1 |
| | | | | | | | Bachneunauge | Neunaugen | Ja | zwingend | Ja | 1 |
| | | | | | | | | | | | | |
| | | | | | | | | | | | | |
| | | | | | | | | | | | | |
| | | | | | | | | | | | | |
| | | | | | | | IA: Indikatorart | | | | | |
| | | | | | | | EK _G : Erwartungsklasse ge | wichtet | | | | |

Definition Artenspektrum

Vorkommende Arten

| Fischart | Artengruppe | Standorttypisch | Vorkommen | IA | EK _{GEWICHTET} | N _o /ha |
|-----------------------------------|--------------|-----------------|----------------|------|-------------------------|--------------------|
| Alet | Alet | Ja | zwingend | Nein | 84.4 | 2881 |
| Atlantische Forelle - Bachforelle | Forellen | Ja | zwingend | Ja | 80.0 | 15 |
| Barbe | Barben | Ja | zwingend | Ja | 57.8 | 4042 |
| Cobite italiano | Steinbeisser | Nein | nicht zwingend | Nein | 0.0 | 5 |
| Elritze | Elritzen | Ja | zwingend | Nein | 84.2 | 17315 |
| Groppe | Groppe | Ja | zwingend | Ja | 92.2 | 191 |
| Gruendling | Gruendlinge | Ja | zwingend | Nein | 84.4 | 268 |
| Schleie | Schleie | Ja | nicht zwingend | Nein | 2.5 | 21 |
| Schmerle, Bartgrundel | Schmerle | Ja | zwingend | Nein | 84.0 | 17790 |
| Schneider | Schneider | Ja | zwingend | Ja | 124.4 | 439 |
| Stichling | Stichling | Nein | nicht zwingend | Nein | 0.0 | 21 |
| | | | | | | |

Zusätzlich zu erwartende Arten

| Fischart | Artengruppe | Standorttypisch | Vorkommen | IA | EK _{GEWICHTET} |
|------------------|-------------|-----------------|----------------|----|-------------------------|
| Aesche | Aesche | Ja | zwingend | Ja | 183.3 |
| Nase | Nasen | Ja | zwingend | Ja | 103.8 |
| Bachneunauge | Neunaugen | Ja | nicht zwingend | Ja | 83.1 |
| | | | | | |
| | | | | | |
| | | | | | |
| | | | | | |
| | | | | | |
| | | | | | |
| | | | | | |
| IA: Indikatorart | | | | | |

Abbildung 90 Artenspektrum des Abschnittes Luterbach im Ausgangszustand 2010 (oben) und dem Projektzustand 1 2023 (unten); IA = Indikatorart, EK = Erwartungsklasse

Standardisierte Werte für Individuen- und Biomassendichte

| Indikator- | | | | | Erwartung | swerte | ı | | Beobachtete Werte | | | | | | | | Herkunft | Artspezifsche Abweichung | |
|-------------|------|------|--------------------------|----------|-----------|-----------|--|------------|-------------------|----------|-----------|------------|------|---------|-----------|------------|---------------|--------------------------|-------|
| Artengruppe | art | 1 | Individuendichte Biomass | | | | Biomassendichte Korrektur Erwartungswert | | | Individu | endichte | | | Biomass | endichte | | beobachtete | Erwartungsklasse (EK) | |
| | | EK | min n/ha | max n/ha | min kg/ha | max kg/ha | min n/ha | Begründung | вк | n/ha | oberes KI | unteres KI | вк | kg/ha | oberes KI | unteres KI | Werte | ID | BD |
| Alet | Nein | 86.4 | 1680 | INF | 114.0 | INF | | | 2.5 | 52 | 55 | 49 | 35.0 | 27.29 | 28.86 | 25.71 | Schätzwert CS | -83.9 | -51.4 |
| Barben | Ja | 37.8 | 195 | INF | 15.0 | INF | | | 2.5 | 14 | | | 0.0 | 0.40 | | | Fang | -35.3 | -37.8 |
| Elritzen | Nein | 75.8 | 7000 | INF | 12.0 | INF | | | 25.0 | 1863 | 1976 | 1751 | 50.0 | 6.34 | 6.73 | 5.96 | Schätzwert CS | -50.8 | -25.8 |
| Forellen | Ja | 35.0 | 700 | INF | 35.0 | INF | į | | 5.0 | 137 | 151 | 123 | 15.0 | 15.56 | 17.15 | 13.97 | Schätzwert CS | -30.0 | -20.0 |
| Groppe | Ja | 42.2 | 1275 | INF | 8.5 | INF | | | 20.0 | 660 | | | 15.0 | 3.14 | | | Fang | -22.2 | -27.2 |
| Schmerle | Nein | 88.0 | 12000 | INF | 24.0 | INF | | | 17.5 | 1447 | 1540 | 1354 | 35.0 | 5.78 | 6.15 | 5.41 | Schätzwert CS | -70.5 | -53.0 |

Standardisierte Werte für Individuen- und Biomassendichte

| | | | | | Erwartungswerte | | | | Beobachtete Werte | | | | | | | | | Artspezifsche Abweichung | |
|-------------|-------------------|------------------|----------|----------|--|-----------|----------|------------|-------------------|-----------|-----------|------------|---------|----------|-------------|-----------------------|---------------|--------------------------|-------|
| Artengruppe | Indikator- art | Individuendichte | | | Biomassendichte Korrektur Erwartungswert | | | | Individu | uendichte | | | Biomass | endichte | beobachtete | Erwartungsklasse (EK) | | | |
| | | EK | min n/ha | max n/ha | min kg/ha | max kg/ha | min n/ha | Begründung | вк | n/ha | oberes KI | unteres KI | вк | kg/ha | oberes KI | unteres KI | Werte | ID | BD |
| Alet | Nein | 86.4 | 1680 | INF | 114.0 | INF | | | 62.5 | 892 | 956 | 828 | 72.5 | 74.66 | 80.01 | 69.30 | Schätzwert CS | -23.9 | -13.9 |
| Barben | Ja | 37.8 | 195 | INF | 15.0 | INF | | | 77.5 | 572 | 646 | 498 | 5.0 | 2.27 | 2.56 | 1.97 | Schätzwert CS | 0.0 | -32.8 |
| Elritzen | Nein | 75.8 | 7000 | INF | 12.0 | INF | | | 100.0 | 20780 | 21273 | 20287 | 100.0 | 40.05 | 41.00 | 39.10 | Schätzwert CS | 0.0 | 0.0 |
| Forellen | Ja | 35.0 | 700 | INF | 35.0 | INF | | i | 0.0 | 44 | 49 | 39 | 2.5 | 4.09 | 4.56 | 3.63 | Schätzwert CS | -35.0 | -32.5 |
| Groppe | Ja | 42.2 | 1275 | INF | 8.5 | INF | | | 2.5 | 99 | | | 2.5 | 0.83 | | | Fang | -39.7 | -39.7 |
| Gruendlinge | Nein | 86.4 | 3480 | INF | 18.0 | INF | | | 12.5 | 320 | 370 | 271 | 27.5 | 3.43 | 3.96 | 2.90 | Schätzwert CS | -73.9 | -58.9 |
| Rotauge | Nein | 15.0 | 510 | 1020 | 7.5 | 15.0 | | | 0.0 | 25 | 30 | 20 | 0.0 | 0.06 | 0.07 | 0.05 | Schätzwert CS | -15.0 | -15.0 |
| Schmerle | Nein | 88.0 | 12000 | INF | 24.0 | INF | | 1 | 60.0 | 5831 | 6220 | 5441 | 47.5 | 7.61 | 8.11 | 7.10 | Schätzwert CS | -28.0 | -40.5 |
| Schneider | Ja | 66.9 | 214 | INF | 1.0 | INF | | | 100.0 | 2450 | 2538 | 2361 | 100.0 | 4.28 | 4.43 | 4.12 | Schätzwert CS | 0.0 | 0.0 |
| | | | | | | | | | | | | | | | | | | | |

Abbildung 91 Individuen und Biomassendichte des Abschnitts Derendingen 2010 oben 2023 unten; EK = Erwartungsklasse, BK = Beobachtungsklasse, KI = Konfidenzintervall, ID = Individuendichte, BD = Biomassendichte, Schätzwert CS = Carle & Strub (Carle, 1978) Dichteabschätzung; die artspezifischen Erwartungsklassen und Beobachtungsklassen werden durch die Längszonierung (Fischregion) festgelegt.

Standardisierte Werte für Individuen- und Biomassendichte

| Artengruppe | Indikator- art | Erwartungswerte Individuendichte Biomassendichte Korrektur Erwartungswert | | | | | | | Beobachtete Werte Individuendichte Biomassendichte | | | | | | | | | Artspezifsche Abweichun Erwartungsklasse (EK) | |
|-------------|-------------------|---|----------|----------|-----------|-----------|----------|------------|--|------|-----------|------------|------|-------|-----------|------------|---------------|--|-------|
| | | EK | min n/ha | max n/ha | min kg/ha | max kg/ha | min n/ha | Begründung | ВК | n/ha | oberes KI | unteres KI | ВК | kg/ha | oberes KI | unteres KI | Werte | ID | BD |
| Barben | Ja | 46.7 | 247 | INF | 19.0 | INF | | | 0.0 | 2 | 2 | 2 | 0.0 | 0.00 | 0.00 | 0.00 | Schätzwert CS | -46.7 | -46.7 |
| Elritzen | Nein | 67.5 | 5950 | INF | 10.2 | INF | | | 17.5 | 1300 | 1423 | 1178 | 25.0 | 3.11 | 3.40 | 2.82 | Schätzwert CS | -50.0 | -42.5 |
| Forellen | Ja | 30.0 | 600 | INF | 30.0 | INF | | | 0.0 | 16 | 19 | 14 | 0.0 | 0.15 | 0.18 | 0.13 | Schätzwert CS | -30.0 | -30.0 |
| Groppe | Ja | 38.3 | 1125 | INF | 7.5 | INF | | | 12.5 | 397 | 498 | 296 | 7.5 | 1.55 | 1.95 | 1.16 | Schätzwert CS | -25.8 | -30.8 |
| Schmerle | Nein | 92.0 | 13600 | INF | 27.2 | INF | | | 17.5 | 1519 | 1657 | 1380 | 32.5 | 5.33 | 5.82 | 4.84 | Schätzwert CS | -74.5 | -59.5 |

Standardisierte Werte für Individuen- und Biomassendichte

| Erwartungskla ID 0.0 | BD |
|----------------------------|-----------------------|
| 1D 0.0 | |
| 0.0 | $\overline{}$ |
| | -79.4 |
| 0.0 | -8.9 |
| 0.0 | 0.0 |
| -40.0 | -40.0 |
| -38.6 | -38.6 |
| -69.4 | -66.9 |
| -12.5 | -5.0 |
| 0.0 | -1.5 |
| 0.0 | -4.7 |
| | -69.4 -12.5 0.0 |

Abbildung 92 Individuen und Biomassendichte des Abschnitts Luterbach 2010 oben 2023 unten; EK = Erwartungsklasse, BK = Beobachtungsklasse, KI = Konfidenzintervall, ID = Individuendichte, BD = Biomassendichte, Schätzwert CS = Carle & Strub (Carle, 1978) Dichteabschätzung; die artspezifischen Erwartungsklassen und Beobachtungsklassen werden durch die Längszonierung (Fischregion) festgelegt.

Anhang F

Anhang F

Plan Amphibienerfassung

